

การคาดการณ์การเปลี่ยนแปลง สภาพภูมิอากาศในอนาคต

ศูนย์ภูมิอากาศ สำนักพัฒนาอุตสาหกรรมวิทยา

กรมอุตุนิยมวิทยา

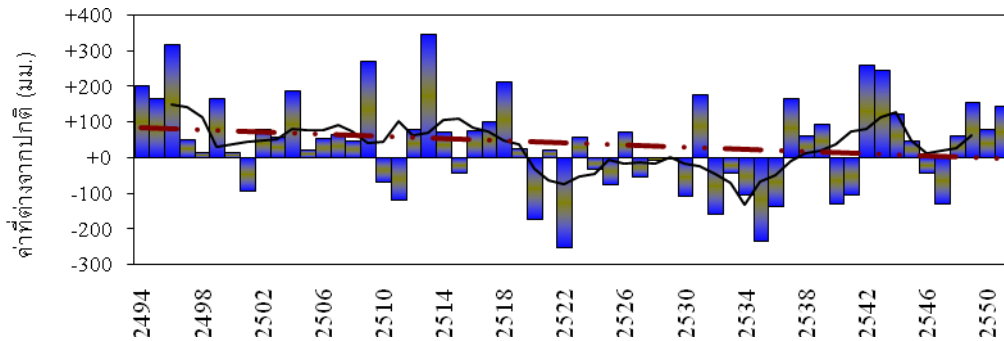
กันยายน 2552

คำนำ

ปัจจุบันปัญหาภาวะโลกร้อนและการเปลี่ยนแปลงสภาพภูมิอากาศยังคงเป็นปัญหาระดับโลกที่ส่งผลกระทบต่อทั้งภาคเศรษฐกิจ สังคมและสิ่งแวดล้อม การแก้ไขปัญหาคือการเปลี่ยนแปลงสภาพภูมิอากาศจึงมีความเกี่ยวข้องเนื่องกับการดำเนินงานของหลายๆภาคส่วน สหประชาชาติ ได้เล็งเห็นความสำคัญของการเปลี่ยนแปลงสภาพภูมิอากาศและผลกระทบในหลายด้านด้วยกัน จึงเกิดอนุสัญญาสหประชาชาติว่าด้วยการเปลี่ยนแปลงสภาพภูมิอากาศ (United Nations Framework on Climate Change : UNFCCC) ขึ้น เพื่อร่วมกันแก้ไขปัญหาคือการเปลี่ยนแปลงสภาพภูมิอากาศ จากรายงานของ คณะกรรมการระหว่างรัฐบาลว่าด้วยการเปลี่ยนแปลงสภาพภูมิอากาศ (Intergovernmental Panel on Climate Change : IPCC) ได้ศึกษาหลักฐานที่ผ่านมาทางวิทยาศาสตร์ เพื่อยืนยันการเปลี่ยนแปลงของสภาพภูมิอากาศ ซึ่งแสดงให้เห็นอย่างชัดเจนว่า อุณหภูมิของโลกที่สูงขึ้นและมีแนวโน้มที่จะสูงขึ้นทุกปี ทำให้ในอนาคตไม่สามารถหลีกเลี่ยงการเปลี่ยนแปลงสภาพภูมิอากาศที่อาจจะทวีความรุนแรงมากขึ้นเป็นลำดับ ผลกระทบที่เกิดขึ้นจากสภาพภูมิอากาศที่เปลี่ยนแปลงนี้เกิดขึ้นทั้งทางตรงและทางอ้อม ด้วยระดับความรุนแรงที่แตกต่างกัน เช่นภาคเกษตรกรรม แหล่งน้ำ ป่าไม้ ชายฝั่ง เป็นต้น รวมทั้งผลกระทบต่อชุมชน เช่นสุขภาพ การดำรงชีวิต ดังนั้นการเตรียมตัวและตั้งรับที่พร้อมจะทำให้สามารถวางแผน ปรับตัวและดำรงชีวิตกับสภาพอากาศที่จะเปลี่ยนแปลงในอนาคต การวางแผน เหล่านี้ต้องการข้อมูลการเปลี่ยนแปลงที่แม่นยำ ชัดเจนเท่าที่สามารถจะทำได้ เพื่อให้การวางแผนตั้งรับไม่ผิดไปจากเป้าหมายที่วางไว้ กรมอุตุนิยมวิทยาซึ่งเป็นแหล่งข้อมูลภูมิอากาศโดยตรง ได้ตระหนักถึงความสำคัญในเรื่องดังกล่าว จึงทำการศึกษาวิเคราะห์ข้อมูลที่ตรวจวัดจริง และติดตามการเปลี่ยนแปลงสภาพภูมิอากาศมาตลอด เพื่อให้ได้ข้อสรุปที่มีหลักฐานและเหตุผลที่แท้จริง เพื่อนำไปสู่การเผยแพร่อย่างถูกต้องต่อไป

1. ผลการวิเคราะห์ข้อมูลที่ได้จากการตรวจวัดจริง

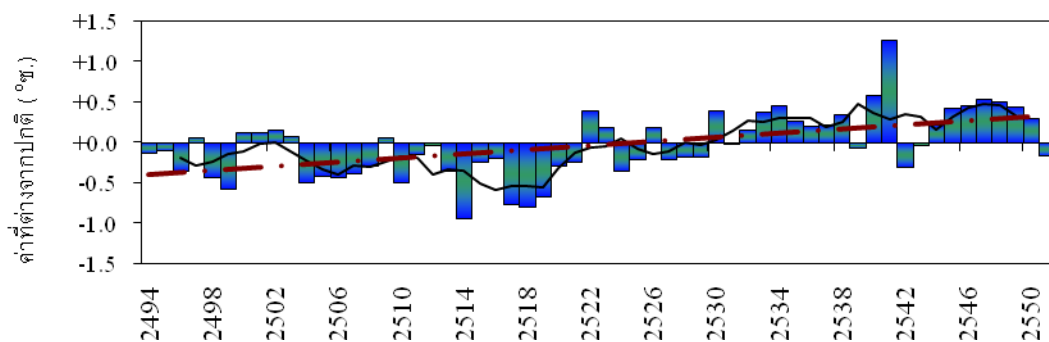
1.1 ผลการวิเคราะห์ปริมาณฝนรายปีของประเทศไทย ตั้งแต่ปี พ.ศ. 2494-2551



รูปที่ 1 กราฟแสดงปริมาณฝนรายปีของประเทศไทยที่ต่างจากปกติตั้งแต่ พ.ศ. 2494-2551

จากการวิเคราะห์ปริมาณฝนรายปีของประเทศไทย 58 ปี ตั้งแต่ พ.ศ. 2494-2551 พบว่า ปริมาณฝนของประเทศไทยมีความผันแปรทุกปีมีทั้งสูงกว่าปกติและต่ำกว่าปกติ (ค่าปกติ : พ.ศ. 2514-2543) เมื่อพิจารณาตั้งแต่ พ.ศ. 2494-2518 ปริมาณฝนส่วนใหญ่สูงกว่าปกติ และตั้งแต่ พ.ศ. 2519-2541 ปริมาณฝนส่วนใหญ่ต่ำกว่าปกติ และตั้งแต่ พ.ศ. 2542 -2551 ปริมาณฝนส่วนใหญ่สูงกว่าปกติ แต่หากพิจารณาแนวโน้มระยะยาวปริมาณฝนของประเทศไทยยังไม่ชัดเจน

1.2 ผลการวิเคราะห์อุณหภูมิสูงสุดเฉลี่ยรายปีของประเทศไทย ตั้งแต่ปี พ.ศ. 2494-2551

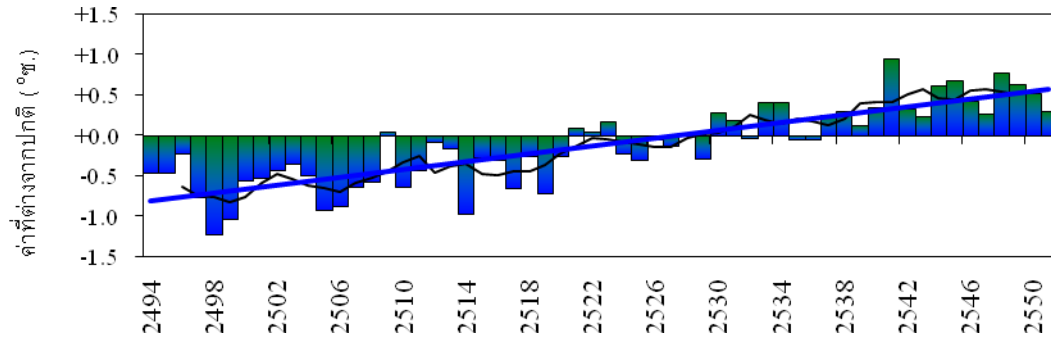


รูปที่ 2 กราฟแสดงอุณหภูมิสูงสุดเฉลี่ยรายปีของประเทศไทยที่ต่างจากปกติตั้งแต่ พ.ศ. 2494-2551

จากการวิเคราะห์ข้อมูลอุณหภูมิสูงสุดเฉลี่ยรายปีของประเทศไทย 58 ปี ตั้งแต่ พ.ศ. 2494-2551 พบว่า อุณหภูมิสูงสุดเฉลี่ยของประเทศไทย มีความผันแปร เมื่อพิจารณาตั้งแต่ พ.ศ. 2494 – 2529 อุณหภูมิสูงสุด

เฉลี่ยของประเทศไทยต่ำกว่าปกติอย่างต่อเนื่อง ยกเว้น พ.ศ. 2500-2503 และ พ.ศ. 2522-2523 ส่วนตั้งแต่ พ.ศ. 2530 - 2551 อุณหภูมิสูงสุดเฉลี่ยสูงกว่าปกติอย่างต่อเนื่อง ยกเว้น พ.ศ. 2542-2543 และ พ.ศ. 2551 เมื่อพิจารณาระยะยาวอุณหภูมิสูงสุดเฉลี่ยของประเทศไทยมีแนวโน้มสูงขึ้นชัดเจน

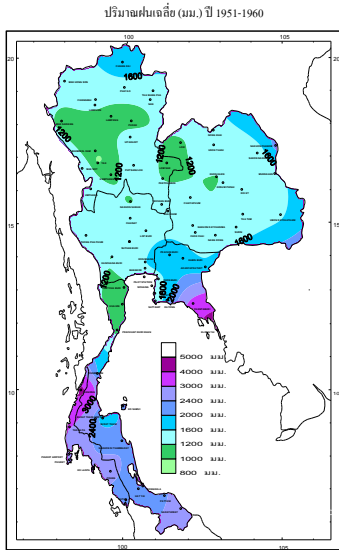
1.3 ผลการวิเคราะห์อุณหภูมิต่ำสุดเฉลี่ยรายปีของประเทศไทย ตั้งแต่ปี พ.ศ. 2494-2551



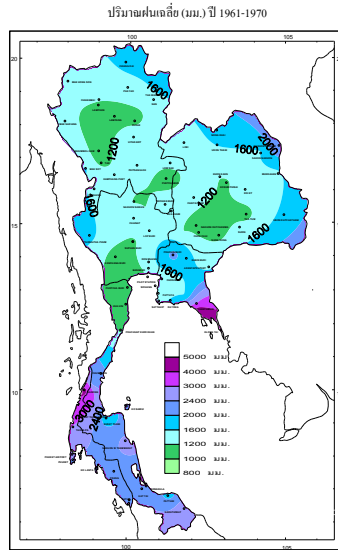
รูปที่ 3 กราฟแสดงอุณหภูมิต่ำสุดเฉลี่ยรายปีของประเทศไทยที่ต่างจากปกติตั้งแต่ พ.ศ. 2494-2551

จากการวิเคราะห์ข้อมูลอุณหภูมิต่ำสุดเฉลี่ยรายปีของประเทศไทย 58 ปี ตั้งแต่ พ.ศ. 2494-2551 พบว่า อุณหภูมิต่ำสุดเฉลี่ยของประเทศไทย มีความผันแปร เมื่อพิจารณาตั้งแต่ พ.ศ. 2494 – 2529 อุณหภูมิต่ำสุดเฉลี่ยของประเทศไทยต่ำกว่าปกติอย่างต่อเนื่อง และตั้งแต่ พ.ศ. 2530-2551 อุณหภูมิต่ำสุดเฉลี่ยสูงกว่าปกติอย่างต่อเนื่องเช่นกัน เมื่อพิจารณาระยะยาวอุณหภูมิต่ำสุดเฉลี่ยของประเทศไทยมีแนวโน้มสูงขึ้นชัดเจน

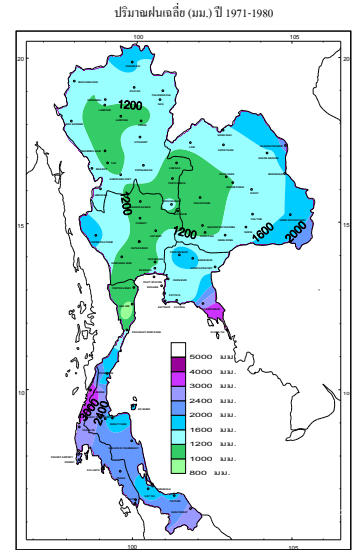
1.4 ผลการวิเคราะห์ปริมาณฝนรายทศวรรษของประเทศไทยตั้งแต่ พ.ศ. 2494-2551



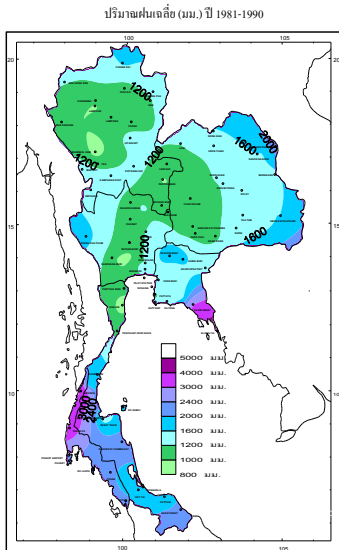
รูปที่ 4 ปริมาณฝนทศวรรษที่ 1951-1960



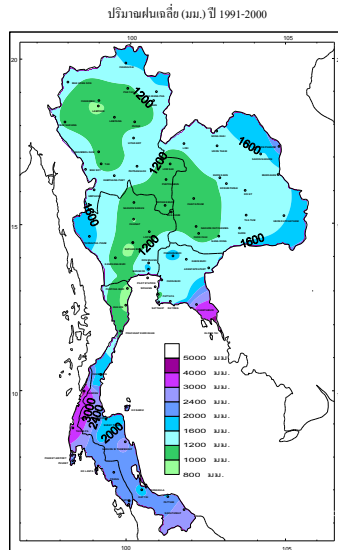
รูปที่ 5 ปริมาณฝนทศวรรษที่ 1961-1970



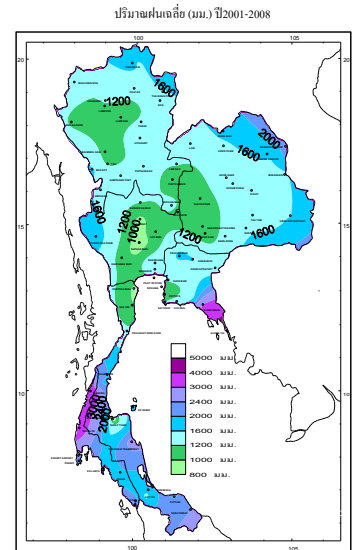
รูปที่ 6 ปริมาณฝนทศวรรษที่ 1971-1980



รูปที่ 7 ปริมาณฝนทศวรรษที่ 1981-1990



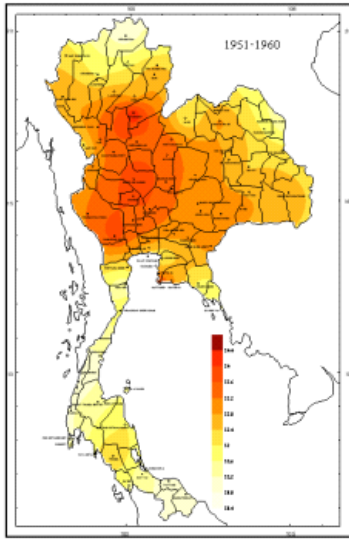
รูปที่ 8 ปริมาณฝนทศวรรษที่ 1991-2000



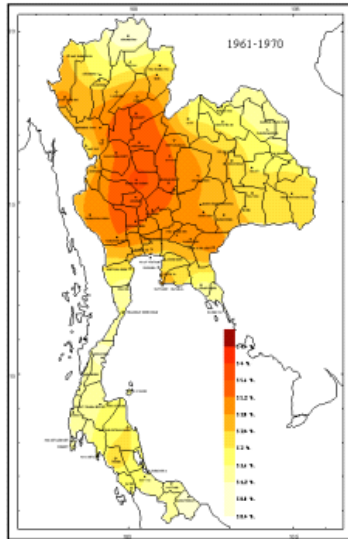
รูปที่ 9 ปริมาณฝนทศวรรษที่ 2001-2008

เมื่อพิจารณาปริมาณฝนประเทศไทยรายทศวรรษ มีความผันแปรในแต่ละช่วงทศวรรษ ทศวรรษที่ 1 ค.ศ. 1951-1960 (พ.ศ.2494 - 2503) และทศวรรษที่ 2 ค.ศ.1961-1970 (พ.ศ. 2504-2513) ประเทศไทยมีปริมาณฝนดี ส่วนในทศวรรษที่ 3 ค.ศ. 1971-1980 (พ.ศ. 2514-2523) ทศวรรษที่ 4 ค.ศ. 1981-1990 (พ.ศ. 2524-2533) และทศวรรษที่ 5 ค.ศ. 1991-2000 (พ.ศ. 2534-2543) บริเวณตอนกลางของประเทศไทย มีปริมาณฝนน้อย และปริมาณฝนกลับมาดีขึ้น อีกในทศวรรษสุดท้าย ค.ศ. 2001-2008 (พ.ศ. 2544-2551) ยกเว้นภาคใต้ปริมาณฝนลดน้อยลง

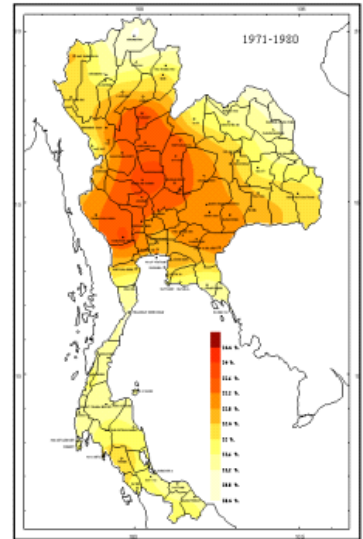
1.5 ผลการวิเคราะห์อุณหภูมิสูงสุดเฉลี่ยรายทศวรรษของประเทศไทยตั้งแต่ พ.ศ. 2494-2551



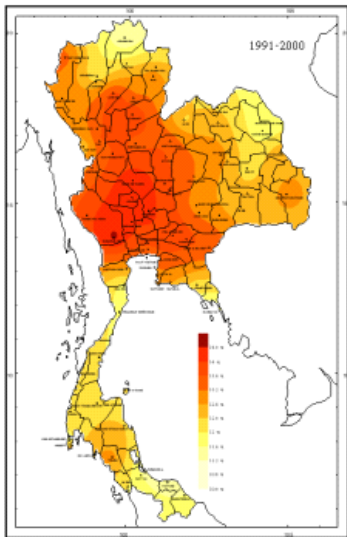
รูปที่ 10 อุณหภูมิสูงสุดเฉลี่ยทศวรรษที่
1951-1960



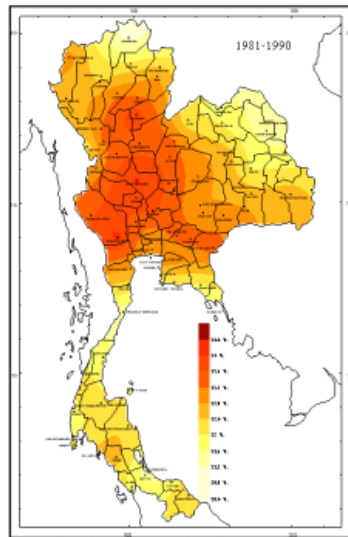
รูปที่ 11 อุณหภูมิสูงสุดเฉลี่ยทศวรรษที่
1961-1970



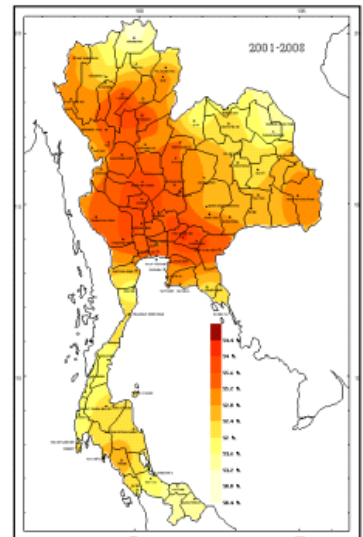
รูปที่ 12 อุณหภูมิสูงสุดเฉลี่ยทศวรรษที่
1971-1980



รูปที่ 13 อุณหภูมิสูงสุดเฉลี่ยทศวรรษที่
1981-1990



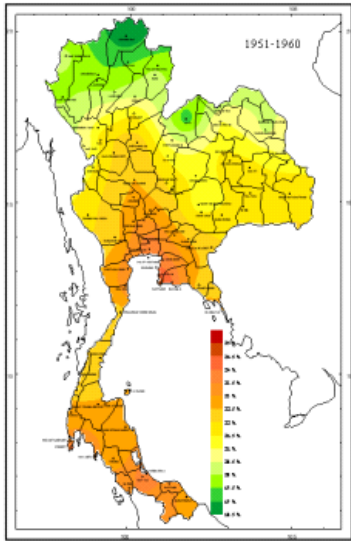
รูปที่ 14 อุณหภูมิสูงสุดเฉลี่ยทศวรรษที่
1991-2000



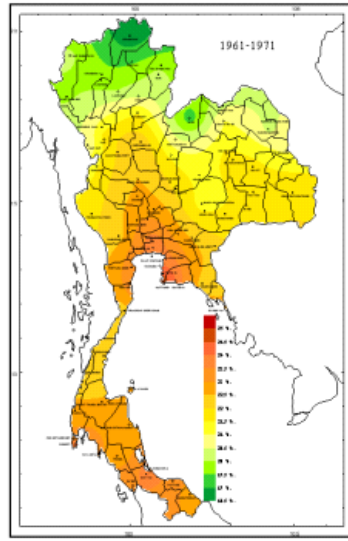
รูปที่ 15 อุณหภูมิสูงสุดเฉลี่ยทศวรรษที่
2000-2008

เมื่อพิจารณาอุณหภูมิสูงสุดเฉลี่ยของประเทศไทยรายทศวรรษ ทศวรรษที่ 1 ค.ศ. 1951-1960 (พ.ศ. 2494 - 2503) ทศวรรษที่ 2 ค.ศ. 1961-1970 (พ.ศ. 2504-2513) ทศวรรษที่ 3 ค.ศ. 1971-1980 (พ.ศ. 2514-2523) ทศวรรษที่ 4 ค.ศ. 1981-1990 (พ.ศ. 2524-2533) ทศวรรษที่ 5 ค.ศ. 1991-2000 (พ.ศ. 2534-2543) และ ทศวรรษสุดท้าย (ค.ศ. 2544-2551) พบว่า พื้นที่ที่มีอากาศร้อนขยายพื้นที่เพิ่มมากขึ้น

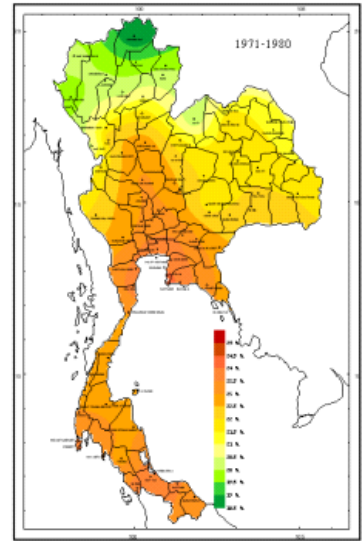
1.6 ผลการวิเคราะห์อุณหภูมิต่ำสุดเฉลี่ยรายทศวรรษของประเทศไทยตั้งแต่ พ.ศ. 2494-2551



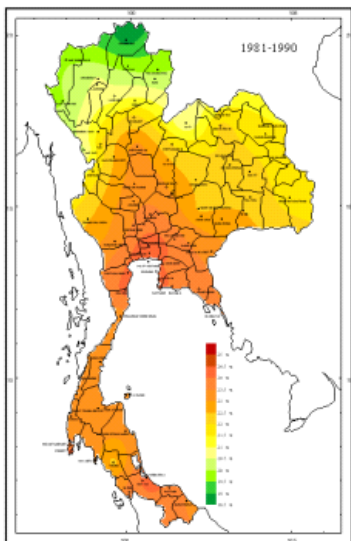
รูปที่ 16 อุณหภูมิต่ำสุดเฉลี่ยทศวรรษที่
1951-1960



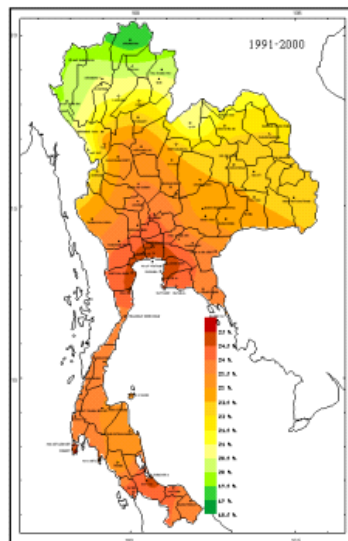
รูปที่ 17 อุณหภูมิต่ำสุดเฉลี่ยทศวรรษที่
1961-1970



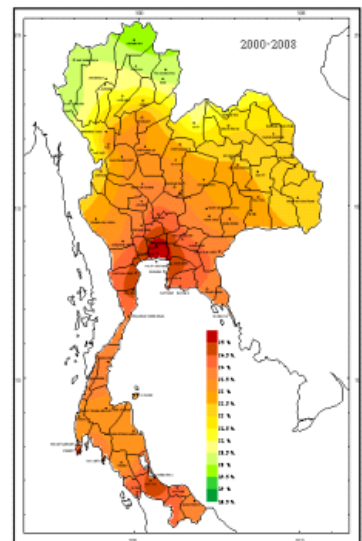
รูปที่ 18 อุณหภูมิต่ำสุดเฉลี่ยทศวรรษที่
1971-1980



รูปที่ 19 อุณหภูมิต่ำสุดเฉลี่ยทศวรรษที่
1981-1990



รูปที่ 20 อุณหภูมิต่ำสุดเฉลี่ยทศวรรษที่
1991-2000



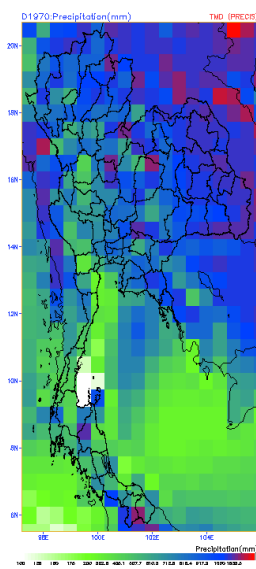
รูปที่ 21 อุณหภูมิต่ำสุดเฉลี่ยทศวรรษที่
2001-2008

เมื่อพิจารณาอุณหภูมิต่ำสุดเฉลี่ยของประเทศไทยรายทศวรรษ ทศวรรษที่ 1 ค.ศ. 1951-1960 (พ.ศ. 2494 - 2503) ทศวรรษที่ 2 ค.ศ. 1961-1970 (พ.ศ. 2504-2513) ทศวรรษที่ 3 ค.ศ. 1971-1980 (พ.ศ. 2514-2523)

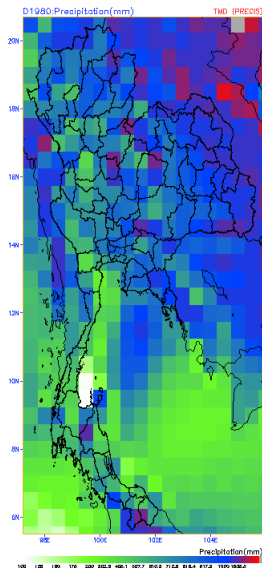
ทศวรรษที่ 4 ค.ศ. 1981-1990 (พ.ศ. 2524-2533) ทศวรรษที่ 5 ค.ศ. 1991-2000 (พ.ศ. 2534-2543) และ ทศวรรษสุดท้าย (ค.ศ. 2544-2551) พบว่า พื้นที่ที่มีอากาศเย็นมีพื้นที่ลดลง

2 ผลการวิเคราะห์ข้อมูลที่ได้จากแบบจำลองการคาดการณ์ภูมิอากาศ PRECIS (Providing Regional Climate for Impact Studies) ในอดีต และอนาคต

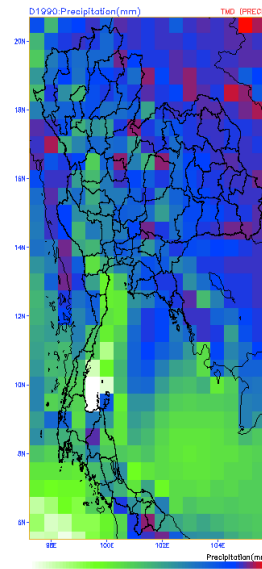
2.1 ผลการคาดการณ์ปริมาณฝนรายทศวรรษในอดีตและอนาคต ตั้งแต่ปี ค .ศ.1961-2090 (พ.ศ. 2504-2633)



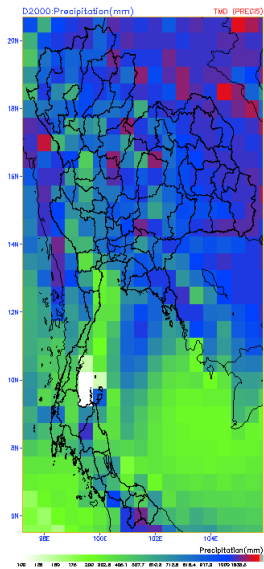
รูปที่ 22 คาดการณ์ปริมาณฝน
ทศวรรษที่ 1961-1970



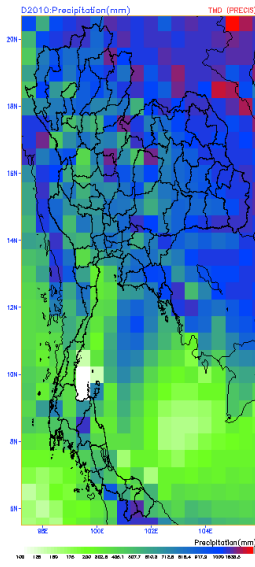
รูปที่ 23 คาดการณ์ปริมาณฝน
ทศวรรษที่ 1971-1980



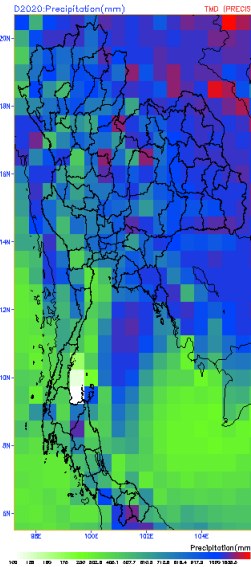
รูปที่ 24 คาดการณ์ปริมาณฝน
ทศวรรษที่ 1981-1990



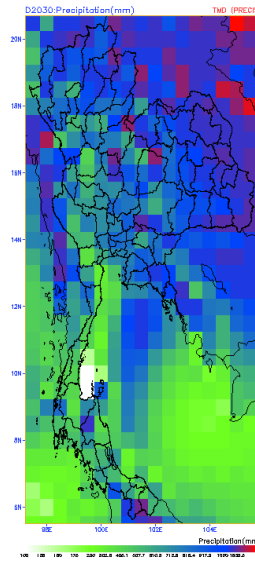
รูปที่ 25 คาดการณ์ปริมาณฝน
ทศวรรษที่ 1991-2000



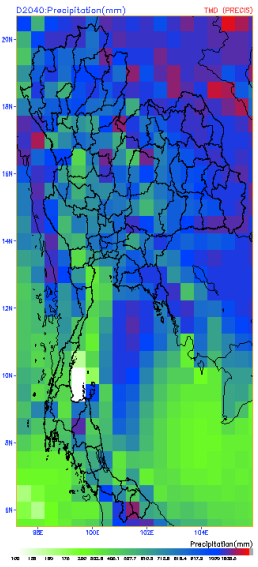
รูปที่ 26 คาดการณ์ปริมาณฝน
ทศวรรษที่ 2001-2010



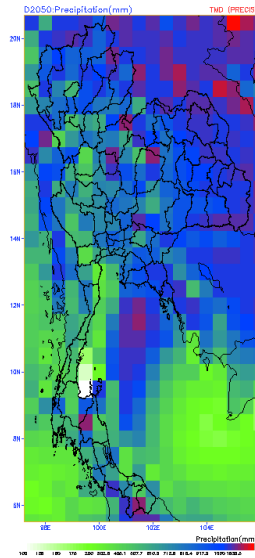
รูปที่ 27 คาดการณ์ปริมาณฝน
ทศวรรษที่ 2011-2020



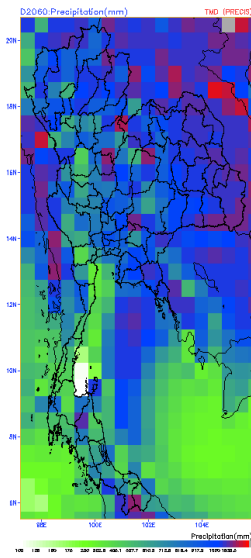
รูปที่ 28 คาดการณ์ปริมาณฝน
ทศวรรษที่ 2021-2030



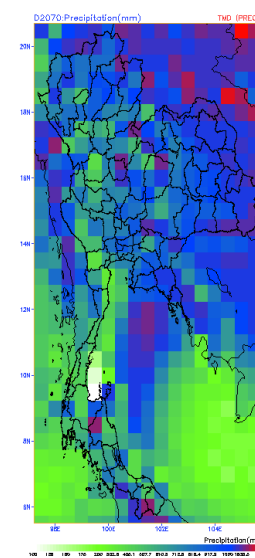
รูปที่ 29 คาดการณ์ปริมาณฝน
ทศวรรษที่ 2031-2040



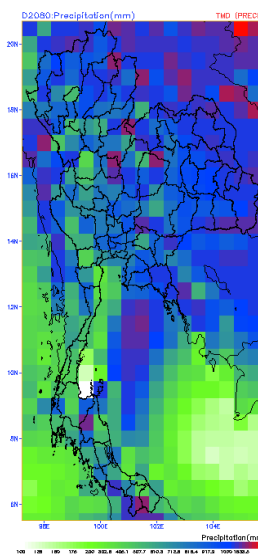
รูปที่ 30 คาดการณ์ปริมาณฝน
ทศวรรษที่ 2041-2050



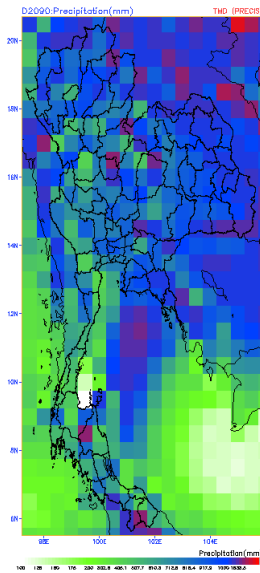
รูปที่ 31 คาดการณ์ปริมาณฝน
ทศวรรษที่ 2051-2060



รูปที่ 32 คาดการณ์ปริมาณฝน
ทศวรรษที่ 2061-2070



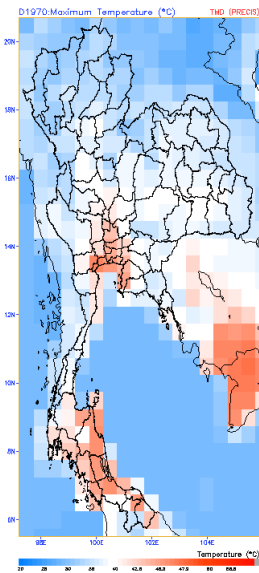
รูปที่ 33 คาดการณ์ปริมาณฝน
ทศวรรษที่ 2071-2080



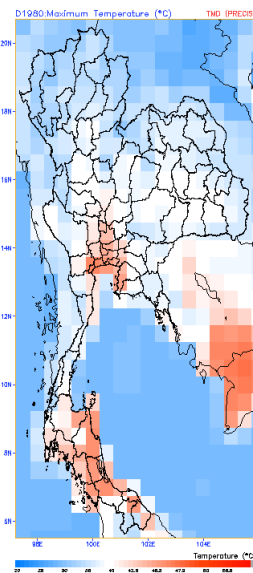
รูปที่ 34 คาดการณ์ปริมาณฝน
ทศวรรษที่ 2081-2090

เมื่อพิจารณาปริมาณฝนประเทศไทยรายทศวรรษจากแบบจำลองภูมิอากาศ ตั้งแต่ในอดีตและคาดการณ์ในอนาคตยังไม่ชัดเจน ปริมาณฝนในแต่ละพื้นที่จะมีความผันแปรในแต่ละช่วงทศวรรษ เมื่อพิจารณาในช่วงทศวรรษที่ 2000 (ค.ศ.1991-2000) เปรียบเทียบทศวรรษที่ 2090 (ค.ศ.2081-2090) ปรากฏว่าพื้นที่ที่มีปริมาณฝนลดน้อยลงอยู่บริเวณภาคตะวันออกเฉียงเหนือ ส่วนพื้นที่ที่มีปริมาณฝนเพิ่มขึ้นอยู่บริเวณภาคใต้โดยเฉพาะภาคใต้ตอนล่างและบางส่วนของพื้นที่ภาคตะวันออก

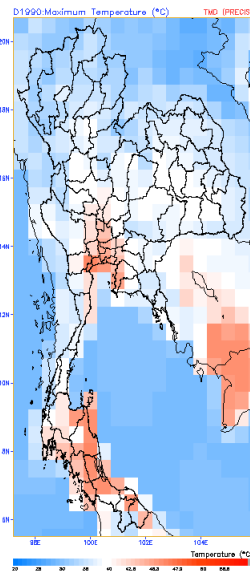
2.2 ผลการคาดการณ์อุณหภูมิสูงสุดเฉลี่ยในอดีตและอนาคต ตั้งแต่ ค.ศ. 1961-2090 (พ.ศ.2504-2633)



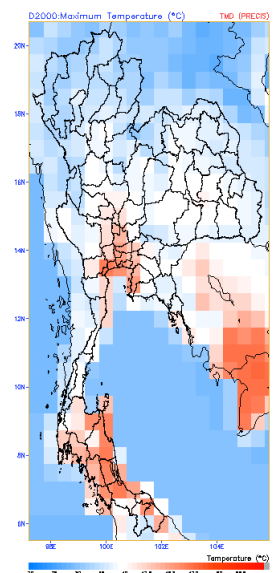
รูปที่ 35 คาดการณ์อุณหภูมิสูงสุดเฉลี่ย ทศวรรษที่ 2061-2070



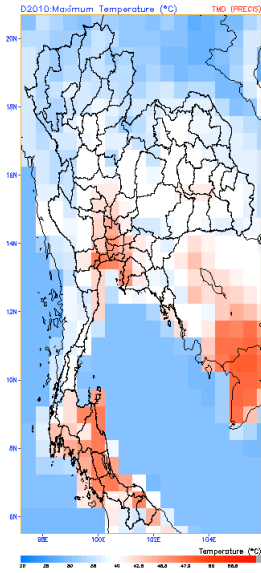
รูปที่ 36 คาดการณ์อุณหภูมิสูงสุดเฉลี่ย ทศวรรษที่ 2071-2080



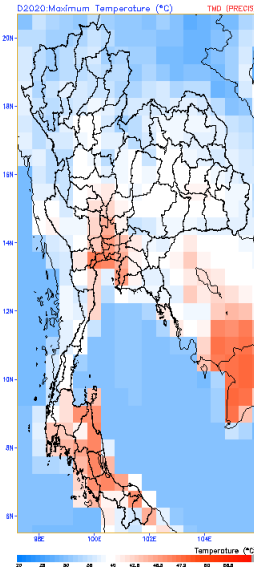
รูปที่ 37 คาดการณ์อุณหภูมิสูงสุดเฉลี่ย ทศวรรษที่ 2081-2090



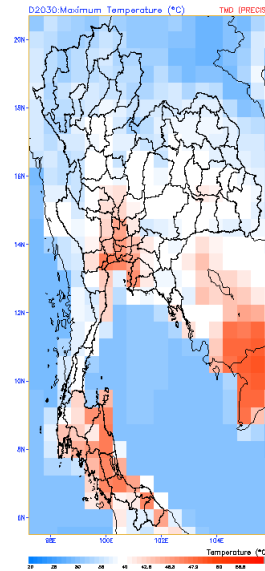
รูปที่ 38 คาดการณ์อุณหภูมิสูงสุดเฉลี่ย ทศวรรษที่ 2091-2000



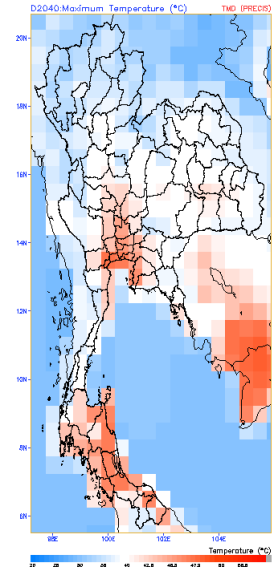
รูปที่ 39 คาดการณ์อุณหภูมิสูงสุด
เฉลี่ย ทศวรรษที่ 2001-2010



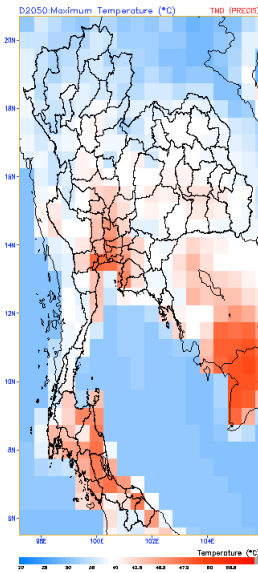
รูปที่ 40 คาดการณ์อุณหภูมิสูงสุด
เฉลี่ย ทศวรรษที่ 2011-2020



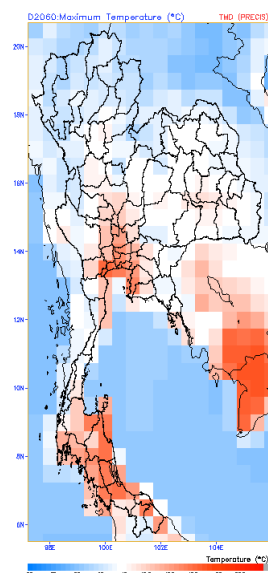
รูปที่ 41 คาดการณ์อุณหภูมิสูงสุด
เฉลี่ย ทศวรรษที่ 2021-2030



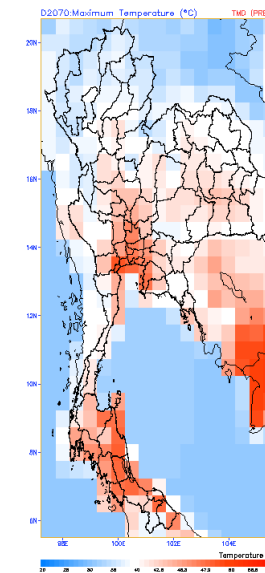
รูปที่ 42 คาดการณ์อุณหภูมิสูงสุด
เฉลี่ย ทศวรรษที่ 2031-2040



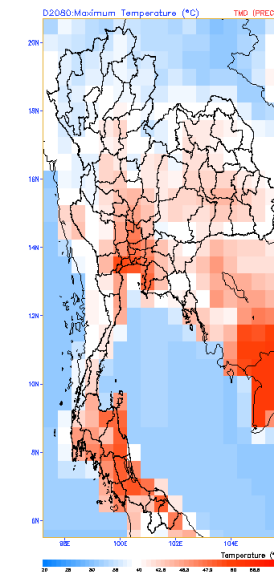
รูปที่ 43 คาดการณ์อุณหภูมิสูงสุด
เฉลี่ย ทศวรรษที่ 2041-2050



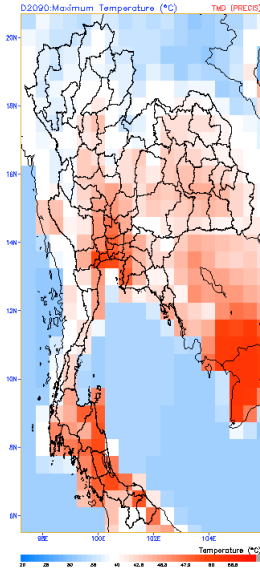
รูปที่ 44 คาดการณ์อุณหภูมิสูงสุด
เฉลี่ย ทศวรรษที่ 2051-2060



รูปที่ 45 คาดการณ์อุณหภูมิสูงสุด
เฉลี่ย ทศวรรษที่ 2061-2070



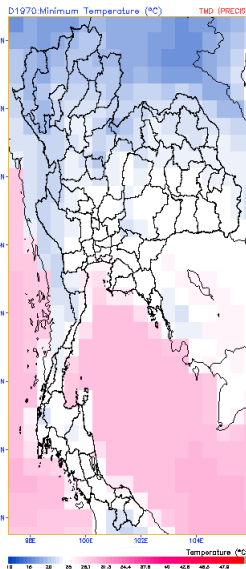
รูปที่ 46 คาดการณ์อุณหภูมิสูงสุด
เฉลี่ย ทศวรรษที่ 2071-2080



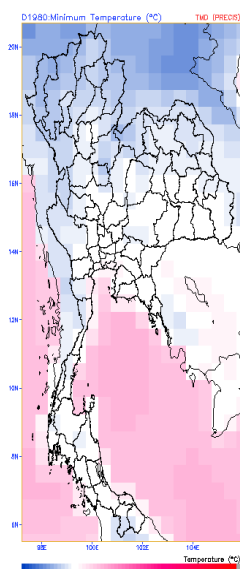
เมื่อพิจารณาอุณหภูมิสูงสุดเฉลี่ยของประเทศไทยรายทศวรรษ ตั้งแต่ทศวรรษที่ 1970 (ค.ศ.1961-1970) จนถึงทศวรรษที่ 2090 (ค.ศ. 2081-2090) ปรากฏว่าพื้นที่ที่มีอากาศร้อนขยายพื้นที่เพิ่มมากขึ้นในแต่ละทศวรรษ เมื่อเปรียบเทียบช่วงทศวรรษที่ 2000(ค.ศ. 1991-2000) และ ทศวรรษที่ 2090 (ค.ศ.2081-2090) พื้นที่ที่มีอากาศร้อนขยายพื้นที่เพิ่มมากขึ้นอย่างชัดเจน

รูปที่ 47 คาดการณ์อุณหภูมิสูงสุดเฉลี่ย
ทศวรรษที่ 2081-2090

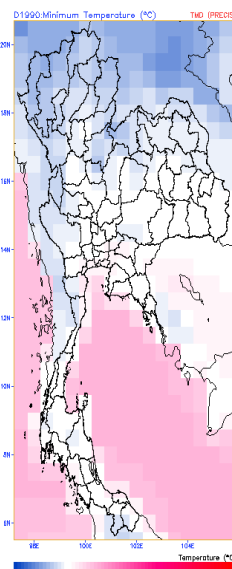
2.3 ผลการคาดการณ์อุณหภูมิต่ำสุดเฉลี่ยในอดีต และอนาคต ตั้งแต่ ค .ศ. 1961-2090 (พ.ศ. 2504-2633)



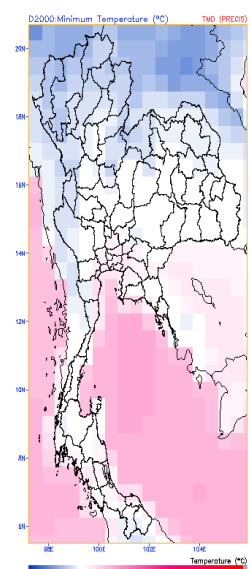
รูปที่ 48 คาดการณ์อุณหภูมิต่ำสุด
เฉลี่ย ทศวรรษที่ 2061-2070



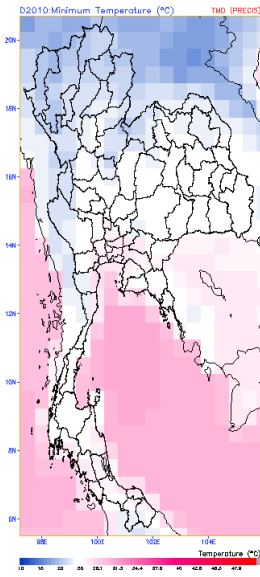
รูปที่49 คาดการณ์อุณหภูมิต่ำสุด
เฉลี่ย ทศวรรษที่ 2071-2080



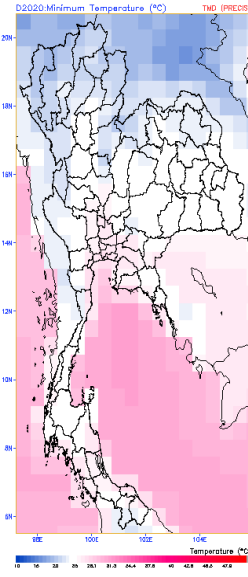
รูปที่50 คาดการณ์อุณหภูมิต่ำสุด
เฉลี่ย ทศวรรษที่ 2081-2090



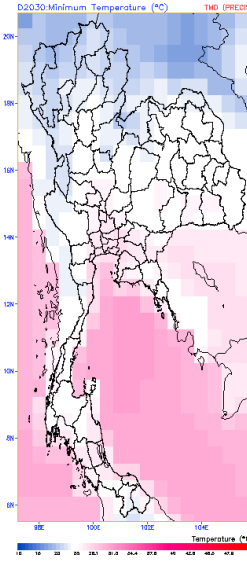
รูปที่51 คาดการณ์อุณหภูมิต่ำสุด
เฉลี่ย ทศวรรษที่ 2091-2000



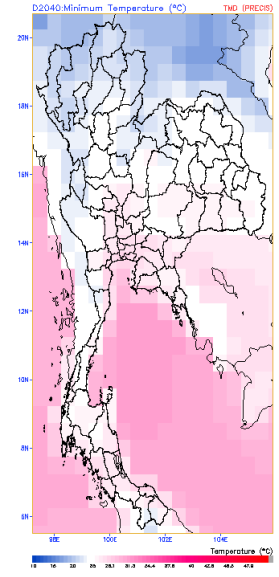
รูปที่ 52 คาดการณ์อุณหภูมิต่ำสุด
เฉลี่ย ทศวรรษที่ 2001-2010



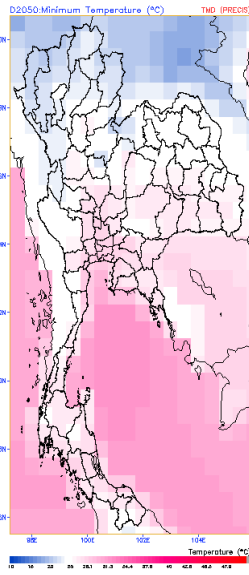
รูปที่ 53 คาดการณ์อุณหภูมิต่ำสุด
เฉลี่ย ทศวรรษที่ 2011-2020



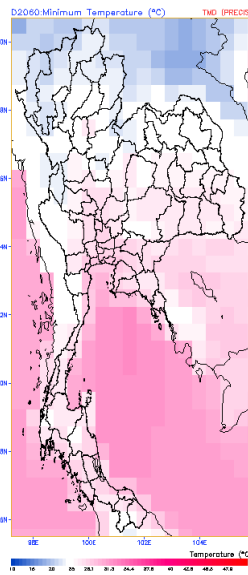
รูปที่ 54 คาดการณ์อุณหภูมิต่ำสุด
เฉลี่ย ทศวรรษที่ 2021-2030



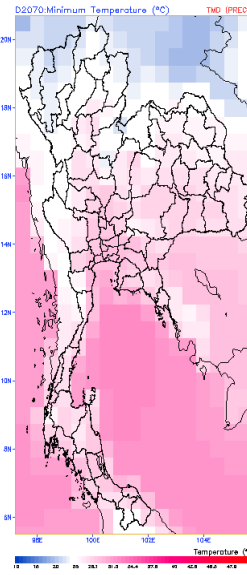
รูปที่ 55 คาดการณ์อุณหภูมิต่ำสุด
เฉลี่ย ทศวรรษที่ 2031-2040



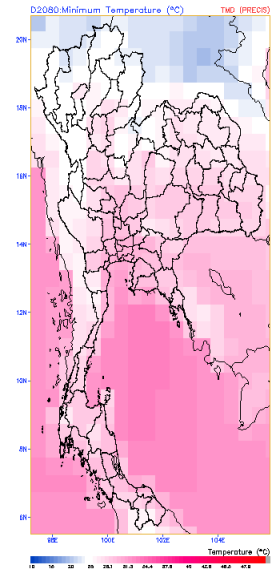
รูปที่ 56 คาดการณ์อุณหภูมิต่ำสุด
เฉลี่ย ทศวรรษที่ 2041-2050



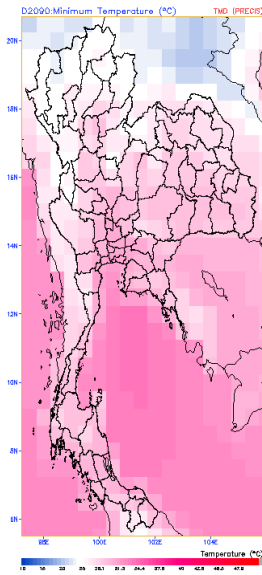
รูปที่ 57 คาดการณ์อุณหภูมิต่ำสุด
เฉลี่ย ทศวรรษที่ 2051-2060



รูปที่ 58 คาดการณ์อุณหภูมิต่ำสุด
เฉลี่ย ทศวรรษที่ 2061-2070



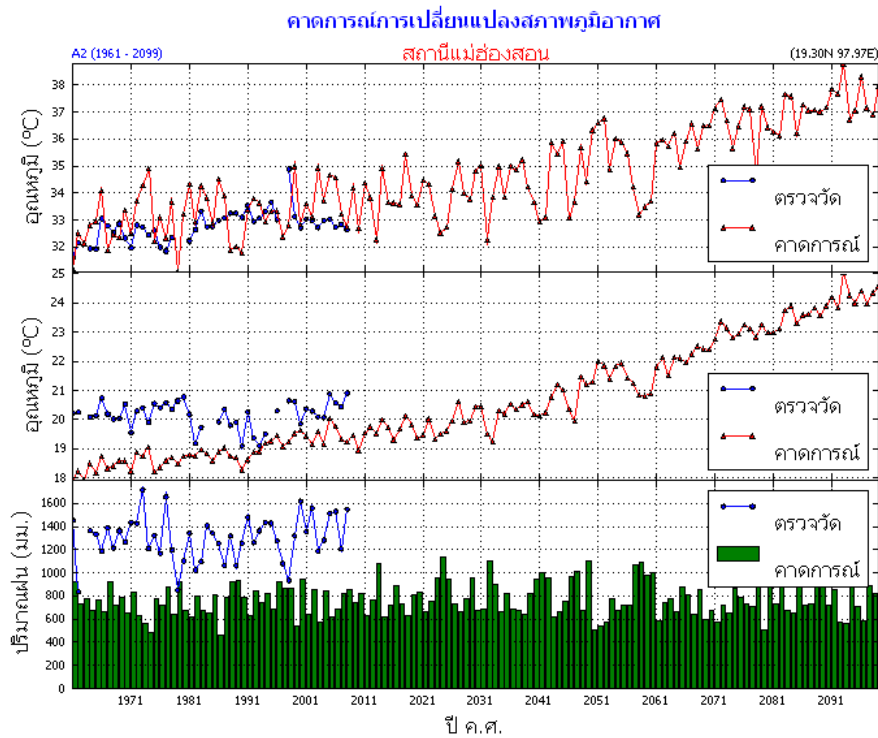
รูปที่ 59 คาดการณ์อุณหภูมิต่ำสุด
เฉลี่ย ทศวรรษที่ 2071-2080



เมื่อพิจารณาอุณหภูมิต่ำสุดเฉลี่ยของประเทศไทยรายทศวรรษ ตั้งแต่ทศวรรษที่ 1970 (ค.ศ. 1961-1970)จนถึงทศวรรษที่ 2090 (ค.ศ.2081-2090) ปรากฏว่า พื้นที่ที่มีอากาศเย็นลดพื้นที่ลงในแต่ละทศวรรษ เมื่อเปรียบเทียบช่วงทศวรรษที่ 2000 (ค.ศ.1991-2000) และทศวรรษที่ 2090 (ค.ศ.2081-2090) พื้นที่ที่มีอากาศเย็นลดพื้นที่ลงอย่างชัดเจน

รูปที่ 60 คาดการณ์อุณหภูมิต่ำสุดเฉลี่ย
ทศวรรษที่ 2081-2090

2.4 ผลการคาดการณ์ อุณหภูมิสูงสุดเฉลี่ย อุณหภูมิต่ำสุดเฉลี่ย และปริมาณฝนในอดีตและอนาคต ตั้งแต่ปี ค.ศ. 1961-2100 (พ.ศ.2504-2643) เปรียบเทียบข้อมูลที่ได้จากการตรวจวัดจริงสถานีอุตุนิยมวิทยาที่เริ่มทำการตรวจวัด



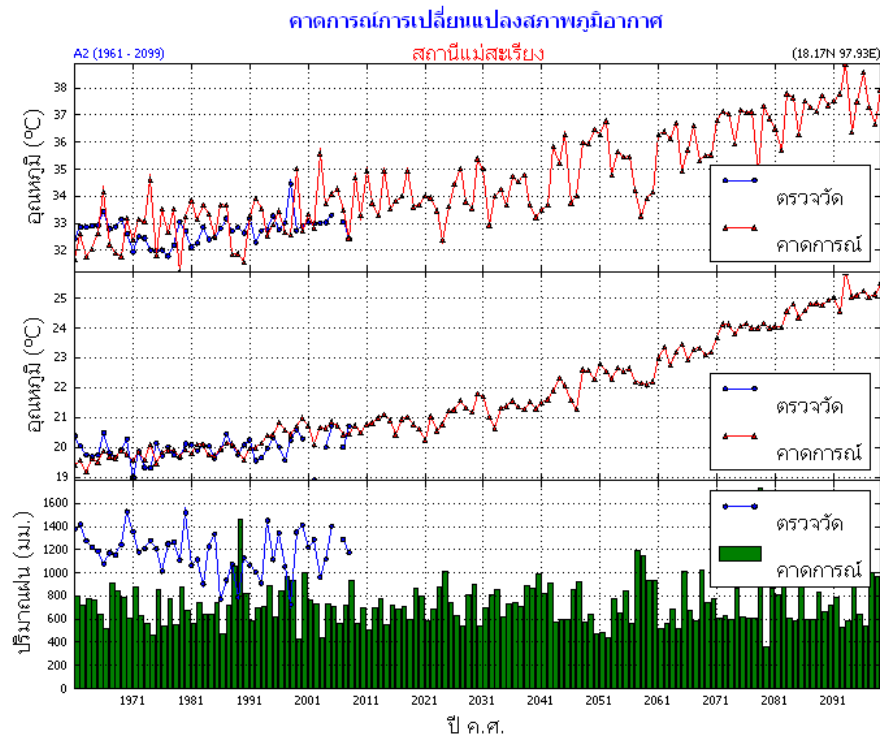
รูปที่ 61 คาดการณ์การเปลี่ยนแปลงภูมิอากาศ สถานีแม่ฮ่องสอน

สถานีแม่ฮ่องสอน

อุณหภูมิสูงสุดเฉลี่ย (บน) จากการวิเคราะห์เปรียบเทียบข้อมูลอุณหภูมิสูงสุดเฉลี่ยที่ได้จากรูปแบบจำลองและการตรวจวัดจริง พบว่าผลของข้อมูลทั้งสองไปในทิศทางเดียวกัน แต่บางปีอุณหภูมิมีความคลาดเคลื่อนประมาณ 1-2 องศาเซลเซียส สำหรับแนวโน้มอุณหภูมิสูงสุดเฉลี่ยในทศวรรษที่ 2100 (ค.ศ.2091-2100) สูงกว่าทศวรรษที่ 2000 (ค.ศ.1991-2000) ประมาณ 4-5 องศาเซลเซียส

อุณหภูมิต่ำสุดเฉลี่ย (กลาง) จากการวิเคราะห์เปรียบเทียบข้อมูลอุณหภูมิต่ำสุดเฉลี่ยที่ได้จากรูปแบบจำลองต่ำกว่าอุณหภูมิที่ได้จากการตรวจวัดจริงประมาณ 2 องศาเซลเซียส แต่แนวโน้มของอุณหภูมิไปในทิศทางเดียวกัน และในทศวรรษที่ 2100 (ค.ศ.2091-2100) พบว่า อุณหภูมิต่ำสุดเฉลี่ยสูงกว่าทศวรรษที่ 2000 (ค.ศ. 1991-2000) ประมาณ 4- 5 องศาเซลเซียส

ปริมาณฝน (ล่าง) จากการวิเคราะห์เปรียบเทียบข้อมูลปริมาณฝนที่ได้จากรูปแบบจำลองและที่ได้จากการตรวจวัดจริงพบว่า มีค่าคลาดเคลื่อนสูง โดยปริมาณฝนที่ได้จากรูปแบบจำลองต่ำกว่าปริมาณฝนที่ได้จากการตรวจวัดจริง ประมาณ 600-800 มม. แนวโน้มปริมาณฝนในทศวรรษที่ 2100 (ค.ศ.2091-2100) ยังไม่ชัดเจน



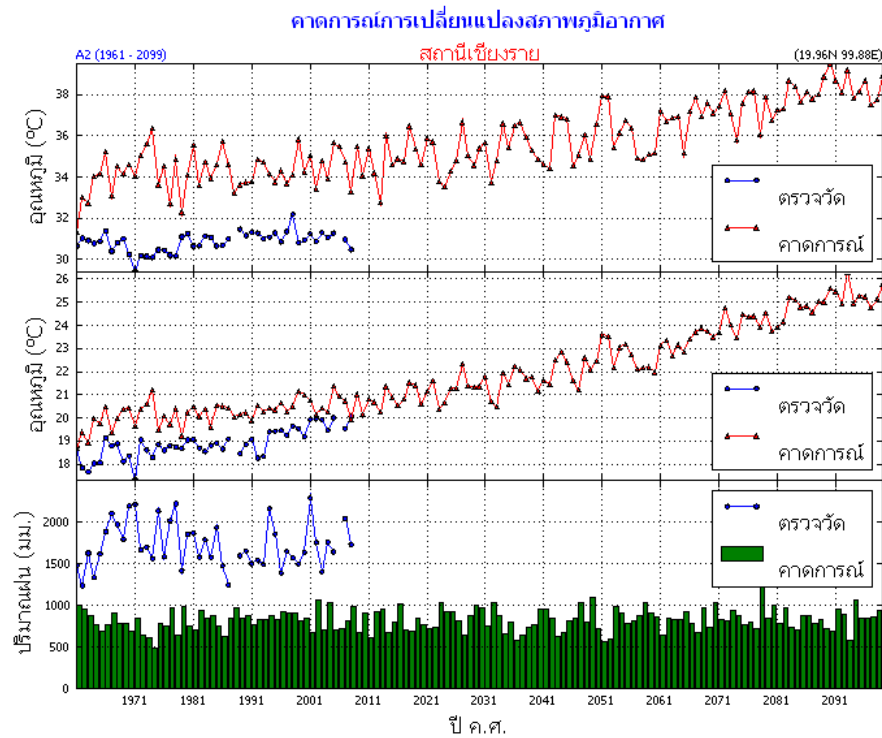
รูปที่ 62 คาดการณ์การเปลี่ยนแปลงภูมิอากาศ สถานีแม่สะเรียง

สถานีแม่สะเรียง จังหวัดแม่ฮ่องสอน

อุณหภูมิสูงสุดเฉลี่ย (บน) จากการวิเคราะห์เปรียบเทียบข้อมูลอุณหภูมิสูงสุดเฉลี่ยที่ได้จากรูปแบบจำลองและการตรวจวัดจริง พบว่ามีค่าใกล้เคียงกันและไปในทิศทางเดียวกัน แนวโน้มอุณหภูมิสูงสุดเฉลี่ยในทศวรรษที่ 2100 (ค.ศ.2091-2100) สูงกว่าทศวรรษที่ 2000 (ค.ศ.1991-2000) ประมาณ 4-5 องศาเซลเซียส

อุณหภูมิต่ำสุดเฉลี่ย (กลาง) จากการวิเคราะห์เปรียบเทียบข้อมูลอุณหภูมิต่ำสุดเฉลี่ยที่ได้จากรูปแบบจำลองใกล้เคียงกับอุณหภูมิที่ได้จากการตรวจวัดจริงและมีแนวโน้มไปในทิศทางเดียวกัน สำหรับในทศวรรษที่ 2100 (ค.ศ.2091-2100) พบว่า อุณหภูมิต่ำสุดเฉลี่ยสูงกว่าทศวรรษที่ 2000 (ค.ศ.1991-2000) ประมาณ 4-5 องศาเซลเซียส

ปริมาณฝน (ล่าง) จากการวิเคราะห์เปรียบเทียบข้อมูลปริมาณฝนที่ได้จากรูปแบบจำลองและที่ได้จากการตรวจวัดจริงพบว่า มีค่าคลาดเคลื่อนสูง ประมาณ 600-800 มม. แนวโน้มปริมาณฝนในทศวรรษที่ 2100 (ค.ศ.2091-2100) ยังไม่ชัดเจน



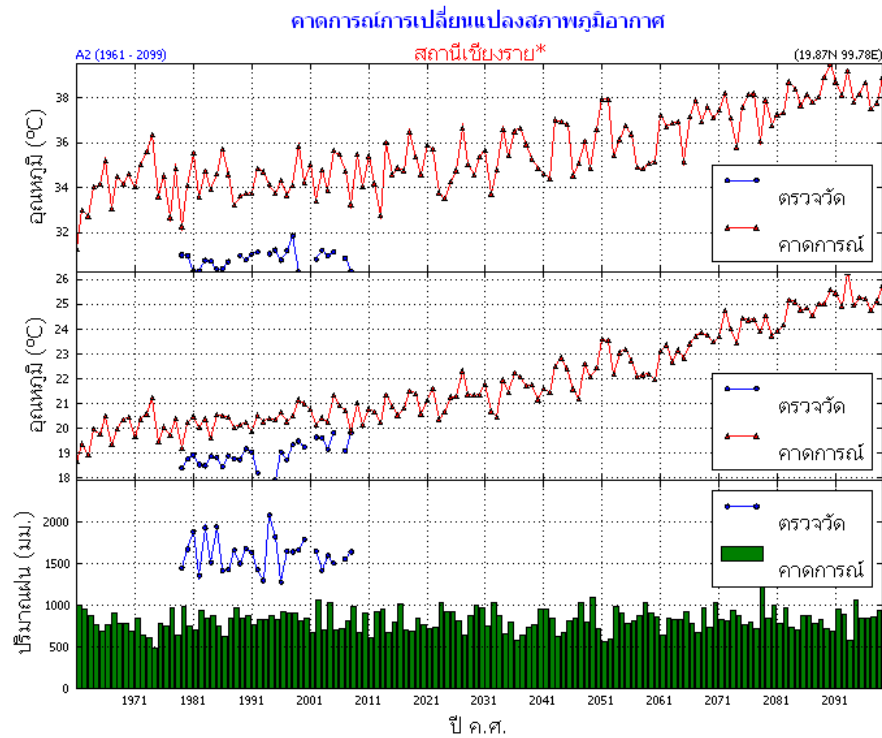
รูปที่ 63 คาดการณ์การเปลี่ยนแปลงภูมิอากาศ สถานีเชียงใหม่

สถานีเชียงใหม่

อุณหภูมิสูงสุดเฉลี่ย (บน) จากการวิเคราะห์เปรียบเทียบข้อมูลอุณหภูมิสูงสุดเฉลี่ยที่ได้จากรูปแบบจำลองสูงกว่าอุณหภูมิที่ได้จากการตรวจวัดจริง ประมาณ 2-4 องศาเซลเซียส แต่มีแนวโน้มไปในทิศทางเดียวกัน สำหรับแนวโน้มอุณหภูมิสูงสุดเฉลี่ยในทศวรรษที่ 2100 (ค.ศ.2091-2100) สูงกว่าทศวรรษที่ 2000 (ค.ศ.1991-2000) ประมาณ 4-5 องศาเซลเซียส

อุณหภูมิต่ำสุดเฉลี่ย (กลาง) จากการวิเคราะห์เปรียบเทียบข้อมูลอุณหภูมิต่ำสุดเฉลี่ยที่ได้จากรูปแบบจำลองสูงกว่าอุณหภูมิที่ได้จากการตรวจวัดจริงประมาณ 1-2 องศาเซลเซียส แต่มีแนวโน้มไปในทิศทางเดียวกัน สำหรับในทศวรรษที่ 2100 (ค.ศ.2091-2100) พบว่า อุณหภูมิต่ำสุดเฉลี่ยสูงกว่าทศวรรษที่ 2000 (ค.ศ.1991-2000) ประมาณ 4-5 องศาเซลเซียส

ปริมาณฝน (ล่าง) จากการวิเคราะห์เปรียบเทียบข้อมูลปริมาณฝนที่ได้จากรูปแบบจำลองและที่ได้จากการตรวจวัดจริงพบว่า มีค่าคลาดเคลื่อนสูง ประมาณ 600-800 มม. แนวโน้มปริมาณฝนในทศวรรษที่ 2100 (ค.ศ.2091-2100) ยังไม่ชัดเจน



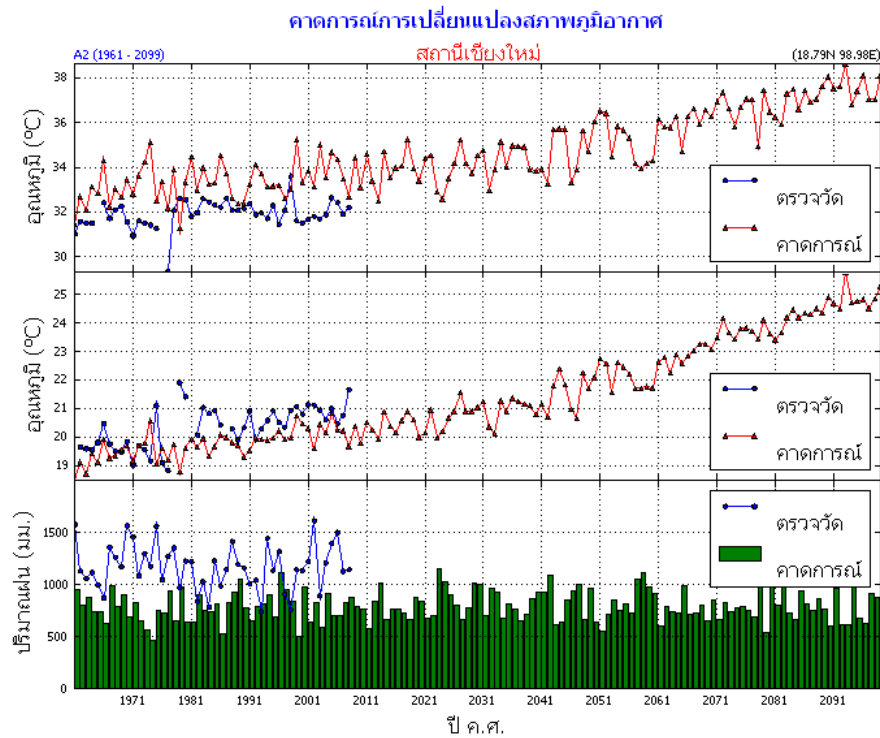
รูปที่ 64 คาดการณ์การเปลี่ยนแปลงภูมิอากาศ สถานีอุตุนิยมวิทยาเกษตรเชียงราย

สถานีเชียงราย ข้อมูลที่นำมาวิเคราะห์เป็นของสถานีอุตุนิยมวิทยาเกษตร เริ่มตรวจวัดตั้งแต่ ค.ศ. 1979-2007

อุณหภูมิสูงสุดเฉลี่ย (บน) จากการวิเคราะห์เปรียบเทียบข้อมูลอุณหภูมิสูงสุดเฉลี่ยที่ได้จากรูปแบบจำลองสูงกว่าอุณหภูมิที่ได้จากการตรวจวัดจริง โดยมีความคลาดเคลื่อนประมาณ 2-3 องศาเซลเซียส แต่มีแนวโน้มไปในทิศทางเดียวกัน สำหรับ แนวโน้มอุณหภูมิสูงสุดเฉลี่ยในทศวรรษที่ 2100 (ค.ศ. 2091-2100) สูงกว่าทศวรรษที่ 2000 (ค.ศ. 1991-2000) ประมาณ 4-5 องศาเซลเซียส

อุณหภูมิต่ำสุดเฉลี่ย (กลาง) จากการวิเคราะห์เปรียบเทียบข้อมูลอุณหภูมิต่ำสุดเฉลี่ยที่ได้จากรูปแบบจำลองสูงกว่าอุณหภูมิที่ได้จากการตรวจวัดจริง โดยมีความคลาดเคลื่อนประมาณ 1-2 องศาเซลเซียส แต่มีแนวโน้มไปในทิศทางเดียวกัน สำหรับในทศวรรษที่ 2100 (ค.ศ. 2091-2100) พบว่า อุณหภูมิต่ำสุดเฉลี่ยสูงกว่าทศวรรษที่ 2000 (ค.ศ. 1991-2000) ประมาณ 4-5 องศาเซลเซียส

ปริมาณฝน (ล่าง) จากการวิเคราะห์เปรียบเทียบข้อมูลปริมาณฝนที่ได้จากรูปแบบจำลองพบว่า ปริมาณฝนต่ำกว่าที่ได้จากการตรวจวัดจริง โดยมีความคลาดเคลื่อนประมาณ 500-800 มม. แนวโน้มปริมาณฝนในทศวรรษที่ 2100 (ค.ศ. 2091-2100) ยังไม่ชัดเจน



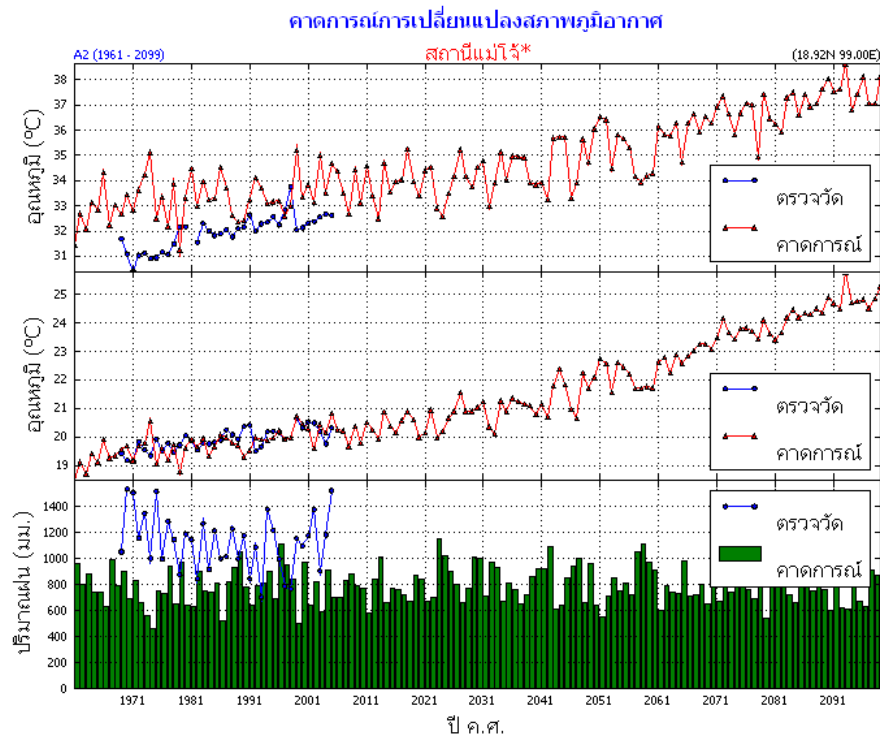
รูปที่ 65 คาดการณ์การเปลี่ยนแปลงภูมิอากาศ สถานีเชียงใหม่

สถานีเชียงใหม่

อุณหภูมิสูงสุดเฉลี่ย (บน) จากการวิเคราะห์เปรียบเทียบข้อมูลอุณหภูมิสูงสุดเฉลี่ยที่ได้จากรูปแบบจำลองสูงกว่าอุณหภูมิที่ได้จากการตรวจวัดจริง โดยมีความคลาดเคลื่อน ประมาณ 1-2 องศาเซลเซียส แต่มีแนวโน้มไปในทิศทางเดียวกัน สำหรับแนวโน้มอุณหภูมิสูงสุดเฉลี่ยในทศวรรษที่ 2100 (ค.ศ.2091-2100) สูงกว่าทศวรรษที่ 2000 (ค.ศ.1991-2000) ประมาณ 4-5 องศาเซลเซียส

อุณหภูมิต่ำสุดเฉลี่ย (กลาง) จากการวิเคราะห์เปรียบเทียบข้อมูลอุณหภูมิต่ำสุดเฉลี่ยที่ได้จากรูปแบบจำลองใกล้เคียงกับอุณหภูมิที่ได้จากการตรวจวัดจริง และมีแนวโน้มไปในทิศทางเดียวกัน สำหรับในทศวรรษที่ 2100 (ค.ศ.2091-2100) พบว่า อุณหภูมิต่ำสุดเฉลี่ยสูงกว่าทศวรรษที่ 2000 (ค.ศ.1991-2000) ประมาณ 4-5 องศาเซลเซียส

ปริมาณฝน (ล่าง) จากการวิเคราะห์เปรียบเทียบข้อมูลปริมาณฝนที่ได้จากรูปแบบจำลองและที่ได้จากการตรวจวัดจริงพบว่า มีค่าคลาดเคลื่อนสูง ประมาณ 600-800 มม. แนวโน้มปริมาณฝนในทศวรรษที่ 2100 (ค.ศ.2091-2100) มีแนวโน้มลดลง



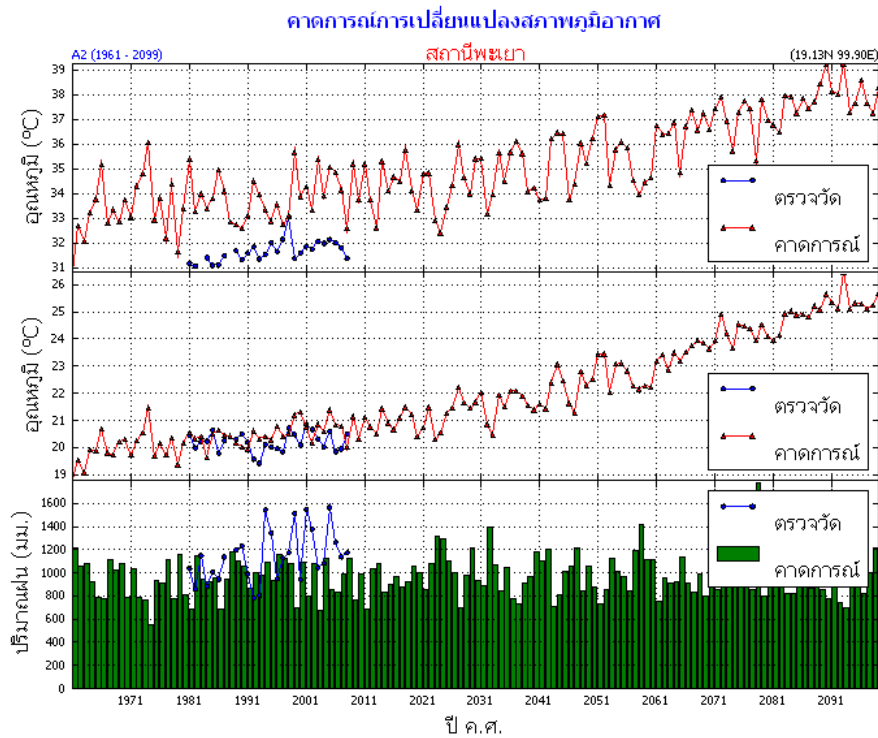
รูปที่ 66 คาดการณ์การเปลี่ยนแปลงภูมิอากาศ สถานีแม่โจ้

สถานีแม่โจ้ จังหวัดเชียงใหม่ ข้อมูลที่นำมาวิเคราะห์เป็นของสถานีอุตุนิยมวิทยาเกษตร เริ่มตรวจวัดตั้งแต่ค .ศ. 1969-2007

อุณหภูมิสูงสุดเฉลี่ย (บน) จากการวิเคราะห์เปรียบเทียบข้อมูลอุณหภูมิสูงสุดเฉลี่ยที่ได้จากรูปแบบจำลองสูงกว่าอุณหภูมิที่ได้จากการตรวจวัดจริง โดยมีความคลาดเคลื่อนประมาณ 1-2 องศาเซลเซียส แต่มีแนวโน้มไปในทิศทางเดียวกัน สำหรับ แนวโน้มอุณหภูมิสูงสุดเฉลี่ยในทศวรรษที่ 2100 (ค.ศ.2091-2100) สูงกว่าทศวรรษที่ 2000 (ค.ศ.1991-2000) ประมาณ 4-5 องศาเซลเซียส

อุณหภูมิต่ำสุดเฉลี่ย (กลาง) จากการวิเคราะห์เปรียบเทียบข้อมูลอุณหภูมิต่ำสุดเฉลี่ยที่ได้จากรูปแบบจำลองใกล้เคียงอุณหภูมิที่ได้จากการตรวจวัดจริง และมีแนวโน้มไปในทิศทางเดียวกัน สำหรับในทศวรรษที่ 2100 (ค.ศ.2091-2100) พบว่า อุณหภูมิต่ำสุดเฉลี่ยสูงกว่าทศวรรษที่ 2000 (ค.ศ.1991-2000) ประมาณ 4-5 องศาเซลเซียส

ปริมาณฝน (ล่าง) จากการวิเคราะห์เปรียบเทียบข้อมูลปริมาณฝนที่ได้จากรูปแบบจำลองสูงกว่าปริมาณฝนที่ได้จากการตรวจวัดจริง โดยมีความคลาดเคลื่อนประมาณ 600-800 มม. แนวโน้มปริมาณฝนในทศวรรษที่ 2100 (ค.ศ.2091-2100) ยังไม่ชัดเจน



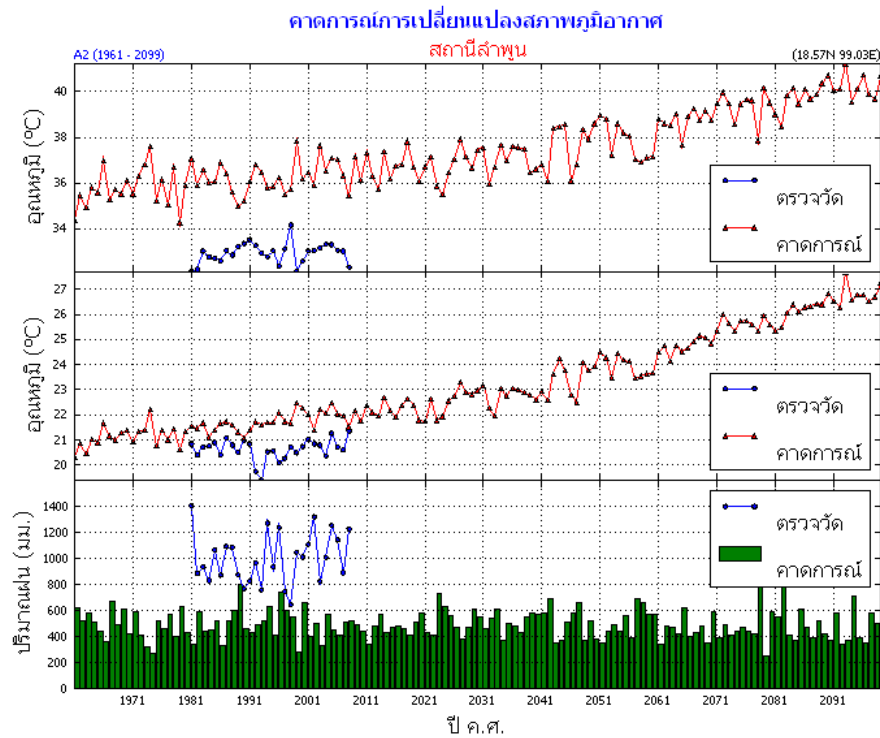
รูปที่ 67 คาดการณ์การเปลี่ยนแปลงภูมิอากาศ สถานีพะเยา

สถานีพะเยา ข้อมูลตรวจวัดเริ่มตั้งแต่ ค.ศ. 1981-2008

อุณหภูมิสูงสุดเฉลี่ย (บน) จากการวิเคราะห์เปรียบเทียบข้อมูลอุณหภูมิสูงสุดเฉลี่ยที่ได้จากรูปแบบจำลองสูงกว่าอุณหภูมิที่ได้จากการตรวจวัดจริง โดยมีความคลาดเคลื่อนประมาณ 1-2 องศาเซลเซียส แต่มีแนวโน้มไปในทิศทางเดียวกัน สำหรับแนวโน้มอุณหภูมิสูงสุดเฉลี่ยในทศวรรษที่ 2100 (ค.ศ.2091-2100) สูงกว่าทศวรรษที่ 2000 (ค.ศ.1991-2000) ประมาณ 4-5 องศาเซลเซียส

อุณหภูมิต่ำสุดเฉลี่ย (กลาง) จากการวิเคราะห์เปรียบเทียบข้อมูลอุณหภูมิต่ำสุดเฉลี่ยที่ได้จากรูปแบบจำลองใกล้เคียงอุณหภูมิที่ได้จากการตรวจวัดจริง และมีแนวโน้มไปในทิศทางเดียวกัน สำหรับในทศวรรษที่ 2100 (ค.ศ.2091-2100) พบว่า อุณหภูมิต่ำสุดเฉลี่ยสูงกว่าทศวรรษที่ 2000 (ค.ศ.1991-2000) ประมาณ 4-5 องศาเซลเซียส

ปริมาณฝน (ล่าง) จากการวิเคราะห์เปรียบเทียบข้อมูลปริมาณฝนที่ได้จากรูปแบบจำลองส่วนใหญ่ต่ำกว่าปริมาณฝนที่ได้จากการตรวจวัด แนวโน้มปริมาณฝนในทศวรรษที่ 2100 (ค.ศ.2091-2100) ยังไม่ชัดเจน



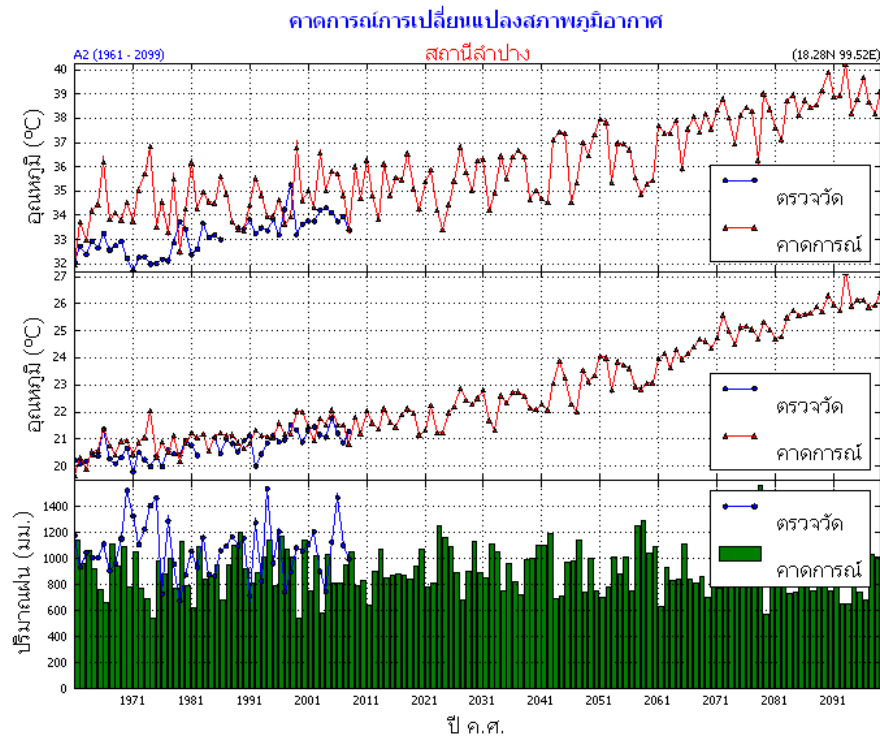
รูปที่ 68 คาดการณ์การเปลี่ยนแปลงภูมิอากาศ สถานีลำพูน

สถานีลำพูน ข้อมูลตรวจวัดเริ่มตั้งแต่ ค.ศ. 1981-2008

อุณหภูมิสูงสุดเฉลี่ย (บน) จากการวิเคราะห์เปรียบเทียบข้อมูลอุณหภูมิสูงสุดเฉลี่ยที่ได้จากรูปแบบจำลองสูงกว่าอุณหภูมิที่ได้จากการตรวจวัด โดยมีความคลาดเคลื่อนประมาณ 2-3 องศาเซลเซียส แต่มีแนวโน้มไปในทิศทางเดียวกัน สำหรับแนวโน้มอุณหภูมิสูงสุดเฉลี่ยใน ทศวรรษที่ 2100 (ค.ศ.2091-2100) สูงกว่าทศวรรษที่ 2000 (ค.ศ.1991-2000) ประมาณ 4-5 องศาเซลเซียส

อุณหภูมิต่ำสุดเฉลี่ย (กลาง) จากการวิเคราะห์เปรียบเทียบข้อมูลอุณหภูมิต่ำสุดเฉลี่ยที่ได้จากรูปแบบจำลองสูงกว่าอุณหภูมิที่ได้จากการตรวจวัด โดยมีความ คลาดเคลื่อนประมาณ 1-2 องศาเซลเซียส แต่มีแนวโน้มไปในทิศทางเดียวกัน สำหรับในทศวรรษที่ 2100 (ค.ศ.2091-2100) พบว่า อุณหภูมิต่ำสุดเฉลี่ยสูงกว่า ทศวรรษที่ 2000 (ค.ศ.1991-2000) ประมาณ 4-5 องศาเซลเซียส

ปริมาณฝน (ล่าง) จากการวิเคราะห์เปรียบเทียบข้อมูลปริมาณฝนที่ได้จากรูปแบบจำลองสูงกว่า ปริมาณฝนที่ได้จากการตรวจวัด โดยมีค่าคลาดเคลื่อน ประมาณ 600-800 มม. แนวโน้มปริมาณฝนในทศวรรษ ที่ 2100 (ค.ศ.2091-2100) มีแนวโน้มลดลง



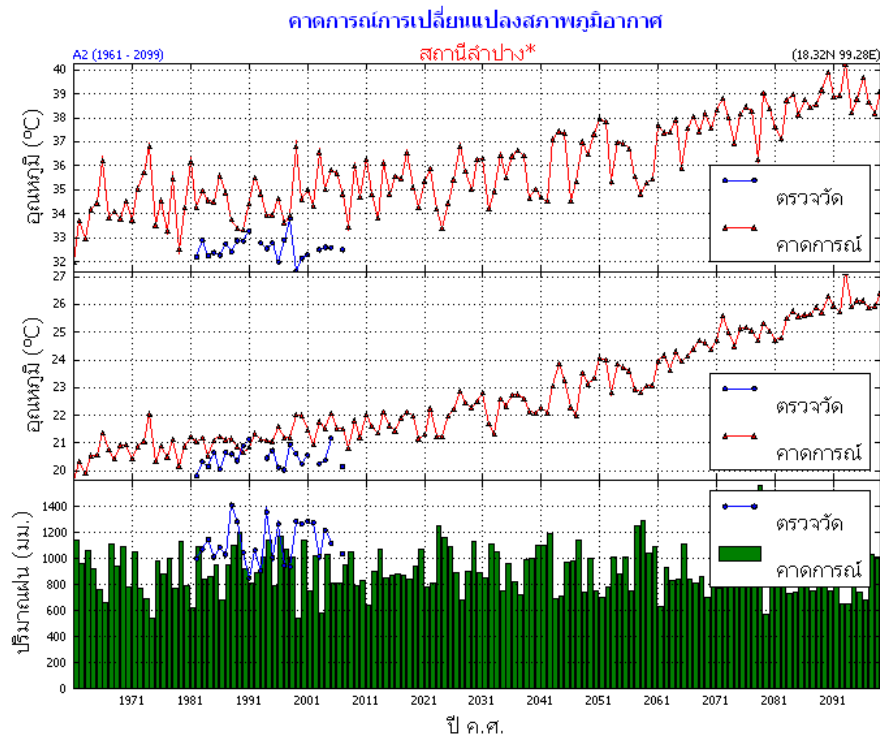
รูปที่ 69 คาดการณ์การเปลี่ยนแปลงภูมิอากาศ สถานีลำปาง

สถานีลำปาง

อุณหภูมิสูงสุดเฉลี่ย (บน) จากการวิเคราะห์เปรียบเทียบข้อมูลอุณหภูมิสูงสุดเฉลี่ยที่ได้จากรูปแบบจำลองสูงกว่าอุณหภูมิที่ได้จากการตรวจวัด โดยมีความคลาดเคลื่อนประมาณ 1-2 องศาเซลเซียส แต่มีแนวโน้มไปในทิศทางเดียวกัน สำหรับ แนวโน้มอุณหภูมิสูงสุดเฉลี่ยในทศวรรษที่ 2100 (ค.ศ.2091-2100) สูงกว่าทศวรรษที่ 2000 (ค.ศ.1991-2000) ประมาณ 4-5 องศาเซลเซียส

อุณหภูมิต่ำสุดเฉลี่ย (กลาง) จากการวิเคราะห์เปรียบเทียบข้อมูลอุณหภูมิต่ำสุดเฉลี่ยที่ได้จากรูปแบบจำลองใกล้เคียงอุณหภูมิที่ได้จากการตรวจวัดจริง และมีแนวโน้มไปในทิศทางเดียวกัน สำหรับในทศวรรษที่ 2100 (ค.ศ.2091-2100) พบว่า อุณหภูมิต่ำสุดเฉลี่ยสูงกว่าทศวรรษที่ 2000 (ค.ศ.1991-2000) ประมาณ 4-5 องศาเซลเซียส

ปริมาณฝน (ล่าง) จากการวิเคราะห์เปรียบเทียบข้อมูลปริมาณฝนที่ได้จากรูปแบบจำลองต่ำกว่าปริมาณฝนที่ได้จากการตรวจวัด แต่บางปีมีค่าใกล้เคียงกัน แนวโน้มปริมาณฝนในทศวรรษที่ 2100 (ค.ศ.2091-2100) มีแนวโน้มลดลง



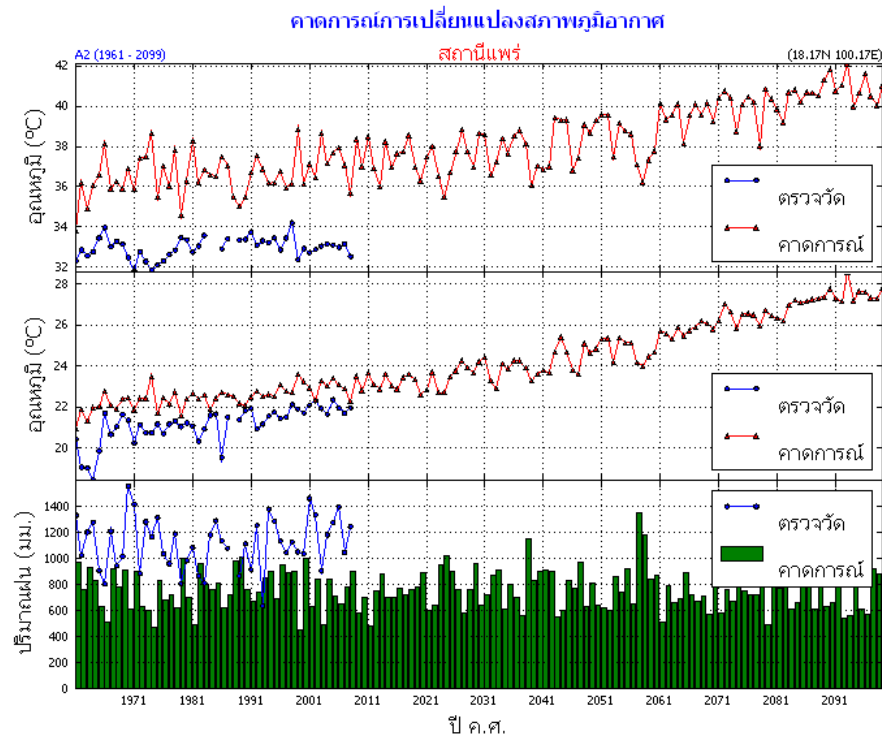
รูปที่ 70 การคาดการณ์การเปลี่ยนแปลงภูมิอากาศ สถานีอุตุวิทยามหาวิทยาลัยลำปาง

สถานีลำปาง ข้อมูลที่นำมาวิเคราะห์เป็นของสถานีอุตุวิทยามหาวิทยาลัย ตรวจวัดตั้งแต่ ค.ศ. 1981-2007

อุณหภูมิสูงสุดเฉลี่ย จากการวิเคราะห์เปรียบเทียบข้อมูลอุณหภูมิสูงสุดเฉลี่ยที่ได้จากรูปแบบจำลองสูงกว่าอุณหภูมิที่ได้จากการตรวจวัด โดยมีความคลาดเคลื่อนประมาณ 1-2 องศาเซลเซียส แต่มีแนวโน้มไปในทิศทางเดียวกัน สำหรับแนวโน้มอุณหภูมิสูงสุดเฉลี่ยในทศวรรษที่ 2100 (ค.ศ.2091-2100) สูงกว่าทศวรรษที่ 2000 (ค.ศ.1991-2000) ประมาณ 4-5 องศาเซลเซียส

อุณหภูมิต่ำสุดเฉลี่ย จากการวิเคราะห์เปรียบเทียบข้อมูลอุณหภูมิต่ำสุดเฉลี่ยที่ได้จากรูปแบบจำลองใกล้เคียงอุณหภูมิที่ได้จากการตรวจวัดจริง และมีแนวโน้มไปในทิศทางเดียวกัน สำหรับในทศวรรษที่ 2100 (ค.ศ.2091-2100) พบว่า อุณหภูมิต่ำสุดเฉลี่ยสูงกว่าทศวรรษที่ 2000 (ค.ศ.1991-2000) ประมาณ 4-5 องศาเซลเซียส

ปริมาณฝน จากการวิเคราะห์เปรียบเทียบข้อมูลปริมาณฝนที่ได้จากรูปแบบจำลองต่ำกว่าปริมาณฝนที่ได้จากการตรวจวัดเล็กน้อย แนวโน้มปริมาณฝนในทศวรรษที่ 2100 (ค.ศ.2091-2100) ยังไม่ชัดเจน



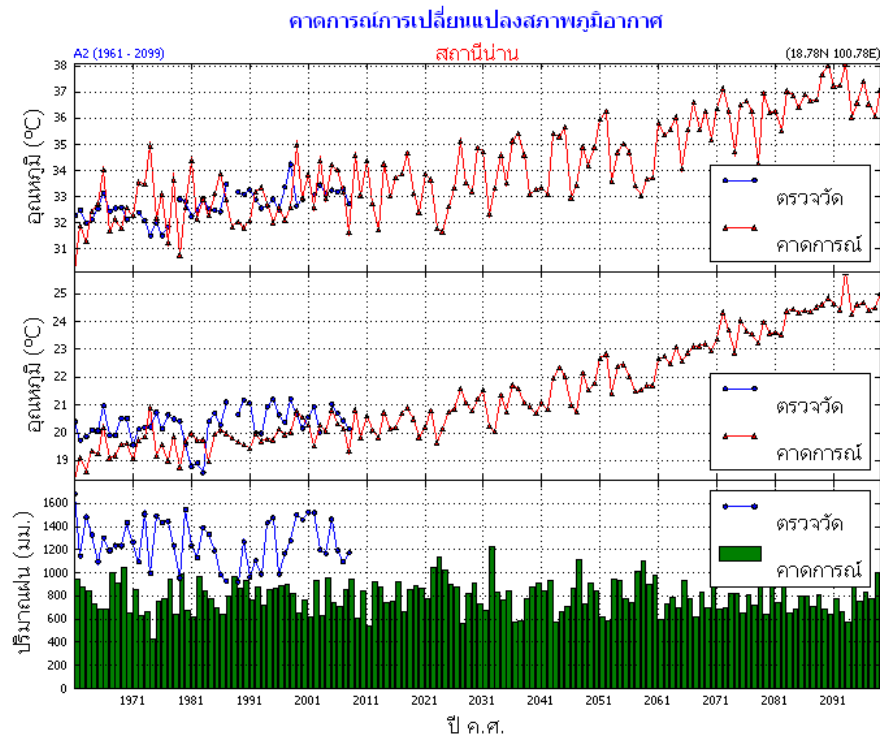
รูปที่ 71 คาดการณ์การเปลี่ยนแปลงภูมิอากาศ สถานีแพร่

สถานีแพร่

อุณหภูมิสูงสุดเฉลี่ย (บน) จากการวิเคราะห์เปรียบเทียบข้อมูลอุณหภูมิสูงสุดเฉลี่ยที่ได้จากรูปแบบจำลองสูงกว่าอุณหภูมิที่ได้จากการตรวจวัด โดย มีความคลาดเคลื่อนประมาณ 2-3 องศาเซลเซียส แต่มีแนวโน้มไปในทิศทางเดียวกัน สำหรับแนวโน้มอุณหภูมิสูงสุดเฉลี่ยในทศวรรษที่ 2100 (ค.ศ.2091-2100) สูงกว่าทศวรรษที่ 2000 (ค.ศ.1991-2000) ประมาณ 4-5 องศาเซลเซียส

อุณหภูมิต่ำสุดเฉลี่ย (กลาง) จากการวิเคราะห์เปรียบเทียบข้อมูลอุณหภูมิต่ำสุดเฉลี่ยที่ได้จากรูปแบบจำลองสูงกว่าอุณหภูมิที่ได้จากการตรวจวัดเล็กน้อย และมีแนวโน้มไปในทิศทางเดียวกัน สำหรับในทศวรรษที่ 2100 (ค.ศ.2091-2100) พบว่า อุณหภูมิต่ำสุดเฉลี่ยสูงกว่าทศวรรษที่ 2000 (ค.ศ.1991-2000) ประมาณ 4-5 องศาเซลเซียส

ปริมาณฝน (ล่าง) จากการวิเคราะห์เปรียบเทียบข้อมูลปริมาณฝนที่ได้จากรูปแบบจำลองต่ำกว่าปริมาณฝนที่ได้จากการตรวจวัด โดยมีความคลาดเคลื่อนประมาณ 400-600 มม. แนวโน้มปริมาณฝนในทศวรรษที่ 2100 (ค.ศ.2091-2100) มีแนวโน้มลดลง



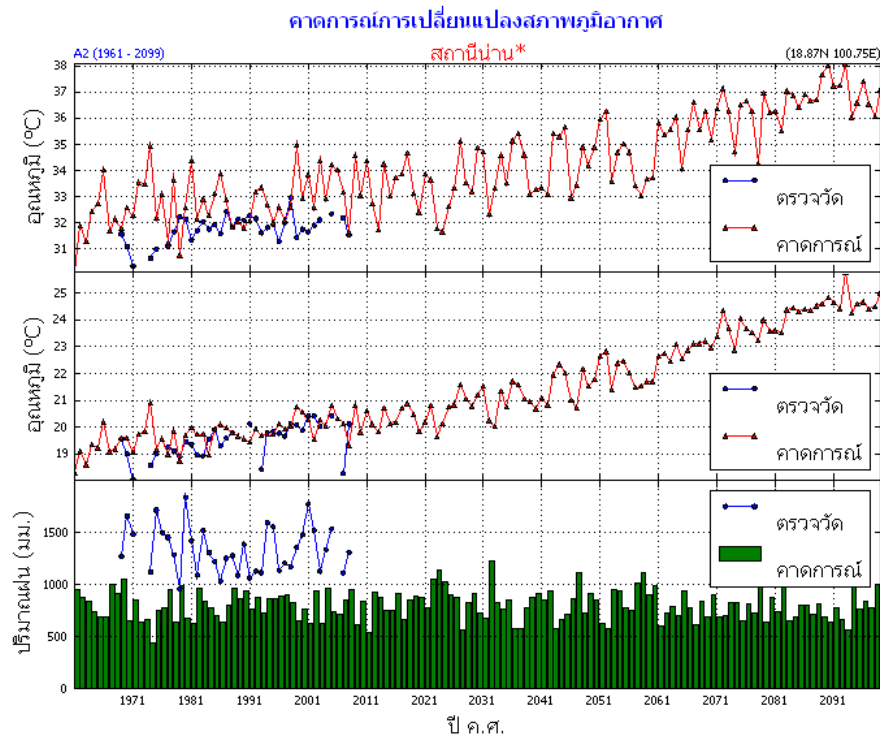
รูปที่ 72 คาดการณ์การเปลี่ยนแปลงภูมิอากาศ สถานีบ้าน

สถานีบ้าน

อุณหภูมิสูงสุดเฉลี่ย (บน) จากการวิเคราะห์เปรียบเทียบข้อมูลอุณหภูมิสูงสุดเฉลี่ยที่ได้จากรูปแบบจำลองใกล้เคียงกับอุณหภูมิที่ได้จากการตรวจวัดจริงและมีแนวโน้มไปในทิศทางเดียวกัน สำหรับแนวโน้มอุณหภูมิสูงสุดเฉลี่ยในทศวรรษที่ 2100 (ค.ศ.2091-2100) สูงกว่าทศวรรษที่ 2000 (ค.ศ.1991-2000) ประมาณ 3-4 องศาเซลเซียส

อุณหภูมิต่ำสุดเฉลี่ย (กลาง) จากการวิเคราะห์เปรียบเทียบข้อมูลอุณหภูมิต่ำสุดเฉลี่ยที่ได้จากรูปแบบจำลองมีค่าใกล้เคียงกับอุณหภูมิที่ได้จากการตรวจวัดจริง และมีแนวโน้มไปในทิศทางเดียวกัน สำหรับในทศวรรษที่ 2100 (ค.ศ.2091-2100) พบว่า อุณหภูมิต่ำสุดเฉลี่ยสูงกว่าทศวรรษที่ 2000 (ค.ศ.1991-2000) ประมาณ 4-5 องศาเซลเซียส

ปริมาณฝน (ล่าง) จากการวิเคราะห์เปรียบเทียบข้อมูลปริมาณฝนที่ได้จากรูปแบบจำลองต่ำกว่าปริมาณฝนที่ได้จากการตรวจวัด โดยมีความคลาดเคลื่อนประมาณ 600-800 มม. แนวโน้มปริมาณฝนในทศวรรษที่ 2100 (ค.ศ.2091-2100) ยังไม่ชัดเจน



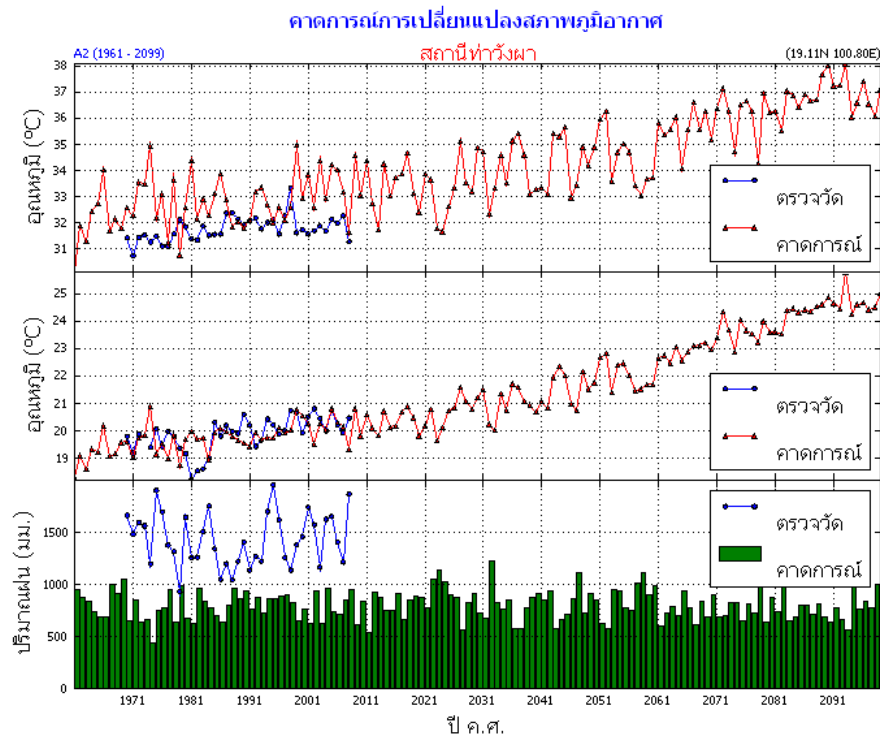
รูปที่ 73 การคาดการณ์การเปลี่ยนแปลงภูมิอากาศ สถานีอุตุณิมวิทยาเกษตรน่าน

สถานีบ้าน ข้อมูลที่นำมาวิเคราะห์เป็นข้อมูลสถานีอุตุณิมวิทยาเกษตร ตรวจวัดตั้งแต่ ค.ศ.1979-2008

อุณหภูมิสูงสุดเฉลี่ย (บน) จากการวิเคราะห์เปรียบเทียบข้อมูลอุณหภูมิสูงสุดเฉลี่ยที่ได้จากรูปแบบจำลองสูงกว่าอุณหภูมิที่ได้จากการตรวจวัดจริง โดยมีความคลาดเคลื่อนประมาณ 1-2 องศาเซลเซียส แต่ มีแนวโน้มไปในทิศทางเดียวกัน สำหรับแนวโน้มอุณหภูมิสูงสุดเฉลี่ยในทศวรรษที่ 2100 (ค.ศ.2091-2100) สูงกว่าทศวรรษที่ 2000 (ค.ศ.1991-2000) ประมาณ 4-5 องศาเซลเซียส

อุณหภูมิต่ำสุดเฉลี่ย (กลาง) จากการวิเคราะห์เปรียบเทียบข้อมูลอุณหภูมิต่ำสุดเฉลี่ยที่ได้จากรูปแบบจำลองมีค่าใกล้เคียงอุณหภูมิที่ได้จากการตรวจวัดจริง และมีแนวโน้มไปในทิศทางเดียวกัน สำหรับในทศวรรษที่ 2100 (ค.ศ.2091-2100) พบว่า อุณหภูมิต่ำสุดเฉลี่ยสูงกว่าทศวรรษที่ 2000 (ค.ศ.1991-2000) ประมาณ 4-5 องศาเซลเซียส

ปริมาณฝน (ล่าง) จากการวิเคราะห์เปรียบเทียบข้อมูลปริมาณฝนที่ได้จากรูปแบบจำลองต่ำกว่าปริมาณฝนที่ได้จากการตรวจวัด โดย มีค่าคลาดเคลื่อนประมาณ 600-800 มม. แนวโน้มปริมาณฝนในทศวรรษที่ 2100 (ค.ศ.2091-2100) ยังไม่ชัดเจน



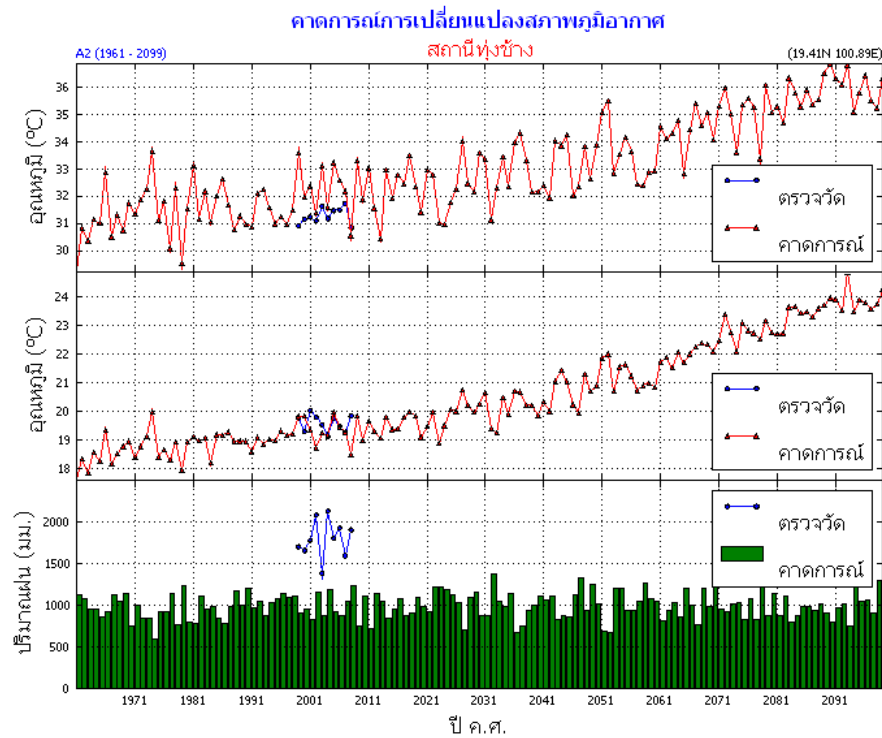
รูปที่ 74 คาดการณ์การเปลี่ยนแปลงภูมิอากาศ สถานีท่าวังผา

สถานีท่าวังผา จังหวัดน่าน ข้อมูลตรวจวัดเริ่มตั้งแต่ ค.ศ.1970-2008

อุณหภูมิสูงสุดเฉลี่ย (บน) จากการวิเคราะห์เปรียบเทียบข้อมูลอุณหภูมิสูงสุดเฉลี่ยที่ได้จากรูปแบบจำลองสูงกว่าอุณหภูมิที่ได้จากการตรวจวัดจริง โดยมีความคลาดเคลื่อนประมาณ 1-2 องศาเซลเซียส แต่มีแนวโน้มไปในทิศทางเดียวกัน สำหรับแนวโน้มอุณหภูมิสูงสุดเฉลี่ยในทศวรรษที่ 2100 (ค.ศ.2091-2100) สูงกว่าทศวรรษที่ 2000 (ค.ศ.1991-2000) ประมาณ 4 องศาเซลเซียส

อุณหภูมิต่ำสุดเฉลี่ย (กลาง) จากการวิเคราะห์เปรียบเทียบข้อมูลอุณหภูมิต่ำสุดเฉลี่ยที่ได้จากรูปแบบจำลองมีค่าใกล้เคียงอุณหภูมิที่ได้จากการตรวจวัด และมีแนวโน้มไปในทิศทางเดียวกัน สำหรับในทศวรรษที่ 2100 (ค.ศ.2091-2100) พบว่าอุณหภูมิต่ำสุดเฉลี่ยสูงกว่าทศวรรษที่ 2000 (ค.ศ.1991-2000) ประมาณ 4-5 องศาเซลเซียส

ปริมาณฝน (ล่าง) จากการวิเคราะห์เปรียบเทียบข้อมูลปริมาณฝนที่ได้จากรูปแบบจำลองต่ำกว่าอุณหภูมิที่ได้จากการตรวจวัด โดยมีความคลาดเคลื่อนประมาณ 600-800 มม. แนวโน้มปริมาณฝนในทศวรรษที่ 2100 (ค.ศ.2091-2100) ยังไม่ชัดเจน



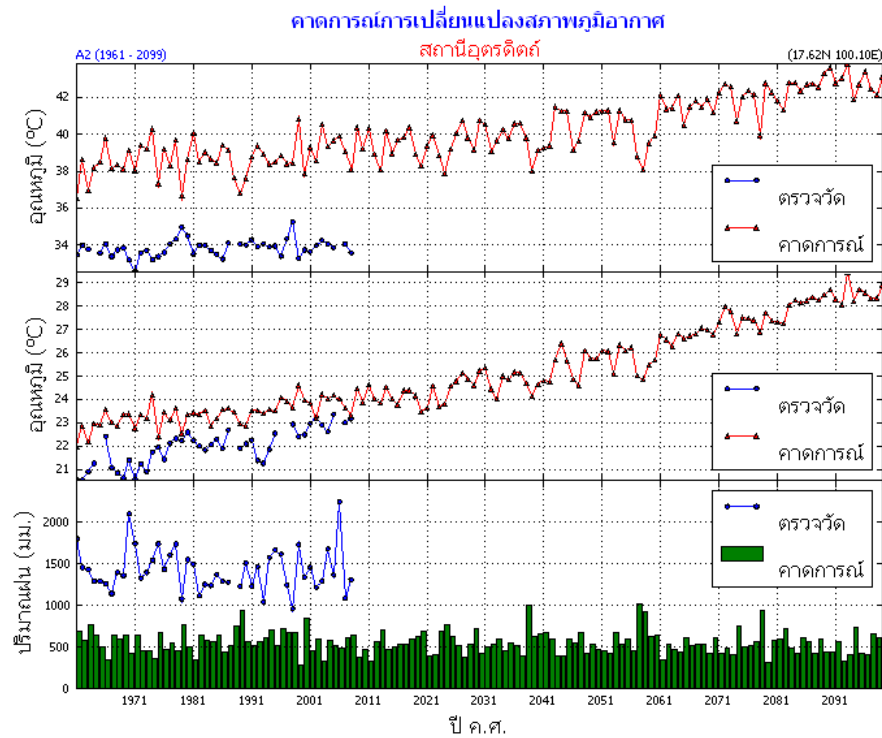
รูปที่ 75 คาดการณ์การเปลี่ยนแปลงภูมิอากาศ สถานีทุ่งช้าง

สถานีทุ่งช้าง จังหวัดน่าน ข้อมูลตรวจวัดเริ่มตั้งแต่ ค.ศ. 1999-2008

อุณหภูมิสูงสุดเฉลี่ย (บน) จากการวิเคราะห์เปรียบเทียบข้อมูลอุณหภูมิสูงสุดเฉลี่ยที่ได้จากรูปแบบจำลองสูงกว่าอุณหภูมิที่ได้จากการตรวจวัดจริงเล็กน้อย และมีแนวโน้มไปในทิศทางเดียวกัน สำหรับแนวโน้มอุณหภูมิสูงสุดเฉลี่ยในทศวรรษที่ 2100 (ค.ศ.2091-2100) สูงกว่าทศวรรษที่ 2000 (ค.ศ.1991-2000) 4-5 องศาเซลเซียส

อุณหภูมิต่ำสุดเฉลี่ย (กลาง) จากการวิเคราะห์เปรียบเทียบข้อมูลอุณหภูมิต่ำสุดเฉลี่ยที่ได้จากรูปแบบจำลองมีค่าใกล้เคียงอุณหภูมิที่ได้จากการตรวจวัด และมีแนวโน้มไปในทิศทางเดียวกัน สำหรับในทศวรรษที่ 2100 (ค.ศ.2091-2100) พบว่า อุณหภูมิต่ำสุดเฉลี่ยสูงกว่าทศวรรษที่ 2000 (ค.ศ.1991-2000) ประมาณ 4-5 องศาเซลเซียส

ปริมาณฝน (ล่าง) จากการวิเคราะห์เปรียบเทียบข้อมูลปริมาณฝนที่ได้จากรูปแบบจำลองต่ำกว่าปริมาณที่ได้จากการตรวจวัด โดยมีความคลาดเคลื่อนประมาณ 600-800 มม. แนวโน้มปริมาณฝนในทศวรรษที่ 2100 (ค.ศ.2091-2100) ยังไม่ชัดเจน



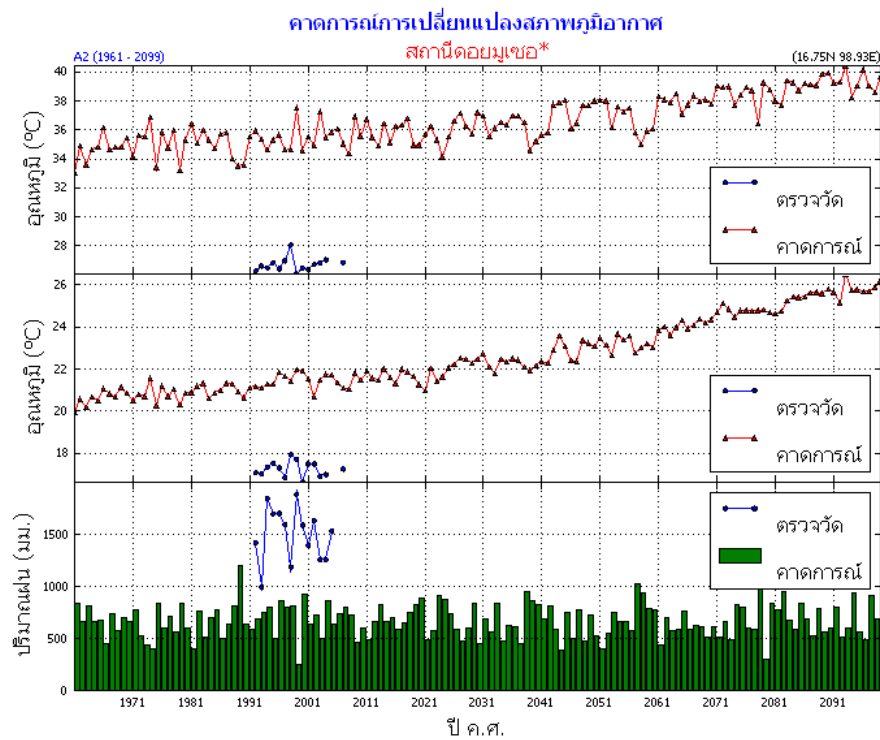
รูปที่ 76 การคาดการณ์การเปลี่ยนแปลงภูมิอากาศ สถานีอุตรดิตถ์

สถานีอุตรดิตถ์

อุณหภูมิสูงสุดเฉลี่ย (บน) จากการวิเคราะห์เปรียบเทียบข้อมูลอุณหภูมิสูงสุดเฉลี่ยที่ได้จากรูปแบบจำลองสูงกว่าอุณหภูมิที่ได้จากการตรวจวัด โดยมีความคลาดเคลื่อนประมาณ 4-5 องศาเซลเซียส แต่มีแนวโน้มไปในทิศทางเดียวกัน สำหรับแนวโน้มอุณหภูมิสูงสุดเฉลี่ยในทศวรรษที่ 2100 (ค.ศ.2091-2100) สูงกว่าทศวรรษที่ 2000 (ค.ศ.1991-2000) ประมาณ 4-5 องศาเซลเซียส

อุณหภูมิต่ำสุดเฉลี่ย (กลาง) จากการวิเคราะห์เปรียบเทียบข้อมูลอุณหภูมิต่ำสุดเฉลี่ยที่ได้จากรูปแบบจำลองสูงกว่าอุณหภูมิที่ได้จากการตรวจวัด ประมาณ 1-2 องศาเซลเซียส แต่มีแนวโน้มไปในทิศทางเดียวกัน สำหรับในทศวรรษที่ 2100 (ค.ศ.2091-2100) พบว่า อุณหภูมิต่ำสุดเฉลี่ยสูงกว่าทศวรรษที่ 2000 (ค.ศ. 1991-2000) ประมาณ 5-6 องศาเซลเซียส

ปริมาณฝน (ล่าง) จากการวิเคราะห์เปรียบเทียบข้อมูลปริมาณฝนที่ได้จากรูปแบบจำลองสูงกว่าปริมาณฝนที่ได้จากการตรวจวัดมาก แนวโน้มปริมาณฝนในทศวรรษที่ 2100 (ค.ศ.2091-2100) ยังไม่ชัดเจน



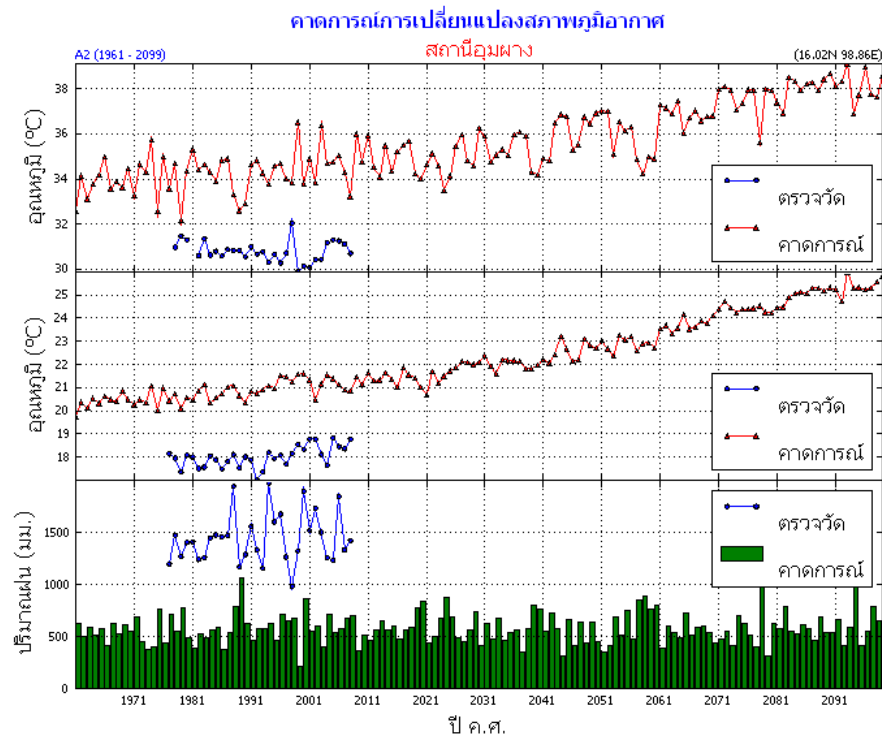
รูปที่ 77 คาดการณ์การเปลี่ยนแปลงภูมิอากาศ สถานีอุตุนิยมวิทยาเกษตรดอยมูเซอ

สถานีดอยมูเซอ ข้อมูลตรวจวัดเริ่มตั้งแต่ ค.ศ.1992-2008

อุณหภูมิสูงสุดเฉลี่ย (บน) จากการวิเคราะห์เปรียบเทียบข้อมูลอุณหภูมิสูงสุดเฉลี่ยที่ได้จากรูปแบบจำลองสูงกว่าอุณหภูมิที่ได้จากการตรวจวัดมากเกือบ 10 องศาเซลเซียส แต่มีแนวโน้มไปในทิศทางเดียวกัน สำหรับแนวโน้มอุณหภูมิสูงสุดเฉลี่ยในทศวรรษที่ 2100 (ค.ศ.2091-2100) สูงกว่าทศวรรษที่ 2000 (ค.ศ.1991-2000) ประมาณ 4-5 องศาเซลเซียส

อุณหภูมิต่ำสุดเฉลี่ย (กลาง) จากการวิเคราะห์เปรียบเทียบข้อมูลอุณหภูมิต่ำสุดเฉลี่ยที่ได้จากรูปแบบจำลองสูงกว่าอุณหภูมิที่ได้จากการตรวจวัดประมาณ 2-3 องศาเซลเซียส แต่มีแนวโน้มไปในทิศทางเดียวกัน สำหรับในทศวรรษที่ 2100 (ค.ศ.2091-2100) พบว่า อุณหภูมิต่ำสุดเฉลี่ยสูงกว่าทศวรรษที่ 2000 (ค.ศ. 1991-2000) ประมาณ 4-5 องศาเซลเซียส

ปริมาณฝน (ล่าง) จากการวิเคราะห์เปรียบเทียบข้อมูลปริมาณฝนที่ได้จากรูปแบบจำลองต่ำกว่าปริมาณฝนที่ได้จากการตรวจวัด โดยมีความคลาดเคลื่อนประมาณ 500-1000 มม. แนวโน้มปริมาณฝนในทศวรรษที่ 2100 (ค.ศ.2091-2100) ยังไม่ชัดเจน



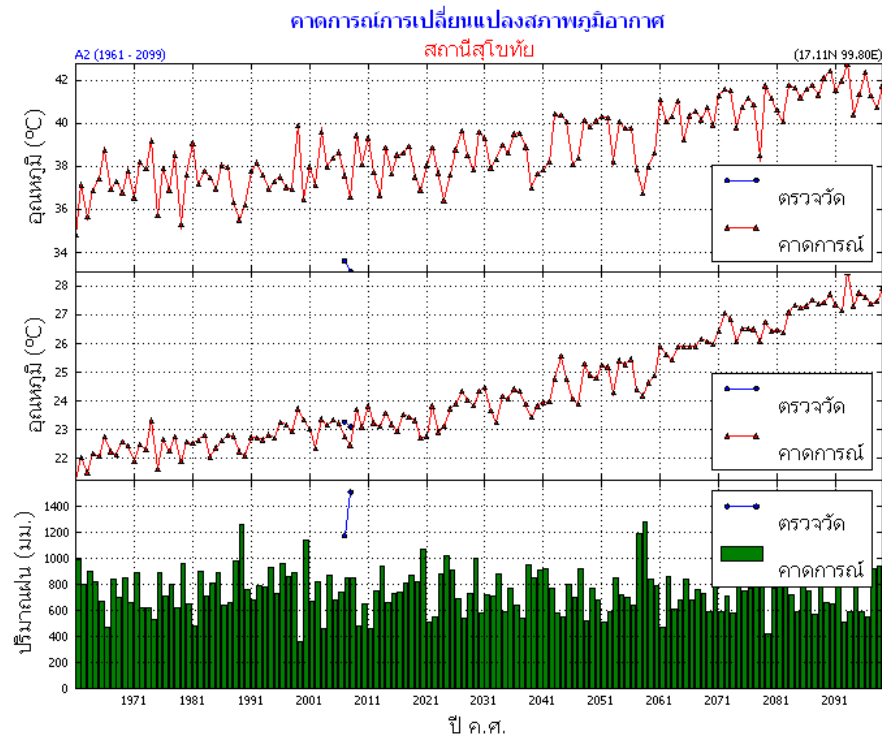
รูปที่ 78 การคาดการณ์การเปลี่ยนแปลงภูมิอากาศ สถานีอุ้มผาง

สถานีอุ้มผาง ข้อมูลตรวจวัดเริ่มตั้งแต่ค.ศ. 1976-2008

อุณหภูมิสูงสุดเฉลี่ย (บน) จากการวิเคราะห์เปรียบเทียบข้อมูลอุณหภูมิสูงสุดเฉลี่ยที่ได้จากรูปแบบจำลองสูงกว่าอุณหภูมิที่ได้จากการตรวจวัดประมาณ 3-4 องศาเซลเซียส แต่มีแนวโน้มไปในทิศทางเดียวกัน สำหรับแนวโน้มอุณหภูมิสูงสุดเฉลี่ยในทศวรรษที่ 2100 (ค.ศ.2091-2100) สูงกว่าทศวรรษที่ 2000 (ค.ศ.1991-2000) ประมาณ 4-5 องศาเซลเซียส

อุณหภูมิต่ำสุดเฉลี่ย (กลาง) จากการวิเคราะห์เปรียบเทียบข้อมูลอุณหภูมิต่ำสุดเฉลี่ยที่ได้จากรูปแบบจำลองสูงกว่าอุณหภูมิที่ได้จากการตรวจวัดประมาณ 2 องศาเซลเซียส แต่มีแนวโน้มไปในทิศทางเดียวกัน สำหรับในทศวรรษที่ 2100 (ค.ศ.2091-2100) พบว่า อุณหภูมิต่ำสุดเฉลี่ยสูงกว่าทศวรรษที่ 2000 (ค.ศ.1991-2000) ประมาณ 4-5 องศาเซลเซียส

ปริมาณฝน (ล่าง) จากการวิเคราะห์เปรียบเทียบข้อมูลปริมาณฝนที่ได้จากรูปแบบจำลองต่ำกว่าปริมาณฝนที่ได้จากการตรวจวัดมาก แนวโน้มปริมาณฝนในทศวรรษที่ 2100 (ค.ศ.2091-2100) ยังไม่ชัดเจน



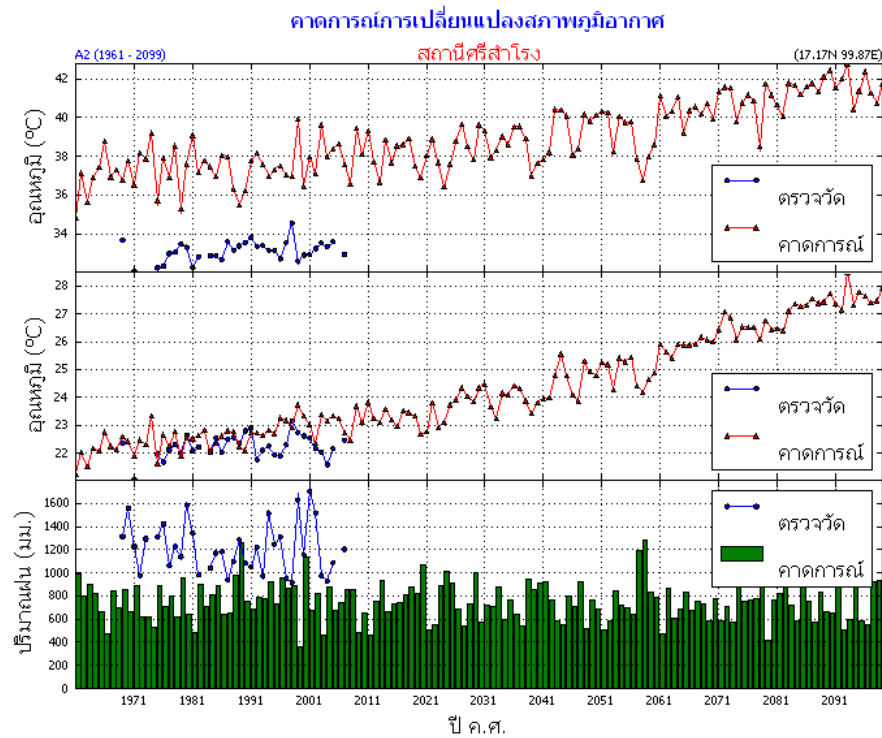
รูปที่ 79 คาดการณ์การเปลี่ยนแปลงภูมิอากาศ สถานีสุโขทัย

สถานีสุโขทัย

อุณหภูมิสูงสุดเฉลี่ย (บน) ข้อมูลที่ได้จากการตรวจวัดจริงเป็นข้อมูลที่ไม่สมบูรณ์ จึงได้วิเคราะห์เฉพาะข้อมูลที่ได้จากรูปแบบจำลอง จากการวิเคราะห์พบว่า แนวโน้มอุณหภูมิสูงสุดในทศวรรษที่ 2100 (ค.ศ. 2091-2100) สูงกว่าทศวรรษที่ 2000 (ค.ศ.1991-2000) ประมาณ 4-5 องศาเซลเซียส

อุณหภูมิต่ำสุดเฉลี่ย (กลาง) จากการวิเคราะห์พบว่าแนวโน้มอุณหภูมิต่ำสุดเฉลี่ยในทศวรรษที่ 2100 (ค.ศ. 2091-2100) สูงกว่าทศวรรษที่ 2000 (ค.ศ.1991-2000) ประมาณ 4-5 องศาเซลเซียส

ปริมาณฝน (ล่าง) จากการวิเคราะห์ข้อมูลปริมาณฝน พบว่าแนวโน้มปริมาณฝนในทศวรรษที่ 2100 (ค.ศ.2091-2100) ยังไม่ชัดเจน



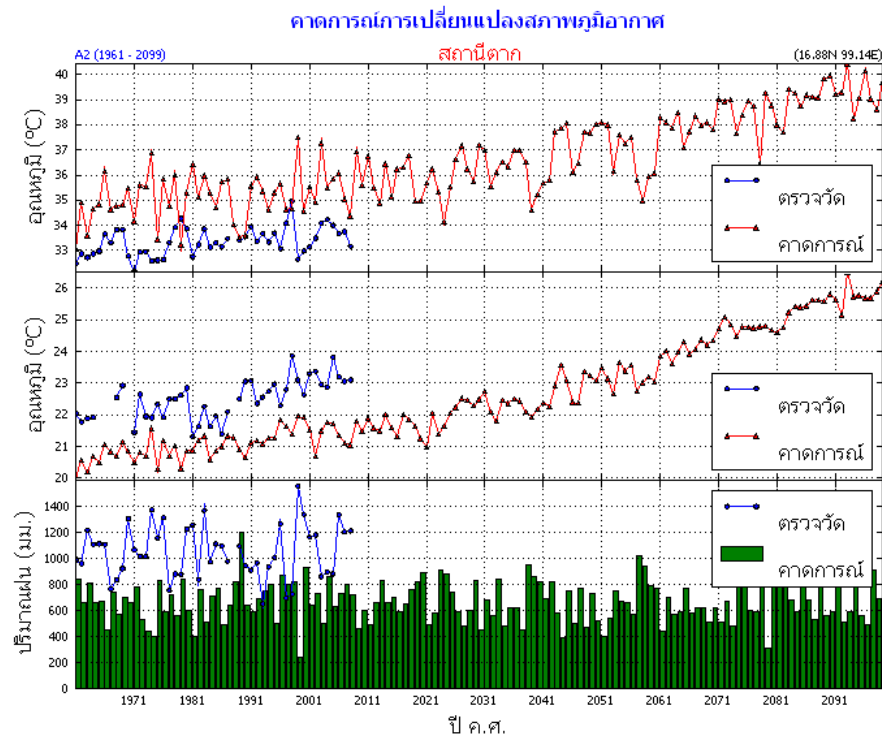
รูปที่ 80 คาดการณ์การเปลี่ยนแปลงภูมิอากาศ สถานีศรีสำโรง

สถานีศรีสำโรง จังหวัดสุโขทัย ข้อมูลตรวจวัดเริ่มตั้งแต่ ค.ศ. 1969-2008

อุณหภูมิสูงสุดเฉลี่ย (บน) จากการวิเคราะห์เปรียบเทียบข้อมูลอุณหภูมิสูงสุดเฉลี่ยที่ได้จากรูปแบบจำลองสูงกว่าอุณหภูมิที่ได้จากการตรวจวัด โดยมีความ คลาดเคลื่อนประมาณ 3-4 องศาเซลเซียส แต่มีแนวโน้มไปในทิศทางเดียวกัน สำหรับแนวโน้มอุณหภูมิสูงสุดเฉลี่ยในทศวรรษที่ 2100 (ค.ศ.2091-2100) สูงกว่าทศวรรษที่ 2000 (ค.ศ.1991-2000) ประมาณ 4-5 องศาเซลเซียส

อุณหภูมิต่ำสุดเฉลี่ย (กลาง) จากการวิเคราะห์เปรียบเทียบข้อมูลอุณหภูมิต่ำสุดเฉลี่ยที่ได้จากรูปแบบจำลองมีค่าใกล้เคียงกับอุณหภูมิที่ได้จากการตรวจวัดจริง และมีแนวโน้มไปในทิศทางเดียวกัน สำหรับในทศวรรษที่ 2100 (ค.ศ.2091-2100) พบว่า อุณหภูมิต่ำสุดเฉลี่ยสูงกว่าทศวรรษที่ 2000 (ค.ศ.1991-2000) ประมาณ 4-5 องศาเซลเซียส

ปริมาณฝน (ล่าง) จากการวิเคราะห์เปรียบเทียบข้อมูลปริมาณฝนที่ได้จากรูปแบบจำลองต่ำกว่าปริมาณฝนที่ได้จากการตรวจวัด โดยมีความ คลาดเคลื่อนประมาณ 400-600 มม. แนวโน้มปริมาณฝนในทศวรรษที่ 2100 (ค.ศ.2091-2100) ยังไม่ชัดเจน



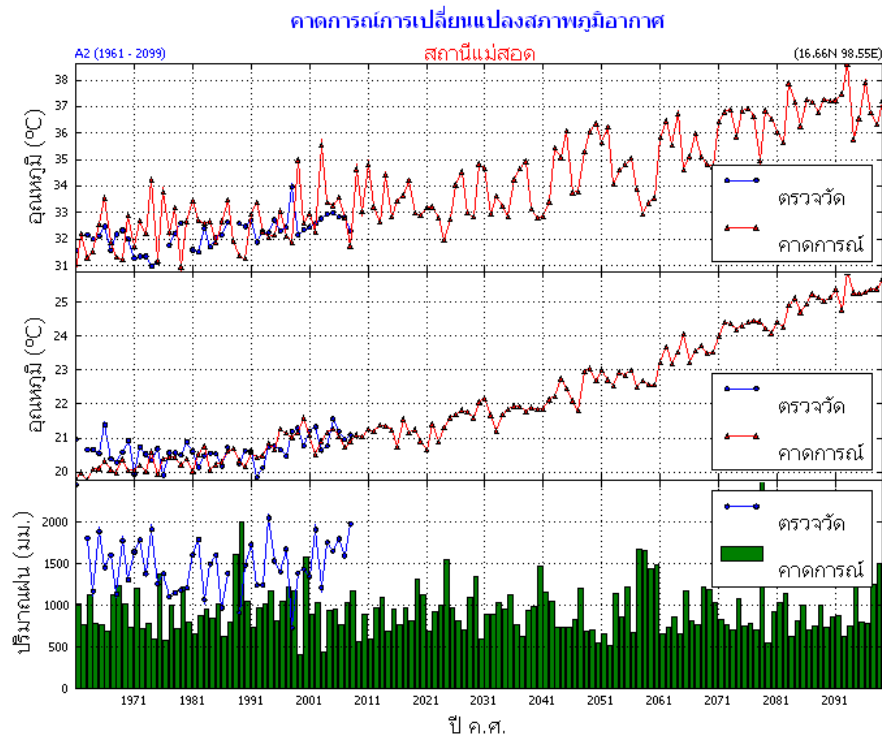
รูปที่ 81 คาดการณ์การเปลี่ยนแปลงภูมิอากาศ สถานีตาก

สถานีตาก

อุณหภูมิสูงสุดเฉลี่ย (บน) จากการวิเคราะห์เปรียบเทียบข้อมูลอุณหภูมิสูงสุดเฉลี่ยที่ได้จากรูปแบบจำลองสูงกว่าอุณหภูมิที่ได้จากการตรวจวัด โดยมีความคลาดเคลื่อนประมาณ 1-3 องศาเซลเซียส แต่มีแนวโน้มไปในทิศทางเดียวกัน สำหรับแนวโน้มอุณหภูมิสูงสุดเฉลี่ยในทศวรรษที่ 2100 (ค.ศ.2091-2100) สูงกว่าทศวรรษที่ 2000 (ค.ศ.1991-2000) ประมาณ 4-5 องศาเซลเซียส

อุณหภูมิต่ำสุดเฉลี่ย (กลาง) จากการวิเคราะห์เปรียบเทียบข้อมูลอุณหภูมิต่ำสุดเฉลี่ยที่ได้จากรูปแบบจำลองต่ำกว่าอุณหภูมิที่ได้จากการตรวจวัด โดยมีความคลาดเคลื่อนประมาณ 1-2 องศาเซลเซียส แต่มีแนวโน้มไปในทิศทางเดียวกัน สำหรับในทศวรรษที่ 2100 (ค.ศ.2091-2100) พบว่า อุณหภูมิต่ำสุดเฉลี่ยสูงกว่าทศวรรษที่ 2000 (ค.ศ.1991-2000) ประมาณ 4-5 องศาเซลเซียส

ปริมาณฝน (ล่าง) จากการวิเคราะห์เปรียบเทียบข้อมูลปริมาณฝนที่ได้จากรูปแบบจำลองต่ำกว่าปริมาณฝนที่ได้จากการตรวจวัด โดยมีความคลาดเคลื่อนประมาณ 500-800 มม. แนวโน้มปริมาณฝนในทศวรรษที่ 2100 (ค.ศ.2091-2100) ยังไม่ชัดเจน



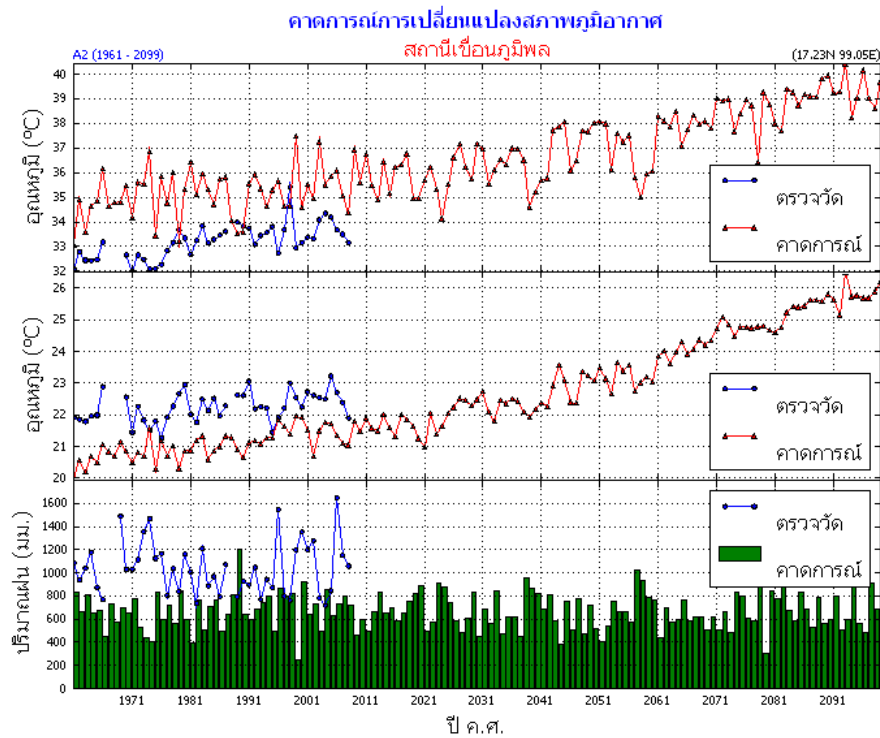
รูปที่ 82 คาดการณ์การเปลี่ยนแปลงภูมิอากาศ สถานีแม่สอด

สถานีแม่สอด จังหวัดตาก

อุณหภูมิสูงสุดเฉลี่ย (บน) จากการวิเคราะห์เปรียบเทียบข้อมูลอุณหภูมิสูงสุดเฉลี่ยที่ได้จากรูปแบบจำลองมีความใกล้เคียงกับข้อมูลอุณหภูมิที่ได้จากการตรวจวัดจริง และมีแนวโน้มไปในทิศทางเดียวกัน สำหรับแนวโน้มอุณหภูมิสูงสุดเฉลี่ยในทศวรรษที่ 2100 (ค.ศ.2091-2100) สูงกว่าทศวรรษที่ 2000 (ค.ศ.1991-2000) ประมาณ 4-5 องศาเซลเซียส

อุณหภูมิต่ำสุดเฉลี่ย (กลาง) จากการวิเคราะห์เปรียบเทียบข้อมูลอุณหภูมิต่ำสุดเฉลี่ยที่ได้จากรูปแบบจำลองมีค่าใกล้เคียงกับอุณหภูมิที่ได้จากการตรวจวัดจริง และมีแนวโน้มไปในทิศทางเดียวกัน สำหรับในทศวรรษที่ 2100 (ค.ศ.2091-2100) พบว่า อุณหภูมิต่ำสุดเฉลี่ยสูงกว่าทศวรรษที่ 2000 (ค.ศ.1991-2000) ประมาณ 4-5 องศาเซลเซียส

ปริมาณฝน (ล่าง) จากการวิเคราะห์เปรียบเทียบข้อมูลปริมาณฝนที่ได้จากรูปแบบจำลองต่ำกว่าปริมาณฝนที่ได้จากการตรวจวัด โดยมีความ คลาดเคลื่อนประมาณ 500-800 มม. แนวโน้มปริมาณฝนในทศวรรษที่ 2100 (ค.ศ.2091-2100) ยังไม่ชัดเจน



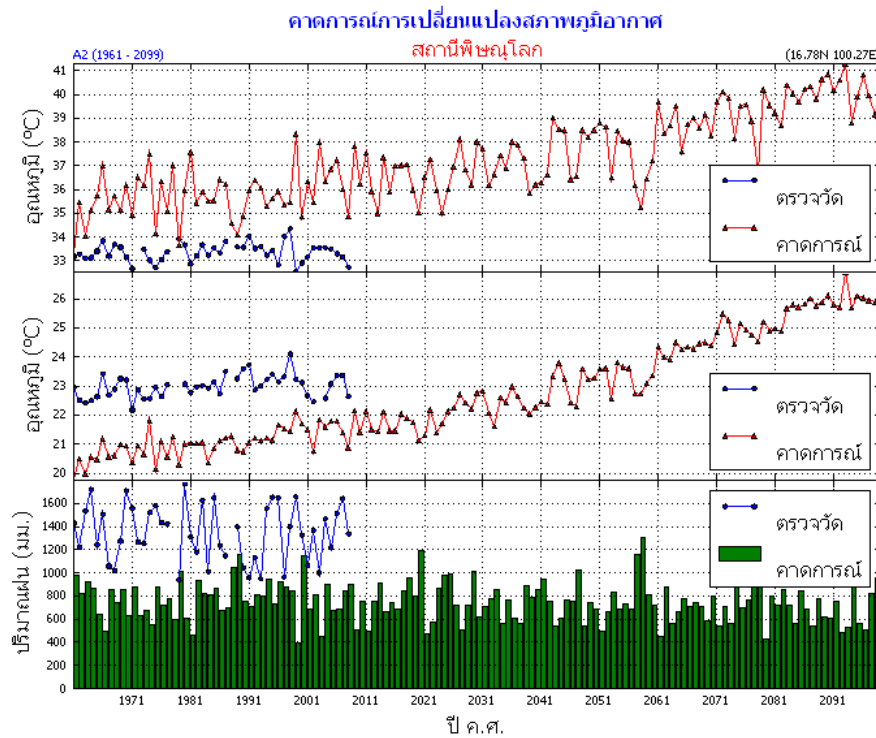
รูปที่ 83 คาดการณ์การเปลี่ยนแปลงภูมิอากาศ สถานีเขื่อนภูมิพล

สถานีเขื่อนภูมิพล จังหวัดตาก

อุณหภูมิสูงสุดเฉลี่ย (บน) จากการวิเคราะห์เปรียบเทียบข้อมูลอุณหภูมิสูงสุดเฉลี่ยที่ได้จากรูปแบบจำลองสูงกว่าอุณหภูมิที่ได้จากการตรวจวัดประมาณ 2-3 องศาเซลเซียส แต่มีแนวโน้มไปในทิศทางเดียวกัน สำหรับแนวโน้มอุณหภูมิสูงสุดเฉลี่ยในทศวรรษที่ 2100 (ค.ศ.2091-2100) สูงกว่าทศวรรษที่ 2000 (ค.ศ.1991-2000) ประมาณ 4-5 องศาเซลเซียส

อุณหภูมิต่ำสุดเฉลี่ย (กลาง) จากการวิเคราะห์เปรียบเทียบข้อมูลอุณหภูมิต่ำสุดเฉลี่ยที่ได้จากรูปแบบจำลองต่ำกว่าอุณหภูมิที่ได้จากการตรวจวัดประมาณ 1-2 องศาเซลเซียส แต่ มีแนวโน้มไปในทิศทางเดียวกัน สำหรับในทศวรรษที่ 2100 (ค.ศ.2091-2100) พบว่า อุณหภูมิต่ำสุดเฉลี่ยสูงกว่าทศวรรษที่ 2000 (ค.ศ. 1991-2000) ประมาณ 4-5 องศาเซลเซียส

ปริมาณฝน (ล่าง) จากการวิเคราะห์เปรียบเทียบข้อมูลปริมาณฝนที่ได้จากรูปแบบจำลองต่ำกว่าปริมาณฝนที่ได้จากการตรวจวัด โดยมีความคลาดเคลื่อนประมาณ 500-800 มม. แนวโน้มปริมาณฝนในทศวรรษที่ 2100 (ค.ศ.2091-2100) ยังไม่ชัดเจน



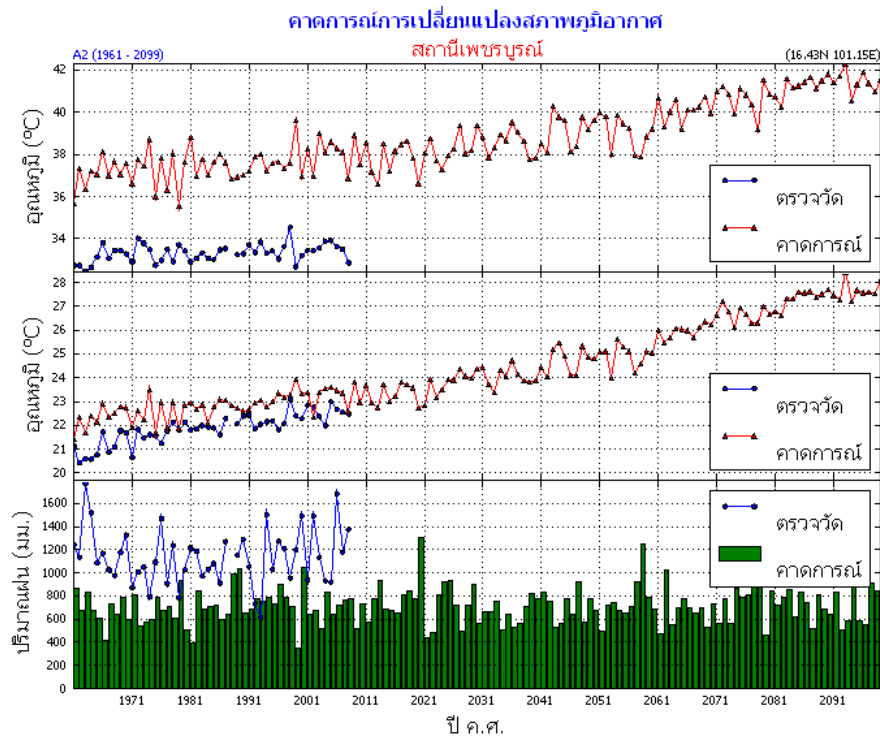
รูปที่ 84 คาดการณ์การเปลี่ยนแปลงภูมิอากาศ สถานีพิษณุโลก

สถานีพิษณุโลก

อุณหภูมิสูงสุดเฉลี่ย (บน) จากการวิเคราะห์เปรียบเทียบข้อมูลอุณหภูมิสูงสุดเฉลี่ยที่ได้จากรูปแบบจำลองสูงกว่าอุณหภูมิที่ได้จากการตรวจวัดประมาณ 2-3 องศาเซลเซียส แต่มีแนวโน้มไปในทิศทางเดียวกัน สำหรับแนวโน้มอุณหภูมิสูงสุดเฉลี่ยในทศวรรษที่ 2100 (ค.ศ.2091-2100) สูงกว่าทศวรรษที่ 2000 (ค.ศ.1991-2000) ประมาณ 4-5 องศาเซลเซียส

อุณหภูมิต่ำสุดเฉลี่ย (กลาง) จากการวิเคราะห์เปรียบเทียบข้อมูลอุณหภูมิต่ำสุดเฉลี่ยที่ได้จากรูปแบบจำลองต่ำกว่าอุณหภูมิที่ได้จากการตรวจวัดประมาณ 2-3 องศาเซลเซียส แต่ มีแนวโน้มไปในทิศทางเดียวกัน สำหรับในทศวรรษที่ 2100 (ค.ศ.2091-2100) พบว่า อุณหภูมิต่ำสุดเฉลี่ยสูงกว่าทศวรรษที่ 2000 (ค.ศ. 1991-2000) ประมาณ 4-5 องศาเซลเซียส

ปริมาณฝน (ล่าง) จากการวิเคราะห์เปรียบเทียบข้อมูลปริมาณฝนที่ได้จากรูปแบบจำลองต่ำกว่าปริมาณฝนที่ได้จากการตรวจวัด โดยมีความคลาดเคลื่อนมากประมาณ 500-800 มม. แนวโน้มปริมาณฝนในทศวรรษที่ 2100 (ค.ศ.2091-2100) ยังไม่ชัดเจน



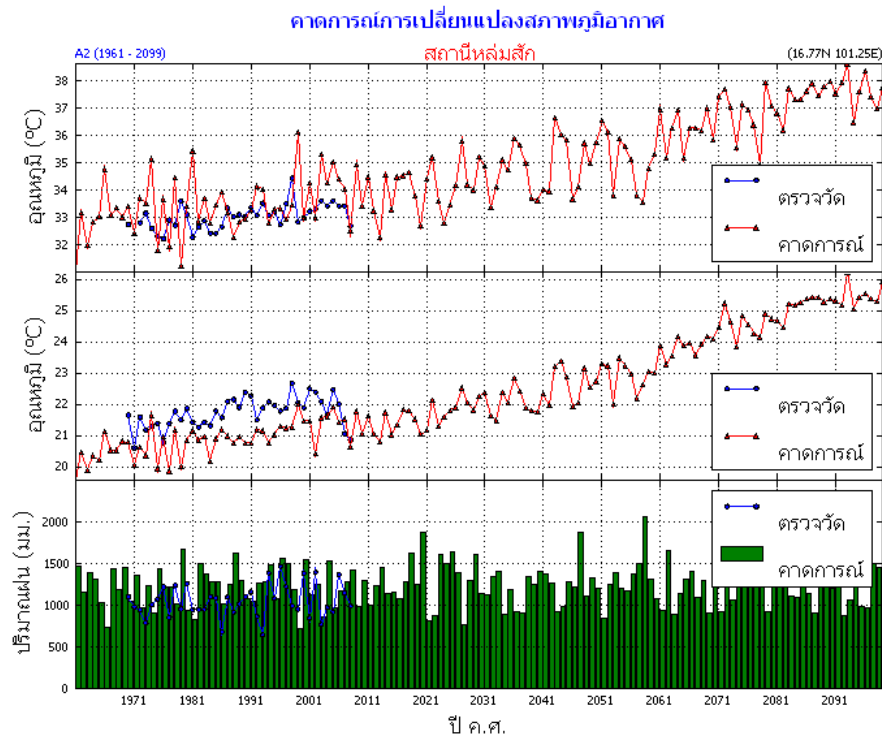
รูปที่ 85 คาดการณ์การเปลี่ยนแปลงภูมิอากาศ สถานีเพชรบูรณ์

สถานีเพชรบูรณ์

อุณหภูมิสูงสุดเฉลี่ย (บน) จากการวิเคราะห์เปรียบเทียบข้อมูลอุณหภูมิสูงสุดเฉลี่ยที่ได้จากรูปแบบจำลองสูงกว่าอุณหภูมิที่ได้จากการตรวจวัดประมาณ 3-4 องศาเซลเซียส แต่มีแนวโน้มไปในทิศทางเดียวกัน สำหรับแนวโน้มอุณหภูมิสูงสุดเฉลี่ยในทศวรรษที่ 2100 (ค.ศ.2091-2100) สูงกว่าทศวรรษที่ 2000 (ค.ศ.1991-2000) ประมาณ 3-4 องศาเซลเซียส

อุณหภูมิต่ำสุดเฉลี่ย (กลาง) จากการวิเคราะห์เปรียบเทียบข้อมูลอุณหภูมิต่ำสุดเฉลี่ยที่ได้จากรูปแบบจำลองมีค่าใกล้เคียงกับอุณหภูมิที่ได้จากการตรวจวัดจริง และมีแนวโน้มไปในทิศทางเดียวกัน สำหรับในทศวรรษที่ 2100 (ค.ศ.2091-2100) พบว่า อุณหภูมิต่ำสุดเฉลี่ยสูงกว่าทศวรรษที่ 2000 (ค.ศ.1991-2000) ประมาณ 4-5 องศาเซลเซียส

ปริมาณฝน (ล่าง) จากการวิเคราะห์เปรียบเทียบข้อมูลปริมาณฝนที่ได้จากรูปแบบจำลองต่ำกว่าปริมาณฝนที่ได้จากการตรวจวัด โดยมีความ คลาดเคลื่อนประมาณ 500-800 มม. แนวโน้มปริมาณฝนในทศวรรษที่ 2100 (ค.ศ.2091-2100) ยังไม่ชัดเจน



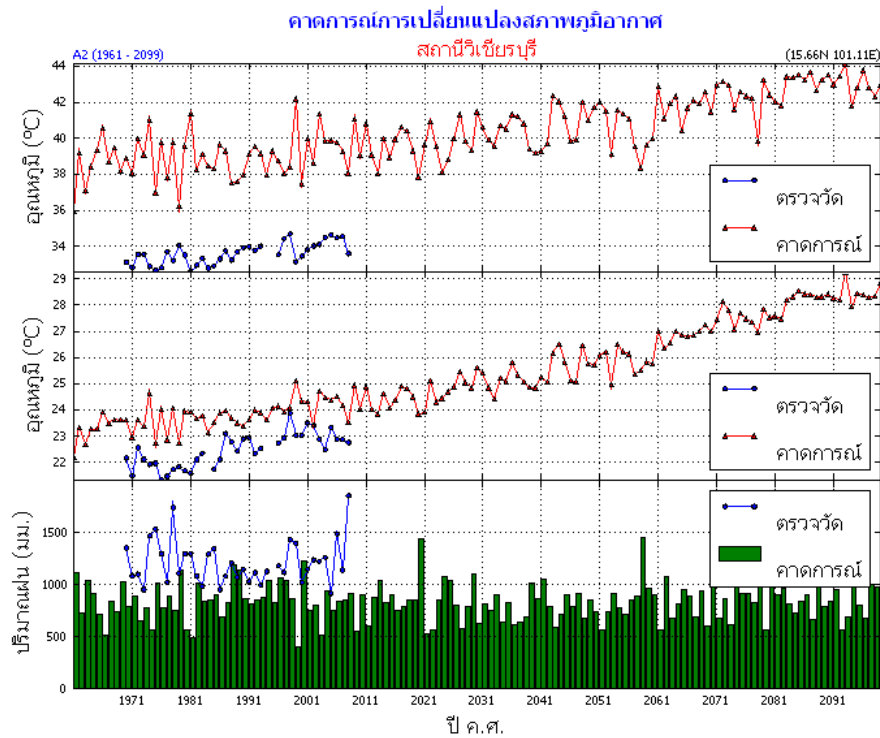
รูปที่ 86 คาดการณ์การเปลี่ยนแปลงภูมิอากาศ สถานีหล่มสัก

สถานีหล่มสัก จังหวัดเพชรบูรณ์ ข้อมูลตรวจวัดเริ่มตั้งแต่ ค.ศ.1970-2008

อุณหภูมิสูงสุดเฉลี่ย (บน) จากการวิเคราะห์เปรียบเทียบข้อมูลอุณหภูมิสูงสุดเฉลี่ยที่ได้จากรูปแบบจำลอง มีค่าใกล้เคียงกับข้อมูลอุณหภูมิที่ได้จากการตรวจวัดจริง และมีแนวโน้มไปในทิศทางเดียวกัน สำหรับ แนวโน้มอุณหภูมิสูงสุดเฉลี่ยในทศวรรษที่ 2100 (ค.ศ.2091-2100) สูงกว่าทศวรรษที่ 2000 (ค.ศ.1991-2000) ประมาณ 4-5 องศาเซลเซียส

อุณหภูมิต่ำสุดเฉลี่ย (กลาง) จากการวิเคราะห์เปรียบเทียบข้อมูลอุณหภูมิต่ำสุดเฉลี่ยที่ได้จากรูปแบบจำลองมีค่าใกล้เคียงกับอุณหภูมิที่ได้จากการตรวจวัดจริง และมีแนวโน้มไปในทิศทางเดียวกัน สำหรับ ในทศวรรษที่ 2100 (ค.ศ.2091-2100) พบว่า อุณหภูมิต่ำสุดเฉลี่ยสูงกว่าทศวรรษที่ 2000 (ค.ศ.1991-2000) ประมาณ 4-5 องศาเซลเซียส

ปริมาณฝน (ล่าง) จากการวิเคราะห์เปรียบเทียบข้อมูลปริมาณฝนที่ได้จากรูปแบบจำลองและที่ได้จากการตรวจวัดจริงพบว่า มีค่าใกล้เคียงกัน แนวโน้มปริมาณฝนในทศวรรษที่ 2100 (ค.ศ.2091-2100) ยังไม่ชัดเจน



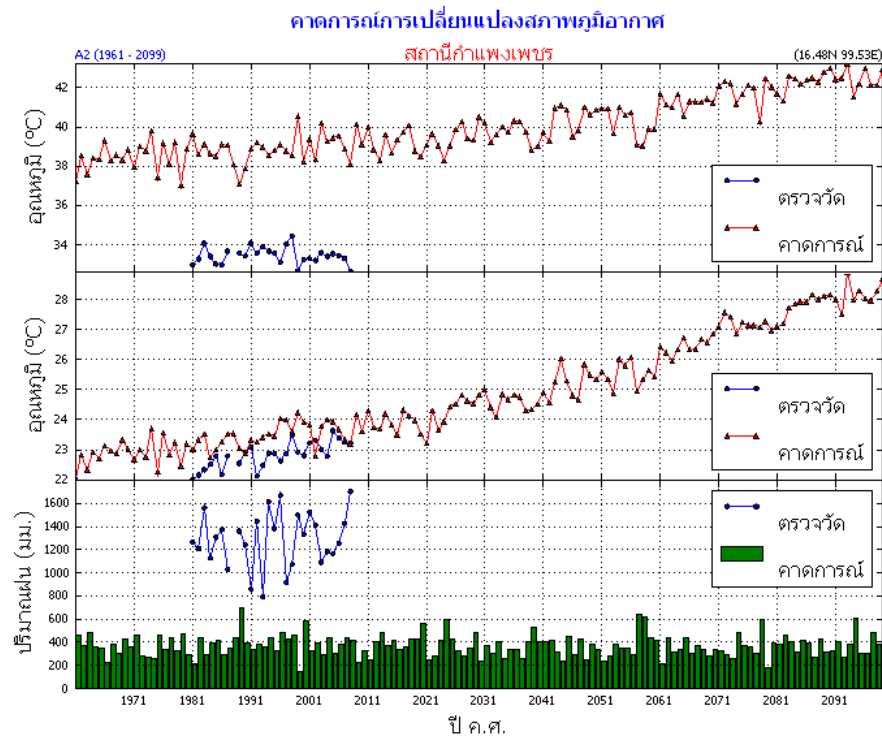
รูปที่ 87 การคาดการณ์การเปลี่ยนแปลงภูมิอากาศ สถานีวีเชียรบุรี

สถานีวีเชียรบุรี จังหวัดเพชรบูรณ์ ข้อมูลตรวจวัดเริ่มตั้งแต่ ค.ศ. 1970-2008

อุณหภูมิสูงสุดเฉลี่ย (บน) จากการวิเคราะห์เปรียบเทียบข้อมูลอุณหภูมิสูงสุดเฉลี่ยที่ได้จากรูปแบบจำลองสูงกว่าอุณหภูมิที่ได้จากการตรวจวัดประมาณ 4-5 องศาเซลเซียส แต่มีแนวโน้มไปในทิศทางเดียวกัน สำหรับแนวโน้มอุณหภูมิสูงสุดเฉลี่ยในทศวรรษที่ 2100 (ค.ศ.2091-2100) สูงกว่าทศวรรษที่ 2000 (ค.ศ.1991-2000) ประมาณ 5-6 องศาเซลเซียส

อุณหภูมิต่ำสุดเฉลี่ย (กลาง) จากการวิเคราะห์เปรียบเทียบข้อมูลอุณหภูมิต่ำสุดเฉลี่ยที่ได้จากรูปแบบจำลองสูงกว่าอุณหภูมิที่ได้จากการตรวจวัดประมาณ 1-2 องศาเซลเซียส แต่มีแนวโน้มไปในทิศทางเดียวกัน สำหรับในทศวรรษที่ 2100 (ค.ศ.2091-2100) พบว่า อุณหภูมิต่ำสุดเฉลี่ยสูงกว่าทศวรรษที่ 2000 (ค.ศ. 1991-2000) ประมาณ 4-5 องศาเซลเซียส

ปริมาณฝน (ล่าง) จากการวิเคราะห์เปรียบเทียบข้อมูลปริมาณฝนที่ได้จากรูปแบบจำลองต่ำกว่าปริมาณฝนที่ได้จากการตรวจวัด โดยมีความคลาดเคลื่อนประมาณ 500-800 มม. แนวโน้มปริมาณฝนในทศวรรษที่ 2100 (ค.ศ.2091-2100) ยังไม่ชัดเจน



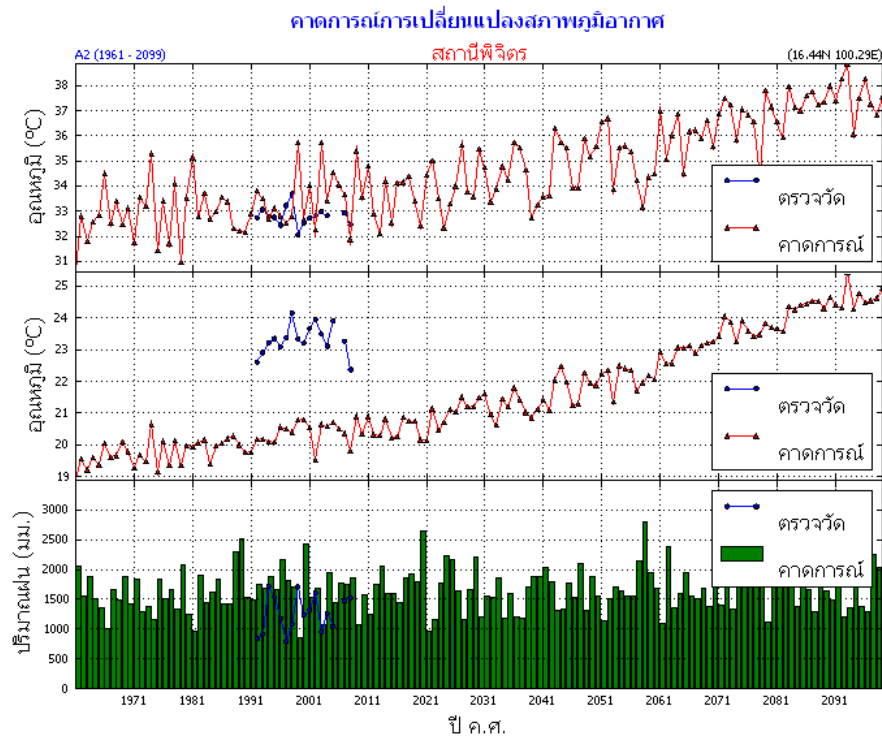
รูปที่ 88 คาดการณ์การเปลี่ยนแปลงภูมิอากาศ สถานีกำแพงเพชร

สถานีกำแพงเพชร ข้อมูลตรวจวัดเริ่มตั้งแต่ ค.ศ. 1981-2008

อุณหภูมิสูงสุดเฉลี่ย (บน) จากการวิเคราะห์เปรียบเทียบข้อมูลอุณหภูมิสูงสุดเฉลี่ยที่ได้จากรูปแบบจำลองสูงกว่าอุณหภูมิที่ได้จากการตรวจวัดประมาณ 4-5 องศาเซลเซียส แต่มีแนวโน้มไปในทิศทางเดียวกัน สำหรับแนวโน้มอุณหภูมิสูงสุดเฉลี่ยในทศวรรษที่ 2100 (ค.ศ.2091-2100) สูงกว่าทศวรรษที่ 2000 (ค.ศ.1991-2000) ประมาณ 3-4 องศาเซลเซียส

อุณหภูมิต่ำสุดเฉลี่ย (กลาง) จากการวิเคราะห์เปรียบเทียบข้อมูลอุณหภูมิต่ำสุดเฉลี่ยที่ได้จากรูปแบบจำลองกับอุณหภูมิที่ได้จากการตรวจวัดจริงมีค่าคลาดเคลื่อนเล็กน้อย และมีแนวโน้มไปในทิศทางเดียวกัน สำหรับในทศวรรษที่ 2100 (ค.ศ.2091-2100) พบว่า อุณหภูมิต่ำสุดเฉลี่ยสูงกว่าทศวรรษที่ 2000 (ค.ศ. 1991-2000) ประมาณ 4-5 องศาเซลเซียส

ปริมาณฝน (ล่าง) จากการวิเคราะห์เปรียบเทียบข้อมูลปริมาณฝนที่ได้จากรูปแบบจำลองต่ำกว่าปริมาณฝนที่ได้จากการตรวจวัดประมาณ 800-1000 มม. แนวโน้มปริมาณฝนในทศวรรษที่ 2100 (ค.ศ.2091-2100) ยังไม่ชัดเจน



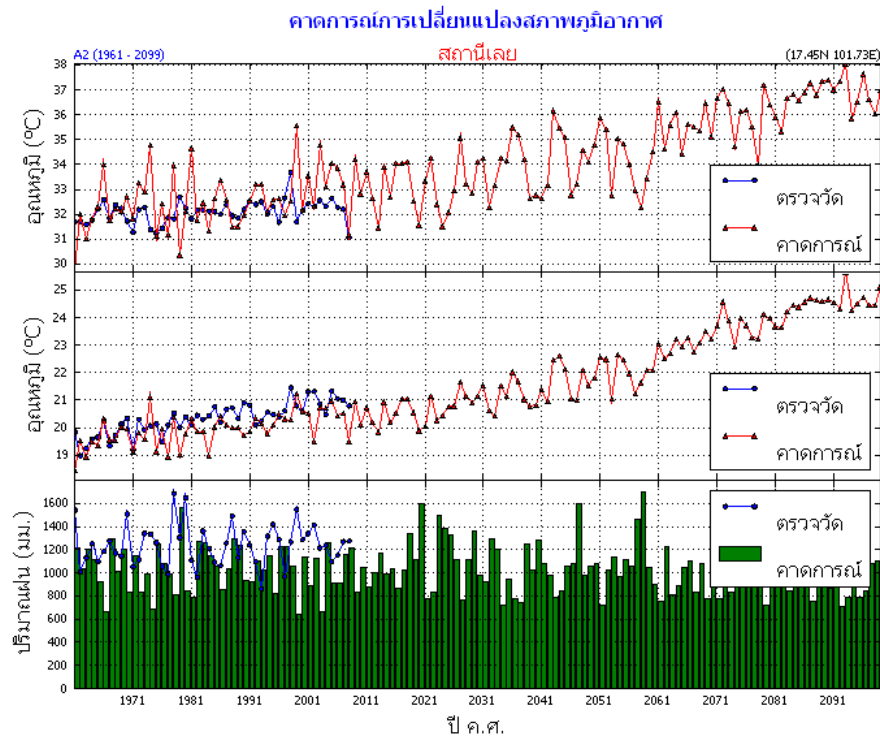
รูปที่ 89 การคาดการณ์การเปลี่ยนแปลงภูมิอากาศ สถานีพิจิตร

สถานีพิจิตร ข้อมูลที่ได้จากการตรวจวัดเริ่มตั้งแต่ ค.ศ. 1992-2008

อุณหภูมิสูงสุดเฉลี่ย (บน) จากการวิเคราะห์เปรียบเทียบข้อมูลอุณหภูมิสูงสุดเฉลี่ยที่ได้จากรูปแบบจำลองมีค่าใกล้เคียงกับอุณหภูมิที่ได้จากการตรวจวัดจริง สำหรับ แนวโน้มอุณหภูมิสูงสุดเฉลี่ยในทศวรรษที่ 2100 (ค.ศ.2091-2100) สูงกว่าทศวรรษที่ 2000 (ค.ศ.1991-2000) ประมาณ 4-5 องศาเซลเซียส

อุณหภูมิต่ำสุดเฉลี่ย (กลาง) จากการวิเคราะห์เปรียบเทียบข้อมูลอุณหภูมิต่ำสุดเฉลี่ยที่ได้จากรูปแบบจำลองต่ำกว่าอุณหภูมิที่ได้จากการตรวจวัดจริงมาก โดย มีความคลาดเคลื่อนประมาณ 3-4 องศาเซลเซียส สำหรับในทศวรรษที่ 2100 (ค.ศ.2091-2100) พบว่า อุณหภูมิต่ำสุดเฉลี่ยสูงกว่าทศวรรษที่ 2000 (ค.ศ.1991-2000) ประมาณ 4-5 องศาเซลเซียส

ปริมาณฝน (ล่าง) จากการวิเคราะห์เปรียบเทียบข้อมูลปริมาณฝนที่ได้จากรูปแบบจำลองมีค่าใกล้เคียงกับปริมาณฝนที่ได้จากการตรวจวัดจริง แต่แนวโน้มปริมาณฝนในทศวรรษที่ 2100 (ค.ศ.2091-2100) ยังไม่ชัดเจน



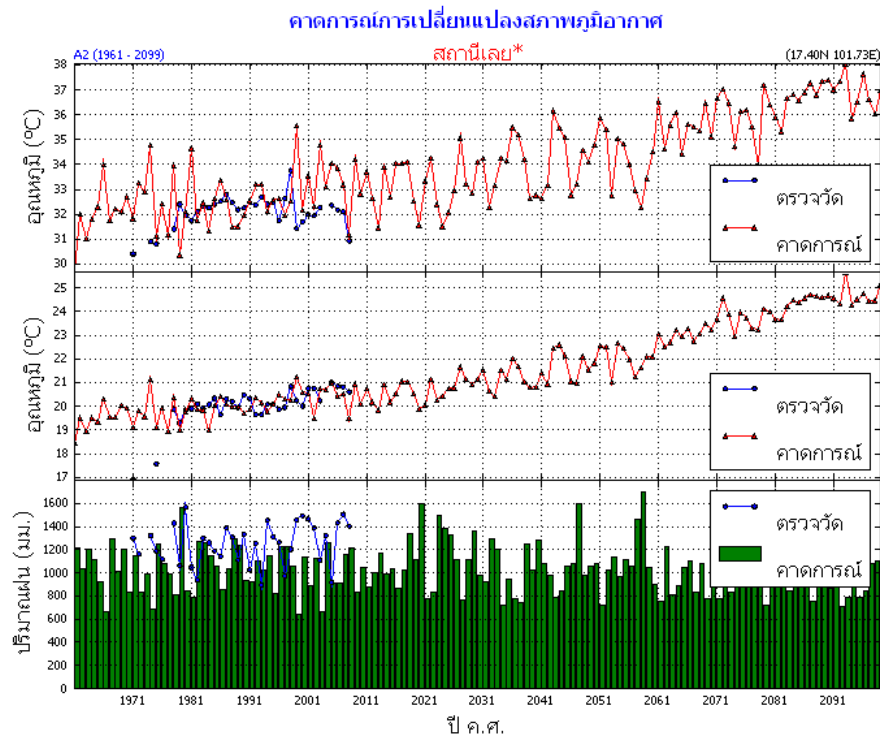
รูปที่ 90 การคาดการณ์การเปลี่ยนแปลงภูมิอากาศ สถานีเลย

สถานีเลย

อุณหภูมิสูงสุดเฉลี่ย (บน) จากการวิเคราะห์เปรียบเทียบข้อมูลอุณหภูมิสูงสุดเฉลี่ยที่ได้จากรูปแบบจำลอง มีค่าใกล้เคียงกับข้อมูลอุณหภูมิที่ได้จากการตรวจวัด และมีแนวโน้มไปในทิศทางเดียวกัน สำหรับแนวโน้ม อุณหภูมิสูงสุดเฉลี่ยในทศวรรษที่ 2100 (ค.ศ.2091-2100) สูงกว่าทศวรรษที่ 2000 (ค.ศ.1991-2000) ประมาณ 4-5 องศาเซลเซียส

อุณหภูมิต่ำสุดเฉลี่ย (กลาง) จากการวิเคราะห์เปรียบเทียบข้อมูลอุณหภูมิต่ำสุดเฉลี่ยที่ได้จากรูปแบบจำลองมีค่าใกล้เคียงกับอุณหภูมิที่ได้จากการตรวจวัดจริง และมีแนวโน้มไปในทิศทางเดียวกัน สำหรับใน ทศวรรษที่ 2100 (ค.ศ.2091-2100) พบว่า อุณหภูมิต่ำสุดเฉลี่ยสูงกว่าทศวรรษที่ 2000 (ค.ศ.1991-2000) ประมาณ 4-5 องศาเซลเซียส

ปริมาณฝน (ล่าง) จากการวิเคราะห์เปรียบเทียบข้อมูลปริมาณฝนที่ได้จากรูปแบบจำลองและที่ได้จากการตรวจวัดจริงพบว่า มีค่าคลาดเคลื่อนเล็กน้อย แนวโน้มปริมาณฝนในทศวรรษที่ 2100 (ค.ศ.2091-2100) ยังไม่ชัดเจน

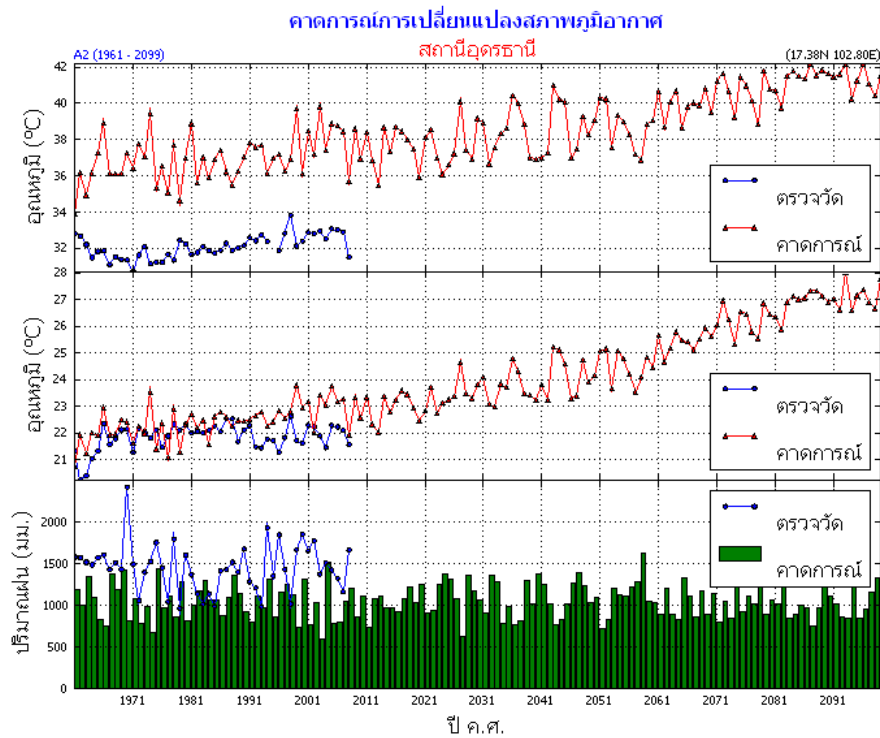


รูปที่ 91 คาดการณ์การเปลี่ยนแปลงภูมิอากาศ สถานีอุตุนิยมวิทยาเกษตรเลย์

สถานีเลย ข้อมูลที่นำมาวิเคราะห์เป็นข้อมูลของสถานีอุตุนิยมวิทยาเกษตรเริ่มตรวจวัดตั้งแต่ ค.ศ. 1971-2008 **อุณหภูมิสูงสุดเฉลี่ย** (บน) จากการวิเคราะห์เปรียบเทียบข้อมูลอุณหภูมิสูงสุดเฉลี่ยที่ได้จากรูปแบบจำลองมีค่าใกล้เคียงกับข้อมูลอุณหภูมิที่ได้จากการตรวจวัดจริง และมีแนวโน้มไปในทิศทางเดียวกัน สำหรับแนวโน้มอุณหภูมิสูงสุดเฉลี่ยในทศวรรษที่ 2100 (ค.ศ. 2091-2100) สูงกว่าทศวรรษที่ 2000 (ค.ศ. 1991-2000) ประมาณ 4-5 องศาเซลเซียส

อุณหภูมิต่ำสุดเฉลี่ย (กลาง) จากการวิเคราะห์เปรียบเทียบข้อมูลอุณหภูมิต่ำสุดเฉลี่ยที่ได้จากรูปแบบจำลองมีค่าใกล้เคียงกับอุณหภูมิที่ได้จากการตรวจวัดจริง และมีแนวโน้มไปในทิศทางเดียวกัน สำหรับในทศวรรษที่ 2100 (ค.ศ. 2091-2100) พบว่า อุณหภูมิต่ำสุดเฉลี่ยสูงกว่าทศวรรษที่ 2000 (ค.ศ. 1991-2000) ประมาณ 4-5 องศาเซลเซียส

ปริมาณฝน (ล่าง) จากการวิเคราะห์เปรียบเทียบข้อมูลปริมาณฝนที่ได้จากรูปแบบจำลองและที่ได้จากการตรวจวัดจริงพบว่า มีค่าคลาดเคลื่อนเล็กน้อย ประมาณ 200-300 มม. แนวโน้มปริมาณฝนในทศวรรษที่ 2100 (ค.ศ. 2091-2100) ยังไม่ชัดเจน



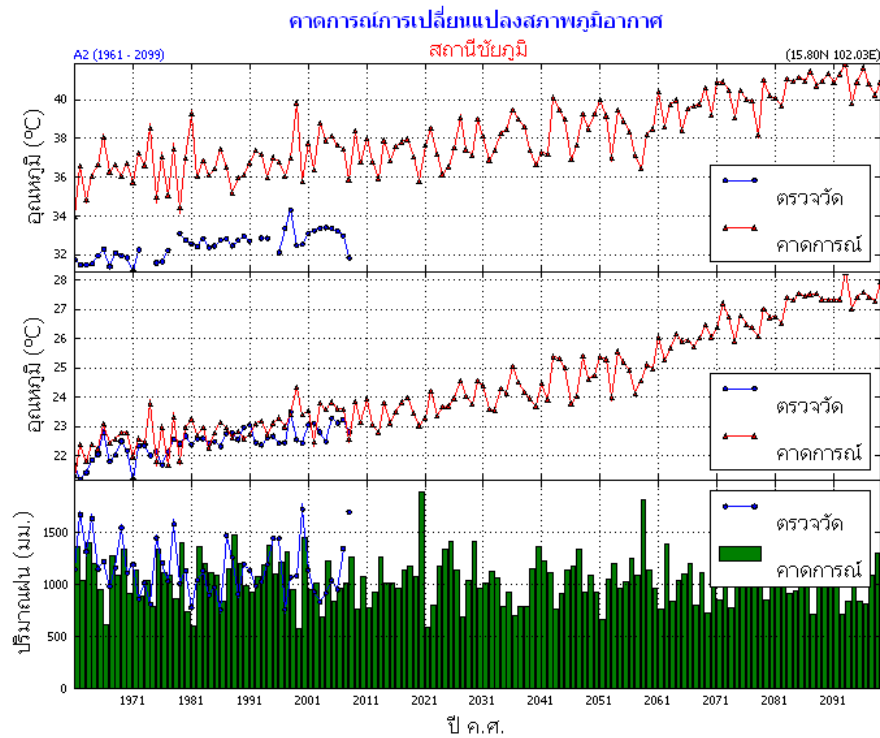
รูปที่ 92 คาดการณ์การเปลี่ยนแปลงภูมิอากาศ สถานีอุตรธานี

สถานีอุตรธานี

อุณหภูมิสูงสุดเฉลี่ย (บน) จากการวิเคราะห์เปรียบเทียบข้อมูลอุณหภูมิสูงสุดเฉลี่ยที่ได้จากรูปแบบจำลองสูงกว่าอุณหภูมิที่ได้จากการตรวจวัด โดยมีความคลาดเคลื่อนประมาณ 4-5 องศาเซลเซียส แต่มีแนวโน้มไปในทิศทางเดียวกัน สำหรับแนวโน้มอุณหภูมิสูงสุดเฉลี่ยในทศวรรษที่ 2100 (ค.ศ.2091-2100) สูงกว่าทศวรรษที่ 2000 (ค.ศ.1991-2000) ประมาณ 4-5 องศาเซลเซียส

อุณหภูมิต่ำสุดเฉลี่ย (กลาง) จากการวิเคราะห์เปรียบเทียบข้อมูลอุณหภูมิต่ำสุดเฉลี่ยที่ได้จากรูปแบบจำลองมีค่าใกล้เคียงกับอุณหภูมิที่ได้จากการตรวจวัดจริง และมีแนวโน้มไปในทิศทางเดียวกัน สำหรับในทศวรรษที่ 2100 (ค.ศ.2091-2100) พบว่า อุณหภูมิต่ำสุดเฉลี่ยสูงกว่าทศวรรษที่ 2000 (ค.ศ.1991-2000) ประมาณ 4-5 องศาเซลเซียส

ปริมาณฝน (ล่าง) จากการวิเคราะห์เปรียบเทียบข้อมูลปริมาณฝนที่ได้จากรูปแบบจำลองและที่ได้จากการตรวจวัดจริงพบว่า มีค่าคลาดเคลื่อนเล็กน้อย ประมาณ 200-300 มม. แนวโน้มปริมาณฝนในทศวรรษที่ 2100 (ค.ศ.2091-2100) ยังไม่ชัดเจน



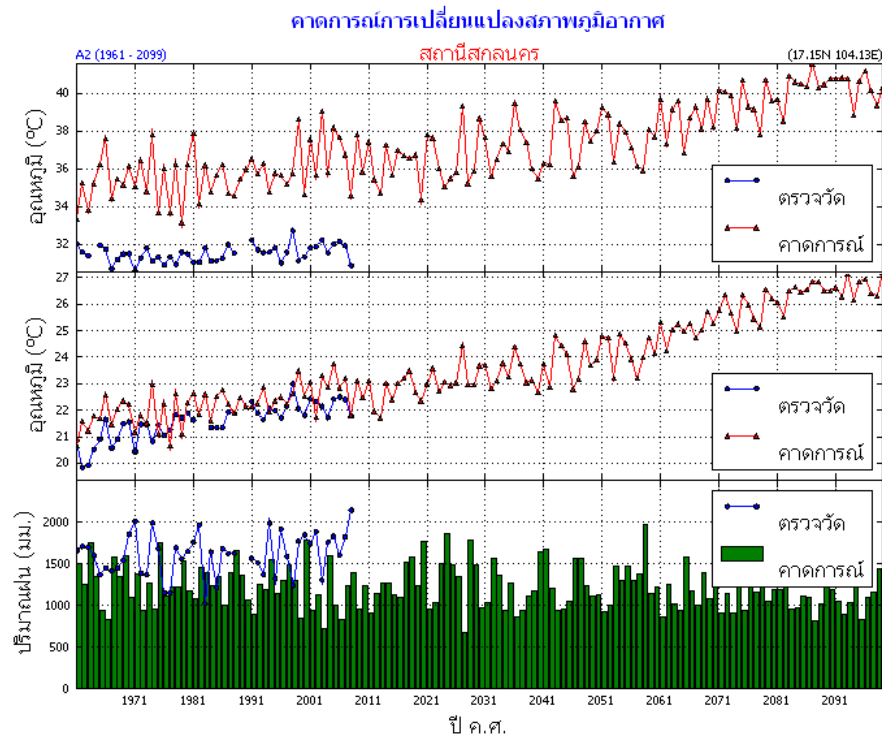
รูปที่ 93 คาดการณ์การเปลี่ยนแปลงภูมิอากาศ สถานีชัยภูมิ

สถานีชัยภูมิ

อุณหภูมิสูงสุดเฉลี่ย (บน) จากการวิเคราะห์เปรียบเทียบข้อมูลอุณหภูมิสูงสุดเฉลี่ยที่ได้จากรูปแบบจำลองสูงกว่าอุณหภูมิที่ได้จากการตรวจวัด โดยมีความคลาดเคลื่อนประมาณ 5-6 องศาเซลเซียส แต่มีแนวโน้มไปในทิศทางเดียวกัน สำหรับแนวโน้มอุณหภูมิสูงสุดเฉลี่ยในทศวรรษที่ 2100 (ค.ศ.2091-2100) สูงกว่าทศวรรษที่ 2000 (ค.ศ.1991-2000) ประมาณ 4-5 องศาเซลเซียส

อุณหภูมิต่ำสุดเฉลี่ย (กลาง) จากการวิเคราะห์เปรียบเทียบข้อมูลอุณหภูมิต่ำสุดเฉลี่ยที่ได้จากรูปแบบจำลองมีค่าใกล้เคียงกับอุณหภูมิที่ได้จากการตรวจวัดจริง และมีแนวโน้มไปในทิศทางเดียวกัน สำหรับในทศวรรษที่ 2100 (ค.ศ.2091-2100) พบว่า อุณหภูมิต่ำสุดเฉลี่ยสูงกว่าทศวรรษที่ 2000 (ค.ศ.1991-2000) ประมาณ 4-5 องศาเซลเซียส

ปริมาณฝน (ล่าง) จากการวิเคราะห์เปรียบเทียบข้อมูลปริมาณฝนที่ได้จากรูปแบบจำลองและที่ได้จากการตรวจวัดจริงพบว่ามีค่าคลาดเคลื่อนเล็กน้อย ประมาณ 200-300 มม. แนวโน้มปริมาณฝนในทศวรรษที่ 2100 (ค.ศ.2091-2100) ยังไม่ชัดเจน



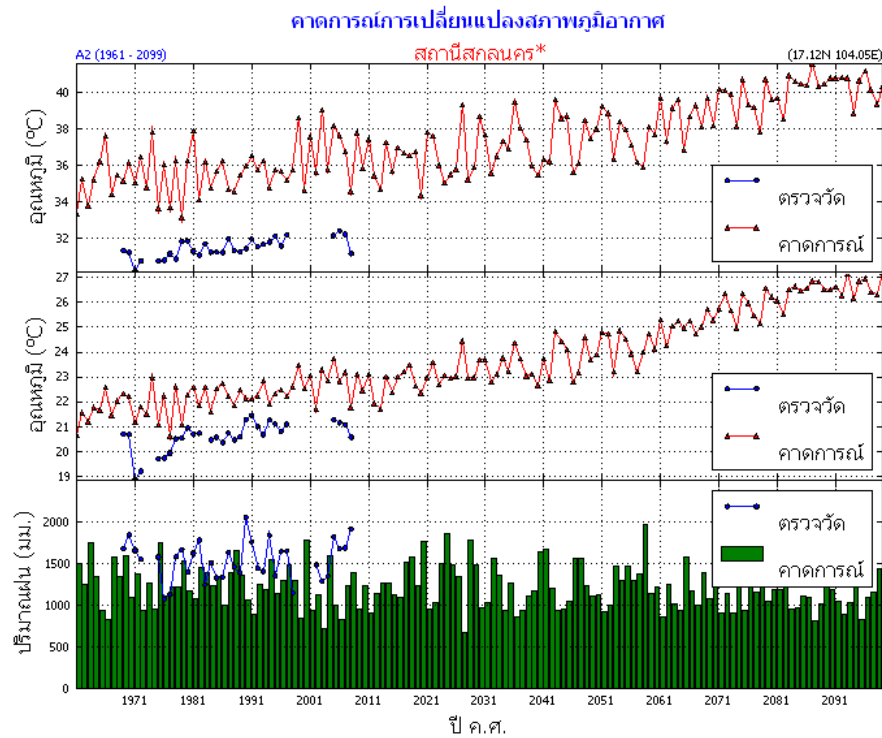
รูปที่ 94 การคาดการณ์การเปลี่ยนแปลงภูมิอากาศ สถานีสกลนคร

สถานีสกลนคร

อุณหภูมิสูงสุดเฉลี่ย (บน) จากการวิเคราะห์เปรียบเทียบข้อมูลอุณหภูมิสูงสุดเฉลี่ยที่ได้จากรูปแบบจำลองสูงกว่าอุณหภูมิที่ได้จากการตรวจวัด โดยมีความคลาดเคลื่อนประมาณ 5-6 องศาเซลเซียส แต่มีแนวโน้มไปในทิศทางเดียวกัน สำหรับแนวโน้มอุณหภูมิสูงสุดเฉลี่ย ในทศวรรษที่ 2100 (ค.ศ.2091-2100) สูงกว่าทศวรรษที่ 2000 (ค.ศ.1991-2000) ประมาณ 4-5 องศาเซลเซียส

อุณหภูมิต่ำสุดเฉลี่ย (กลาง) จากการวิเคราะห์เปรียบเทียบข้อมูลอุณหภูมิต่ำสุดเฉลี่ยที่ได้จากรูปแบบจำลองมีค่าใกล้เคียงกับอุณหภูมิที่ได้จากการตรวจวัดจริง และมีแนวโน้มไปในทิศทางเดียวกัน สำหรับในทศวรรษที่ 2100 (ค.ศ.2091-2100) พบว่า อุณหภูมิต่ำสุดเฉลี่ยสูงกว่าทศวรรษที่ 2000 (ค.ศ.1991-2000) ประมาณ 5-6 องศาเซลเซียส

ปริมาณฝน (ล่าง) จากการวิเคราะห์เปรียบเทียบข้อมูลปริมาณฝนที่ได้จากรูปแบบจำลองต่ำกว่าปริมาณฝนที่ได้จากการตรวจวัด โดยมีความคลาดเคลื่อนประมาณ 600-800 มม. แนวโน้มปริมาณฝนในทศวรรษที่ 2100 (ค.ศ.2091-2100) มีแนวโน้มลดลง



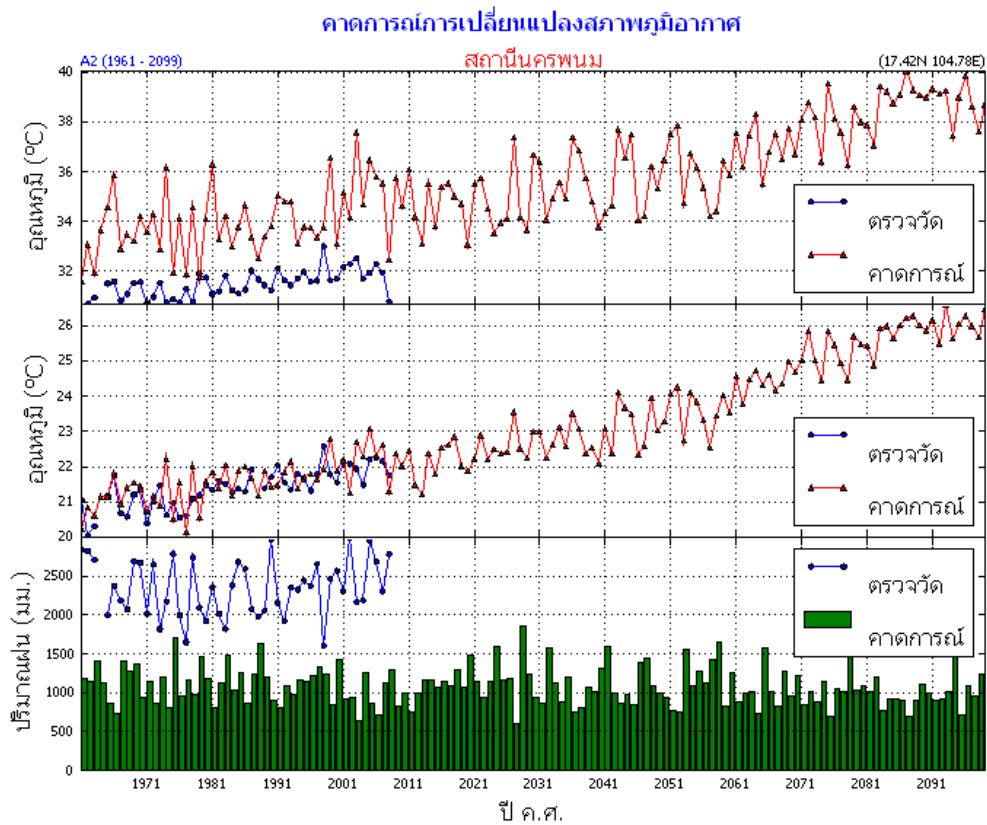
รูปที่ 95 คาดการณ์การเปลี่ยนแปลงภูมิอากาศ สถานีอุตุนิคมวิทยาเกษตรสกลนคร

สถานีสกลนคร ข้อมูลที่นำมาวิเคราะห์เป็นข้อมูลสถานีอุตุนิคมวิทยาเกษตร ตรวจวัดตั้งแต่ค.ศ.1969-2008

อุณหภูมิสูงสุดเฉลี่ย (บน) จากการวิเคราะห์เปรียบเทียบข้อมูลอุณหภูมิสูงสุดเฉลี่ยที่ได้จากรูปแบบจำลองสูงกว่ามีความคลาดเคลื่อนกับข้อมูลอุณหภูมิที่ได้จากการตรวจวัดจริงประมาณ 5-6 องศาเซลเซียส และมีแนวโน้มไปในทิศทางเดียวกัน สำหรับแนวโน้มอุณหภูมิสูงสุดเฉลี่ยในทศวรรษที่ 2100 (ค.ศ.2091-2100) สูงกว่าทศวรรษที่ 2000 (ค.ศ.1991-2000) ประมาณ 4-5 องศาเซลเซียส

อุณหภูมิต่ำสุดเฉลี่ย (กลาง) จากการวิเคราะห์เปรียบเทียบข้อมูลอุณหภูมิต่ำสุดเฉลี่ยที่ได้จากรูปแบบจำลองมีค่าคลาดเคลื่อนกับอุณหภูมิที่ได้จากการตรวจวัดจริงประมาณ 1-2 องศา แต่มีแนวโน้มไปในทิศทางเดียวกัน สำหรับในทศวรรษที่ 2100 (ค.ศ.2091-2100) พบว่า อุณหภูมิต่ำสุดเฉลี่ยสูงกว่าทศวรรษที่ 2000 (ค.ศ.1991-2000) ประมาณ 4 องศาเซลเซียส

ปริมาณฝน (ล่าง) จากการวิเคราะห์เปรียบเทียบข้อมูลปริมาณฝนที่ได้จากรูปแบบจำลองต่ำกว่าปริมาณฝนที่ได้จากการตรวจวัด โดยมีความคลาดเคลื่อนประมาณ 300-500 มม. แนวโน้มปริมาณฝนในทศวรรษที่ 2100 (ค.ศ.2091-2100) ยังไม่ชัดเจน



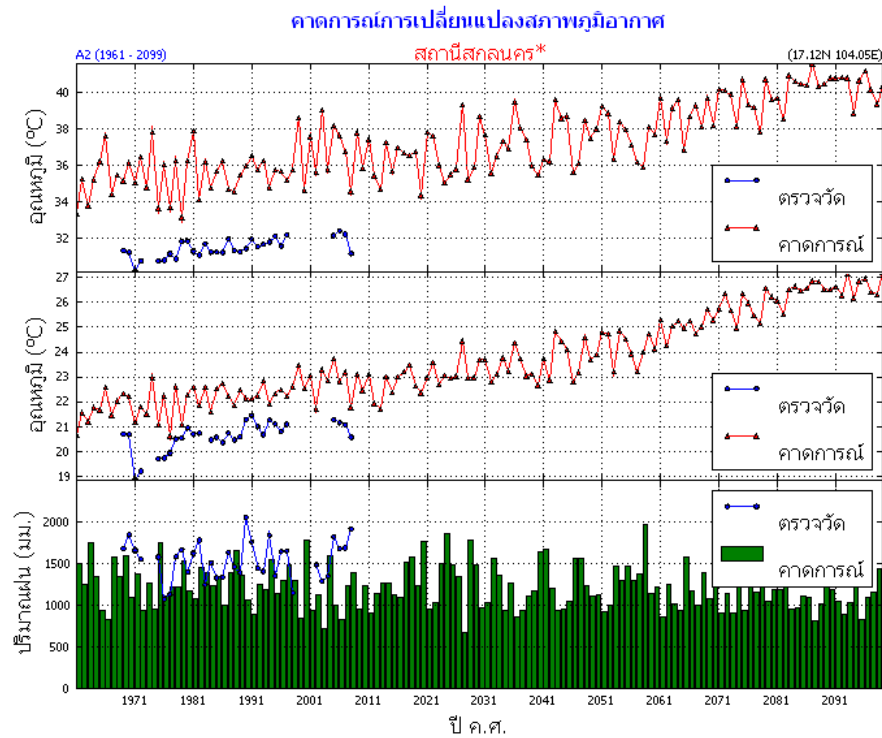
รูปที่ 96 คาดการณ์การเปลี่ยนแปลงภูมิอากาศ สถานีนครพนม

สถานีนครพนม

อุณหภูมิสูงสุดเฉลี่ย (บน) จากการวิเคราะห์เปรียบเทียบข้อมูลอุณหภูมิสูงสุดเฉลี่ยที่ได้จากรูปแบบจำลองสูงกว่าอุณหภูมิที่ได้จากการตรวจวัด โดยมีความคลาดเคลื่อนประมาณ 3-4 องศาเซลเซียส แต่มีแนวโน้มไปในทิศทางเดียวกัน สำหรับแนวโน้มอุณหภูมิสูงสุดเฉลี่ยในทศวรรษที่ 2100 (ค.ศ.2091-2100) สูงกว่าทศวรรษที่ 2000 (ค.ศ.1991-2000) ประมาณ 4-5 องศาเซลเซียส

อุณหภูมิต่ำสุดเฉลี่ย (กลาง) จากการวิเคราะห์เปรียบเทียบข้อมูลอุณหภูมิต่ำสุดเฉลี่ยที่ได้จากรูปแบบจำลองมีค่าใกล้เคียงกับอุณหภูมิที่ได้จากการตรวจวัดจริง และมีแนวโน้มไปในทิศทางเดียวกัน สำหรับในทศวรรษที่ 2100 (ค.ศ.2091-2100) พบว่า อุณหภูมิต่ำสุดเฉลี่ยสูงกว่าทศวรรษที่ 2000 (ค.ศ.1991-2000) ประมาณ 4-5 องศาเซลเซียส

ปริมาณฝน (ล่าง) จากการวิเคราะห์เปรียบเทียบข้อมูลปริมาณฝนที่ได้จากรูปแบบจำลองต่ำกว่าปริมาณฝนที่ได้จากการตรวจวัดมาก แนวโน้มปริมาณฝนในทศวรรษที่ 2100 (ค.ศ.2091-2100) มีแนวโน้มลดลง



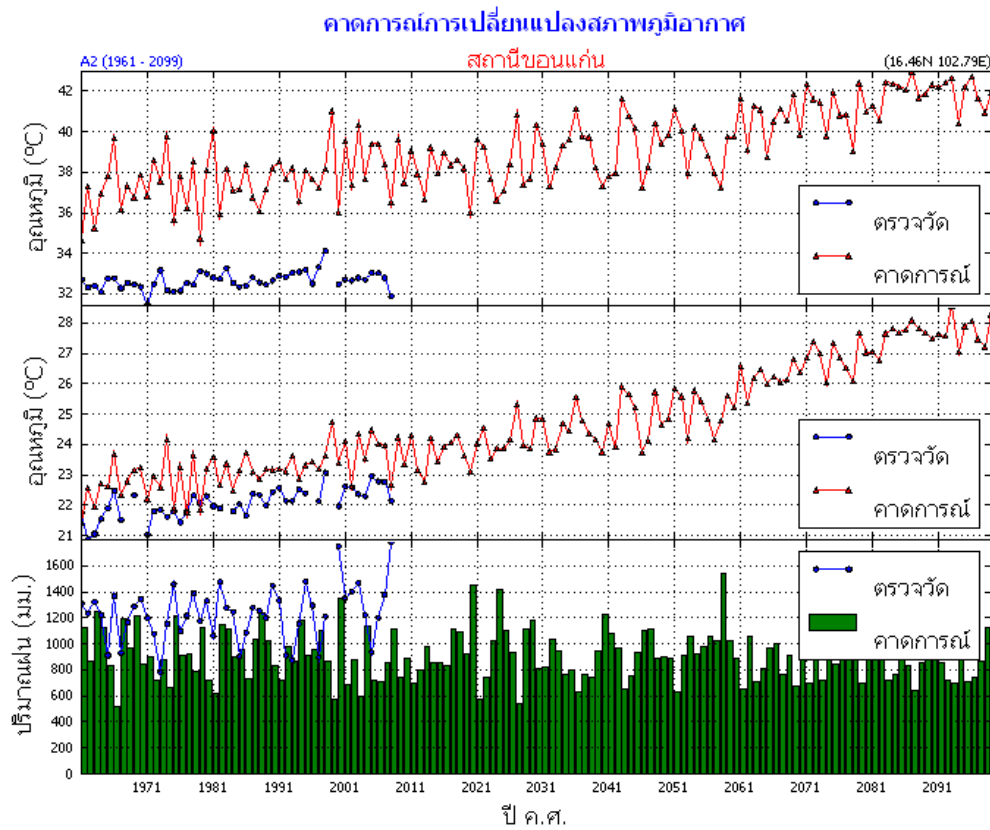
รูปที่ 97 คาดการณ์การเปลี่ยนแปลงภูมิอากาศ สถานีอุตุนิยมวิทยาเกษตรนครพนม

สถานีสกลนคร ข้อมูลที่นำมาวิเคราะห์เป็นข้อมูลสถานีอุตุนิยมวิทยาเกษตร ตรวจวัดตั้งแต่ ค.ศ.1983-2008

อุณหภูมิสูงสุดเฉลี่ย (บน) จากการวิเคราะห์เปรียบเทียบข้อมูลอุณหภูมิสูงสุดเฉลี่ยที่ได้จากรูปแบบจำลองสูงกว่าอุณหภูมิที่ได้จากการตรวจวัด โดย มีความคลาดเคลื่อนประมาณ 2-3 องศาเซลเซียส สำหรับแนวโน้มอุณหภูมิสูงสุดเฉลี่ยในทศวรรษที่ 2100 (ค.ศ.2091-2100) สูงกว่าทศวรรษที่ 2000 (ค.ศ.1991-2000) ประมาณ 4-5 องศาเซลเซียส

อุณหภูมิต่ำสุดเฉลี่ย (กลาง) จากการวิเคราะห์เปรียบเทียบข้อมูลอุณหภูมิต่ำสุดเฉลี่ยที่ได้จากรูปแบบจำลองสูงกว่าอุณหภูมิที่ได้จากการตรวจวัดเล็กน้อยประมาณ 1 องศาเซลเซียส และมีแนวโน้มไปในทิศทางเดียวกันสำหรับในทศวรรษที่ 2100 (ค.ศ.2091-2100) พบว่า อุณหภูมิต่ำสุดเฉลี่ยสูงกว่าทศวรรษที่ 2000 (ค.ศ.1991-2000) ประมาณ 4 องศาเซลเซียส

ปริมาณฝน (ล่าง) จากการวิเคราะห์เปรียบเทียบข้อมูลปริมาณฝนที่ได้จากรูปแบบจำลองต่ำกว่าปริมาณฝนที่ได้จากการตรวจวัด โดยมีความคลาดเคลื่อนประมาณ 1000 มม. แนวโน้มปริมาณฝนในทศวรรษที่ 2100 (ค.ศ. 2091-2100) มีแนวโน้มลดลงเล็กน้อย



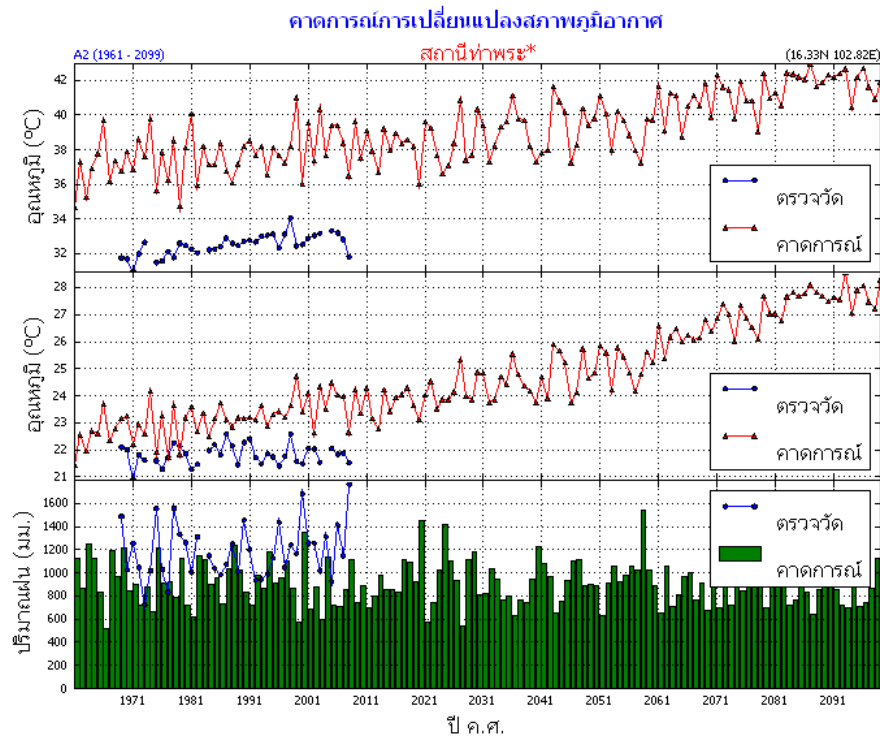
รูปที่ 98 คาดการณ์การเปลี่ยนแปลงภูมิอากาศ สถานีขอนแก่น

สถานีขอนแก่น

อุณหภูมิสูงสุดเฉลี่ย (บน) จากการวิเคราะห์เปรียบเทียบข้อมูลอุณหภูมิสูงสุดเฉลี่ยที่ได้จากรูปแบบจำลองสูงกว่าอุณหภูมิที่ได้จากการตรวจวัดประมาณ 4-5 องศาเซลเซียส แต่มีแนวโน้มไปในทิศทางเดียวกัน สำหรับแนวโน้มอุณหภูมิสูงสุดเฉลี่ยในทศวรรษที่ 2100 (ค.ศ.2091-2100) สูงกว่าทศวรรษที่ 2000 (ค.ศ.1991-2000) ประมาณ 3-4 องศาเซลเซียส

อุณหภูมิต่ำสุดเฉลี่ย (กลาง) จากการวิเคราะห์เปรียบเทียบข้อมูลอุณหภูมิต่ำสุดเฉลี่ยที่ได้จากรูปแบบจำลองสูงกว่าอุณหภูมิที่ได้จากการตรวจวัดประมาณ 1-2 องศาเซลเซียส แต่มีแนวโน้มไปในทิศทางเดียวกัน สำหรับในทศวรรษที่ 2100 (ค.ศ.2091-2100) พบว่า อุณหภูมิต่ำสุดเฉลี่ยสูงกว่าทศวรรษที่ 2000 (ค.ศ. 1991-2000) ประมาณ 4-5 องศาเซลเซียส

ปริมาณฝน (ล่าง) จากการวิเคราะห์เปรียบเทียบข้อมูลปริมาณฝนที่ได้จากรูปแบบจำลองต่ำกว่าปริมาณฝนที่ได้จากการตรวจวัด โดยมีความคลาดเคลื่อนประมาณ 200-400 มม. แนวโน้มปริมาณฝนในทศวรรษที่ 2100 (ค.ศ.2091-2100) ยังไม่ชัดเจน



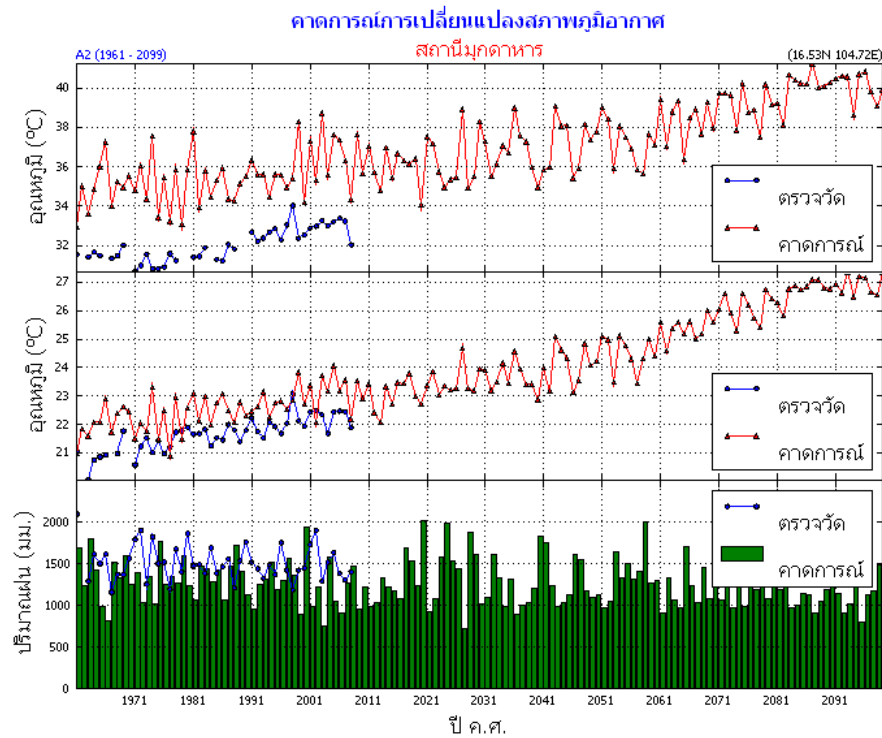
รูปที่ 99 คาดการณ์การเปลี่ยนแปลงภูมิอากาศ สถานีท่าพระ

สถานีท่าพระ จังหวัดขอนแก่น ข้อมูลตรวจวัดตั้งแต่ ค.ศ. 1971-2008

อุณหภูมิสูงสุดเฉลี่ย (บน) จากการวิเคราะห์เปรียบเทียบข้อมูลอุณหภูมิสูงสุดเฉลี่ยที่ได้จากรูปแบบจำลองสูงกว่าอุณหภูมิที่ได้จากการตรวจวัดประมาณ 4-5 องศาเซลเซียส แต่มีแนวโน้มไปในทิศทางเดียวกัน สำหรับแนวโน้มอุณหภูมิสูงสุดเฉลี่ยในทศวรรษที่ 2100 (ค.ศ.2091-2100) สูงกว่าทศวรรษที่ 2000 (ค.ศ.1991-2000) ประมาณ 3-4 องศาเซลเซียส

อุณหภูมิต่ำสุดเฉลี่ย (กลาง) จากการวิเคราะห์เปรียบเทียบข้อมูลอุณหภูมิต่ำสุดเฉลี่ยที่ได้จากรูปแบบจำลองสูงกว่าอุณหภูมิที่ได้จากการตรวจวัดประมาณ 1-2 องศาเซลเซียส แต่มีแนวโน้มไปในทิศทางเดียวกัน สำหรับในทศวรรษที่ 2100 (ค.ศ.2091-2100) พบว่า อุณหภูมิต่ำสุดเฉลี่ยสูงกว่าทศวรรษที่ 2000 (ค.ศ. 1991-2000) ประมาณ 4-5 องศาเซลเซียส

ปริมาณฝน (ล่าง) จากการวิเคราะห์เปรียบเทียบข้อมูลปริมาณฝนที่ได้จากรูปแบบจำลองต่ำกว่าปริมาณฝนที่ได้จากการตรวจวัด โดยมีความคลาดเคลื่อนประมาณ 300-500 มม. แนวโน้มปริมาณฝนในทศวรรษที่ 2100 (ค.ศ.2091-2100) ยังไม่ชัดเจน



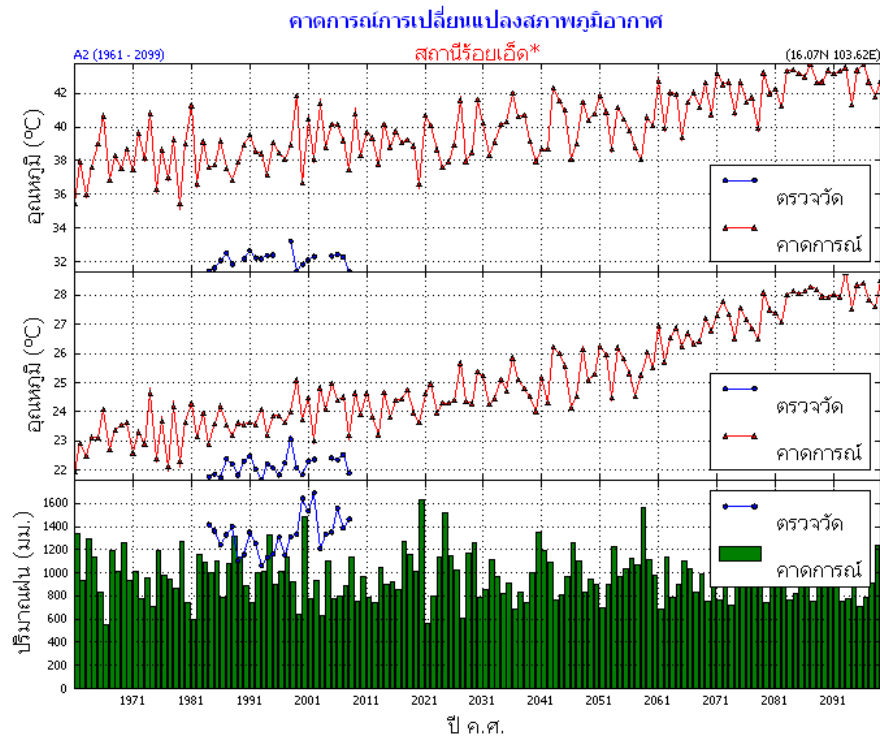
รูปที่ 100 คาดการณ์การเปลี่ยนแปลงภูมิอากาศ สถานีมุกดาหาร

สถานีมุกดาหาร

อุณหภูมิสูงสุดเฉลี่ย (บน) จากการวิเคราะห์เปรียบเทียบข้อมูลอุณหภูมิสูงสุดเฉลี่ยที่ได้จากรูปแบบจำลองสูงกว่าอุณหภูมิที่ได้จากการตรวจวัดประมาณ 2-3 องศาเซลเซียส แต่มีแนวโน้มไปในทิศทางเดียวกัน สำหรับแนวโน้มอุณหภูมิสูงสุดเฉลี่ยในทศวรรษที่ 2100 (ค.ศ.2091-2100) สูงกว่าทศวรรษที่ 2000 (ค.ศ.1991-2000) ประมาณ 5 องศาเซลเซียส

อุณหภูมิต่ำสุดเฉลี่ย (กลาง) จากการวิเคราะห์เปรียบเทียบข้อมูลอุณหภูมิต่ำสุดเฉลี่ยที่ได้จากรูปแบบจำลองกับอุณหภูมิที่ได้จากการตรวจวัดจริงมีค่าคลาดเคลื่อนเล็กน้อย และมีแนวโน้มไปในทิศทางเดียวกัน สำหรับในทศวรรษที่ 2100 (ค.ศ.2091-2100) พบว่า อุณหภูมิต่ำสุดเฉลี่ยสูงกว่าทศวรรษที่ 2000 (ค.ศ. 1991-2000) ประมาณ 4-5 องศาเซลเซียส

ปริมาณฝน (ล่าง) จากการวิเคราะห์เปรียบเทียบข้อมูลปริมาณฝนที่ได้จากรูปแบบจำลองและที่ได้จากการตรวจวัดจริงพบที่มีความคลาดเคลื่อนเล็กน้อย แนวโน้มปริมาณฝนในทศวรรษที่ 2100 (ค.ศ.2091-2100) ยังไม่ชัดเจน



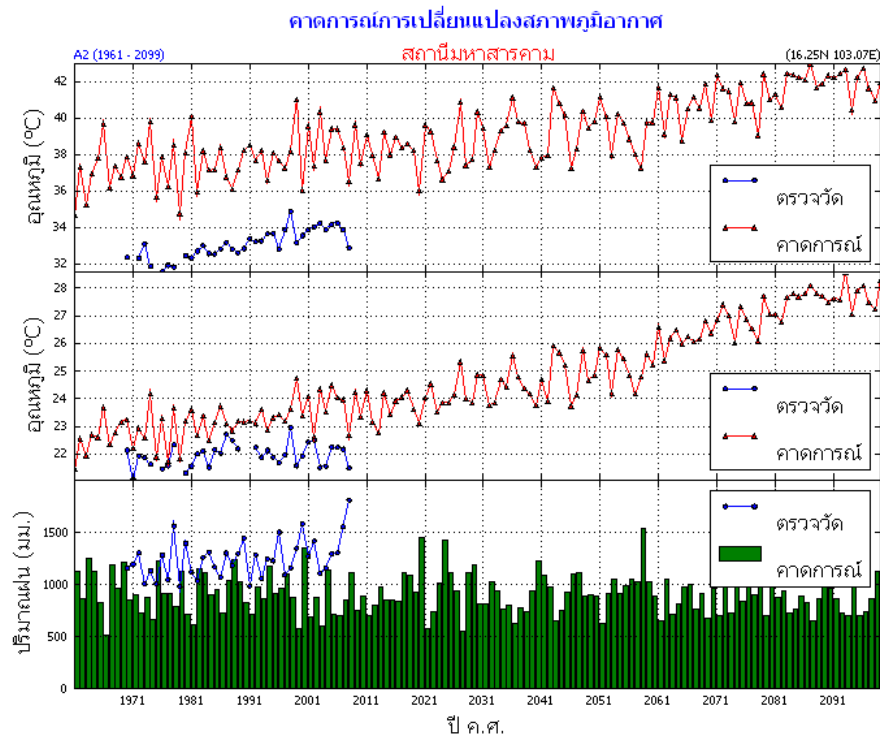
รูปที่ 101 คาดการณ์การเปลี่ยนแปลงภูมิอากาศ สถานีร้อยเอ็ด

สถานีร้อยเอ็ด ข้อมูลตรวจวัดตั้งแต่ ค.ศ. 1983-2008

อุณหภูมิสูงสุดเฉลี่ย (บน) จากการวิเคราะห์เปรียบเทียบข้อมูลอุณหภูมิสูงสุดเฉลี่ยที่ได้จากรูปแบบจำลองสูงกว่าอุณหภูมิที่ได้จากการตรวจวัดประมาณ 5-6 องศาเซลเซียส แต่มีแนวโน้มไปในทิศทางเดียวกัน สำหรับแนวโน้มอุณหภูมิสูงสุดเฉลี่ยในทศวรรษที่ 2100 (ค.ศ.2091-2100) สูงกว่าทศวรรษที่ 2000 (ค.ศ.1991-2000) ประมาณ 4-5 องศาเซลเซียส

อุณหภูมิต่ำสุดเฉลี่ย (กลาง) จากการวิเคราะห์เปรียบเทียบข้อมูลอุณหภูมิต่ำสุดเฉลี่ยที่ได้จากรูปแบบจำลองสูงกว่าอุณหภูมิที่ได้จากการตรวจวัดประมาณ 1-2 องศาเซลเซียส แต่ มีแนวโน้มไปในทิศทางเดียวกัน สำหรับในทศวรรษที่ 2100 (ค.ศ.2091-2100) พบว่า อุณหภูมิต่ำสุดเฉลี่ยสูงกว่าทศวรรษที่ 2000 (ค.ศ. 1991-2000) ประมาณ 4-5 องศาเซลเซียส

ปริมาณฝน (ล่าง) จากการวิเคราะห์เปรียบเทียบข้อมูลปริมาณฝนที่ได้จากรูปแบบจำลองต่ำกว่าปริมาณฝนที่ได้จากการตรวจวัดประมาณ 400-600 มม. แนวโน้มปริมาณฝนในทศวรรษที่ 2100 (ค.ศ.2091-2100) ยังไม่ชัดเจน



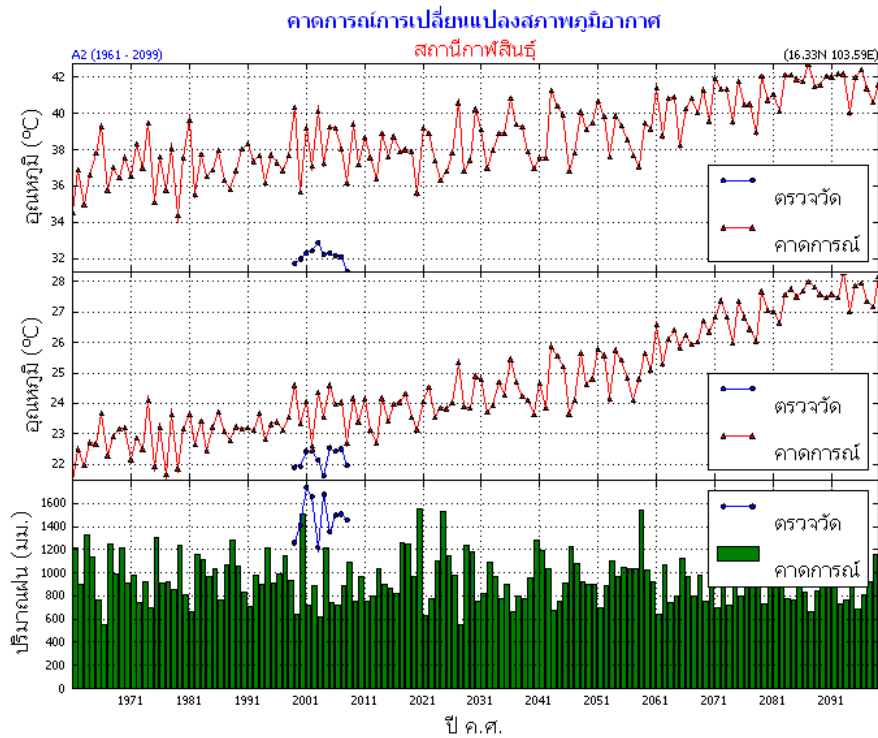
รูปที่ 102 คาดการณ์การเปลี่ยนแปลงภูมิอากาศ สถานีมหาสารคาม

สถานีมหาสารคาม ข้อมูลตรวจวัดตั้งแต่ ค.ศ. 1970-2008

อุณหภูมิสูงสุดเฉลี่ย (บน) จากการวิเคราะห์เปรียบเทียบข้อมูลอุณหภูมิสูงสุดเฉลี่ยที่ได้จากรูปแบบจำลอง มีค่าสูงกว่าอุณหภูมิที่ได้จากการตรวจวัดจริง โดยมีความคลาดเคลื่อนประมาณ 4-5 องศาเซลเซียส แต่มีแนวโน้มไปในทิศทางเดียวกัน สำหรับแนวโน้ม อุณหภูมิสูงสุดเฉลี่ยในทศวรรษที่ 2100 (ค.ศ.2091-2100) สูงกว่าทศวรรษที่ 2000 (ค.ศ.1991-2000) ประมาณ 3-4 องศาเซลเซียส

อุณหภูมิต่ำสุดเฉลี่ย (กลาง) จากการวิเคราะห์เปรียบเทียบข้อมูลอุณหภูมิต่ำสุดเฉลี่ยที่ได้จากรูปแบบจำลองสูงกว่าอุณหภูมิที่ได้จากการตรวจวัดจริง โดยมีความคลาดเคลื่อนประมาณ 1-2 องศาเซลเซียส แต่มีแนวโน้มไปในทิศทางเดียวกัน สำหรับในทศวรรษที่ 2100 (ค.ศ.2091-2100) พบว่า อุณหภูมิต่ำสุดเฉลี่ยสูงกว่าทศวรรษที่ 2000 (ค.ศ.1991-2000) ประมาณ 4-5 องศาเซลเซียส

ปริมาณฝน (ล่าง) จากการวิเคราะห์เปรียบเทียบข้อมูลปริมาณฝนที่ได้จากรูปแบบจำลองต่ำกว่าปริมาณฝนที่ได้จากการตรวจวัดจริง โดยมีความคลาดเคลื่อนประมาณ 200-400 มม. แนวโน้มปริมาณฝนในทศวรรษที่ 2100 (ค.ศ.2091-2100) ยังไม่ชัดเจน



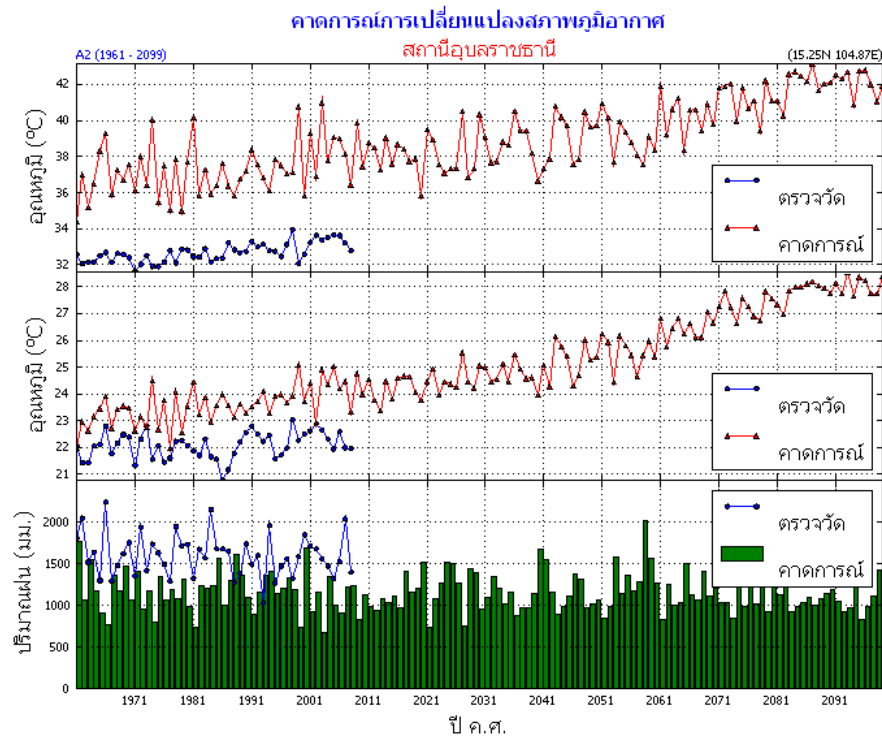
รูปที่ 103 คาดการณ์การเปลี่ยนแปลงภูมิอากาศ สถานีภาพสินธุ์

สถานีภาพสินธุ์ ข้อมูลตรวจวัดตั้งแต่ ค.ศ. 1999-2008

อุณหภูมิสูงสุดเฉลี่ย (บน) จากการวิเคราะห์เปรียบเทียบข้อมูลอุณหภูมิสูงสุดเฉลี่ยที่ได้จากรูปแบบจำลองมีค่าสูงกว่าอุณหภูมิที่ได้จากการตรวจวัดจริงมาก โดยมีความคลาดเคลื่อนประมาณ 4-5 องศาเซลเซียส แต่เนื่องจากข้อมูลที่ได้จากการตรวจวัดมีน้อย จึงพิจารณาเฉพาะอุณหภูมิที่ได้จากแบบจำลอง และพบว่า แนวโน้มอุณหภูมิสูงสุดเฉลี่ยในทศวรรษที่ 2100 (ค.ศ.2091-2100) สูงกว่าทศวรรษที่ 2000 (ค.ศ.1991-2000) ประมาณ 4-5 องศาเซลเซียส

อุณหภูมิต่ำสุดเฉลี่ย (กลาง) จากการวิเคราะห์เปรียบเทียบข้อมูลอุณหภูมิต่ำสุดเฉลี่ยที่ได้จากรูปแบบจำลองสูงกว่าอุณหภูมิที่ได้จากการตรวจวัดจริง โดยมีความคลาดเคลื่อนประมาณ 1-2 องศาเซลเซียส สำหรับในทศวรรษที่ 2100 (ค.ศ.2091-2100) พบว่า อุณหภูมิต่ำสุดเฉลี่ยสูงกว่าทศวรรษที่ 2000 (ค.ศ.1991-2000) ประมาณ 4-5 องศาเซลเซียส

ปริมาณฝน (ล่าง) จากการวิเคราะห์เปรียบเทียบข้อมูลปริมาณฝนที่ได้จากรูปแบบจำลองต่ำกว่าปริมาณฝนที่ได้จากการตรวจวัดจริง โดยมีความคลาดเคลื่อนประมาณ 300-500 มม. แนวโน้มปริมาณฝนในทศวรรษที่ 2100 (ค.ศ.2091-2100) ยังไม่ชัดเจน



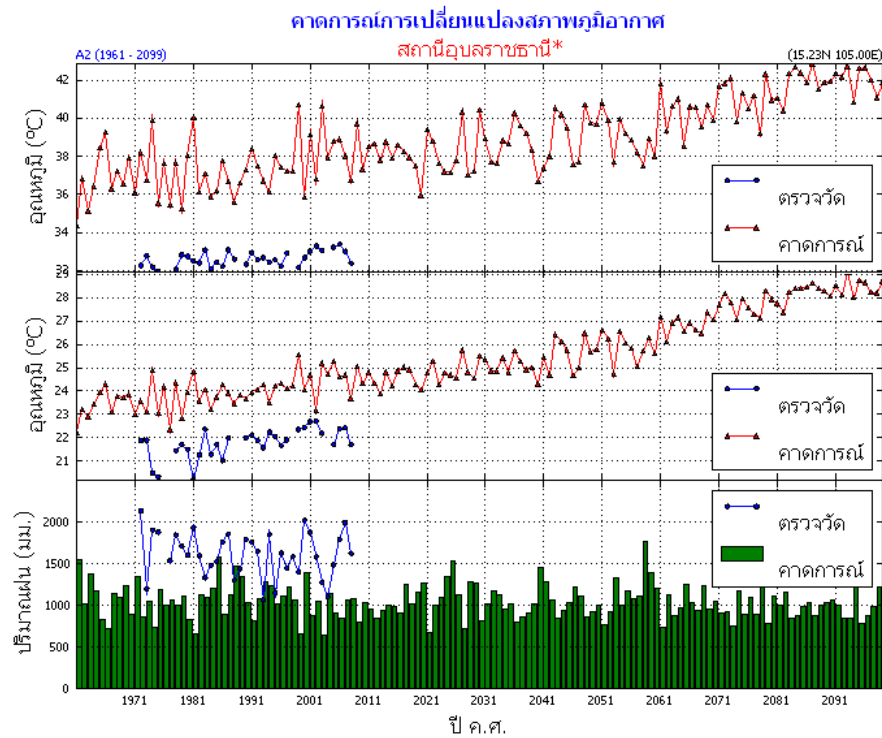
รูปที่ 104 คาดการณ์การเปลี่ยนแปลงภูมิอากาศ สถานีอุบลราชธานี

สถานีอุบลราชธานี

อุณหภูมิสูงสุดเฉลี่ย (บน) จากการวิเคราะห์เปรียบเทียบข้อมูลอุณหภูมิสูงสุดเฉลี่ยที่ได้จากรูปแบบจำลองมีค่าสูงกว่าอุณหภูมิที่ได้จากการตรวจวัดจริง โดยมีความคลาดเคลื่อนประมาณ 4-5 องศาเซลเซียส สำหรับแนวโน้มอุณหภูมิสูงสุดเฉลี่ยในทศวรรษที่ 2100 (ค.ศ.2091-2100) สูงกว่าทศวรรษที่ 2000 (ค.ศ.1991-2000) ประมาณ 4-5 องศาเซลเซียส

อุณหภูมิต่ำสุดเฉลี่ย (กลาง) จากการวิเคราะห์เปรียบเทียบข้อมูลอุณหภูมิต่ำสุดเฉลี่ยที่ได้จากรูปแบบจำลองสูงกว่าอุณหภูมิที่ได้จากการตรวจวัดจริง โดยมีความคลาดเคลื่อนประมาณ 1-2 องศาเซลเซียส สำหรับในทศวรรษที่ 2100 (ค.ศ.2091-2100) พบว่า อุณหภูมิต่ำสุดเฉลี่ยสูงกว่าทศวรรษที่ 2000 (ค.ศ.1991-2000) ประมาณ 4-5 องศาเซลเซียส

ปริมาณฝน (ล่าง) จากการวิเคราะห์เปรียบเทียบข้อมูลปริมาณฝนที่ได้จากรูปแบบจำลองมีค่าต่ำกว่าปริมาณฝนที่ได้จากการตรวจวัดจริง โดยมีความคลาดเคลื่อนประมาณ 600-800 มม.สำหรับแนวโน้มปริมาณฝนในทศวรรษที่ 2100 (ค.ศ.2091-2100) ยังไม่ชัดเจน



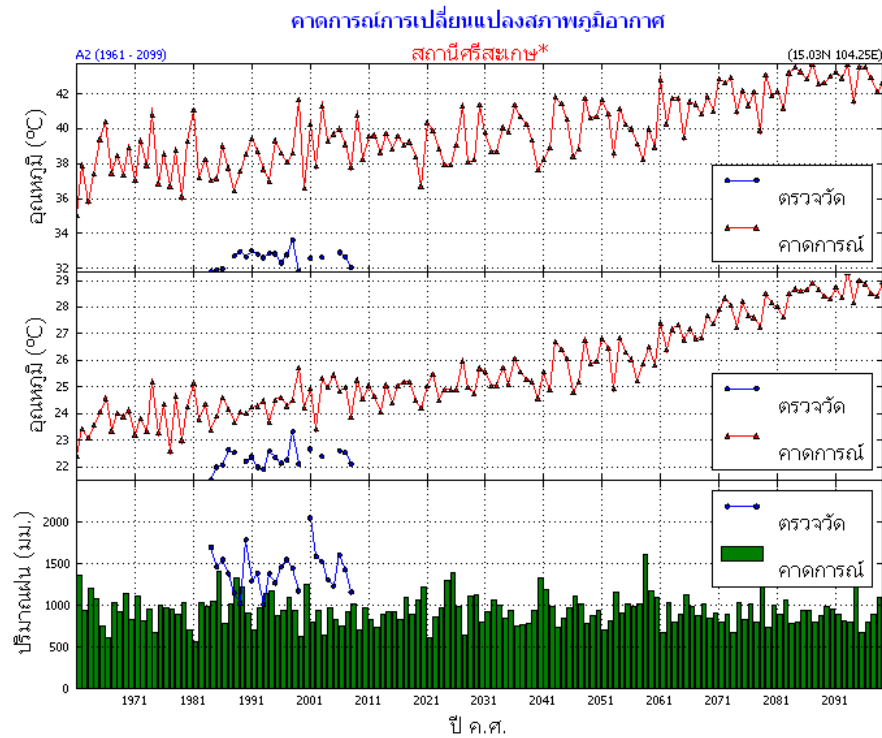
รูปที่ 105 คาดการณ์การเปลี่ยนแปลงภูมิอากาศ สถานีอุตุนิยมวิทยาเกษตรอุบลราชธานี

สถานีอุบลราชธานี ข้อมูลที่นำมาวิเคราะห์เป็นข้อมูลสถานีอุตุนิยมวิทยาเกษตร ตรวจวัดตั้งแต่ ค.ศ. 1971-2008

อุณหภูมิสูงสุดเฉลี่ย (บน) จากการวิเคราะห์เปรียบเทียบข้อมูลอุณหภูมิสูงสุดเฉลี่ยที่ได้จากรูปแบบจำลอง มีค่าสูงกว่าอุณหภูมิที่ได้จากการตรวจวัดจริง โดยมีความคลาดเคลื่อนประมาณ 4-5 องศาเซลเซียส สำหรับแนวโน้มอุณหภูมิสูงสุดเฉลี่ยในทศวรรษที่ 2100 (ค.ศ.2091-2100) สูงกว่าทศวรรษที่ 2000 (ค.ศ.1991-2000) ประมาณ 4-5 องศาเซลเซียส

อุณหภูมิต่ำสุดเฉลี่ย (กลาง) จากการวิเคราะห์เปรียบเทียบข้อมูลอุณหภูมิต่ำสุดเฉลี่ยที่ได้จากรูปแบบจำลองสูงกว่าอุณหภูมิที่ได้จากการตรวจวัดจริง โดยมีความคลาดเคลื่อนประมาณ 1-2 องศาเซลเซียส สำหรับในทศวรรษที่ 2100 (ค.ศ.2091-2100) พบว่า อุณหภูมิต่ำสุดเฉลี่ยสูงกว่าทศวรรษที่ 2000 (ค.ศ.1991-2000) ประมาณ 4-5 องศาเซลเซียส

ปริมาณฝน (ล่าง) จากการวิเคราะห์เปรียบเทียบข้อมูลปริมาณฝนที่ได้จากรูปแบบจำลองมีค่าต่ำกว่าปริมาณฝนที่ได้จากการตรวจวัดจริง โดยมีความคลาดเคลื่อนประมาณ 500-1000 มม.สำหรับแนวโน้มปริมาณฝนในทศวรรษที่ 2100 (ค.ศ.2091-2100) ยังไม่ชัดเจน



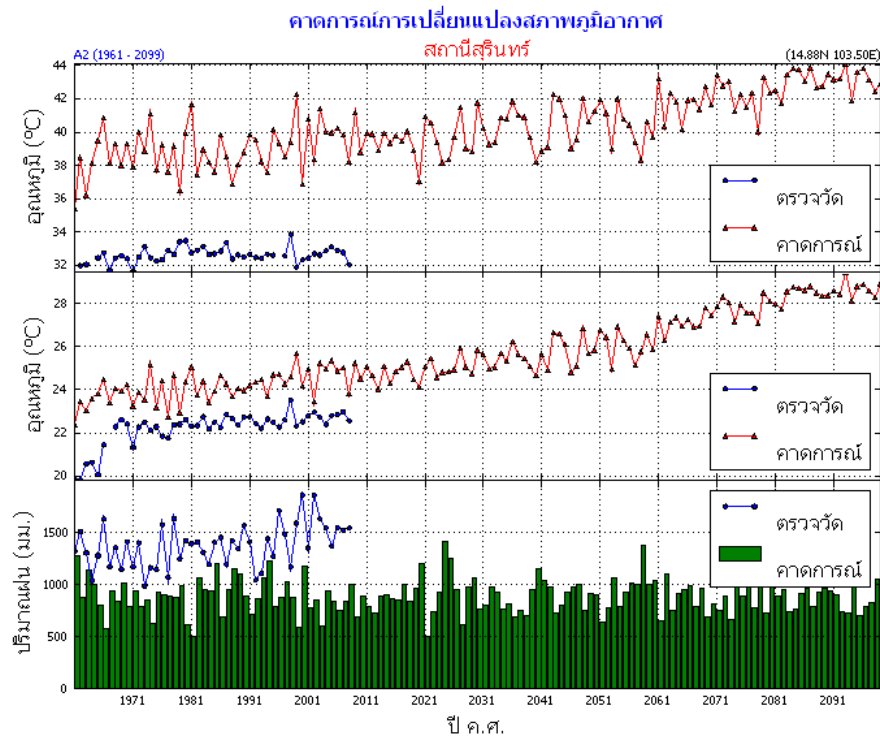
รูปที่ 106 การคาดการณ์การเปลี่ยนแปลงสภาพภูมิอากาศ สถานีศรีสะเกษ

สถานีศรีสะเกษ ข้อมูลตรวจวัดเริ่มตั้งแต่ ค.ศ. 1983-2008

อุณหภูมิสูงสุดเฉลี่ย (บน) จากการวิเคราะห์เปรียบเทียบข้อมูลอุณหภูมิสูงสุดเฉลี่ยที่ได้จากรูปแบบจำลองมีค่าสูงกว่าอุณหภูมิที่ได้จากการตรวจวัดจริง โดยมีค่าคลาดเคลื่อน ประมาณ 5-6 องศาเซลเซียส สำหรับแนวโน้มอุณหภูมิสูงสุดเฉลี่ยในทศวรรษที่ 2100 (ค.ศ.2091-2100) สูงกว่าทศวรรษที่ 2000 (ค.ศ.1991-2000) ประมาณ 4-5 องศาเซลเซียส

อุณหภูมิต่ำสุดเฉลี่ย (กลาง) จากการวิเคราะห์เปรียบเทียบข้อมูลอุณหภูมิต่ำสุดเฉลี่ยที่ได้จากรูปแบบจำลองมีค่าสูงกว่าอุณหภูมิที่ได้จากการตรวจวัดจริงประมาณ 1-2 องศาเซลเซียส แต่มีแนวโน้มไปในทิศทางเดียวกัน สำหรับในทศวรรษที่ 2100 (ค.ศ.2091-2100) พบว่า อุณหภูมิต่ำสุดเฉลี่ยสูงกว่าทศวรรษที่ 2000 (ค.ศ.1991-2000) ประมาณ 4-5 องศาเซลเซียส

ปริมาณฝน (ล่าง) จากการวิเคราะห์เปรียบเทียบข้อมูลปริมาณฝนที่ได้จากรูปแบบจำลองมีค่าต่ำกว่าปริมาณฝนที่ได้จากการตรวจวัดจริงประมาณ 500-800 มม. สำหรับแนวโน้มปริมาณฝนในทศวรรษที่ 2100 (ค.ศ.2091-2100) ยังไม่ชัดเจน



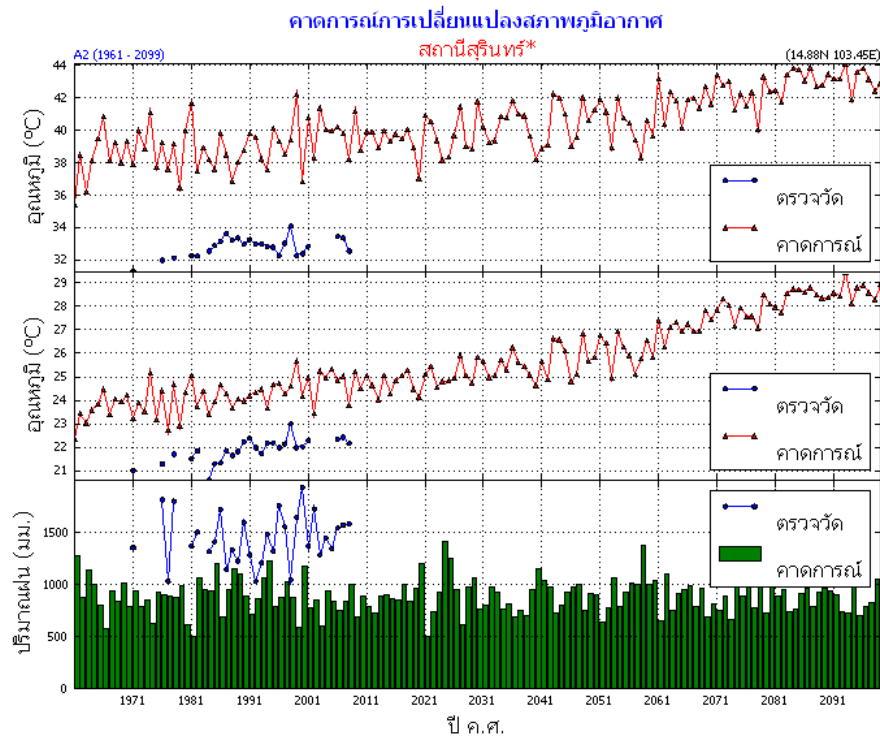
รูปที่ 107 คาดการณ์การเปลี่ยนแปลงภูมิอากาศสถานีสุรินทร์

สถานีสุรินทร์

อุณหภูมิสูงสุดเฉลี่ย (บน) จากการวิเคราะห์เปรียบเทียบข้อมูลอุณหภูมิสูงสุดเฉลี่ยที่ได้จากรูปแบบจำลองมีค่าสูงกว่าอุณหภูมิที่ได้จากการตรวจวัดจริง โดยมีค่าคลาดเคลื่อนประมาณ 5-6 องศาเซลเซียส สำหรับแนวโน้มอุณหภูมิสูงสุดเฉลี่ยในทศวรรษที่ 2100 (ค.ศ.2091-2100) สูงกว่าทศวรรษที่ 2000 (ค.ศ.1991-2000) ประมาณ 4-5 องศาเซลเซียส

อุณหภูมิต่ำสุดเฉลี่ย (กลาง) จากการวิเคราะห์เปรียบเทียบข้อมูลอุณหภูมิต่ำสุดเฉลี่ยที่ได้จากรูปแบบจำลองมีค่าสูงกว่าอุณหภูมิที่ได้จากการตรวจวัดจริงประมาณ 1-2 องศาเซลเซียส แต่มีแนวโน้มไปในทิศทางเดียวกัน สำหรับในทศวรรษที่ 2100 (ค.ศ.2091-2100) พบว่า อุณหภูมิต่ำสุดเฉลี่ยสูงกว่าทศวรรษที่ 2000 (ค.ศ.1991-2000) ประมาณ 4-5 องศาเซลเซียส

ปริมาณฝน (ล่าง) จากการวิเคราะห์เปรียบเทียบข้อมูลปริมาณฝนที่ได้จากรูปแบบจำลองมีค่าต่ำกว่าปริมาณฝนที่ได้จากการตรวจวัดจริงประมาณ 500-800 มม. สำหรับแนวโน้มปริมาณฝนในทศวรรษที่ 2100 (ค.ศ.2091-2100) ยังไม่ชัดเจน



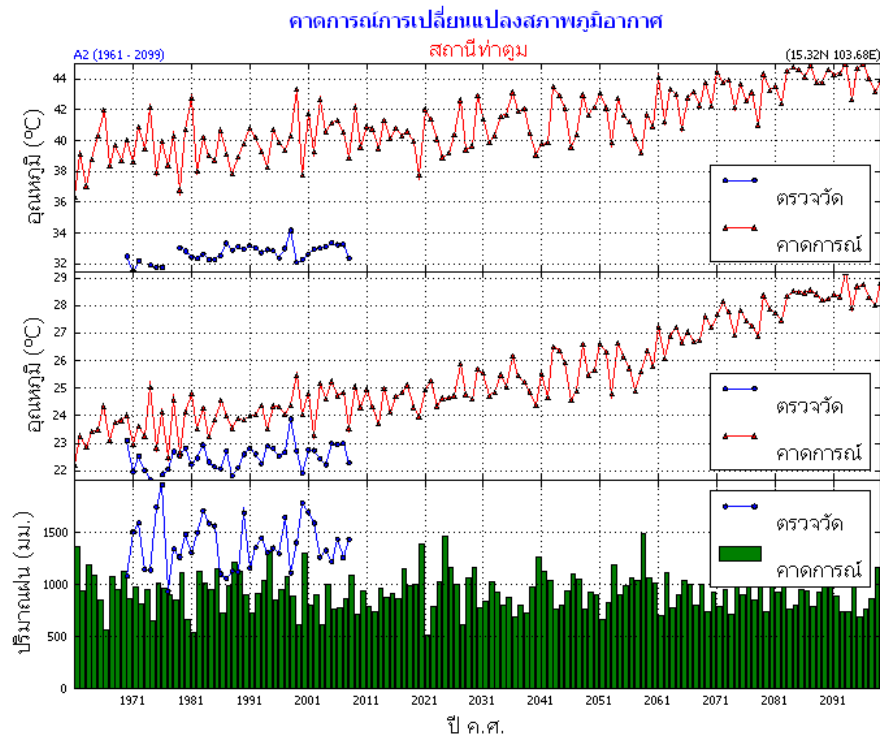
รูปที่ 108 คาดการณ์การเปลี่ยนแปลงภูมิอากาศ สถานีอุตุนิยมหาวิทยาลัยสุรินทร์

สถานีสุรินทร์ ข้อมูลที่นำมาวิเคราะห์เป็นข้อมูลสถานีอุตุนิยมหาวิทยาลัยสุรินทร์ เริ่มตรวจวัดตั้งแต่ค.ศ.1971-2008

อุณหภูมิสูงสุดเฉลี่ย (บน) จากการวิเคราะห์เปรียบเทียบข้อมูลอุณหภูมิสูงสุดเฉลี่ยที่ได้จากรูปแบบจำลองมีค่าสูงกว่าอุณหภูมิที่ได้จากการตรวจวัดจริง โดยมีความคลาดเคลื่อนประมาณ 4-5 องศาเซลเซียส สำหรับแนวโน้มอุณหภูมิสูงสุดเฉลี่ยในทศวรรษที่ 2100 (ค.ศ.2091-2100) สูงกว่าทศวรรษที่ 2000 (ค.ศ.1991-2000) ประมาณ 4-5 องศาเซลเซียส

อุณหภูมิต่ำสุดเฉลี่ย (กลาง) จากการวิเคราะห์เปรียบเทียบข้อมูลอุณหภูมิต่ำสุดเฉลี่ยที่ได้จากรูปแบบจำลองสูงกว่าอุณหภูมิที่ได้จากการตรวจวัดจริง โดยมีความคลาดเคลื่อนประมาณ 1-2 องศาเซลเซียส สำหรับในทศวรรษที่ 2100 (ค.ศ.2091-2100) พบว่า อุณหภูมิต่ำสุดเฉลี่ยสูงกว่าทศวรรษที่ 2000 (ค.ศ.1991-2000) ประมาณ 4-5 องศาเซลเซียส

ปริมาณฝน (ล่าง) จากการวิเคราะห์เปรียบเทียบข้อมูลปริมาณฝนที่ได้จากรูปแบบจำลองมีค่าต่ำกว่าปริมาณฝนที่ได้จากการตรวจวัดจริง โดยมีความคลาดเคลื่อนประมาณ 800-1000 มม.สำหรับแนวโน้มปริมาณฝนในทศวรรษที่ 2100 (ค.ศ.2091-2100) ยังไม่ชัดเจน



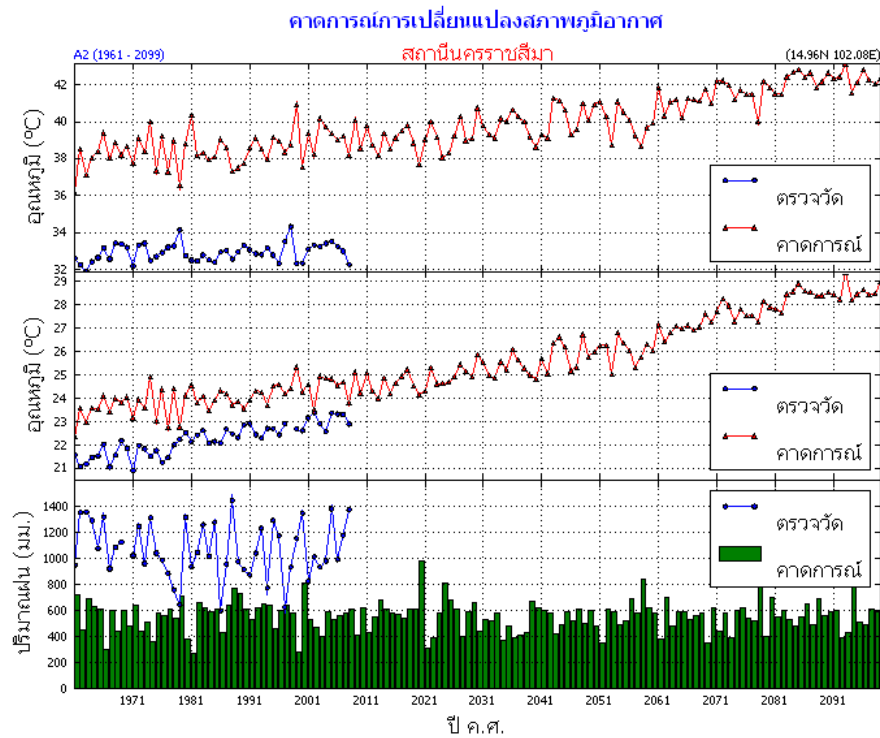
รูปที่ 109 คาดการณ์การเปลี่ยนแปลงภูมิอากาศ สถานีท่าตูม

สถานีท่าตูม จังหวัดสุรินทร์ ข้อมูลตรวจวัดเริ่มตั้งแต่ค.ศ. 1970-2008

อุณหภูมิสูงสุดเฉลี่ย (บน) จากการวิเคราะห์เปรียบเทียบข้อมูลอุณหภูมิสูงสุดเฉลี่ยที่ได้จากรูปแบบจำลองมีค่าสูงกว่าอุณหภูมิที่ได้จากการตรวจวัดจริง โดยมีค่าคลาดเคลื่อนประมาณ 5-6 องศาเซลเซียส สำหรับแนวโน้มอุณหภูมิสูงสุดเฉลี่ยในทศวรรษที่ 2100 (ค.ศ.2091-2100) สูงกว่าทศวรรษที่ 2000 (ค.ศ.1991-2000) ประมาณ 4-5 องศาเซลเซียส

อุณหภูมิต่ำสุดเฉลี่ย (กลาง) จากการวิเคราะห์เปรียบเทียบข้อมูลอุณหภูมิต่ำสุดเฉลี่ยที่ได้จากรูปแบบจำลองมีค่าสูงกว่าอุณหภูมิที่ได้จากการตรวจวัดจริงประมาณ 1-2 องศาเซลเซียส แต่มีแนวโน้มไปในทิศทางเดียวกัน สำหรับในทศวรรษที่ 2100 (ค.ศ.2091-2100) พบว่า อุณหภูมิต่ำสุดเฉลี่ยสูงกว่าทศวรรษที่ 2000 (ค.ศ.1991-2000) ประมาณ 4-5 องศาเซลเซียส

ปริมาณฝน (ล่าง) จากการวิเคราะห์เปรียบเทียบข้อมูลปริมาณฝนที่ได้จากรูปแบบจำลองมีค่าต่ำกว่าปริมาณฝนที่ได้จากการตรวจวัดจริงประมาณ 500-800 มม. สำหรับแนวโน้มปริมาณฝนในทศวรรษที่ 2100 (ค.ศ.2091-2100) ยังไม่ชัดเจน



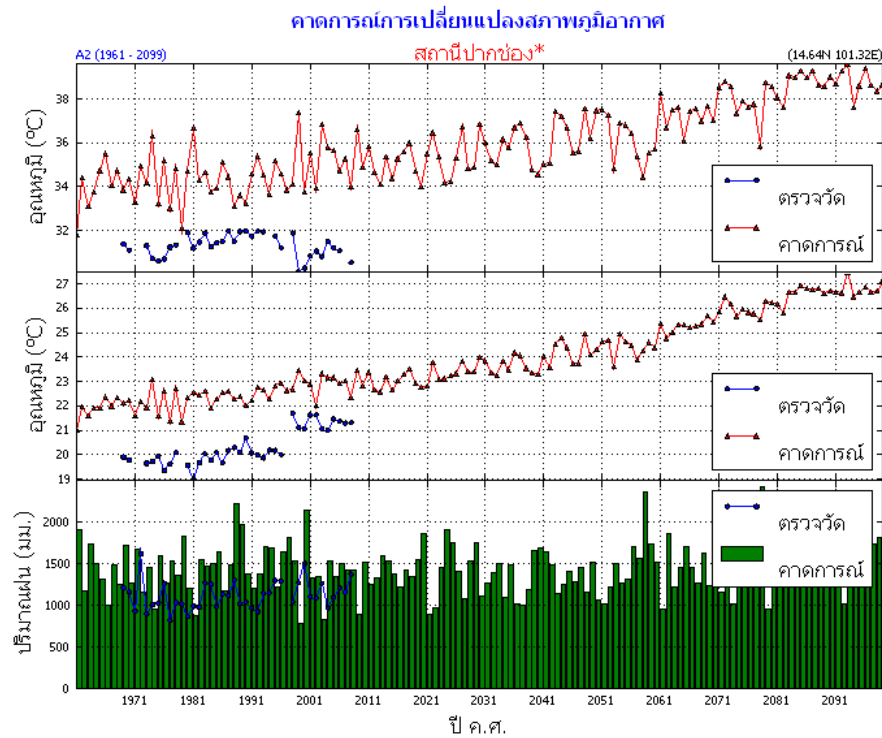
รูปที่ 110 คาดการณ์การเปลี่ยนแปลงภูมิอากาศ สถานีนครราชสีมา

สถานีนครราชสีมา

อุณหภูมิสูงสุดเฉลี่ย (บน) จากการวิเคราะห์เปรียบเทียบข้อมูลอุณหภูมิสูงสุดเฉลี่ยที่ได้จากรูปแบบจำลองมีค่าสูงกว่าอุณหภูมิที่ได้จากการตรวจวัดจริง โดยมีความคลาดเคลื่อนประมาณ 5-6 องศาเซลเซียส สำหรับแนวโน้มอุณหภูมิสูงสุดเฉลี่ยในทศวรรษที่ 2100 (ค.ศ.2091-2100) สูงกว่าทศวรรษที่ 2000 (ค.ศ.1991-2000) ประมาณ 4-5 องศาเซลเซียส

อุณหภูมิต่ำสุดเฉลี่ย (กลาง) จากการวิเคราะห์เปรียบเทียบข้อมูลอุณหภูมิต่ำสุดเฉลี่ยที่ได้จากรูปแบบจำลองมีค่าสูงกว่าอุณหภูมิที่ได้จากการตรวจวัดจริงประมาณ 1-2 องศาเซลเซียสและมีแนวโน้มไปในทิศทางเดียวกัน สำหรับในทศวรรษที่ 2100 (ค.ศ.2091-2100) พบว่า อุณหภูมิต่ำสุดเฉลี่ยสูงกว่าทศวรรษที่ 2000 (ค.ศ.1991-2000) ประมาณ 4-5 องศาเซลเซียส

ปริมาณฝน (ล่าง) จากการวิเคราะห์เปรียบเทียบข้อมูลปริมาณฝนที่ได้จากรูปแบบจำลองมีค่าต่ำกว่าปริมาณฝนที่ได้จากการตรวจวัดจริง โดยมีความคลาดเคลื่อนประมาณ 700-1000 มม. สำหรับแนวโน้มปริมาณฝนในทศวรรษที่ 2100 (ค.ศ.2091-2100) ยังไม่ชัดเจน



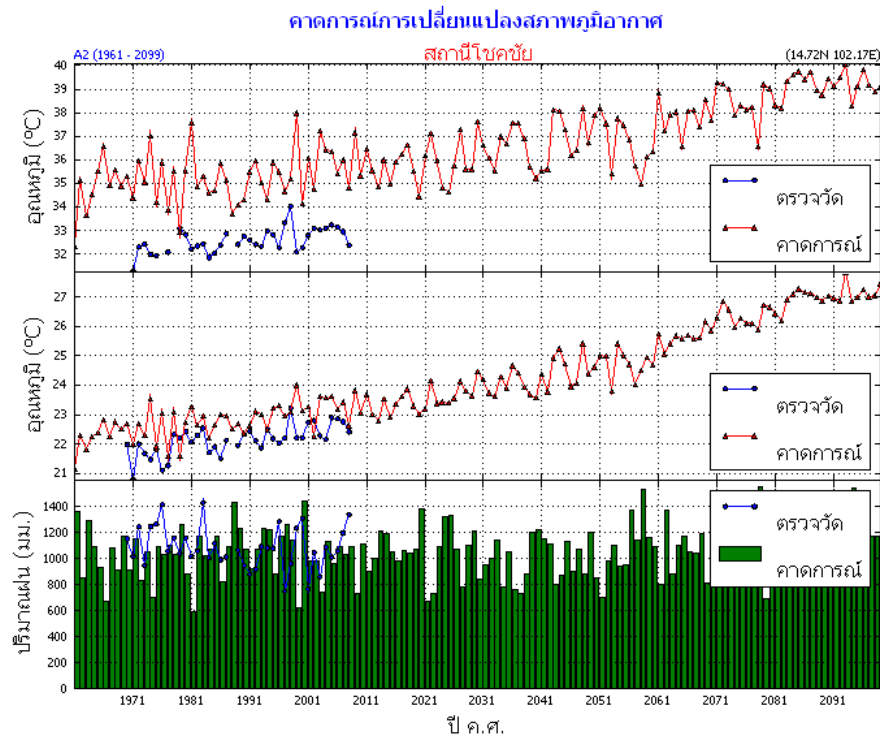
รูปที่ 111 การคาดการณ์การเปลี่ยนแปลงภูมิอากาศ สถานีปากช่อง

สถานีปากช่อง จังหวัดนครราชสีมา ข้อมูลตรวจวัดเริ่มตั้งแต่ ค.ศ. 1969-2008

อุณหภูมิสูงสุดเฉลี่ย (บน) จากการวิเคราะห์เปรียบเทียบข้อมูลอุณหภูมิสูงสุดเฉลี่ยที่ได้จากรูปแบบจำลองมีค่าสูงกว่าอุณหภูมิที่ได้จากการตรวจวัดจริง โดยมีค่าคลาดเคลื่อนประมาณ 2-3 องศาเซลเซียส สำหรับแนวโน้มอุณหภูมิสูงสุดเฉลี่ยในทศวรรษที่ 2100 (ค.ศ.2091-2100) สูงกว่าทศวรรษที่ 2000 (ค.ศ.1991-2000) ประมาณ 4-5 องศาเซลเซียส

อุณหภูมิต่ำสุดเฉลี่ย (กลาง) จากการวิเคราะห์เปรียบเทียบข้อมูลอุณหภูมิต่ำสุดเฉลี่ยที่ได้จากรูปแบบจำลองมีค่าสูงกว่าอุณหภูมิที่ได้จากการตรวจวัดจริงประมาณ 1-2 องศาเซลเซียสและมีแนวโน้มไปในทิศทางเดียวกัน สำหรับในทศวรรษที่ 2100 (ค.ศ.2091-2100) พบว่า อุณหภูมิต่ำสุดเฉลี่ยสูงกว่าทศวรรษที่ 2000 (ค.ศ.1991-2000) ประมาณ 4-5 องศาเซลเซียส

ปริมาณฝน (ล่าง) จากการวิเคราะห์เปรียบเทียบข้อมูลปริมาณฝนที่ได้จากรูปแบบจำลองมีค่าใกล้เคียงกับปริมาณฝนที่ได้จากการตรวจวัดจริง สำหรับแนวโน้มปริมาณฝนในทศวรรษที่ 2100 (ค.ศ.2091-2100) ยังไม่ชัดเจน



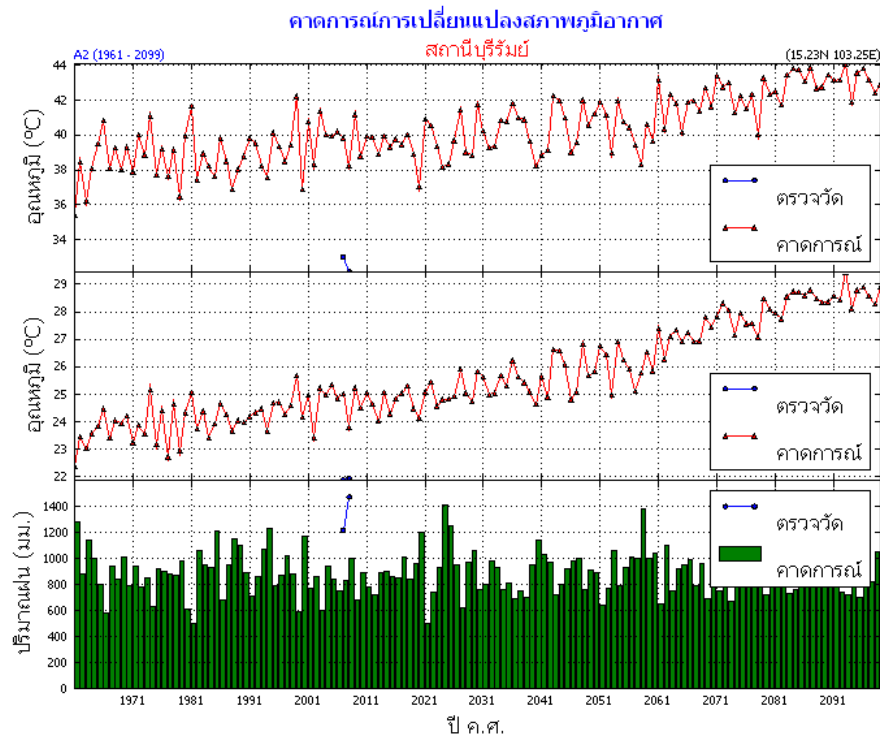
รูปที่ 112 คาดการณ์การเปลี่ยนแปลงภูมิอากาศ สถานีโชคชัย

สถานีโชคชัย จังหวัดนครราชสีมา ข้อมูลตรวจวัดเริ่มตั้งแต่ ค.ศ. 1971-2008

อุณหภูมิสูงสุดเฉลี่ย (บน) จากการวิเคราะห์เปรียบเทียบข้อมูลอุณหภูมิสูงสุดเฉลี่ยที่ได้จากรูปแบบจำลองมีค่าสูงกว่าอุณหภูมิที่ได้จากการตรวจวัดจริง โดยมีค่าคลาดเคลื่อนประมาณ 2-3 องศาเซลเซียส สำหรับแนวโน้มอุณหภูมิสูงสุดเฉลี่ยในทศวรรษที่ 2100 (ค.ศ.2091-2100) สูงกว่าทศวรรษที่ 2000 (ค.ศ.1991-2000) ประมาณ 4-5 องศาเซลเซียส

อุณหภูมิต่ำสุดเฉลี่ย (กลาง) จากการวิเคราะห์เปรียบเทียบข้อมูลอุณหภูมิต่ำสุดเฉลี่ยที่ได้จากรูปแบบจำลองมีค่าใกล้เคียงกับอุณหภูมิที่ได้จากการตรวจวัดจริงและมีแนวโน้มไปในทิศทางเดียวกัน สำหรับในทศวรรษที่ 2100 (ค.ศ.2091-2100) พบว่า อุณหภูมิต่ำสุดเฉลี่ยสูงกว่าทศวรรษที่ 2000 (ค.ศ.1991-2000) ประมาณ 4-5 องศาเซลเซียส

ปริมาณฝน (ล่าง) จากการวิเคราะห์เปรียบเทียบข้อมูลปริมาณฝนที่ได้จากรูปแบบจำลองมีค่าใกล้เคียงกับปริมาณฝนที่ได้จากการตรวจวัดจริง สำหรับแนวโน้มปริมาณฝนในทศวรรษที่ 2100 (ค.ศ.2091-2100) ยังไม่ชัดเจน



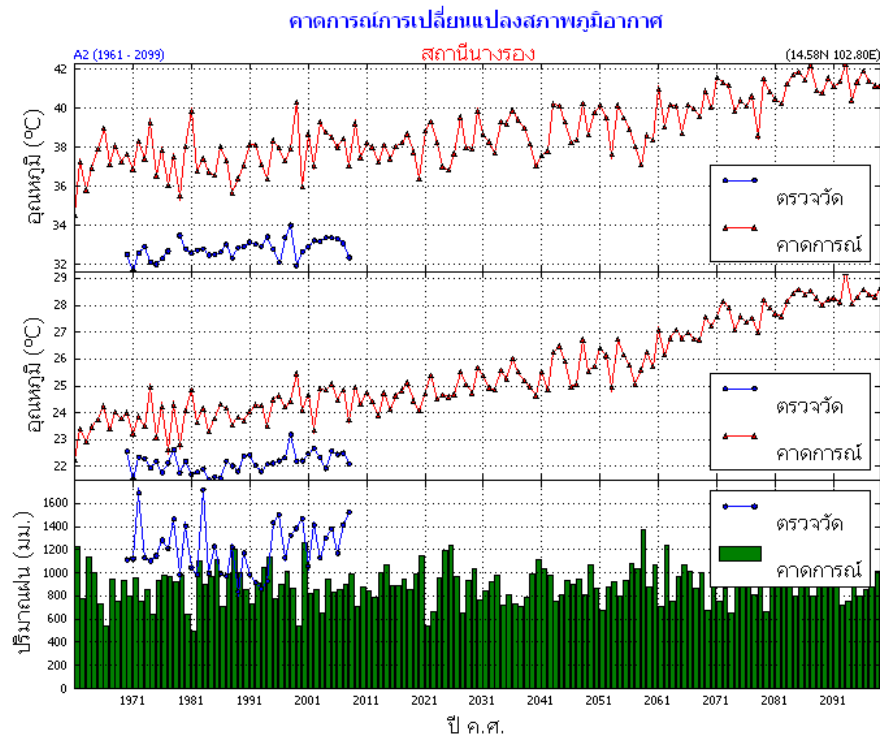
รูปที่ 113 คาดการณ์การเปลี่ยนแปลงภูมิอากาศ สถานีบุรีรัมย์

สถานีบุรีรัมย์

อุณหภูมิสูงสุดเฉลี่ย (บน) พิจารณาเพียงข้อมูลที่ได้จากรูปแบบจำลองเนื่องจากข้อมูลที่ได้จากการตรวจวัดไม่สมบูรณ์อุณหภูมิสูงสุดเฉลี่ยมีแนวโน้มสูงขึ้น โดย ในทศวรรษที่ 2100 (ค.ศ.2091-2100) อุณหภูมิสูงกว่าทศวรรษที่ 2000 (ค.ศ.1991-2000) ประมาณ 4-5 องศาเซลเซียส

อุณหภูมิต่ำสุดเฉลี่ย (กลาง) อุณหภูมิต่ำสุดเฉลี่ยมีแนวโน้มสูงขึ้นชัดเจน โดย ในทศวรรษที่ 2100 (ค.ศ. 2091-2100) พบว่า อุณหภูมิต่ำสุดเฉลี่ยสูงกว่าทศวรรษที่ 2000 (ค.ศ.1991-2000) ประมาณ 4-5 องศาเซลเซียส

ปริมาณฝน (ล่าง) ปริมาณฝน แนวโน้มปริมาณฝนในทศวรรษที่ 2100 (ค.ศ.2091-2100) ยังไม่ชัดเจน



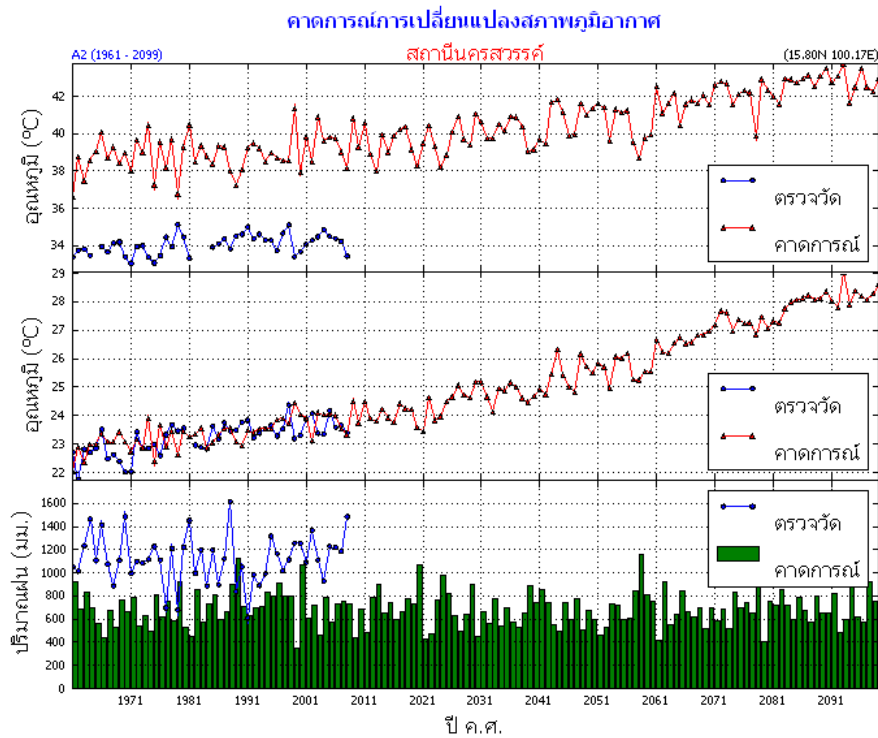
รูปที่ 114 การคาดการณ์การเปลี่ยนแปลงภูมิอากาศ สถานีนางรอง

สถานีนางรอง จังหวัดบุรีรัมย์ ข้อมูลตรวจวัดเริ่มตั้งแต่ 1970-2008

อุณหภูมิสูงสุดเฉลี่ย (บน) จากการวิเคราะห์เปรียบเทียบข้อมูลอุณหภูมิสูงสุดเฉลี่ยที่ได้จากรูปแบบจำลองมีค่าสูงกว่าอุณหภูมิที่ได้จากการตรวจวัดจริง โดยมีค่า คลาดเคลื่อนประมาณ 4-5 องศาเซลเซียส สำหรับแนวโน้มอุณหภูมิสูงสุดเฉลี่ยในทศวรรษที่ 2100 (ค.ศ.2091-2100) สูงกว่าทศวรรษที่ 2000 (ค.ศ.1991-2000) ประมาณ 4-5 องศาเซลเซียส

อุณหภูมิต่ำสุดเฉลี่ย (กลาง) จากการวิเคราะห์เปรียบเทียบข้อมูลอุณหภูมิต่ำสุดเฉลี่ยที่ได้จากรูปแบบจำลองมีค่าสูงกว่าอุณหภูมิที่ได้จากการตรวจวัดจริงประมาณ 1-2 องศาเซลเซียส แต่มีแนวโน้มไปในทิศทางเดียวกัน สำหรับในทศวรรษที่ 2100 (ค.ศ.2091-2100) พบว่า อุณหภูมิต่ำสุดเฉลี่ยสูงกว่าทศวรรษที่ 2000 (ค.ศ.1991-2000) ประมาณ 4-5 องศาเซลเซียส

ปริมาณฝน (ล่าง) จากการวิเคราะห์เปรียบเทียบข้อมูลปริมาณฝนที่ได้จากรูปแบบจำลองมีค่าต่ำกว่าปริมาณฝนที่ได้จากการตรวจวัดจริงประมาณ 400-600 มม. สำหรับแนวโน้มปริมาณฝนในทศวรรษที่ 2100 (ค.ศ.2091-2100) ยังไม่ชัดเจน



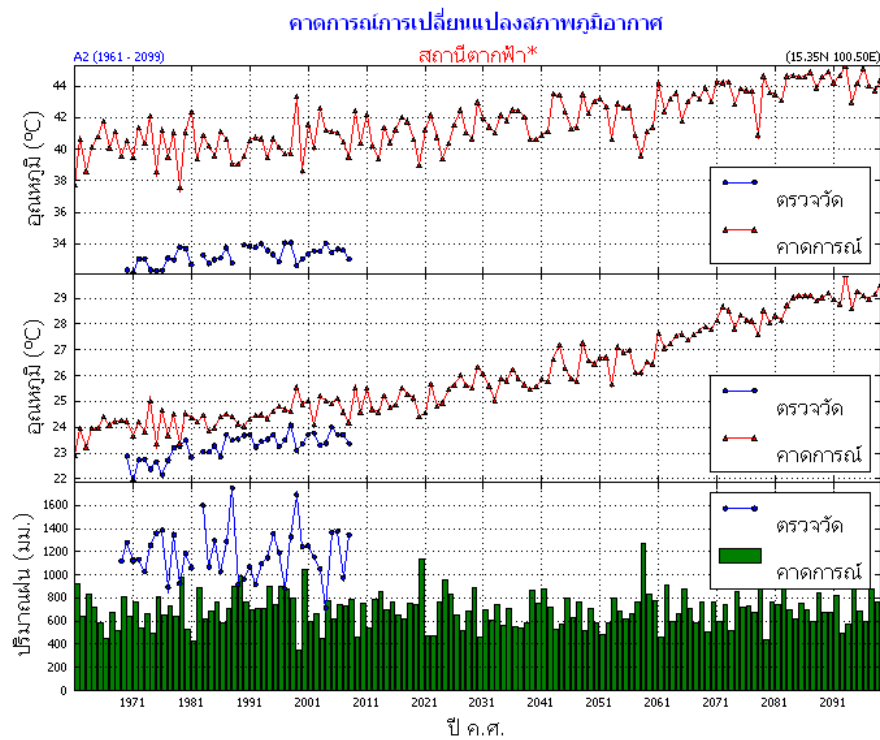
รูปที่ 115 คาดการณ์การเปลี่ยนแปลงภูมิอากาศ สถานีนครสวรรค์

สถานีนครสวรรค์

อุณหภูมิสูงสุดเฉลี่ย (บน) จากการวิเคราะห์เปรียบเทียบข้อมูลอุณหภูมิสูงสุดเฉลี่ยที่ได้จากรูปแบบจำลอง มีค่าสูงกว่าอุณหภูมิที่ได้จากการตรวจวัดจริง โดยมีความคลาดเคลื่อนประมาณ 4-5 องศาเซลเซียส แต่มีแนวโน้มไปในทิศทางเดียวกัน สำหรับแนวโน้มอุณหภูมิสูงสุดเฉลี่ยในทศวรรษที่ 2100 (ค.ศ.2091-2100) สูงกว่าทศวรรษที่ 2000 (ค.ศ.1991-2000) ประมาณ 4-5 องศาเซลเซียส

อุณหภูมิต่ำสุดเฉลี่ย (กลาง) จากการวิเคราะห์เปรียบเทียบข้อมูลอุณหภูมิต่ำสุดเฉลี่ยที่ได้จากรูปแบบจำลองมีค่าใกล้เคียงกับอุณหภูมิที่ได้จากการตรวจวัดจริง และมีแนวโน้มไปในทิศทางเดียวกัน สำหรับในทศวรรษที่ 2100 (ค.ศ.2091-2100) พบว่าอุณหภูมิต่ำสุดเฉลี่ยสูงกว่าทศวรรษที่ 2000 (ค.ศ.1991-2000) ประมาณ 4-5 องศาเซลเซียส

ปริมาณฝน (ล่าง) จากการวิเคราะห์เปรียบเทียบข้อมูลปริมาณฝนที่ได้จากรูปแบบจำลองต่ำกว่าปริมาณฝนที่ได้จากการตรวจวัดจริง โดยมีความคลาดเคลื่อนประมาณ 400-800 มม. แนวโน้มปริมาณฝนในทศวรรษที่ 2100 (ค.ศ.2091-2100) ยังไม่ชัดเจน



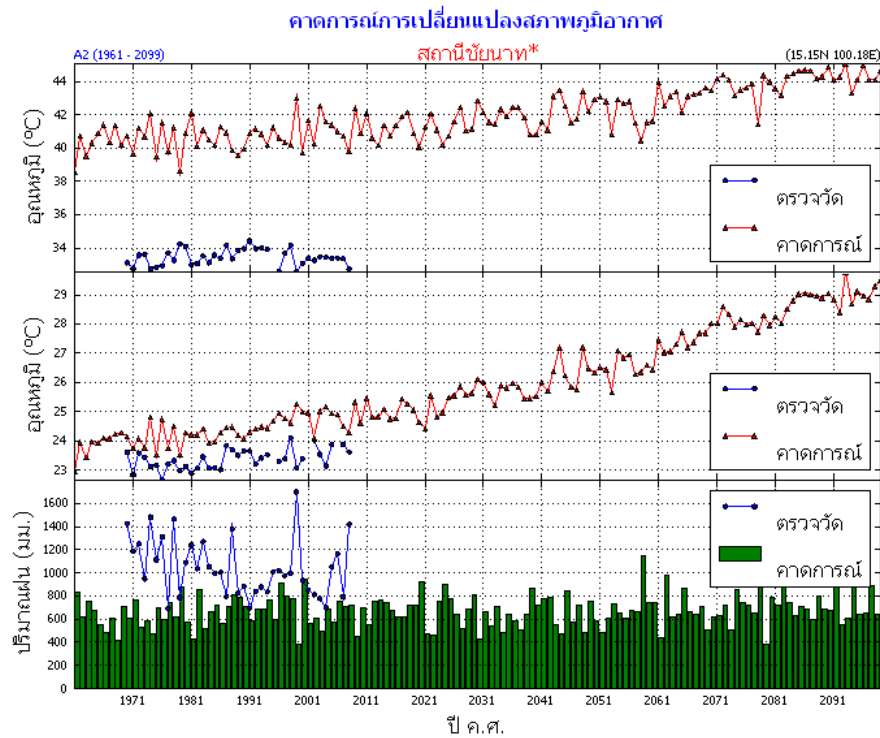
รูปที่ 116 คาดการณ์การเปลี่ยนแปลงภูมิอากาศ สถานีตากฟ้า

สถานีตากฟ้า จังหวัดนครสวรรค์ ข้อมูลตรวจวัดเริ่มตั้งแต่ ค.ศ. 1969-2008

อุณหภูมิสูงสุดเฉลี่ย (บน) จากการวิเคราะห์เปรียบเทียบข้อมูลอุณหภูมิสูงสุดเฉลี่ยที่ได้จากรูปแบบจำลองมีค่าสูงกว่าอุณหภูมิที่ได้จากการตรวจวัดจริง โดยมีความคลาดเคลื่อนประมาณ 5-6 องศาเซลเซียส แต่มีแนวโน้มไปในทิศทางเดียวกัน สำหรับแนวโน้มอุณหภูมิสูงสุดเฉลี่ยในทศวรรษที่ 2100 (ค.ศ.2091-2100) สูงกว่าทศวรรษที่ 2000 (ค.ศ.1991-2000) ประมาณ 4-5 องศาเซลเซียส

อุณหภูมิต่ำสุดเฉลี่ย (กลาง) จากการวิเคราะห์เปรียบเทียบข้อมูลอุณหภูมิต่ำสุดเฉลี่ยที่ได้จากรูปแบบจำลองสูงกว่าอุณหภูมิที่ได้จากการตรวจวัดจริงเล็กน้อย ประมาณ 1-2 องศาเซลเซียส แต่มีแนวโน้มไปในทิศทางเดียวกัน สำหรับในทศวรรษที่ 2100 (ค.ศ.2091-2100) พบว่า อุณหภูมิต่ำสุดเฉลี่ยสูงกว่าทศวรรษที่ 2000 (ค.ศ.1991-2000) ประมาณ 4-5 องศาเซลเซียส

ปริมาณฝน (ล่าง) จากการวิเคราะห์เปรียบเทียบข้อมูลปริมาณฝนที่ได้จากรูปแบบจำลองต่ำกว่าปริมาณฝนที่ได้จากการตรวจวัดจริง โดยมีความคลาดเคลื่อนประมาณ 400-800 มม. แนวโน้มปริมาณฝนในทศวรรษที่ 2100 (ค.ศ.2091-2100) ยังไม่ชัดเจน



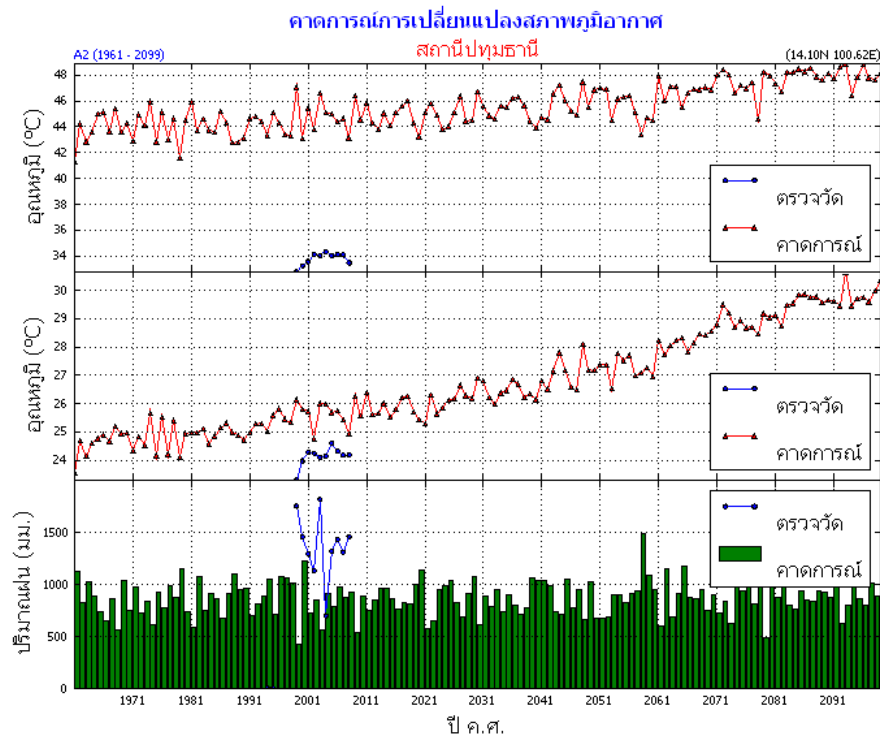
รูปที่ 117 คาดการณ์การเปลี่ยนแปลงภูมิอากาศ สถานีชัยนาท

สถานีชัยนาท ข้อมูลตรวจวัดเริ่มตั้งแต่ ค.ศ. 1970-2008

อุณหภูมิสูงสุดเฉลี่ย (บน) จากการวิเคราะห์เปรียบเทียบข้อมูลอุณหภูมิสูงสุดเฉลี่ยที่ได้จากรูปแบบจำลองมีค่าสูงกว่าอุณหภูมิที่ได้จากการตรวจวัดจริงมาก โดยมีค่าคลาดเคลื่อน ประมาณ 7-8 องศาเซลเซียส สำหรับแนวโน้มอุณหภูมิสูงสุดเฉลี่ยในทศวรรษที่ 2100 (ค.ศ.2091-2100) สูงกว่าทศวรรษที่ 2000 (ค.ศ.1991-2000) ประมาณ 3-4 องศาเซลเซียส

อุณหภูมิต่ำสุดเฉลี่ย (กลาง) จากการวิเคราะห์เปรียบเทียบข้อมูลอุณหภูมิต่ำสุดเฉลี่ยที่ได้จากรูปแบบจำลองสูงกว่าอุณหภูมิที่ได้จากการตรวจวัดจริง โดยมีความคลาดเคลื่อนประมาณ 1-2 องศาเซลเซียส สำหรับในทศวรรษที่ 2100 (ค.ศ.2091-2100) พบว่า อุณหภูมิต่ำสุดเฉลี่ยสูงกว่าทศวรรษที่ 2000 (ค.ศ.1991-2000) ประมาณ 4-5 องศาเซลเซียส

ปริมาณฝน (ล่าง) จากการวิเคราะห์เปรียบเทียบข้อมูลปริมาณฝนที่ได้จากรูปแบบจำลองมีค่าต่ำกว่าปริมาณฝนที่ได้จากการตรวจวัดจริง โดยมีความคลาดเคลื่อนประมาณ 600-800 มม.สำหรับแนวโน้มปริมาณฝนในทศวรรษที่ 2100 (ค.ศ.2091-2100) ยังไม่ชัดเจน



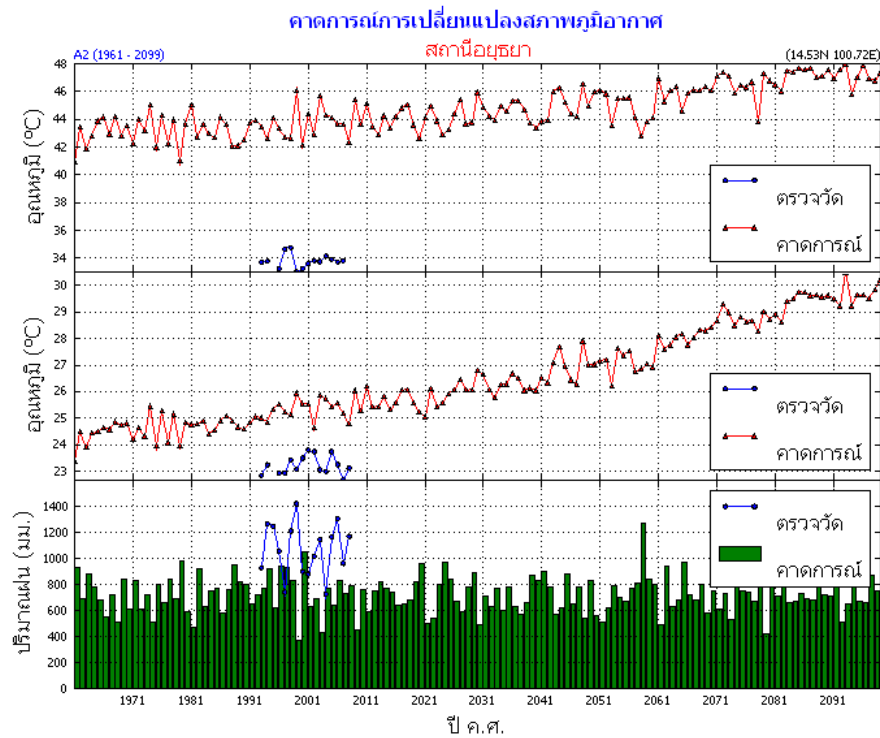
รูปที่ 118 คาดการณ์การเปลี่ยนแปลงภูมิอากาศ สถานีปทุมธานี

สถานีปทุมธานี ข้อมูลตรวจวัดเริ่มตั้งแต่ ค.ศ. 1999-2008

อุณหภูมิสูงสุดเฉลี่ย (บน) จากการวิเคราะห์เปรียบเทียบข้อมูลอุณหภูมิสูงสุดเฉลี่ยที่ได้จากรูปแบบจำลองมีค่าสูงกว่าอุณหภูมิที่ได้จากการตรวจวัดจริงมาก โดยมีความคลาดเคลื่อนประมาณ 10 องศาเซลเซียส สำหรับแนวโน้มอุณหภูมิสูงสุดเฉลี่ยในทศวรรษที่ 2100 (ค.ศ.2091-2100) สูงกว่าทศวรรษที่ 2000 (ค.ศ.1991-2000) ประมาณ 4-5 องศาเซลเซียส

อุณหภูมิต่ำสุดเฉลี่ย (กลาง) จากการวิเคราะห์เปรียบเทียบข้อมูลอุณหภูมิต่ำสุดเฉลี่ยที่ได้จากรูปแบบจำลองสูงกว่าอุณหภูมิที่ได้จากการตรวจวัดจริง โดยมีความคลาดเคลื่อนประมาณ 1-2 องศาเซลเซียส สำหรับในทศวรรษที่ 2100 (ค.ศ.2091-2100) พบว่า อุณหภูมิต่ำสุดเฉลี่ยสูงกว่าทศวรรษที่ 2000 (ค.ศ.1991-2000) ประมาณ 4-5 องศาเซลเซียส

ปริมาณฝน (ล่าง) จากการวิเคราะห์เปรียบเทียบข้อมูลปริมาณฝนที่ได้จากรูปแบบจำลองมีค่าต่ำกว่าปริมาณฝนที่ได้จากการตรวจวัดจริง โดยมีความคลาดเคลื่อนประมาณ 500-800 มม.สำหรับแนวโน้มปริมาณฝนในทศวรรษที่ 2100 (ค.ศ.2091-2100) ยังไม่ชัดเจน



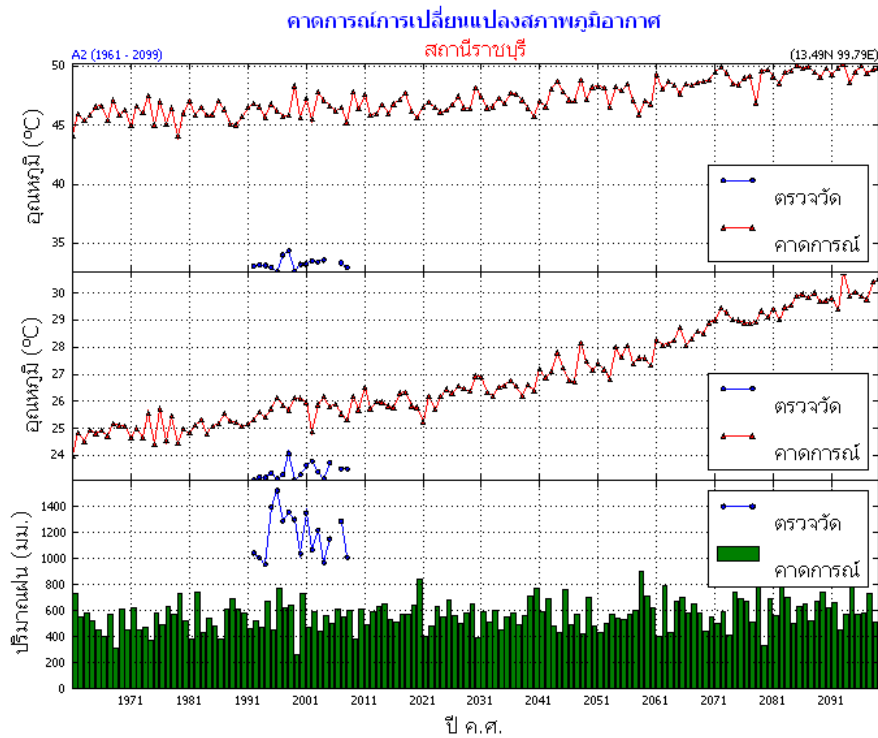
รูปที่ 119 คาดการณ์การเปลี่ยนแปลงภูมิอากาศ สถานีอยุธยา

สถานีอยุธยา ข้อมูลตรวจวัดเริ่มตั้งแต่ ค.ศ.1993-2008

อุณหภูมิสูงสุดเฉลี่ย (บน) จากการวิเคราะห์เปรียบเทียบข้อมูลอุณหภูมิสูงสุดเฉลี่ยที่ได้จากรูปแบบจำลองมีค่าสูงกว่าอุณหภูมิที่ได้จากการตรวจวัดจริง โดยมีความคลาดเคลื่อนประมาณ 10 องศาเซลเซียส สำหรับแนวโน้มอุณหภูมิสูงสุดเฉลี่ยในทศวรรษที่ 2100 (ค.ศ.2091-2100) สูงกว่าทศวรรษที่ 2000 (ค.ศ.1991-2000) ประมาณ 4-5 องศาเซลเซียส

อุณหภูมิต่ำสุดเฉลี่ย (กลาง) จากการวิเคราะห์เปรียบเทียบข้อมูลอุณหภูมิต่ำสุดเฉลี่ยที่ได้จากรูปแบบจำลองสูงกว่าอุณหภูมิที่ได้จากการตรวจวัดจริง โดยมีความคลาดเคลื่อนประมาณ 1-2 องศาเซลเซียส สำหรับในทศวรรษที่ 2100 (ค.ศ.2091-2100) พบว่า อุณหภูมิต่ำสุดเฉลี่ยสูงกว่าทศวรรษที่ 2000 (ค.ศ.1991-2000) ประมาณ 5-6 องศาเซลเซียส

ปริมาณฝน (ล่าง) จากการวิเคราะห์เปรียบเทียบข้อมูลปริมาณฝนที่ได้จากรูปแบบจำลองมีค่าต่ำกว่าปริมาณฝนที่ได้จากการตรวจวัดจริง โดยมีความคลาดเคลื่อนประมาณ 600-800 มม.สำหรับแนวโน้มปริมาณฝนในทศวรรษที่ 2100 (ค.ศ.2091-2100) มีแนวโน้มสูงขึ้นเล็กน้อย



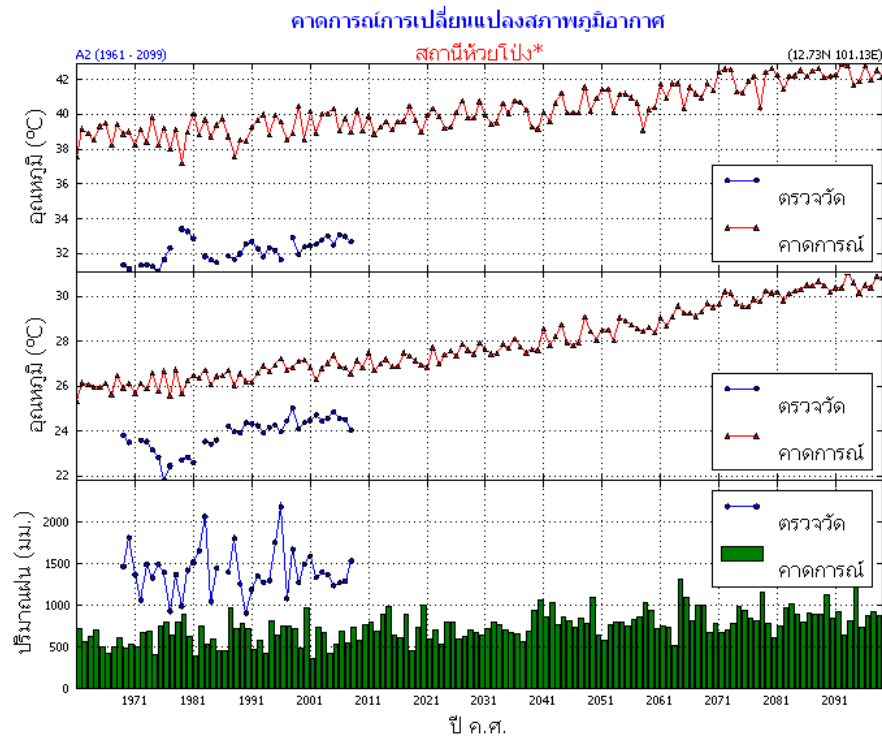
รูปที่ 120 คาดการณ์การเปลี่ยนแปลงภูมิอากาศ สถานีราชบุรี

สถานีราชบุรี ข้อมูลตรวจวัดเริ่มตั้งแต่ ค.ศ.1992-2008

อุณหภูมิสูงสุดเฉลี่ย (บน) จากการวิเคราะห์เปรียบเทียบข้อมูลอุณหภูมิสูงสุดเฉลี่ยที่ได้จากรูปแบบจำลองมีค่าสูงกว่าอุณหภูมิที่ได้จากการตรวจวัดจริง โดยมีความคลาดเคลื่อน มากกว่า 10 องศาเซลเซียส สำหรับแนวโน้มอุณหภูมิสูงสุดเฉลี่ยในทศวรรษที่ 2100 (ค.ศ.2091-2100) สูงกว่าทศวรรษที่ 2000 (ค.ศ.1991-2000) ประมาณ 3-4 องศาเซลเซียส

อุณหภูมิต่ำสุดเฉลี่ย (กลาง) จากการวิเคราะห์เปรียบเทียบข้อมูลอุณหภูมิต่ำสุดเฉลี่ยที่ได้จากรูปแบบจำลองสูงกว่าอุณหภูมิที่ได้จากการตรวจวัดจริง โดยมีความคลาดเคลื่อนประมาณ 2 องศาเซลเซียส สำหรับในทศวรรษที่ 2100 (ค.ศ.2091-2100) พบว่า อุณหภูมิต่ำสุดเฉลี่ยสูงกว่าทศวรรษที่ 2000 (ค.ศ.1991-2000) ประมาณ 4-5 องศาเซลเซียส

ปริมาณฝน (ล่าง) จากการวิเคราะห์เปรียบเทียบข้อมูลปริมาณฝนที่ได้จากรูปแบบจำลองมีค่าต่ำกว่าปริมาณฝนที่ได้จากการตรวจวัดจริง โดยมีความคลาดเคลื่อนประมาณ 600-800 มม.สำหรับแนวโน้มปริมาณฝนในทศวรรษที่ 2100 (ค.ศ.2091-2100) ยังไม่ชัดเจน



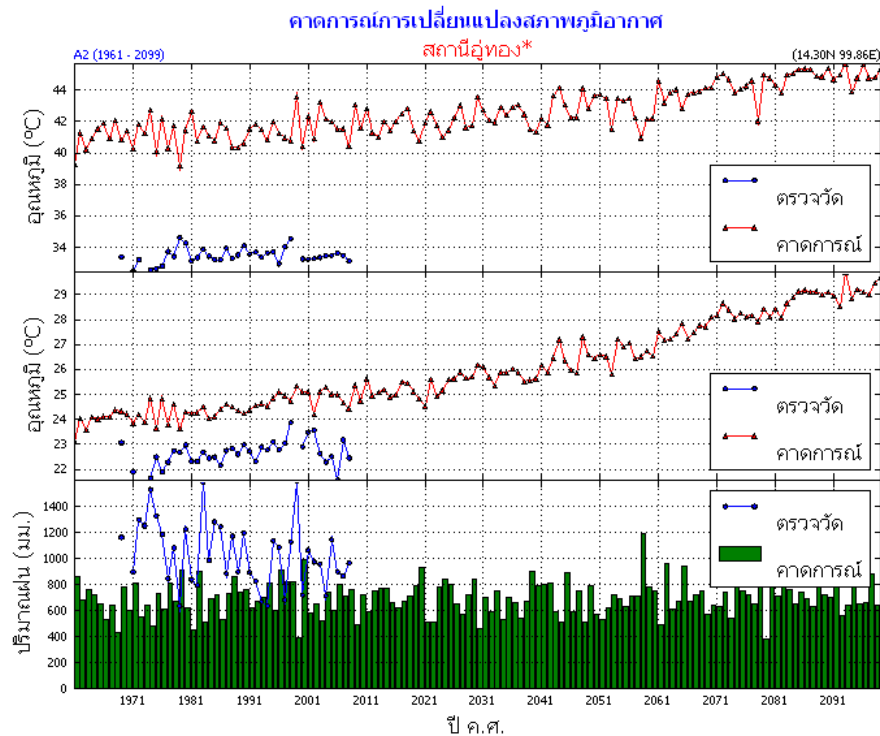
รูปที่ 121 การคาดการณ์การเปลี่ยนแปลงภูมิอากาศ สถานีห้วยโป่ง

สถานีห้วยโป่ง จังหวัดราชบุรี ข้อมูลตรวจวัดเริ่มตั้งแต่ ค.ศ.1969-2008

อุณหภูมิสูงสุดเฉลี่ย (บน) จากการวิเคราะห์เปรียบเทียบข้อมูลอุณหภูมิสูงสุดเฉลี่ยที่ได้จากรูปแบบจำลองมีค่าสูงกว่าอุณหภูมิที่ได้จากการตรวจวัดจริง โดยมีความคลาดเคลื่อน 6-7 องศาเซลเซียส สำหรับแนวโน้มอุณหภูมิสูงสุดเฉลี่ยในทศวรรษที่ 2100 (ค.ศ.2091-2100) สูงกว่าทศวรรษที่ 2000 (ค.ศ.1991-2000) ประมาณ 3-4 องศาเซลเซียส

อุณหภูมิต่ำสุดเฉลี่ย (กลาง) จากการวิเคราะห์เปรียบเทียบข้อมูลอุณหภูมิต่ำสุดเฉลี่ยที่ได้จากรูปแบบจำลองสูงกว่าอุณหภูมิที่ได้จากการตรวจวัดจริง โดยมีความคลาดเคลื่อนประมาณ 2-3 องศาเซลเซียส สำหรับในทศวรรษที่ 2100 (ค.ศ.2091-2100) พบว่า อุณหภูมิต่ำสุดเฉลี่ยสูงกว่าทศวรรษที่ 2000 (ค.ศ.1991-2000) ประมาณ 4-5 องศาเซลเซียส

ปริมาณฝน (ล่าง) จากการวิเคราะห์เปรียบเทียบข้อมูลปริมาณฝนที่ได้จากรูปแบบจำลองมีค่าต่ำกว่าปริมาณฝนที่ได้จากการตรวจวัดจริง โดยมีความคลาดเคลื่อนประมาณ 600-1000 มม.สำหรับแนวโน้มปริมาณฝนในทศวรรษที่ 2100 (ค.ศ.2091-2100) มีแนวโน้มสูงขึ้น



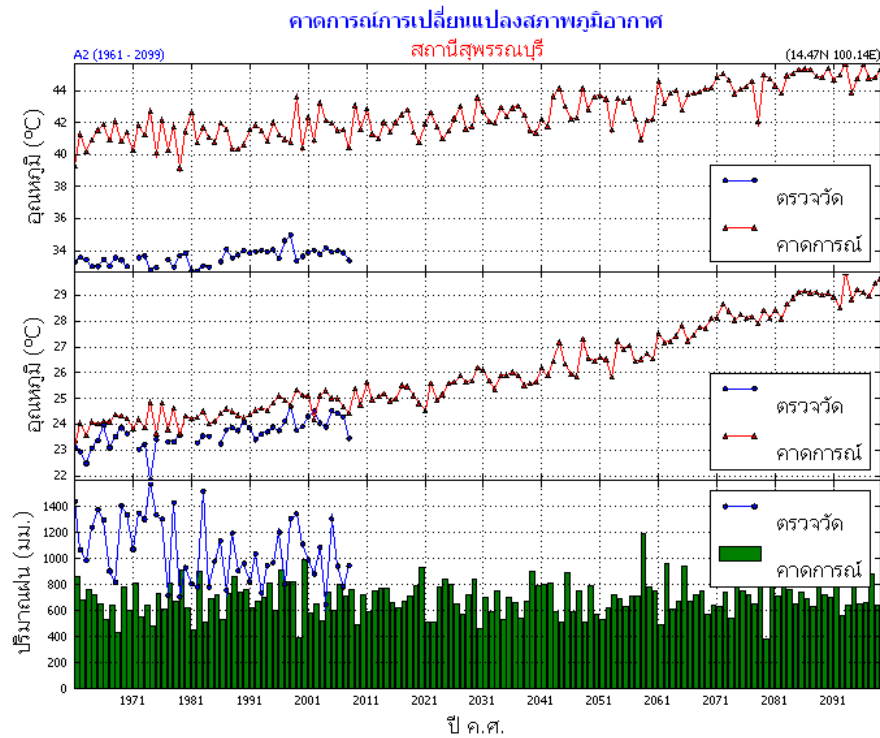
รูปที่ 122 คาดการณ์การเปลี่ยนแปลงภูมิอากาศ สถานีอุทอง

สถานีอุทอง จังหวัดสุพรรณบุรี ข้อมูลตรวจวัดเริ่มตั้งแต่ ค.ศ.1970-2008

อุณหภูมิสูงสุดเฉลี่ย (บน) จากการวิเคราะห์เปรียบเทียบข้อมูลอุณหภูมิสูงสุดเฉลี่ยที่ได้จากรูปแบบจำลองมีค่าสูงกว่าอุณหภูมิที่ได้จากการตรวจวัดจริง โดยมีความคลาดเคลื่อน 7-8 องศาเซลเซียส สำหรับแนวโน้มอุณหภูมิสูงสุดเฉลี่ยในทศวรรษที่ 2100 (ค.ศ.2091-2100) สูงกว่าทศวรรษที่ 2000 (ค.ศ.1991-2000) ประมาณ 4-5 องศาเซลเซียส

อุณหภูมิต่ำสุดเฉลี่ย (กลาง) จากการวิเคราะห์เปรียบเทียบข้อมูลอุณหภูมิต่ำสุดเฉลี่ยที่ได้จากรูปแบบจำลองสูงกว่าอุณหภูมิที่ได้จากการตรวจวัดจริง โดยมีความคลาดเคลื่อนประมาณ 2 องศาเซลเซียส สำหรับในทศวรรษที่ 2100 (ค.ศ.2091-2100) พบว่า อุณหภูมิต่ำสุดเฉลี่ยสูงกว่าทศวรรษที่ 2000 (ค.ศ.1991-2000) ประมาณ 4-5 องศาเซลเซียส

ปริมาณฝน (ล่าง) จากการวิเคราะห์เปรียบเทียบข้อมูลปริมาณฝนที่ได้จากรูปแบบจำลองมีค่าต่ำกว่าปริมาณฝนที่ได้จากการตรวจวัดจริง โดยมีความคลาดเคลื่อนประมาณ 600-800 มม. สำหรับแนวโน้มปริมาณฝนในทศวรรษที่ 2100 (ค.ศ.2091-2100) ยังไม่ชัดเจน



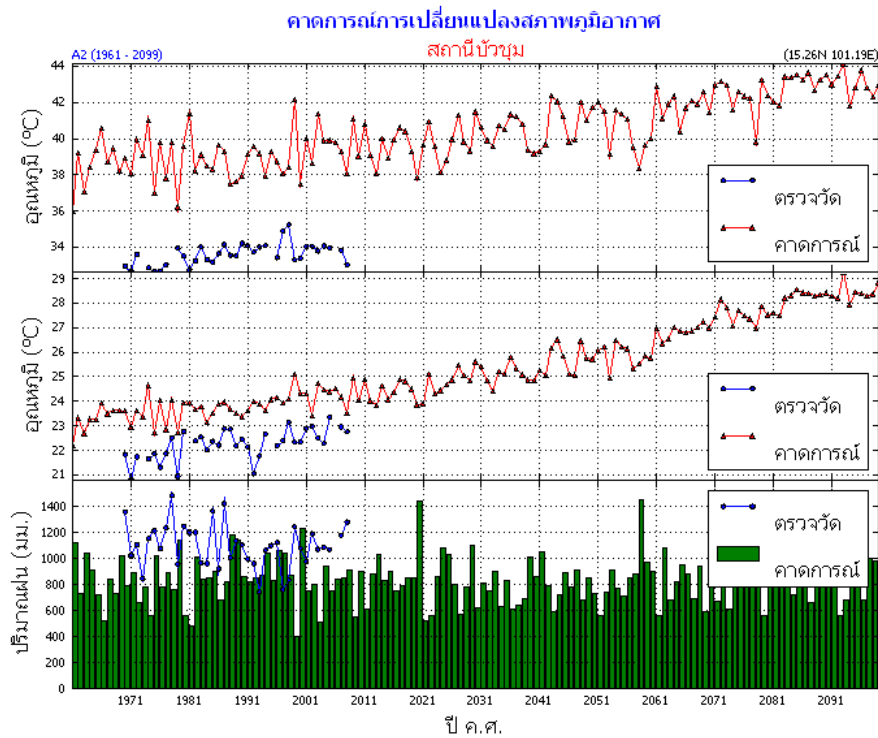
รูปที่ 123 การคาดการณ์การเปลี่ยนแปลงภูมิอากาศ สถานีสุพรรณบุรี

สถานีสุพรรณบุรี

อุณหภูมิสูงสุดเฉลี่ย (บน) จากการวิเคราะห์เปรียบเทียบข้อมูลอุณหภูมิสูงสุดเฉลี่ยที่ได้จากรูปแบบจำลองมีค่าสูงกว่าอุณหภูมิที่ได้จากการตรวจวัดจริง โดยมีค่าคลาดเคลื่อน 6-7 องศาเซลเซียส สำหรับแนวโน้มอุณหภูมิสูงสุดเฉลี่ยในทศวรรษที่ 2100 (ค.ศ.2091-2100) สูงกว่าทศวรรษที่ 2000 (ค.ศ.1991-2000) ประมาณ 4-5 องศาเซลเซียส

อุณหภูมิต่ำสุดเฉลี่ย (กลาง) จากการวิเคราะห์เปรียบเทียบข้อมูลอุณหภูมิต่ำสุดเฉลี่ยที่ได้จากรูปแบบจำลองสูงกว่าอุณหภูมิที่ได้จากการตรวจวัดจริง โดยมีความคลาดเคลื่อนประมาณ 1-2 องศาเซลเซียส สำหรับในทศวรรษที่ 2100 (ค.ศ.2091-2100) พบว่า อุณหภูมิต่ำสุดเฉลี่ยสูงกว่าทศวรรษที่ 2000 (ค.ศ.1991-2000) ประมาณ 4-5 องศาเซลเซียส

ปริมาณฝน (ล่าง) จากการวิเคราะห์เปรียบเทียบข้อมูลปริมาณฝนที่ได้จากรูปแบบจำลองมีค่าต่ำกว่าปริมาณฝนที่ได้จากการตรวจวัดจริง โดยมีความคลาดเคลื่อนประมาณ 600-800 มม.สำหรับแนวโน้มปริมาณฝนในทศวรรษที่ 2100 (ค.ศ.2091-2100) ยังไม่ชัดเจน



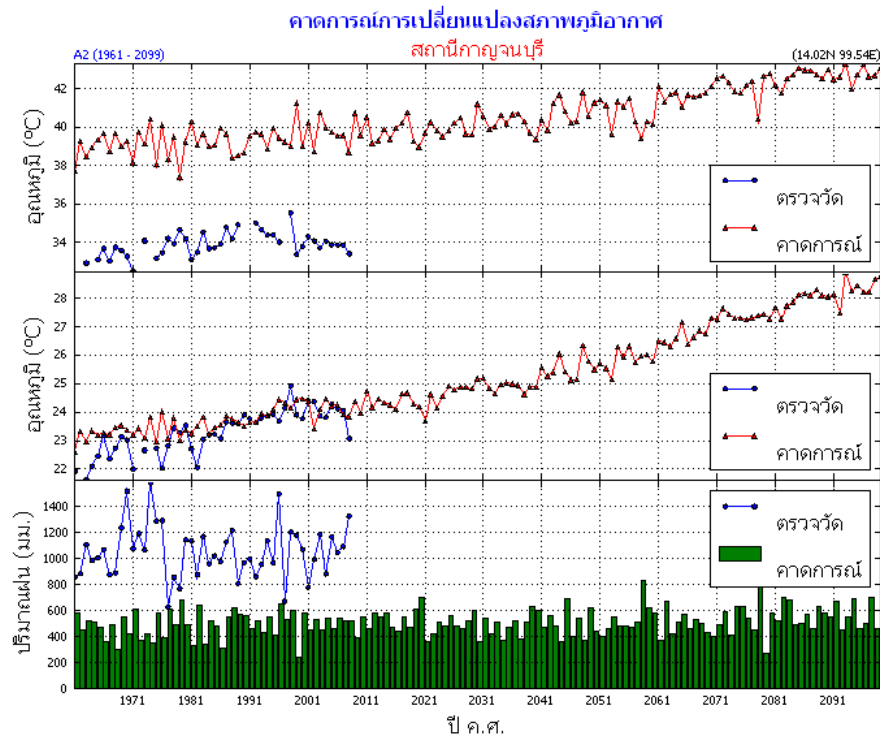
รูปที่ 124 คาดการณ์การเปลี่ยนแปลงภูมิอากาศ สถานีบัวชุม

สถานีบัวชุม จังหวัดลพบุรี ข้อมูลตรวจวัดเริ่มตั้งแต่ ค.ศ. 1970-2008

อุณหภูมิสูงสุดเฉลี่ย (บน) จากการวิเคราะห์เปรียบเทียบข้อมูลอุณหภูมิสูงสุดเฉลี่ยที่ได้จากรูปแบบจำลองมีค่าสูงกว่าอุณหภูมิที่ได้จากการตรวจวัดจริง โดยมีความคลาดเคลื่อนประมาณ 5-6 องศาเซลเซียส สำหรับแนวโน้มอุณหภูมิสูงสุดเฉลี่ยในทศวรรษที่ 2100 (ค.ศ.2091-2100) สูงกว่าทศวรรษที่ 2000 (ค.ศ.1991-2000) ประมาณ 5-6 องศาเซลเซียส

อุณหภูมิต่ำสุดเฉลี่ย (กลาง) จากการวิเคราะห์เปรียบเทียบข้อมูลอุณหภูมิต่ำสุดเฉลี่ยที่ได้จากรูปแบบจำลองมีค่าสูงกว่าอุณหภูมิที่ได้จากการตรวจวัดจริงประมาณ 1-2 องศาเซลเซียสและมีแนวโน้มไปในทิศทางเดียวกัน สำหรับในทศวรรษที่ 2100 (ค.ศ.2091-2100) พบว่า อุณหภูมิต่ำสุดเฉลี่ยสูงกว่าทศวรรษที่ 2000 (ค.ศ.1991-2000) ประมาณ 4-5 องศาเซลเซียส

ปริมาณฝน (ล่าง) จากการวิเคราะห์เปรียบเทียบข้อมูลปริมาณฝนที่ได้จากรูปแบบจำลองมีค่าต่ำกว่าปริมาณฝนที่ได้จากการตรวจวัดจริง โดยมีความคลาดเคลื่อนประมาณ 600-800 มม. สำหรับแนวโน้มปริมาณฝนในทศวรรษที่ 2100 (ค.ศ.2091-2100) ยังไม่ชัดเจน



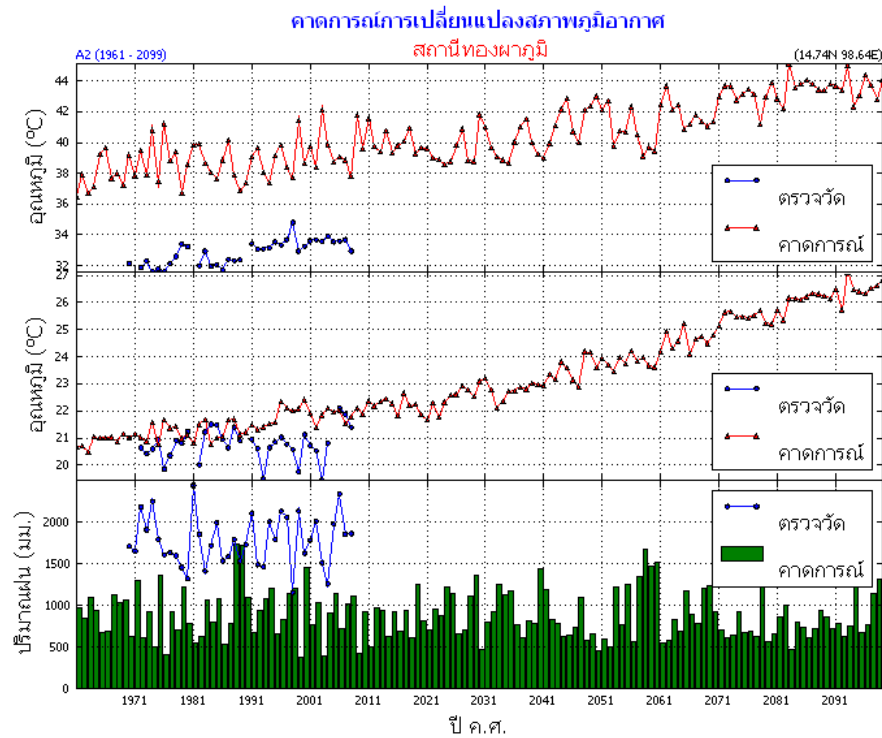
รูปที่ 125 การคาดการณ์การเปลี่ยนแปลงสภาพภูมิอากาศ สถานีกาญจนบุรี

สถานีกาญจนบุรี

อุณหภูมิสูงสุดเฉลี่ย (บน) จากการวิเคราะห์เปรียบเทียบข้อมูลอุณหภูมิสูงสุดเฉลี่ยที่ได้จากรูปแบบจำลองมีค่าสูงกว่าอุณหภูมิที่ได้จากการตรวจวัดจริง โดยมีค่าคลาดเคลื่อนประมาณ 3-4 องศาเซลเซียส สำหรับแนวโน้มอุณหภูมิสูงสุดเฉลี่ยในทศวรรษที่ 2100 (ค.ศ.2091-2100) สูงกว่าทศวรรษที่ 2000 (ค.ศ.1991-2000) ประมาณ 4-5 องศาเซลเซียส

อุณหภูมิต่ำสุดเฉลี่ย (กลาง) จากการวิเคราะห์เปรียบเทียบข้อมูลอุณหภูมิต่ำสุดเฉลี่ยที่ได้จากรูปแบบจำลองมีค่าใกล้เคียงกับอุณหภูมิที่ได้จากการตรวจวัดจริง และมีแนวโน้มไปในทิศทางเดียวกัน สำหรับในทศวรรษที่ 2100 (ค.ศ.2091-2100) พบว่าอุณหภูมิต่ำสุดเฉลี่ยสูงกว่าทศวรรษที่ 2000 (ค.ศ.1991-2000) ประมาณ 4-5 องศาเซลเซียส

ปริมาณฝน (ล่าง) จากการวิเคราะห์เปรียบเทียบข้อมูลปริมาณฝนที่ได้จากรูปแบบจำลองมีค่าต่ำกว่าปริมาณฝนที่ได้จากการตรวจวัดจริงประมาณ 600-800 มม. สำหรับแนวโน้มปริมาณฝนในทศวรรษที่ 2100 (ค.ศ.2091-2100) มีแนวโน้มสูงขึ้น



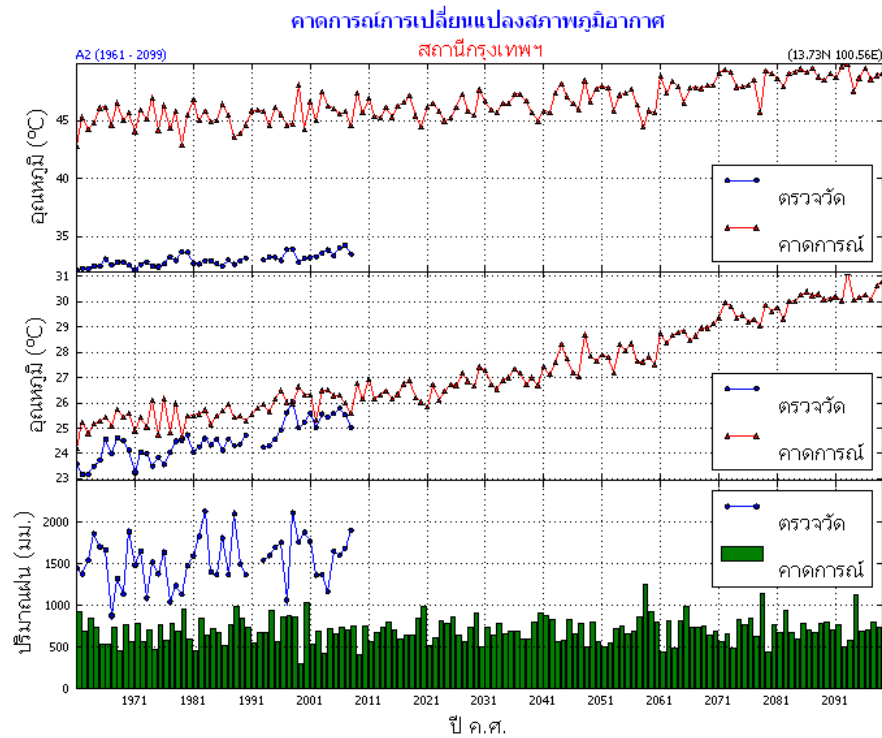
รูปที่ 126 การคาดการณ์การเปลี่ยนแปลงภูมิอากาศ สถานีทองผาภูมิ

สถานีทองผาภูมิ จังหวัดกาญจนบุรี ข้อมูลตรวจวัดเริ่มตั้งแต่ ค.ศ. 1970-2008

อุณหภูมิสูงสุดเฉลี่ย (บน) จากการวิเคราะห์เปรียบเทียบข้อมูลอุณหภูมิสูงสุดเฉลี่ยที่ได้จากรูปแบบจำลองมีค่าสูงกว่าอุณหภูมิที่ได้จากการตรวจวัดจริง โดยมีค่าคลาดเคลื่อนประมาณ 5-6 องศาเซลเซียส สำหรับแนวโน้มอุณหภูมิสูงสุดเฉลี่ยในทศวรรษที่ 2100 (ค.ศ.2091-2100) สูงกว่าทศวรรษที่ 2000 (ค.ศ.1991-2000) ประมาณ 4-5 องศาเซลเซียส

อุณหภูมิต่ำสุดเฉลี่ย (กลาง) จากการวิเคราะห์เปรียบเทียบข้อมูลอุณหภูมิต่ำสุดเฉลี่ยที่ได้จากรูปแบบจำลองมีค่าใกล้เคียงกับอุณหภูมิที่ได้จากการตรวจวัดจริง และมีแนวโน้มไปในทิศทางเดียวกัน สำหรับในทศวรรษที่ 2100 (ค.ศ.2091-2100) พบว่า อุณหภูมิต่ำสุดเฉลี่ยสูง กว่าทศวรรษที่ 2000 (ค.ศ.1991-2000) ประมาณ 5-6 องศาเซลเซียส

ปริมาณฝน (ล่าง) จากการวิเคราะห์เปรียบเทียบข้อมูลปริมาณฝนที่ได้จากรูปแบบจำลองมีค่าต่ำกว่าปริมาณฝนที่ได้จากการตรวจวัดจริงประมาณ 500-800 มม. สำหรับแนวโน้มปริมาณฝนในทศวรรษที่ 2100 (ค.ศ.2091-2100) ยังไม่ชัดเจน



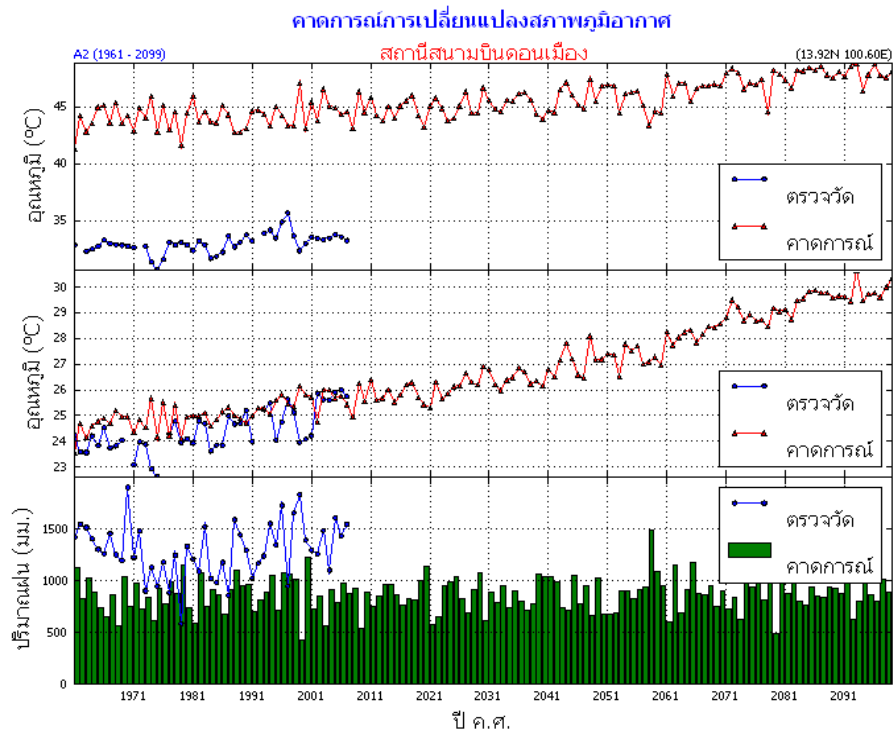
รูปที่ 127 คาดการณ์การเปลี่ยนแปลงภูมิอากาศ สถานีกรุงเทพฯ

สถานีกรุงเทพฯ

อุณหภูมิสูงสุดเฉลี่ย (บน) จากการวิเคราะห์เปรียบเทียบข้อมูลอุณหภูมิสูงสุดเฉลี่ยที่ได้จากรูปแบบจำลองมีค่าสูงกว่าอุณหภูมิที่ได้จากการตรวจวัดจริง โดยมีค่าคลาดเคลื่อน มากกว่า 10 องศาเซลเซียส สำหรับแนวโน้มอุณหภูมิสูงสุดเฉลี่ยในทศวรรษที่ 2100 (ค.ศ.2091-2100) สูงกว่าทศวรรษที่ 2000 (ค.ศ.1991-2000) ประมาณ 3-4 องศาเซลเซียส

อุณหภูมิต่ำสุดเฉลี่ย (กลาง) จากการวิเคราะห์เปรียบเทียบข้อมูลอุณหภูมิต่ำสุดเฉลี่ยที่ได้จากรูปแบบจำลองสูงกว่าอุณหภูมิที่ได้จากการตรวจวัดจริงเล็กน้อย และมีแนวโน้มไปในทิศทางเดียวกัน สำหรับในทศวรรษที่ 2100 (ค.ศ.2091-2100) พบว่าอุณหภูมิต่ำสุดเฉลี่ยสูงกว่าทศวรรษที่ 2000 (ค.ศ.1991-2000) ประมาณ 4-5 องศาเซลเซียส

ปริมาณฝน (ล่าง) จากการวิเคราะห์เปรียบเทียบข้อมูลปริมาณฝนที่ได้จากรูปแบบจำลองมีค่าต่ำกว่าปริมาณฝนที่ได้จากการตรวจวัดจริงประมาณ 800-1000 มม. สำหรับแนวโน้มปริมาณฝนในทศวรรษที่ 2100 (ค.ศ.2091-2100) ยังไม่ชัดเจน



รูปที่ 128 คาดการณ์การเปลี่ยนแปลงภูมิอากาศ สถานีดอนเมือง

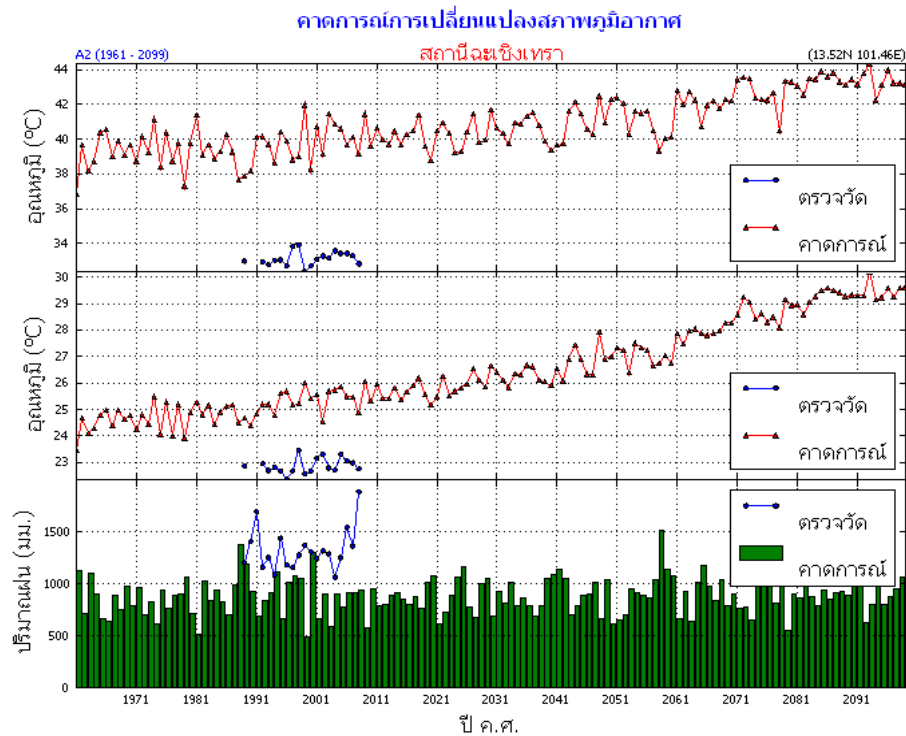
สถานีสนามบินดอนเมือง กรุงเทพฯ

อุณหภูมิสูงสุดเฉลี่ย (บน) จากการวิเคราะห์เปรียบเทียบข้อมูลอุณหภูมิสูงสุดเฉลี่ยที่ได้จากรูปแบบจำลองมีค่าสูงกว่าอุณหภูมิที่ได้จากการตรวจวัดจริง โดยมีค่าคลาดเคลื่อนมากกว่า 10 องศาเซลเซียส สำหรับแนวโน้มอุณหภูมิสูงสุดเฉลี่ยในทศวรรษที่ 2100 (ค.ศ.2091-2100) สูงกว่าทศวรรษที่ 2000 (ค.ศ.1991-2000) ประมาณ 4-5 องศาเซลเซียส

อุณหภูมิต่ำสุดเฉลี่ย (กลาง) จากการวิเคราะห์เปรียบเทียบข้อมูลอุณหภูมิต่ำสุดเฉลี่ยที่ได้จากรูปแบบจำลอง มีค่าใกล้เคียงกับอุณหภูมิที่ได้จากการตรวจวัดจริง และมีแนวโน้มไปในทิศทางเดียวกัน สำหรับในทศวรรษที่ 2100 (ค.ศ. 2091 - 2100) พบว่า อุณหภูมิต่ำสุดเฉลี่ยสูงกว่าทศวรรษที่ 2000 (ค.ศ.1991-2000) ประมาณ 4-5 องศาเซลเซียส

ปริมาณฝน (ล่าง) จากการวิเคราะห์เปรียบเทียบข้อมูลปริมาณฝนที่ได้จากรูปแบบจำลองมีค่าต่ำกว่าปริมาณฝนที่ได้จากการตรวจวัดจริงประมาณ 400-600 มม. สำหรับแนวโน้มปริมาณฝนในทศวรรษที่2100 (ค.ศ.2091-2100) ยังไม่ชัดเจน

ศูนย์ภูมิอากาศ กรมอุตุนิยมวิทยา



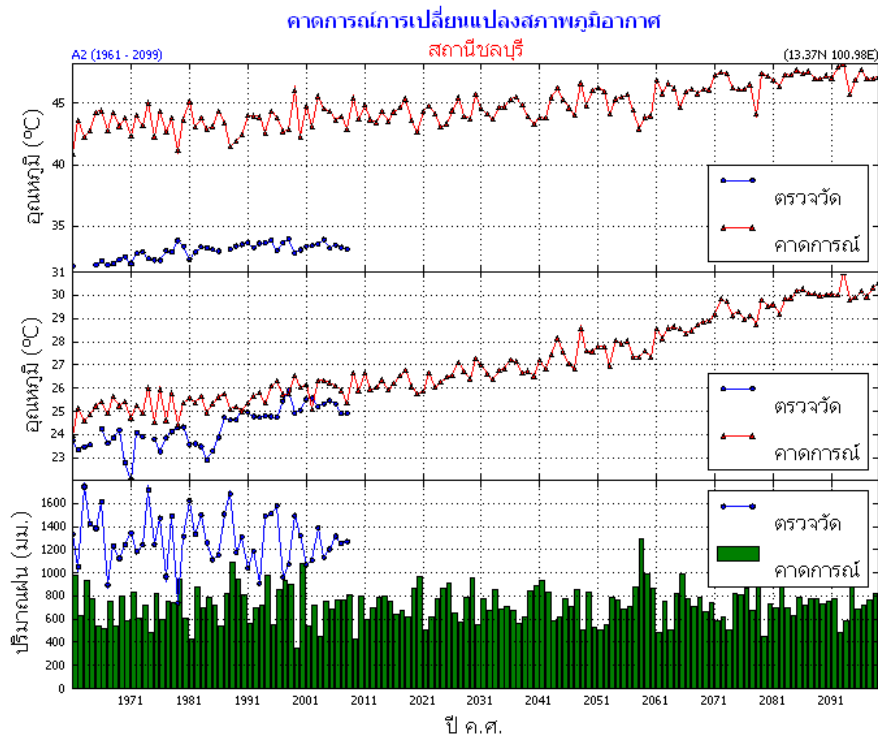
รูปที่ 129 การคาดการณ์การเปลี่ยนแปลงภูมิอากาศ สถานีฉะเชิงเทรา

จังหวัดฉะเชิงเทรา ข้อมูลตรวจวัดเริ่มตั้งแต่ ค.ศ. 1989-2008

อุณหภูมิสูงสุดเฉลี่ย (บน) จากการวิเคราะห์เปรียบเทียบข้อมูลอุณหภูมิสูงสุดเฉลี่ยที่ได้จากรูปแบบจำลองมีค่าสูงกว่าอุณหภูมิที่ได้จากการตรวจวัดจริง โดยมีความคลาดเคลื่อนประมาณ 10 องศาเซลเซียส สำหรับแนวโน้มอุณหภูมิสูงสุดในทศวรรษที่ 2100 (ค.ศ.2091-2100) สูงกว่าทศวรรษที่ 2000 (ค.ศ.1991-2000) ประมาณ 4-5 องศาเซลเซียส

อุณหภูมิต่ำสุดเฉลี่ย (กลาง) จากการวิเคราะห์เปรียบเทียบข้อมูลอุณหภูมิต่ำสุดเฉลี่ยที่ได้จากรูปแบบจำลองสูงกว่าอุณหภูมิที่ได้จากการตรวจวัดจริง โดยมีความคลาดเคลื่อนประมาณ 2 องศาเซลเซียส สำหรับในทศวรรษที่ 2100 (ค.ศ.2091-2100) พบว่า อุณหภูมิต่ำสุดเฉลี่ยสูงกว่าทศวรรษที่ 2000 (ค.ศ.1991-2000) ประมาณ 4-5 องศาเซลเซียส

ปริมาณฝน (ล่าง) จากการวิเคราะห์เปรียบเทียบข้อมูลปริมาณฝนที่ได้จากรูปแบบจำลองมีค่าต่ำกว่าปริมาณฝนที่ได้จากการตรวจวัดจริง โดยมีความคลาดเคลื่อนประมาณ 600-800 มม. สำหรับแนวโน้มปริมาณฝนในทศวรรษที่ 2100 (ค.ศ.2091-2100) ยังไม่ชัดเจน



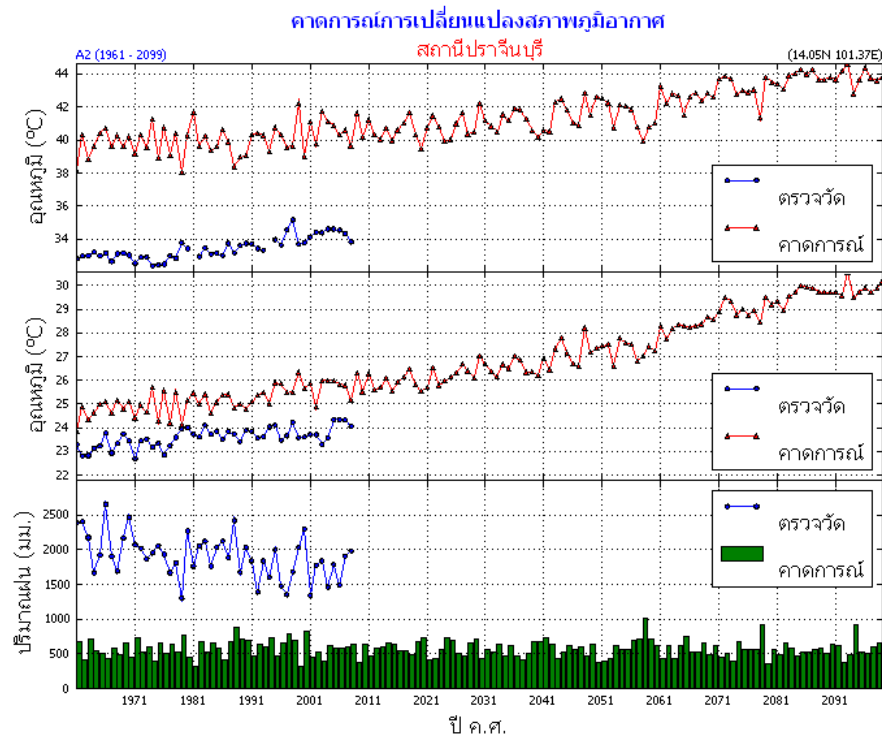
รูปที่ 130 คาดการณ์การเปลี่ยนแปลงภูมิอากาศ สถานีชลบุรี

จังหวัดชลบุรี

อุณหภูมิสูงสุดเฉลี่ย (บน) จากการวิเคราะห์เปรียบเทียบข้อมูลอุณหภูมิสูงสุดเฉลี่ยที่ได้จากรูปแบบจำลองมีค่าสูงกว่าอุณหภูมิที่ได้จากการตรวจวัดจริง โดยมีความคลาดเคลื่อนประมาณ 10 องศาเซลเซียส สำหรับแนวโน้มอุณหภูมิสูงสุดเฉลี่ยในทศวรรษที่ 2100 (ค.ศ.2091-2100) สูงกว่าทศวรรษที่ 2000 (ค.ศ.1991-2000) ประมาณ 3-4 องศาเซลเซียส

อุณหภูมิต่ำสุดเฉลี่ย (กลาง) จากการวิเคราะห์เปรียบเทียบข้อมูลอุณหภูมิต่ำสุดเฉลี่ยที่ได้จากรูปแบบจำลองสูงกว่าอุณหภูมิที่ได้จากการตรวจวัดจริงประมาณ 1-2 องศาเซลเซียส และมีแนวโน้มไปทิศทางเดียวกัน สำหรับในทศวรรษที่ 2100 (ค.ศ.2091-2100) พบว่า อุณหภูมิต่ำสุดเฉลี่ยสูงกว่าทศวรรษที่ 2000 (ค.ศ.1991-2000) ประมาณ 4-5 องศาเซลเซียส

ปริมาณฝน (ล่าง) จากการวิเคราะห์เปรียบเทียบข้อมูลปริมาณฝนที่ได้จากรูปแบบจำลองมีค่าต่ำกว่าปริมาณฝนที่ได้จากการตรวจวัดจริง โดยมีความคลาดเคลื่อนประมาณ 800-1000 มม. สำหรับแนวโน้มปริมาณฝนในทศวรรษที่ 2100 (ค.ศ.2091-2100) ยังไม่ชัดเจน



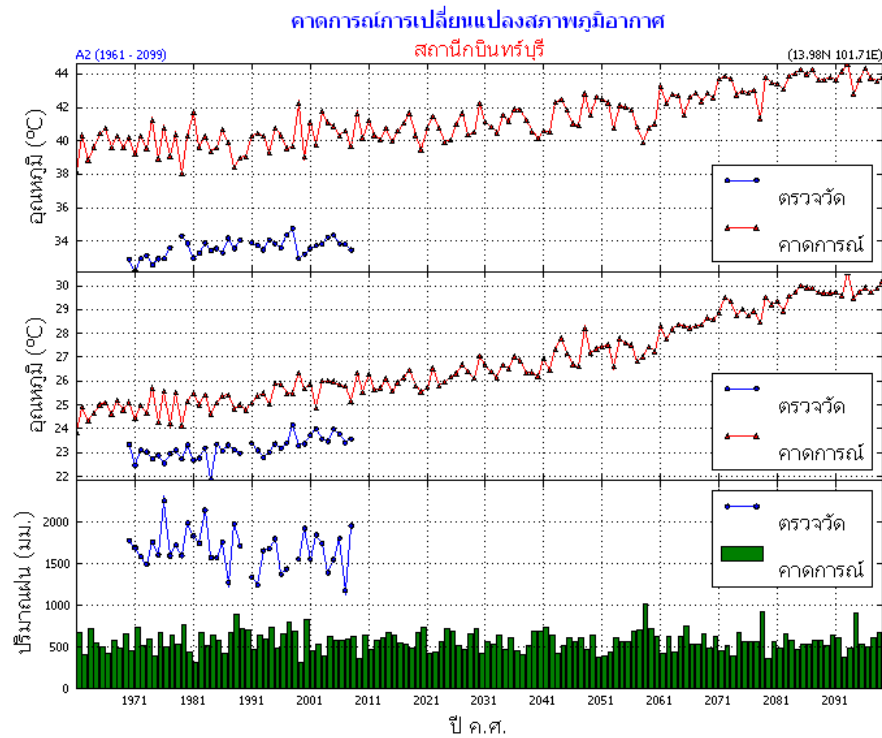
รูปที่ 131 คาดการณ์การเปลี่ยนแปลงภูมิอากาศ สถานีปราจีนบุรี

จังหวัดปราจีนบุรี

อุณหภูมิสูงสุดเฉลี่ย (บน) จากการวิเคราะห์เปรียบเทียบข้อมูลอุณหภูมิสูงสุดเฉลี่ยที่ได้จากรูปแบบจำลองมีค่าสูงกว่าอุณหภูมิที่ได้จากการตรวจวัดจริง โดยมีความคลาดเคลื่อนประมาณ 5-6 องศาเซลเซียส สำหรับแนวโน้มอุณหภูมิสูงสุดเฉลี่ยในทศวรรษที่ 2100 (ค.ศ.2091-2100) สูงกว่าทศวรรษที่ 2000 (ค.ศ.1991-2000) ประมาณ 4-5 องศาเซลเซียส

อุณหภูมิต่ำสุดเฉลี่ย (กลาง) จากการวิเคราะห์เปรียบเทียบข้อมูลอุณหภูมิต่ำสุดเฉลี่ยที่ได้จากรูปแบบจำลองมีค่าสูงกว่าอุณหภูมิที่ได้จากการตรวจวัดจริงประมาณ 1-2 องศาเซลเซียสและมีแนวโน้มไปในทิศทางเดียวกัน สำหรับในทศวรรษที่ 2100 (ค.ศ.2091-2100) พบว่า อุณหภูมิต่ำสุดเฉลี่ยสูงกว่าทศวรรษที่ 2000 (ค.ศ.1991-2000) ประมาณ 4-5 องศาเซลเซียส

ปริมาณฝน (ล่าง) จากการวิเคราะห์เปรียบเทียบข้อมูลปริมาณฝนที่ได้จากรูปแบบจำลองมีค่าต่ำกว่าปริมาณฝนที่ได้จากการตรวจวัดจริง โดยมีความคลาดเคลื่อนมาก สำหรับแนวโน้มปริมาณฝนในทศวรรษที่ 2100 (ค.ศ.2091-2100) ยังไม่ชัดเจน



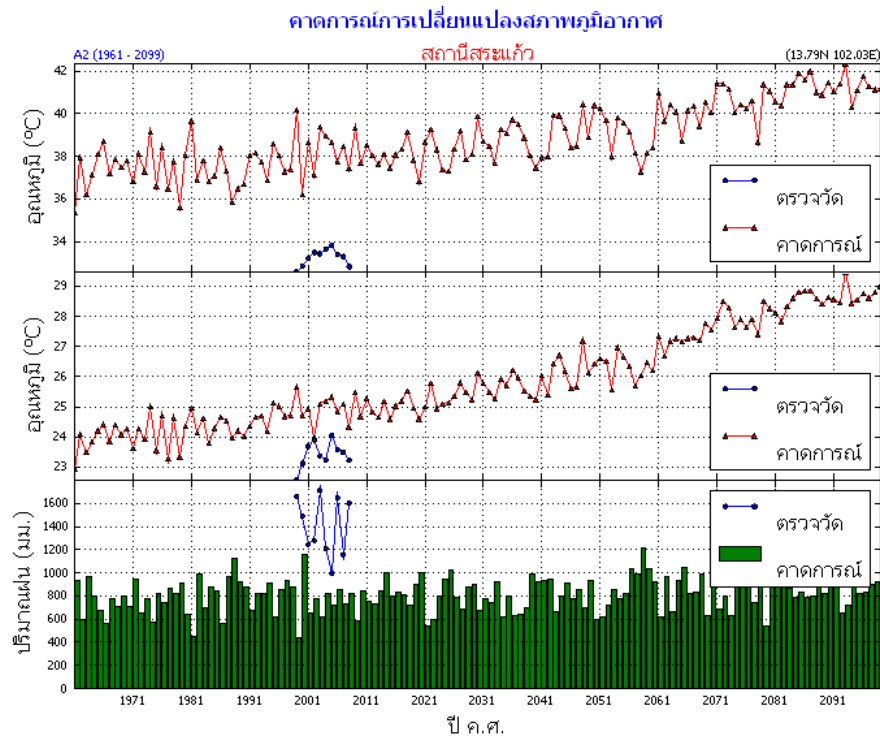
รูปที่ 132 คาดการณ์การเปลี่ยนแปลงภูมิอากาศ สถานีภินทรบุรี

อำเภอภินทรบุรี จังหวัดปราจีนบุรี ข้อมูลตรวจวัดเริ่มตั้งแต่ ค.ศ. 1970-2008

อุณหภูมิสูงสุดเฉลี่ย (บน) จากการวิเคราะห์เปรียบเทียบข้อมูลอุณหภูมิสูงสุดเฉลี่ยที่ได้จากรูปแบบจำลองมีค่าสูงกว่าอุณหภูมิที่ได้จากการตรวจวัดจริง โดยมีความคลาดเคลื่อนประมาณ 5-6 องศาเซลเซียส สำหรับแนวโน้มอุณหภูมิสูงสุดเฉลี่ยในทศวรรษที่ 2100 (ค.ศ.2091-2100) สูงกว่าทศวรรษที่ 2000 (ค.ศ.1991-2000) ประมาณ 4-5 องศาเซลเซียส

อุณหภูมิต่ำสุดเฉลี่ย (กลาง) จากการวิเคราะห์เปรียบเทียบข้อมูลอุณหภูมิต่ำสุดเฉลี่ยที่ได้จากรูปแบบจำลองมีค่าสูงกว่าอุณหภูมิที่ได้จากการตรวจวัดจริงประมาณ 1-2 องศาเซลเซียสและมีแนวโน้มไปทิศทางเดียวกัน สำหรับในทศวรรษที่ 2100 (ค.ศ.2091-2100) พบว่า อุณหภูมิต่ำสุดเฉลี่ยสูงกว่าทศวรรษที่ 2000 (ค.ศ.1991-2000) ประมาณ 4-5 องศาเซลเซียส

ปริมาณฝน (ล่าง) จากการวิเคราะห์เปรียบเทียบข้อมูลปริมาณฝนที่ได้จากรูปแบบจำลองมีค่าต่ำกว่าปริมาณฝนที่ได้จากการตรวจวัดจริง โดยมีความคลาดเคลื่อนมาก สำหรับแนวโน้มปริมาณฝนในทศวรรษที่ 2100 (ค.ศ.2091-2100) ยังไม่ชัดเจน



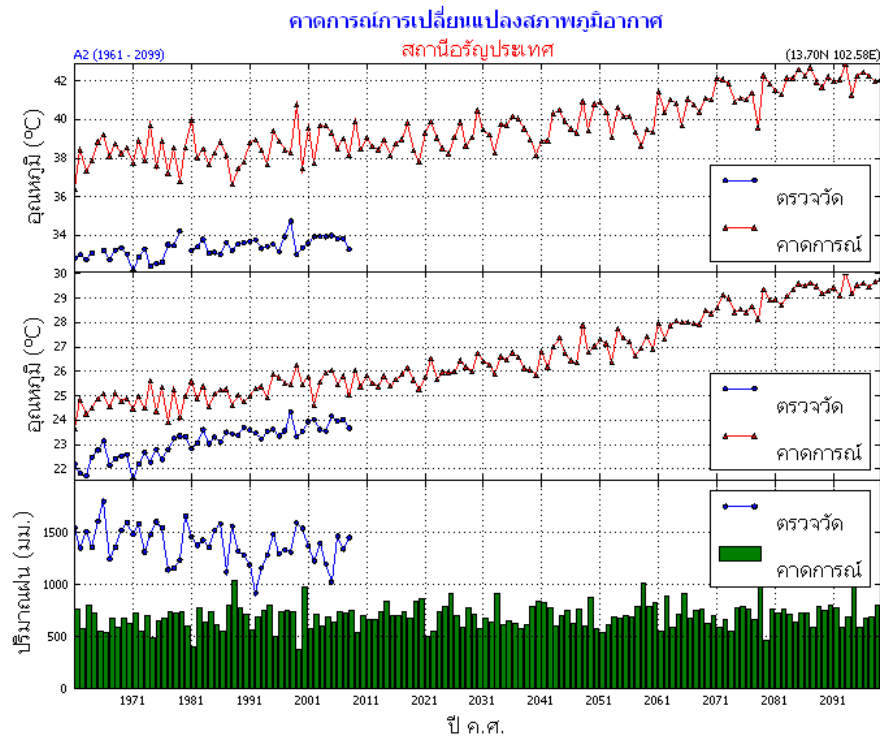
รูปที่ 133 คาดการณ์การเปลี่ยนแปลงภูมิอากาศ สถานีสระแก้ว

จังหวัดสระแก้ว ข้อมูลตรวจวัดเริ่มตั้งแต่ ค.ศ. 1999-2008

อุณหภูมิสูงสุดเฉลี่ย (บน) จากการวิเคราะห์เปรียบเทียบข้อมูลอุณหภูมิสูงสุดเฉลี่ยที่ได้จากรูปแบบจำลองมีค่าสูงกว่าอุณหภูมิที่ได้จากการตรวจวัดจริง โดยมีค่าคลาดเคลื่อนประมาณ 4-5 องศาเซลเซียส สำหรับแนวโน้มอุณหภูมิสูงสุดเฉลี่ยในทศวรรษที่ 2100 (ค.ศ.2091-2100) สูงกว่าทศวรรษที่ 2000 (ค.ศ.1991-2000) ประมาณ 3-4 องศาเซลเซียส

อุณหภูมิต่ำสุดเฉลี่ย (กลาง) จากการวิเคราะห์เปรียบเทียบข้อมูลอุณหภูมิต่ำสุดเฉลี่ยที่ได้จากรูปแบบจำลองมีค่าสูงกว่าอุณหภูมิที่ได้จากการตรวจวัดจริงประมาณ 1-2 องศาเซลเซียส แต่มีแนวโน้มไปในทิศทางเดียวกัน สำหรับในทศวรรษที่ 2100 (ค.ศ.2091-2100) พบว่า อุณหภูมิต่ำสุดเฉลี่ยสูงกว่าทศวรรษที่ 2000 (ค.ศ.1991-2000) ประมาณ 4 องศาเซลเซียส

ปริมาณฝน (ล่าง) จากการวิเคราะห์เปรียบเทียบข้อมูลปริมาณฝนที่ได้จากรูปแบบจำลองมีค่าต่ำกว่าปริมาณฝนที่ได้จากการตรวจวัดจริงประมาณ 400-800 มม. สำหรับแนวโน้มปริมาณฝนในทศวรรษที่ 2100 (ค.ศ.2091-2100) ยังไม่ชัดเจน



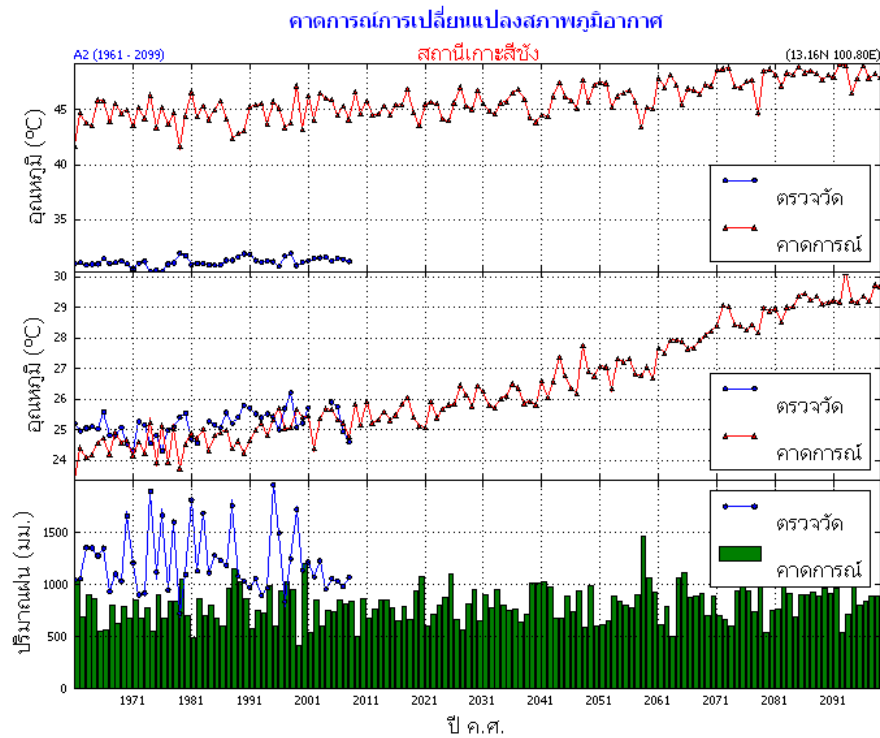
รูปที่ 134 คาดการณ์การเปลี่ยนแปลงภูมิอากาศ สถานีอรัญประเทศ

อำเภออรัญประเทศ จังหวัดสระแก้ว

อุณหภูมิสูงสุดเฉลี่ย (บน) จากการวิเคราะห์เปรียบเทียบข้อมูลอุณหภูมิสูงสุดเฉลี่ยที่ได้จากรูปแบบจำลองมีค่าสูงกว่าอุณหภูมิที่ได้จากการตรวจวัดจริง โดยมีค่าคลาดเคลื่อนประมาณ 3-4 องศาเซลเซียส สำหรับแนวโน้มอุณหภูมิสูงสุดเฉลี่ยในทศวรรษที่ 2100 (ค.ศ.2091-2100) สูงกว่าทศวรรษที่ 2000 (ค.ศ.1991-2000) ประมาณ 3-4 องศาเซลเซียส

อุณหภูมิต่ำสุดเฉลี่ย (กลาง) จากการวิเคราะห์เปรียบเทียบข้อมูลอุณหภูมิต่ำสุดเฉลี่ยที่ได้จากรูปแบบจำลองมีค่าสูงกว่าอุณหภูมิที่ได้จากการตรวจวัดจริงประมาณ 1-2 องศาเซลเซียส แต่มีแนวโน้มไปในทิศทางเดียวกัน สำหรับในทศวรรษที่ 2100 (ค.ศ.2091-2100) พบว่า อุณหภูมิต่ำสุดเฉลี่ยสูงกว่าทศวรรษที่ 2000 (ค.ศ.1991-2000) ประมาณ 4-5 องศาเซลเซียส

ปริมาณฝน (ล่าง) จากการวิเคราะห์เปรียบเทียบข้อมูลปริมาณฝนที่ได้จากรูปแบบจำลองมีค่าต่ำกว่าปริมาณฝนที่ได้จากการตรวจวัดจริงประมาณ 800-1000 มม. สำหรับแนวโน้มปริมาณฝนในทศวรรษที่ 2100 (ค.ศ.2091-2100) ยังไม่ชัดเจน



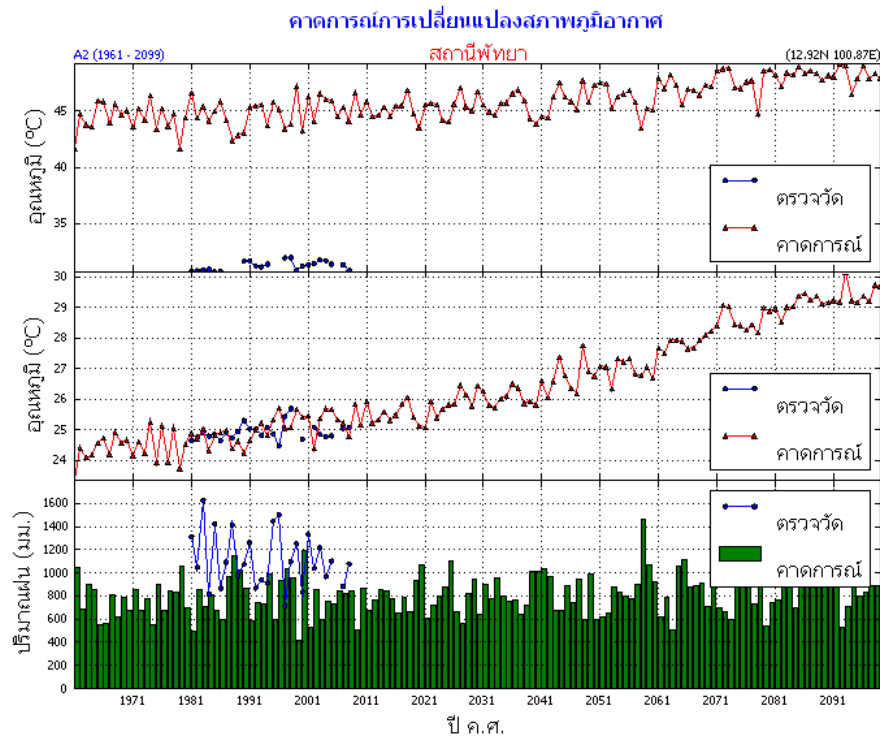
รูปที่ 135 คาดการณ์การเปลี่ยนแปลงภูมิอากาศ สถานีเกาะสีชัง

เกาะสีชัง

อุณหภูมิสูงสุดเฉลี่ย (บน) จากการวิเคราะห์เปรียบเทียบข้อมูลอุณหภูมิสูงสุดเฉลี่ยที่ได้จากรูปแบบจำลอง มีค่าสูงกว่าอุณหภูมิที่ได้จากการตรวจวัดจริง โดยมีค่าคลาดเคลื่อนมาก กว่า 10 องศาเซลเซียส สำหรับ แนวโน้มอุณหภูมิสูงสุดเฉลี่ยในทศวรรษที่ 2100 (ค.ศ.2091-2100) สูงกว่าทศวรรษที่ 2000 (ค.ศ.1991-2000) ประมาณ 4-5 องศาเซลเซียส

อุณหภูมิต่ำสุดเฉลี่ย (กลาง) จากการวิเคราะห์เปรียบเทียบข้อมูลอุณหภูมิต่ำสุดเฉลี่ยที่ได้จากรูปแบบจำลอง มีค่าใกล้เคียงกับอุณหภูมิที่ได้จากการตรวจวัดจริง และมีแนวโน้มไปในทิศทางเดียวกัน สำหรับในทศวรรษที่ 2100 (ค.ศ.2091-2100) พบว่า อุณหภูมิต่ำสุดเฉลี่ยสูงกว่าทศวรรษที่ 2000 (ค.ศ.1991-2000) ประมาณ 4-5 องศาเซลเซียส

ปริมาณฝน (ล่าง) จากการวิเคราะห์เปรียบเทียบข้อมูลปริมาณฝนที่ได้จากรูปแบบจำลองมีค่าต่ำกว่าปริมาณฝนที่ได้จากการตรวจวัดจริงประมาณ 600-800 มม. สำหรับแนวโน้มปริมาณฝนในทศวรรษที่ 2100 (ค.ศ.2091-2100) มีแนวโน้มสูงขึ้นเล็กน้อย



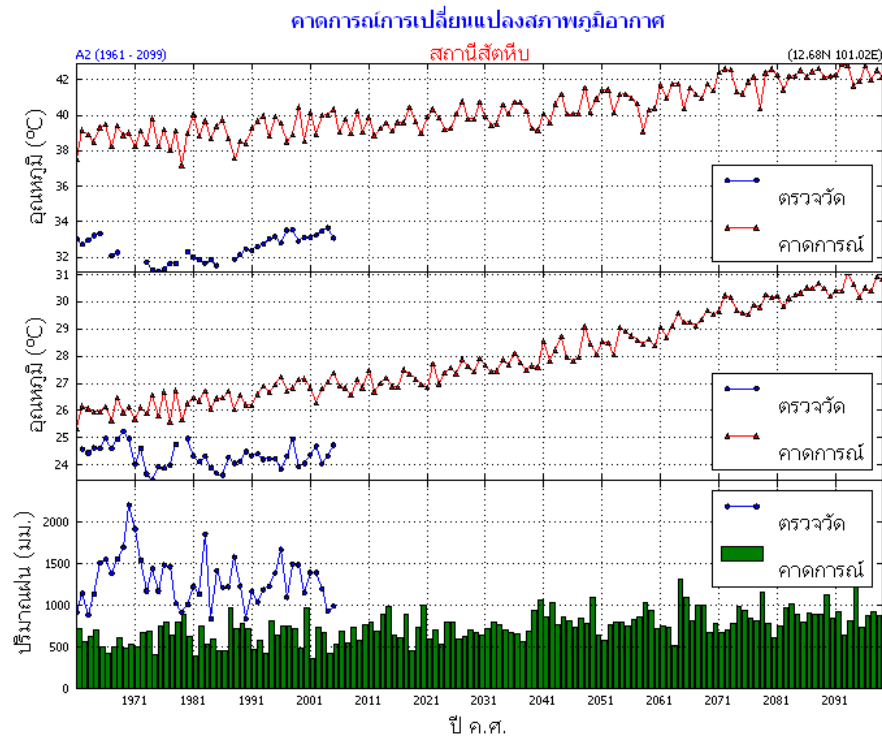
รูปที่ 136 คาดการณ์การเปลี่ยนแปลงภูมิอากาศ สถานีพิทยา

พิทยา ข้อมูลตรวจวัดเริ่มตั้งแต่ ค.ศ. 1981-2008

อุณหภูมิสูงสุดเฉลี่ย (บน) จากการวิเคราะห์เปรียบเทียบข้อมูลอุณหภูมิสูงสุดเฉลี่ยที่ได้จากรูปแบบจำลองมีค่าสูงกว่าอุณหภูมิที่ได้จากการตรวจวัดจริง โดยมีค่าคลาดเคลื่อนมากกว่า 10 องศาเซลเซียส สำหรับแนวโน้มอุณหภูมิสูงสุดเฉลี่ยในทศวรรษที่ 2100 (ค.ศ.2091-2100) สูงกว่าทศวรรษที่ 2000 (ค.ศ.1991-2000) ประมาณ 3-4 องศาเซลเซียส

อุณหภูมิต่ำสุดเฉลี่ย (กลาง) จากการวิเคราะห์เปรียบเทียบข้อมูลอุณหภูมิต่ำสุดเฉลี่ยที่ได้จากรูปแบบจำลองมีค่าใกล้เคียงกับอุณหภูมิที่ได้จากการตรวจวัดจริง และมีแนวโน้มไปในทิศทางเดียวกัน สำหรับในทศวรรษที่ 2100 (ค.ศ.2091-2100) พบว่าอุณหภูมิต่ำสุดเฉลี่ยสูงกว่าทศวรรษที่ 2000 (ค.ศ.1991-2000) ประมาณ 4-5 องศาเซลเซียส

ปริมาณฝน (ล่าง) จากการวิเคราะห์เปรียบเทียบข้อมูลปริมาณฝนที่ได้จากรูปแบบจำลองมีค่าต่ำกว่าปริมาณฝนที่ได้จากการตรวจวัดจริงประมาณ 200-400 มม. สำหรับแนวโน้มปริมาณฝนในทศวรรษที่ 2100 (ค.ศ.2091-2100) มีแนวโน้มสูงขึ้นเล็กน้อย



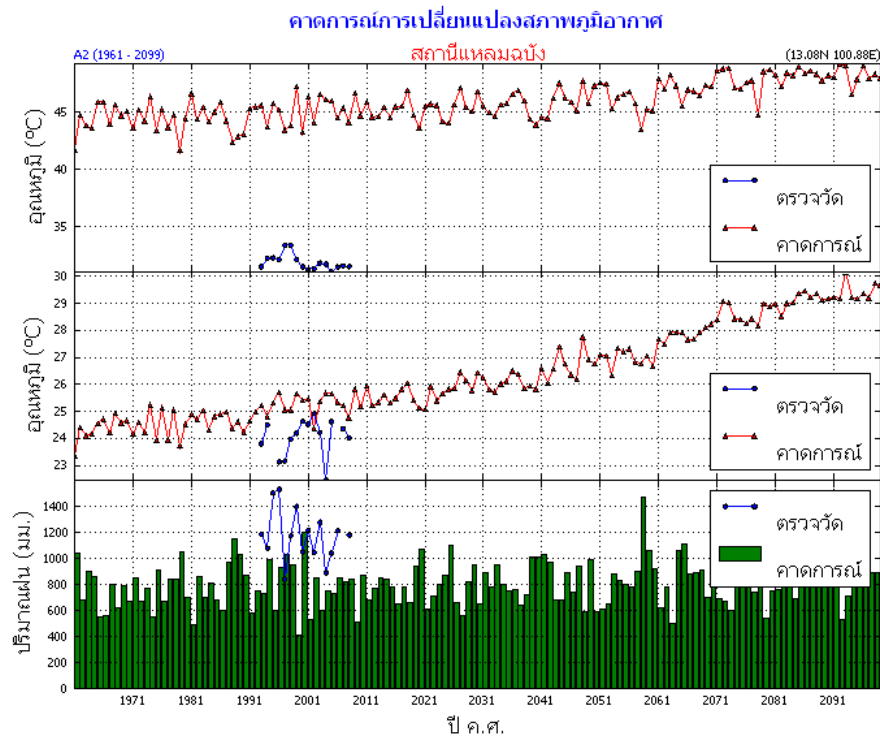
รูปที่ 137 คาดการณ์การเปลี่ยนแปลงภูมิอากาศ สถานีสัตหีบ

สัตหีบ

อุณหภูมิสูงสุดเฉลี่ย (บน) จากการวิเคราะห์เปรียบเทียบข้อมูลอุณหภูมิสูงสุดเฉลี่ยที่ได้จากรูปแบบจำลองมีค่าสูงกว่าอุณหภูมิที่ได้จากการตรวจวัดจริง โดยมีความคลาดเคลื่อน 5-6 องศาเซลเซียส สำหรับแนวโน้มอุณหภูมิสูงสุดเฉลี่ยในทศวรรษที่ 2100 (ค.ศ.2091-2100) สูงกว่าทศวรรษที่ 2000 (ค.ศ.1991-2000) ประมาณ 3-4 องศาเซลเซียส

อุณหภูมิต่ำสุดเฉลี่ย (กลาง) จากการวิเคราะห์เปรียบเทียบข้อมูลอุณหภูมิต่ำสุดเฉลี่ยที่ได้จากรูปแบบจำลองมีค่าสูงกว่าอุณหภูมิที่ได้จากการตรวจวัดจริง โดยมีความคลาดเคลื่อนประมาณ 2-3 องศาเซลเซียส แต่มีแนวโน้มไปในทิศทางเดียวกัน สำหรับในทศวรรษที่ 2100 (ค.ศ.2091-2100) พบว่า อุณหภูมิต่ำสุดเฉลี่ยสูงกว่าทศวรรษที่ 2000 (ค.ศ.1991-2000) ประมาณ 3-4 องศาเซลเซียส

ปริมาณฝน (ล่าง) จากการวิเคราะห์เปรียบเทียบข้อมูลปริมาณฝนที่ได้จากรูปแบบจำลองมีค่าต่ำกว่าปริมาณฝนที่ได้จากการตรวจวัดจริงประมาณ 800-1000 มม. สำหรับแนวโน้มปริมาณฝนในทศวรรษที่ 2100 (ค.ศ.2091-2100) มีแนวโน้มสูงขึ้น



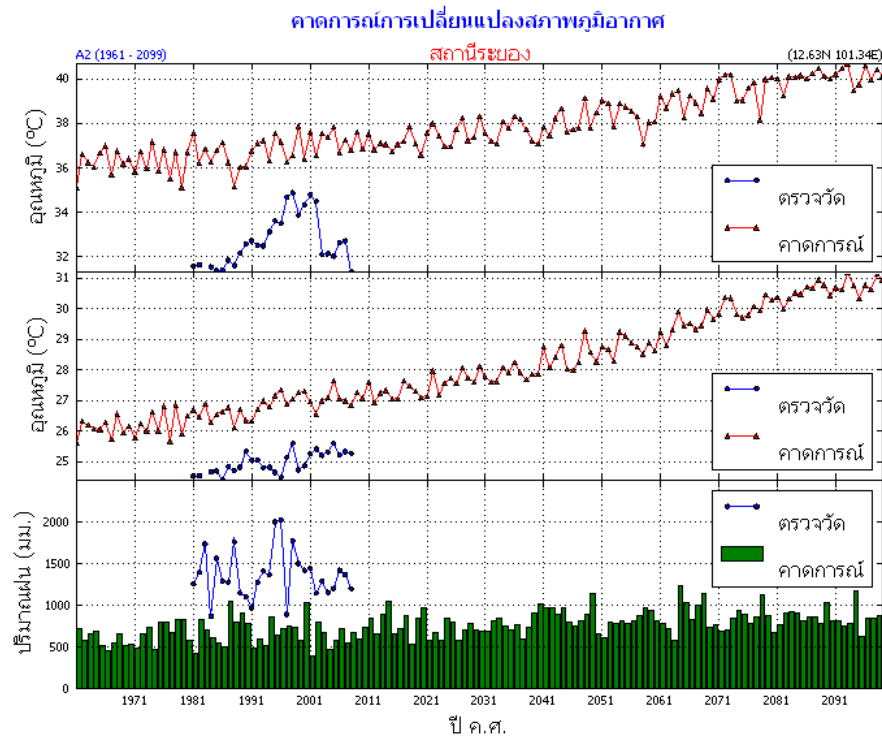
รูปที่ 138 คาดการณ์การเปลี่ยนแปลงภูมิอากาศ สถานีแหลมฉบัง

สถานีแหลมฉบัง ข้อมูลตรวจวัดเริ่มตั้งแต่ ค.ศ. 1992-2008

อุณหภูมิสูงสุดเฉลี่ย (บน) จากการวิเคราะห์เปรียบเทียบข้อมูลอุณหภูมิสูงสุดเฉลี่ยที่ได้จากรูปแบบจำลอง มีค่าสูงกว่าอุณหภูมิที่ได้จากการตรวจวัดจริง โดยมีความคลาดเคลื่อน มากกว่า 10 องศาเซลเซียส สำหรับ แนวโน้มอุณหภูมิสูงสุดเฉลี่ยในทศวรรษที่ 2100 (ค.ศ.2091-2100) สูงกว่าทศวรรษที่ 2000 (ค.ศ.1991-2000) ประมาณ 3-4 องศาเซลเซียส

อุณหภูมิต่ำสุดเฉลี่ย (กลาง) จากการวิเคราะห์เปรียบเทียบข้อมูลอุณหภูมิต่ำสุดเฉลี่ยที่ได้จากรูปแบบจำลองมีค่าสูงกว่าอุณหภูมิที่ได้จากการตรวจวัดจริง โดยมีความคลาดเคลื่อนประมาณ 1-2 องศาเซลเซียส แต่มีแนวโน้มไปในทิศทางเดียวกัน สำหรับในทศวรรษที่ 2100 (ค.ศ.2091-2100) พบว่า อุณหภูมิต่ำสุดเฉลี่ย สูงกว่าทศวรรษที่ 2000 (ค.ศ.1991-2000) ประมาณ 4-5 องศาเซลเซียส

ปริมาณฝน (ล่าง) จากการวิเคราะห์เปรียบเทียบข้อมูลปริมาณฝนที่ได้จากรูปแบบจำลองมีค่าต่ำกว่า ปริมาณฝนที่ได้จากการตรวจวัดจริงประมาณ 200-400 มม. สำหรับแนวโน้มปริมาณฝนในทศวรรษที่ 2100 (ค.ศ.2091-2100) มีแนวโน้มสูงขึ้นเล็กน้อย



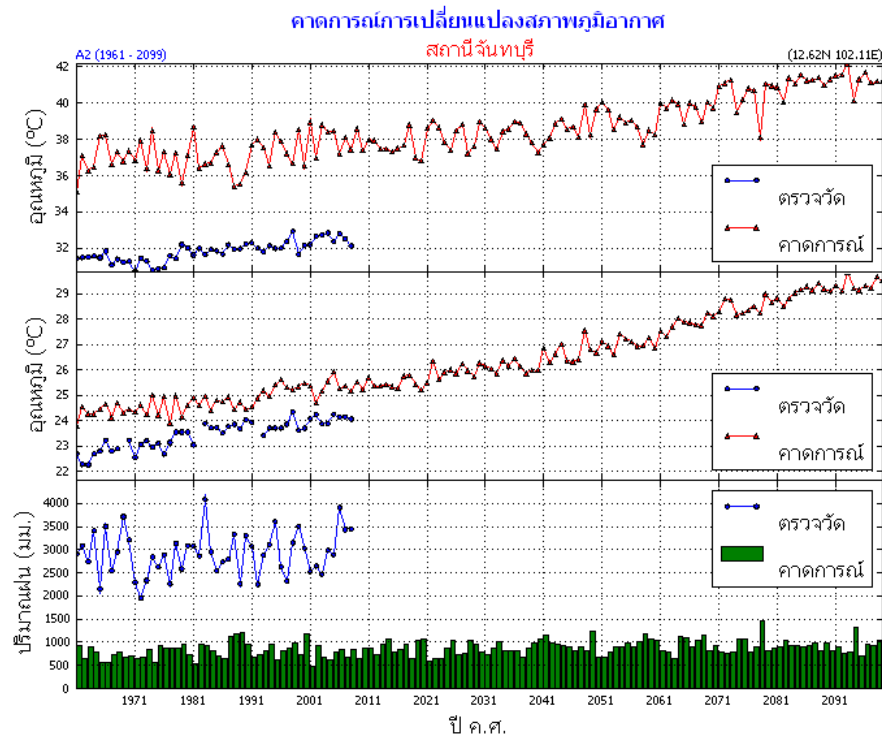
รูปที่ 139 คาดการณ์การเปลี่ยนแปลงภูมิอากาศ สถานีระยอง

สถานีระยอง ข้อมูลตรวจวัดเริ่มตั้งแต่ ค.ศ. 1981-2008

อุณหภูมิสูงสุดเฉลี่ย (บน) จากการวิเคราะห์เปรียบเทียบข้อมูลอุณหภูมิสูงสุดเฉลี่ยที่ได้จากรูปแบบจำลองมีค่าสูงกว่าอุณหภูมิที่ได้จากการตรวจวัดจริง โดยมีความคลาดเคลื่อน 3-4 องศาเซลเซียส สำหรับแนวโน้มอุณหภูมิสูงสุดเฉลี่ยในทศวรรษที่ 2100 (ค.ศ.2091-2100) สูงกว่าทศวรรษที่ 2000 (ค.ศ.1991-2000) ประมาณ 3-4 องศาเซลเซียส

อุณหภูมิต่ำสุดเฉลี่ย (กลาง) จากการวิเคราะห์เปรียบเทียบข้อมูลอุณหภูมิต่ำสุดเฉลี่ยที่ได้จากรูปแบบจำลองมีค่าสูงกว่าอุณหภูมิที่ได้จากการตรวจวัดจริง โดยมีความคลาดเคลื่อนประมาณ 1-2 องศาเซลเซียส แต่มีแนวโน้มไปในทิศทางเดียวกัน สำหรับในทศวรรษที่ 2100 (ค.ศ.2091-2100) พบว่า อุณหภูมิต่ำสุดเฉลี่ยสูงกว่าทศวรรษที่ 2000 (ค.ศ.1991-2000) ประมาณ 4-5 องศาเซลเซียส

ปริมาณฝน (ล่าง) จากการวิเคราะห์เปรียบเทียบข้อมูลปริมาณฝนที่ได้จากรูปแบบจำลองมีค่าต่ำกว่าปริมาณฝนที่ได้จากการตรวจวัดจริงประมาณ 800-1000 มม. สำหรับแนวโน้มปริมาณฝนในทศวรรษที่ 2100 (ค.ศ.2091-2100) มีแนวโน้มสูงขึ้น



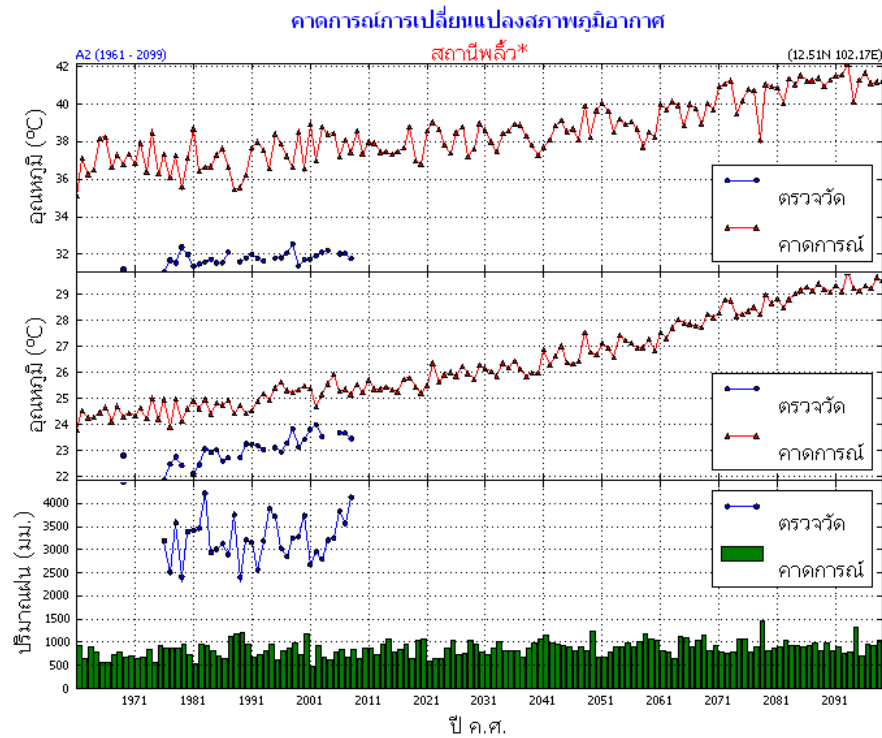
รูปที่ 140 การคาดการณ์การเปลี่ยนแปลงภูมิอากาศ สถานีจันทบุรี

สถานีจันทบุรี

อุณหภูมิสูงสุดเฉลี่ย (บน) จากการวิเคราะห์เปรียบเทียบข้อมูลอุณหภูมิสูงสุดเฉลี่ยที่ได้จากรูปแบบจำลองมีค่าสูงกว่าอุณหภูมิที่ได้จากการตรวจวัดจริง โดยมีความคลาดเคลื่อน 4-5 องศาเซลเซียส สำหรับแนวโน้มอุณหภูมิสูงสุดเฉลี่ยในทศวรรษที่ 2100 (ค.ศ.2091-2100) สูงกว่าทศวรรษที่ 2000 (ค.ศ.1991-2000) ประมาณ 3-4 องศาเซลเซียส

อุณหภูมิต่ำสุดเฉลี่ย (กลาง) จากการวิเคราะห์เปรียบเทียบข้อมูลอุณหภูมิต่ำสุดเฉลี่ยที่ได้จากรูปแบบจำลองมีค่าสูงกว่าอุณหภูมิที่ได้จากการตรวจวัดจริง โดยมีความคลาดเคลื่อนประมาณ 1-2 องศาเซลเซียส แต่มีแนวโน้มไปในทิศทางเดียวกัน สำหรับในทศวรรษที่ 2100 (ค.ศ.2091-2100) พบว่าอุณหภูมิต่ำสุดเฉลี่ยสูงกว่าทศวรรษที่ 2000 (ค.ศ.1991-2000) ประมาณ 4-5 องศาเซลเซียส

ปริมาณฝน (ล่าง) จากการวิเคราะห์เปรียบเทียบข้อมูลปริมาณฝนที่ได้จากรูปแบบจำลองมีค่าต่ำกว่าปริมาณฝนที่ได้จากการตรวจวัดจริงมาก สำหรับแนวโน้มปริมาณฝนในทศวรรษที่ 2100 (ค.ศ.2091-2100) มีแนวโน้มสูงขึ้นเล็กน้อย



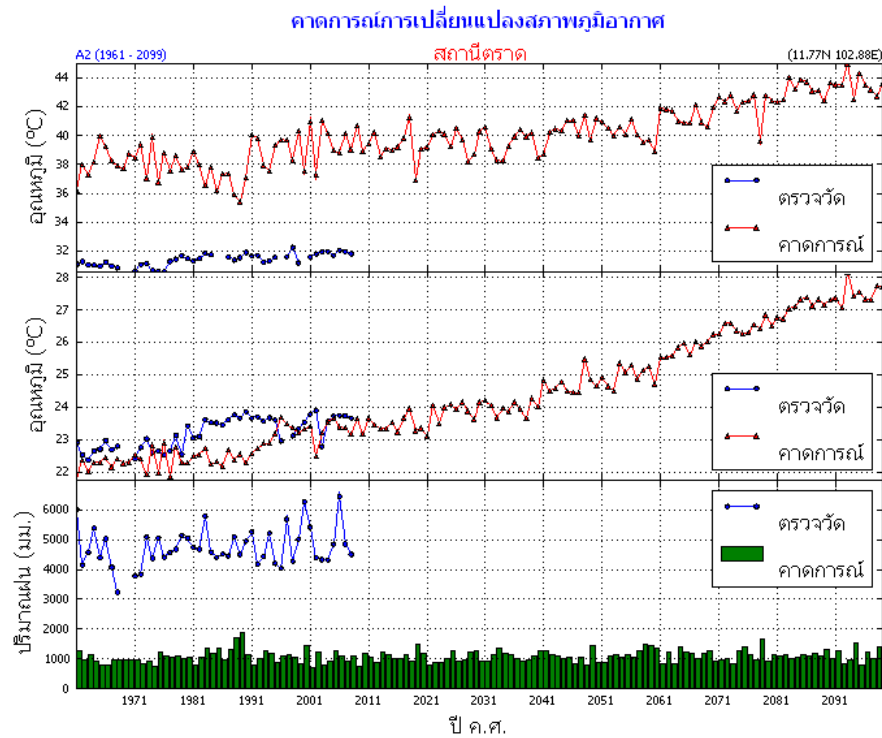
รูปที่ 141 การคาดการณ์การเปลี่ยนแปลงภูมิอากาศ สถานีพหลีว

สถานีพหลีว จังหวัดจันทบุรี ข้อมูลตรวจวัดเริ่มตั้งแต่ ค.ศ. 1969-2008

อุณหภูมิสูงสุดเฉลี่ย (บน) จากการวิเคราะห์เปรียบเทียบข้อมูลอุณหภูมิสูงสุดเฉลี่ยที่ได้จากรูปแบบจำลองมีค่าสูงกว่าอุณหภูมิที่ได้จากการตรวจวัดจริง โดยมีความคลาดเคลื่อน 4-5 องศาเซลเซียส สำหรับแนวโน้มอุณหภูมิสูงสุดเฉลี่ยในทศวรรษที่ 2100 (ค.ศ.2091-2100) สูงกว่าทศวรรษที่ 2000 (ค.ศ.1991-2000) ประมาณ 4-5 องศาเซลเซียส

อุณหภูมิต่ำสุดเฉลี่ย (กลาง) จากการวิเคราะห์เปรียบเทียบข้อมูลอุณหภูมิต่ำสุดเฉลี่ยที่ได้จากรูปแบบจำลองมีค่าสูงกว่าอุณหภูมิที่ได้จากการตรวจวัดจริง โดยมีความคลาดเคลื่อนประมาณ 1-2 องศาเซลเซียส แต่มีแนวโน้มไปในทิศทางเดียวกัน สำหรับในทศวรรษที่ 2100 (ค.ศ.2091-2100) พบว่า อุณหภูมิต่ำสุดเฉลี่ยสูงกว่าทศวรรษที่ 2000 (ค.ศ.1991-2000) ประมาณ 4-5 องศาเซลเซียส

ปริมาณฝน (ล่าง) จากการวิเคราะห์เปรียบเทียบข้อมูลปริมาณฝนที่ได้จากรูปแบบจำลองมีค่าต่ำกว่าปริมาณฝนที่ได้จากการตรวจวัดจริงมาก สำหรับแนวโน้มปริมาณฝนในทศวรรษที่ 2100 (ค.ศ. 2091-2100) มีแนวโน้มสูงขึ้นเล็กน้อย



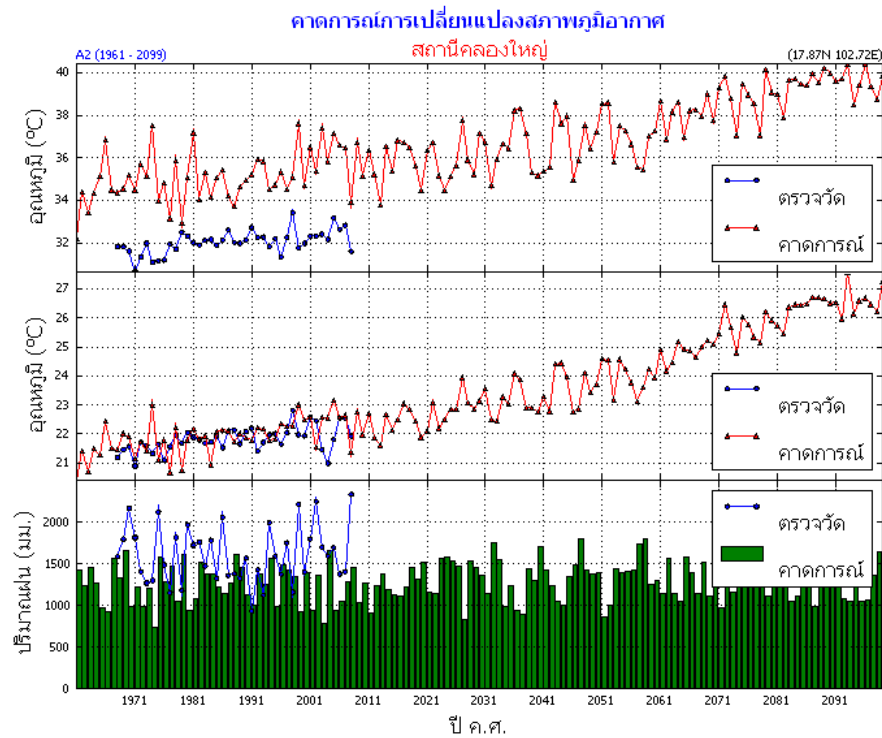
รูปที่ 142 คาดการณ์การเปลี่ยนแปลงภูมิอากาศ สถานีตราด

สถานีตราด

อุณหภูมิสูงสุดเฉลี่ย (บน) จากการวิเคราะห์เปรียบเทียบข้อมูลอุณหภูมิสูงสุดเฉลี่ยที่ได้จากรูปแบบจำลองมีค่าสูงกว่าอุณหภูมิที่ได้จากการตรวจวัดจริง โดยมีค่าคลาดเคลื่อน ประมาณ 5-6 องศาเซลเซียส สำหรับแนวโน้มอุณหภูมิสูงสุดเฉลี่ยในทศวรรษที่ 2100 (ค.ศ.2091-2100) สูงกว่าทศวรรษที่ 2000 (ค.ศ.1991-2000) ประมาณ 4-5 องศาเซลเซียส

อุณหภูมิต่ำสุดเฉลี่ย (กลาง) จากการวิเคราะห์เปรียบเทียบข้อมูลอุณหภูมิต่ำสุดเฉลี่ยที่ได้จากรูปแบบจำลองมีค่าใกล้เคียงกับอุณหภูมิที่ได้จากการตรวจวัดจริง และมีแนวโน้มไปในทิศทางเดียวกัน สำหรับในทศวรรษที่ 2100 (ค.ศ.2091-2100) พบว่าอุณหภูมิต่ำสุดเฉลี่ยสูงกว่าทศวรรษที่ 2000 (ค.ศ.1991-2000) ประมาณ 4-5 องศาเซลเซียส

ปริมาณฝน (ล่าง) จากการวิเคราะห์เปรียบเทียบข้อมูลปริมาณฝนที่ได้จากรูปแบบจำลองมีค่าต่ำกว่าปริมาณฝนที่ได้จากการตรวจวัดจริงมาก สำหรับแนวโน้มปริมาณฝนในทศวรรษที่ 2100 (ค.ศ. 2091-2100) ยังไม่ชัดเจน



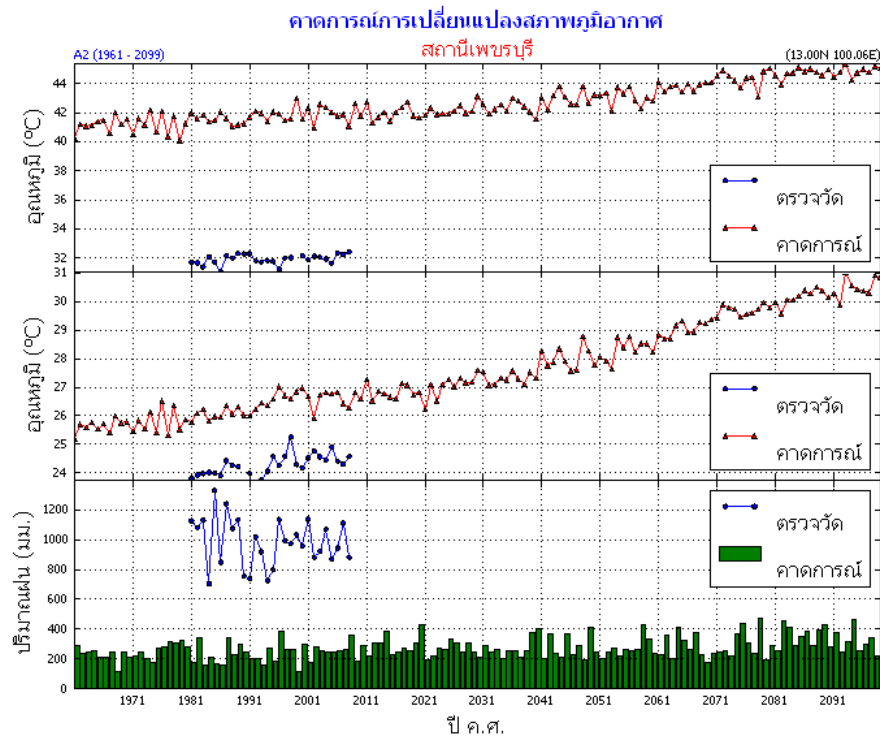
รูปที่ 143 คาดการณ์การเปลี่ยนแปลงภูมิอากาศ สถานีคลองใหญ่

สถานีคลองใหญ่ จังหวัดตราด

อุณหภูมิสูงสุดเฉลี่ย (บน) จากการวิเคราะห์เปรียบเทียบข้อมูลอุณหภูมิสูงสุดเฉลี่ยที่ได้จากรูปแบบจำลอง มีค่าสูงกว่าอุณหภูมิที่ได้จากการตรวจวัดจริง โดยมีความคลาดเคลื่อนประมาณ 2-3 องศาเซลเซียส สำหรับ แนวโน้มอุณหภูมิสูงสุดเฉลี่ยในทศวรรษที่ 2100 (ค.ศ.2091-2100) สูงกว่าทศวรรษที่ 2000 (ค.ศ.1991-2000) ประมาณ 4-5 องศาเซลเซียส

อุณหภูมิต่ำสุดเฉลี่ย (กลาง) จากการวิเคราะห์เปรียบเทียบข้อมูลอุณหภูมิต่ำสุดเฉลี่ยที่ได้จากรูปแบบจำลองมีค่าใกล้เคียงกับอุณหภูมิที่ได้จากการตรวจวัดจริง และแนวโน้มไปในทิศทางเดียวกัน สำหรับใน ทศวรรษที่ 2100 (ค.ศ.2091-2100) พบว่าอุณหภูมิต่ำสุดเฉลี่ยสูงกว่าทศวรรษที่ 2000 (ค.ศ.1991-2000) ประมาณ 4-5 องศาเซลเซียส

ปริมาณฝน (ล่าง) จากการวิเคราะห์เปรียบเทียบข้อมูลปริมาณฝนที่ได้จากรูปแบบจำลองมีค่าต่ำกว่า ปริมาณฝนที่ได้จากการตรวจวัดจริง โดยมีความคลาดเคลื่อนประมาณ 200-500 มม. สำหรับแนวโน้ม ปริมาณฝนในทศวรรษที่ 2100 (ค.ศ.2091-2100) ยังไม่ชัดเจน



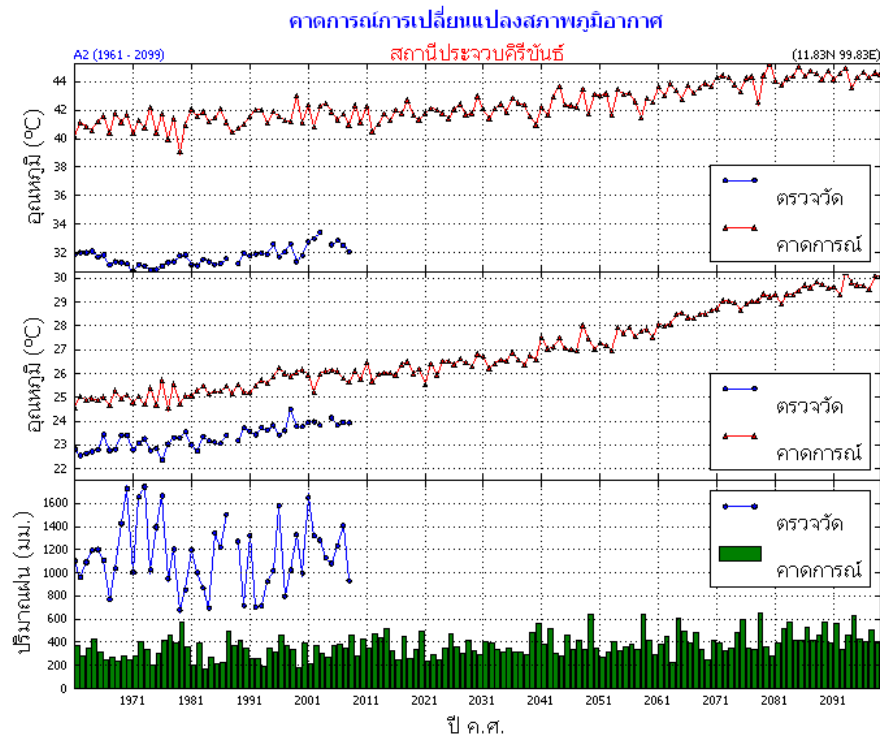
รูปที่ 144 คาดการณ์การเปลี่ยนแปลงภูมิอากาศ สถานีเพชรบุรี

สถานีเพชรบุรี ข้อมูลตรวจวัดเริ่มตั้งแต่ ค.ศ. 1981-2008

อุณหภูมิสูงสุดเฉลี่ย (บน) จากการวิเคราะห์เปรียบเทียบข้อมูลอุณหภูมิสูงสุดเฉลี่ยที่ได้จากรูปแบบจำลองมีค่าสูงกว่าอุณหภูมิที่ได้จากการตรวจวัดจริง โดยมีความคลาดเคลื่อน เกือบ 10 องศาเซลเซียส สำหรับแนวโน้มอุณหภูมิสูงสุดเฉลี่ยในทศวรรษที่ 2100 (ค.ศ.2091-2100) สูงกว่าทศวรรษที่ 2000 (ค.ศ.1991-2000) ประมาณ 2-3 องศาเซลเซียส

อุณหภูมิต่ำสุดเฉลี่ย (กลาง) จากการวิเคราะห์เปรียบเทียบข้อมูลอุณหภูมิต่ำสุดเฉลี่ยที่ได้จากรูปแบบจำลองมีค่าสูงกว่าอุณหภูมิที่ได้จากการตรวจวัดจริง โดยมีความคลาดเคลื่อนประมาณ 1-2 องศาเซลเซียส แต่มีแนวโน้มไปในทิศทางเดียวกัน สำหรับในทศวรรษที่ 2100 (ค.ศ.2091-2100) พบว่า อุณหภูมิต่ำสุดเฉลี่ยสูงกว่าทศวรรษที่ 2000 (ค.ศ.1991-2000) ประมาณ 4-5 องศาเซลเซียส

ปริมาณฝน (ล่าง) จากการวิเคราะห์เปรียบเทียบข้อมูลปริมาณฝนที่ได้จากรูปแบบจำลองมีค่าต่ำกว่าปริมาณฝนที่ได้จากการตรวจวัดจริง โดยคลาดเคลื่อนประมาณ 600-800 มม. สำหรับแนวโน้มปริมาณฝนในทศวรรษที่ 2100 (ค.ศ.2091-2100) มีแนวโน้มสูงขึ้น



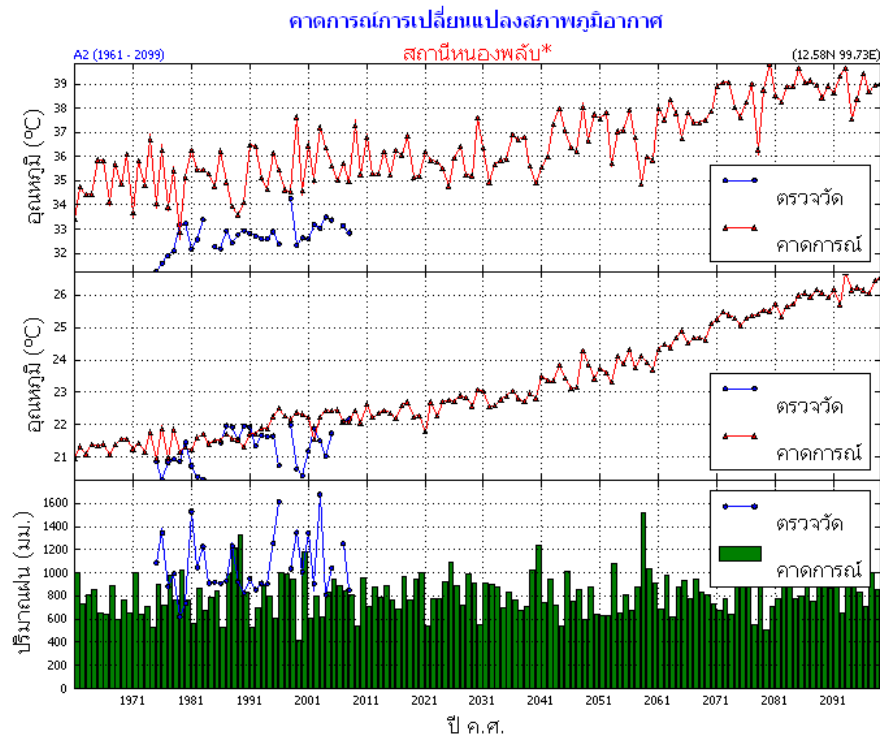
รูปที่ 145 การคาดการณ์การเปลี่ยนแปลงภูมิอากาศ สถานีประจวบคีรีขันธ์

สถานีประจวบคีรีขันธ์

อุณหภูมิสูงสุดเฉลี่ย (บน) จากการวิเคราะห์เปรียบเทียบข้อมูลอุณหภูมิสูงสุดเฉลี่ยที่ได้จากรูปแบบจำลองมีค่าสูงกว่าอุณหภูมิที่ได้จากการตรวจวัดจริง โดยมีความคลาดเคลื่อน เกือบ 10 องศาเซลเซียส สำหรับแนวโน้มอุณหภูมิสูงสุดเฉลี่ยในทศวรรษที่ 2100 (ค.ศ.2091-2100) สูงกว่าทศวรรษที่ 2000 (ค.ศ.1991-2000) ประมาณ 2-3 องศาเซลเซียส

อุณหภูมิต่ำสุดเฉลี่ย (กลาง) จากการวิเคราะห์เปรียบเทียบข้อมูลอุณหภูมิต่ำสุดเฉลี่ยที่ได้จากรูปแบบจำลองมีค่าสูงกว่าอุณหภูมิที่ได้จากการตรวจวัดจริง โดยมีความคลาดเคลื่อนประมาณ 1-2 องศาเซลเซียส แต่มีแนวโน้มไปในทิศทางเดียวกัน สำหรับในทศวรรษที่ 2100 (ค.ศ.2091-2100) พบว่า อุณหภูมิต่ำสุดเฉลี่ยสูงกว่าทศวรรษที่ 2000 (ค.ศ.1991-2000) ประมาณ 5-6 องศาเซลเซียส

ปริมาณฝน (ล่าง) จากการวิเคราะห์เปรียบเทียบข้อมูลปริมาณฝนที่ได้จากรูปแบบจำลองมีค่าต่ำกว่าปริมาณฝนที่ได้จากการตรวจวัดจริงมาก สำหรับแนวโน้มปริมาณฝนในทศวรรษที่ 2100 (ค.ศ.2091-2100) มีแนวโน้มสูงขึ้น



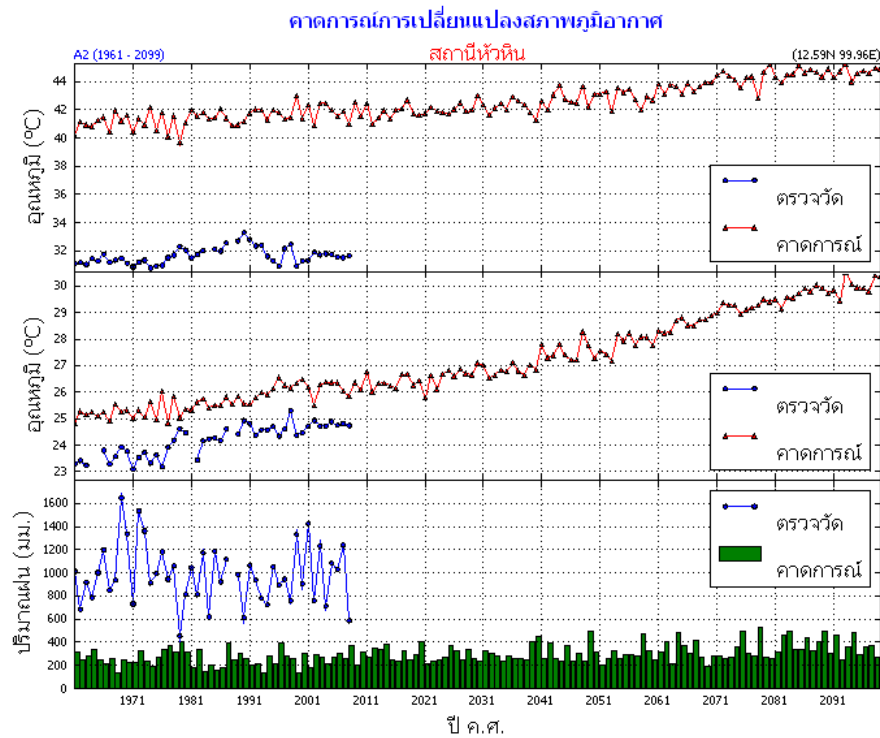
รูปที่ 146 คาดการณ์การเปลี่ยนแปลงภูมิอากาศ สถานีหนองพลับ

สถานีหนองพลับ จังหวัดประจวบคีรีขันธ์ ข้อมูลตรวจวัดเริ่มตั้งแต่ ค.ศ. 1974-2008

อุณหภูมิสูงสุดเฉลี่ย (บน) จากการวิเคราะห์เปรียบเทียบข้อมูลอุณหภูมิสูงสุดเฉลี่ยที่ได้จากรูปแบบจำลองมีค่าสูงกว่าอุณหภูมิที่ได้จากการตรวจวัดจริง โดยมีค่าคลาดเคลื่อน 2-3 องศาเซลเซียส สำหรับแนวโน้มอุณหภูมิสูงสุดเฉลี่ยในทศวรรษที่ 2100 (ค.ศ.2091-2100) สูงกว่าทศวรรษที่ 2000 (ค.ศ.1991-2000) ประมาณ 3-4 องศาเซลเซียส

อุณหภูมิต่ำสุดเฉลี่ย (กลาง) จากการวิเคราะห์เปรียบเทียบข้อมูลอุณหภูมิต่ำสุดเฉลี่ยที่ได้จากรูปแบบจำลองมีค่าใกล้เคียงกับอุณหภูมิที่ได้จากการตรวจวัดจริง และมีแนวโน้มไปในทิศทางเดียวกัน สำหรับในทศวรรษที่ 2100 (ค.ศ.2091-2100) พบว่าอุณหภูมิต่ำสุดเฉลี่ยสูงกว่าทศวรรษที่ 2000 (ค.ศ.1991-2000) ประมาณ 4-5 องศาเซลเซียส

ปริมาณฝน (ล่าง) จากการวิเคราะห์เปรียบเทียบข้อมูลปริมาณฝนที่ได้จากรูปแบบจำลองมีค่าต่ำกว่าปริมาณฝนที่ได้จากการตรวจวัดจริง โดยคลาดเคลื่อนประมาณ 400-600 มม. สำหรับแนวโน้มปริมาณฝนในทศวรรษที่ 2100 (ค.ศ.2091-2100) มีแนวโน้มสูงขึ้น



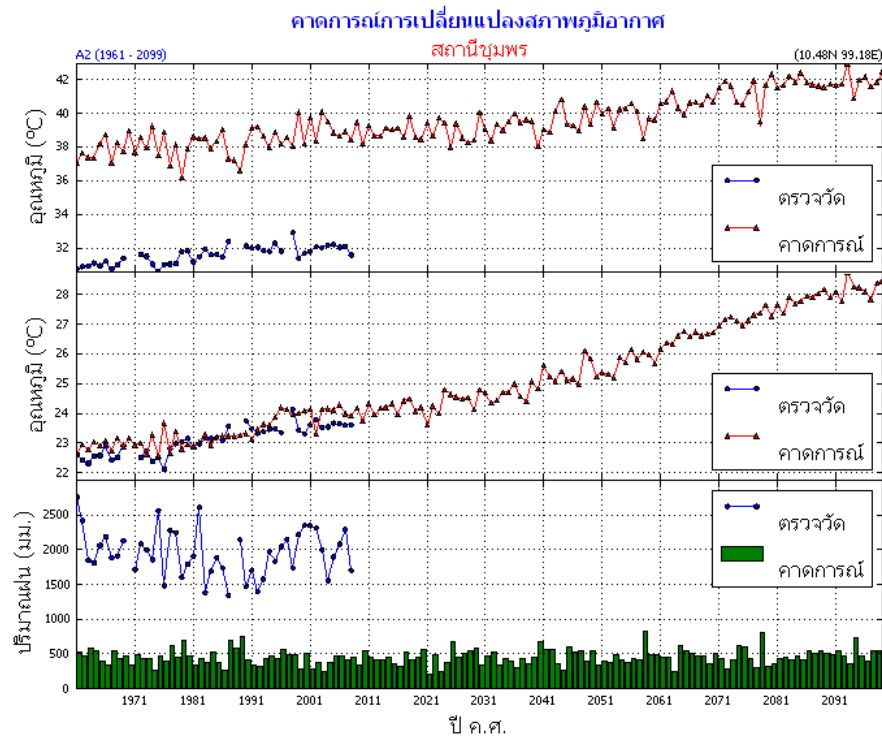
รูปที่ 147 คาดการณ์การเปลี่ยนแปลงภูมิอากาศ สถานีหัวหิน

สถานีหัวหิน จังหวัดประจวบคีรีขันธ์

อุณหภูมิสูงสุดเฉลี่ย (บน) จากการวิเคราะห์เปรียบเทียบข้อมูลอุณหภูมิสูงสุดเฉลี่ยที่ได้จากรูปแบบจำลองมีค่าสูงกว่าอุณหภูมิที่ได้จากการตรวจวัดจริง โดยมีค่าคลาดเคลื่อนเกือบ 10 องศาเซลเซียส สำหรับแนวโน้มอุณหภูมิสูงสุดเฉลี่ยในทศวรรษที่ 2100 (ค.ศ.2091-2100) สูงกว่าทศวรรษที่ 2000 (ค.ศ.1991-2000) ประมาณ 2-3 องศาเซลเซียส

อุณหภูมิต่ำสุดเฉลี่ย (กลาง) จากการวิเคราะห์เปรียบเทียบข้อมูลอุณหภูมิต่ำสุดเฉลี่ยที่ได้จากรูปแบบจำลองมีค่าสูงกว่าอุณหภูมิที่ได้จากการตรวจวัดจริง โดยมีความคลาดเคลื่อนประมาณ 1-2 องศาเซลเซียส แต่มีแนวโน้มไปในทิศทางเดียวกัน สำหรับในทศวรรษที่ 2100 (ค.ศ.2091-2100) พบว่า อุณหภูมิต่ำสุดเฉลี่ยสูงกว่าทศวรรษที่ 2000 (ค.ศ.1991-2000) ประมาณ 4-5 องศาเซลเซียส

ปริมาณฝน (ล่าง) จากการวิเคราะห์เปรียบเทียบข้อมูลปริมาณฝนที่ได้จากรูปแบบจำลองมีค่าต่ำกว่าปริมาณฝนที่ได้จากการตรวจวัดจริงมาก สำหรับแนวโน้มปริมาณฝนในทศวรรษที่ 2100 (ค.ศ.2091-2100) มีแนวโน้มสูงขึ้น



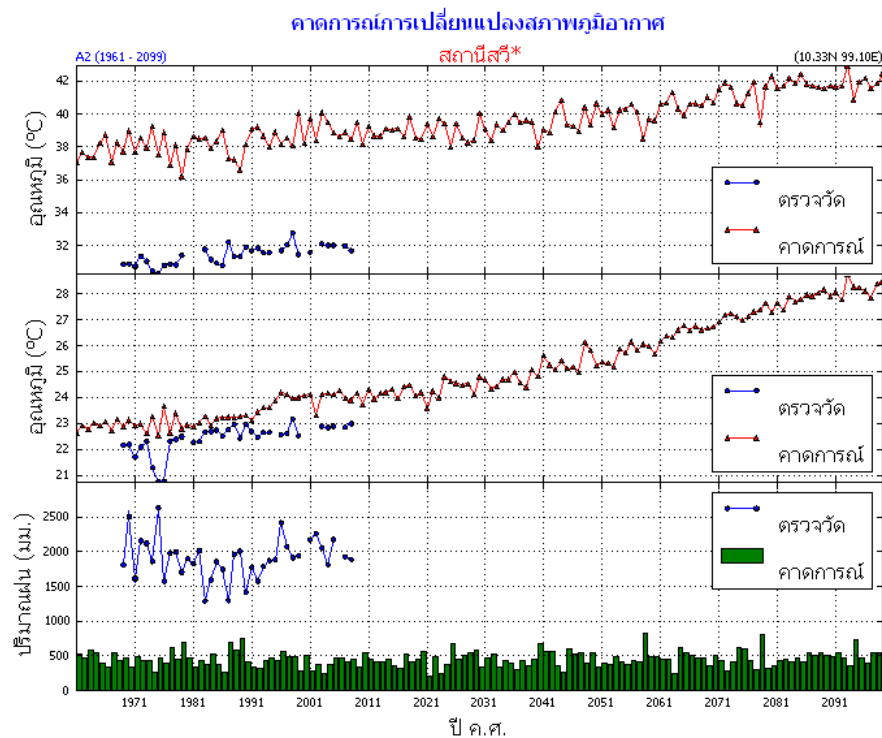
รูปที่ 148 คาดการณ์การเปลี่ยนแปลงภูมิอากาศ สถานีชุมพร

สถานีชุมพร

อุณหภูมิสูงสุดเฉลี่ย (บน) จากการวิเคราะห์เปรียบเทียบข้อมูลอุณหภูมิสูงสุดเฉลี่ยที่ได้จากรูปแบบจำลองมีค่าสูงกว่าอุณหภูมิที่ได้จากการตรวจวัดจริง โดยมีค่าคลาดเคลื่อน 5-6 องศาเซลเซียส สำหรับแนวโน้มอุณหภูมิสูงสุดเฉลี่ยในทศวรรษที่ 2100 (ค.ศ.2091-2100) สูงกว่าทศวรรษที่ 2000 (ค.ศ.1991-2000) ประมาณ 3-4 องศาเซลเซียส

อุณหภูมิต่ำสุดเฉลี่ย (กลาง) จากการวิเคราะห์เปรียบเทียบข้อมูลอุณหภูมิต่ำสุดเฉลี่ยที่ได้จากรูปแบบจำลองมีค่าใกล้เคียงกับอุณหภูมิที่ได้จากการตรวจวัดจริง และมีแนวโน้มไปในทิศทางเดียวกัน สำหรับในทศวรรษที่ 2100 (ค.ศ.2091-2100) พบว่าอุณหภูมิต่ำสุดเฉลี่ยสูงกว่าทศวรรษที่ 2000 (ค.ศ.1991-2000) ประมาณ 4-5 องศาเซลเซียส

ปริมาณฝน (ล่าง) จากการวิเคราะห์เปรียบเทียบข้อมูลปริมาณฝนที่ได้จากรูปแบบจำลองมีค่าต่ำกว่าปริมาณฝนที่ได้จากการตรวจวัดจริงมาก สำหรับแนวโน้มปริมาณฝนในทศวรรษที่ 2100 (ค.ศ.2091-2100) มีแนวโน้มสูงขึ้นเล็กน้อย



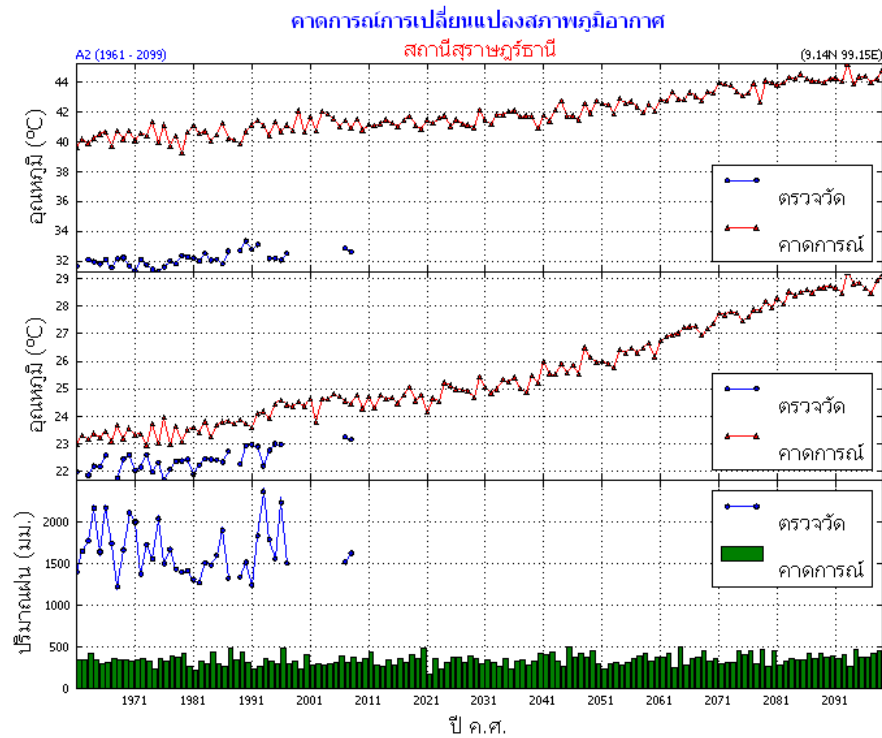
รูปที่ 149 คาดการณ์การเปลี่ยนแปลงภูมิอากาศ สถานีสวี

สถานีสวี จังหวัดชุมพร ข้อมูลตรวจวัดเริ่มตั้งแต่ ค.ศ. 1969-2008

อุณหภูมิสูงสุดเฉลี่ย (บน) จากการวิเคราะห์เปรียบเทียบข้อมูลอุณหภูมิสูงสุดเฉลี่ยที่ได้จากรูปแบบจำลองมีค่าสูงกว่าอุณหภูมิที่ได้จากการตรวจวัดจริง โดยมีค่าคลาดเคลื่อน 5-6 องศาเซลเซียส สำหรับแนวโน้มอุณหภูมิสูงสุดเฉลี่ยในทศวรรษที่ 2100 (ค.ศ.2091-2100) สูงกว่าทศวรรษที่ 2000 (ค.ศ.1991-2000) ประมาณ 3-4 องศาเซลเซียส

อุณหภูมิต่ำสุดเฉลี่ย (กลาง) จากการวิเคราะห์เปรียบเทียบข้อมูลอุณหภูมิต่ำสุดเฉลี่ยที่ได้จากรูปแบบจำลองมีค่าใกล้เคียงกับอุณหภูมิที่ได้จากการตรวจวัดจริง และมีแนวโน้มไปในทิศทางเดียวกัน สำหรับในทศวรรษที่ 2100 (ค.ศ.2091-2100) พบว่าอุณหภูมิต่ำสุดเฉลี่ยสูงกว่าทศวรรษที่ 2000 (ค.ศ.1991-2000) ประมาณ 4-5 องศาเซลเซียส

ปริมาณฝน (ล่าง) จากการวิเคราะห์เปรียบเทียบข้อมูลปริมาณฝนที่ได้จากรูปแบบจำลองมีค่าต่ำกว่าปริมาณฝนที่ได้จากการตรวจวัดจริงมาก สำหรับแนวโน้มปริมาณฝนในทศวรรษที่ 2100 (ค.ศ. 2091-2100) มีแนวโน้มสูงขึ้นเล็กน้อย



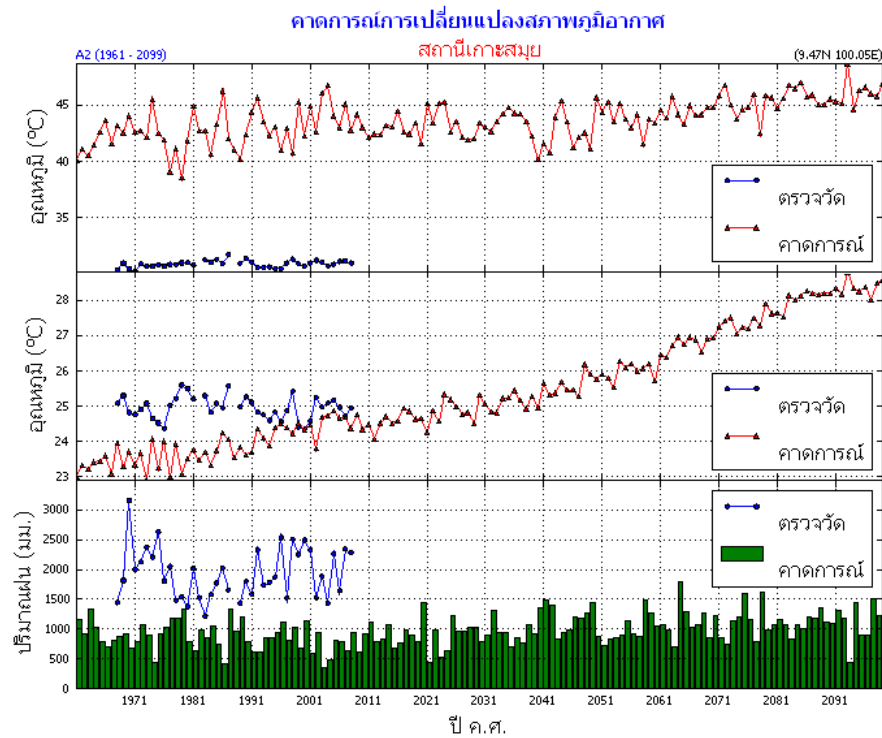
รูปที่ 150 คาดการณ์การเปลี่ยนแปลงภูมิอากาศ สถานีสุราษฎร์ธานี

จังหวัดสุราษฎร์ธานี

อุณหภูมิสูงสุดเฉลี่ย (บน) จากการวิเคราะห์เปรียบเทียบข้อมูลอุณหภูมิสูงสุดเฉลี่ยที่ได้จากรูปแบบจำลองมีค่าสูงกว่าอุณหภูมิที่ได้จากการตรวจวัดจริง โดยมีค่าคลาดเคลื่อนประมาณ 8 องศาเซลเซียส สำหรับแนวโน้มอุณหภูมิสูงสุดเฉลี่ยในทศวรรษที่ 2100 (ค.ศ.2091-2100) สูงกว่าทศวรรษที่ 2000 (ค.ศ.1991-2000) ประมาณ 4 องศาเซลเซียส

อุณหภูมิต่ำสุดเฉลี่ย (กลาง) จากการวิเคราะห์เปรียบเทียบข้อมูลอุณหภูมิต่ำสุดเฉลี่ยที่ได้จากรูปแบบจำลองมีค่าสูงกว่าอุณหภูมิที่ได้จากการตรวจวัดจริง โดยมีความคลาดเคลื่อนประมาณ 1 องศาเซลเซียส แต่แนวโน้มไปในทิศทางเดียวกัน สำหรับในทศวรรษที่ 2100 (ค.ศ.2091-2100) พบว่า อุณหภูมิต่ำสุดเฉลี่ยสูงกว่าทศวรรษที่ 2000 (ค.ศ.1991-2000) ประมาณ 4-5 องศาเซลเซียส

ปริมาณฝน (ล่าง) จากการวิเคราะห์เปรียบเทียบข้อมูลปริมาณฝนที่ได้จากรูปแบบจำลองมีค่าต่ำกว่าปริมาณฝนที่ได้จากการตรวจวัดจริงมาก สำหรับแนวโน้มปริมาณฝนในทศวรรษที่ 2100 (ค.ศ.2091-2100) ยังไม่ชัดเจน



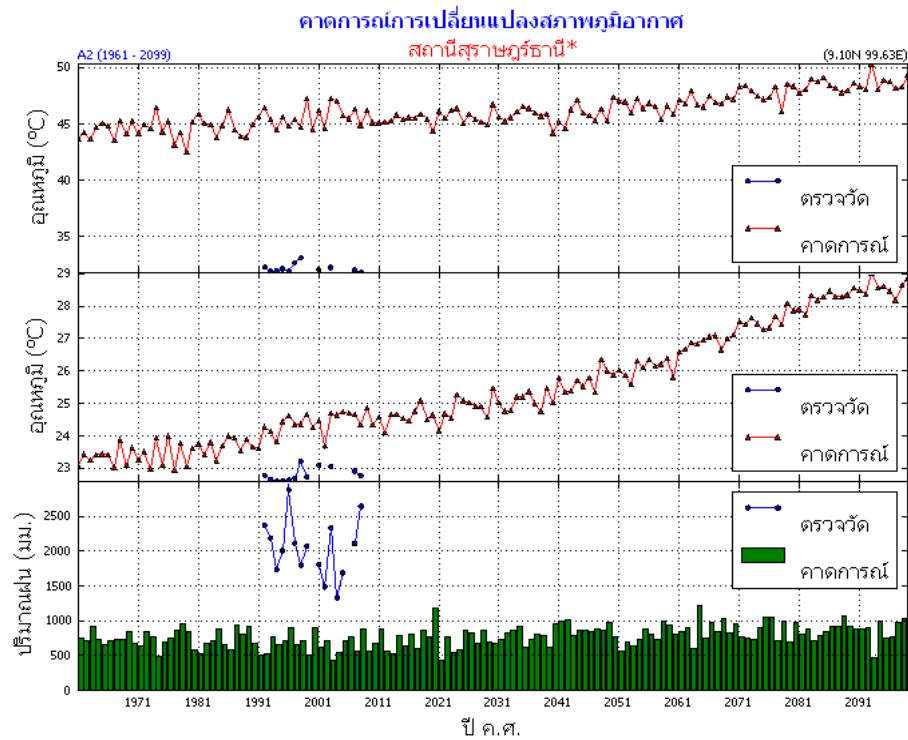
รูปที่ 151 คาดการณ์การเปลี่ยนแปลงภูมิอากาศ สถานีเกาะสมุย

สถานีเกาะสมุย จังหวัดสุราษฎร์ธานี ข้อมูลตรวจวัดเริ่มตั้งแต่ 1968-2008

อุณหภูมิสูงสุดเฉลี่ย (บน) จากการวิเคราะห์เปรียบเทียบข้อมูลอุณหภูมิสูงสุดเฉลี่ยที่ได้จากรูปแบบจำลองมีค่าสูงกว่าอุณหภูมิที่ได้จากการตรวจวัดจริง โดยมีค่าคลาดเคลื่อนประมาณ 8-10 องศาเซลเซียส สำหรับแนวโน้มอุณหภูมิสูงสุดเฉลี่ยในทศวรรษที่ 2100 (ค.ศ.2091-2100) สูงกว่าทศวรรษที่ 2000 (ค.ศ.1991-2000) ประมาณ 3-4 องศาเซลเซียส

อุณหภูมิต่ำสุดเฉลี่ย (กลาง) จากการวิเคราะห์เปรียบเทียบข้อมูลอุณหภูมิต่ำสุดเฉลี่ยที่ได้จากรูปแบบจำลองมีความคลาดเคลื่อนเล็กน้อยกับอุณหภูมิที่ได้จากการตรวจวัดจริง สำหรับในทศวรรษที่ 2100 (ค.ศ. 2091-2100) พบว่า อุณหภูมิต่ำสุดเฉลี่ยสูงกว่าทศวรรษที่ 2000 (ค.ศ.1991-2000) ประมาณ 4-5 องศาเซลเซียส

ปริมาณฝน (ล่าง) จากการวิเคราะห์เปรียบเทียบข้อมูลปริมาณฝนที่ได้จากรูปแบบจำลองมีค่าต่ำกว่าปริมาณฝนที่ได้จากการตรวจวัดจริง โดยมีความคลาดเคลื่อนประมาณ 800-1000 มม. สำหรับแนวโน้มปริมาณฝนในทศวรรษที่ 2100 (ค.ศ.2091-2100) มีแนวโน้มสูงขึ้น



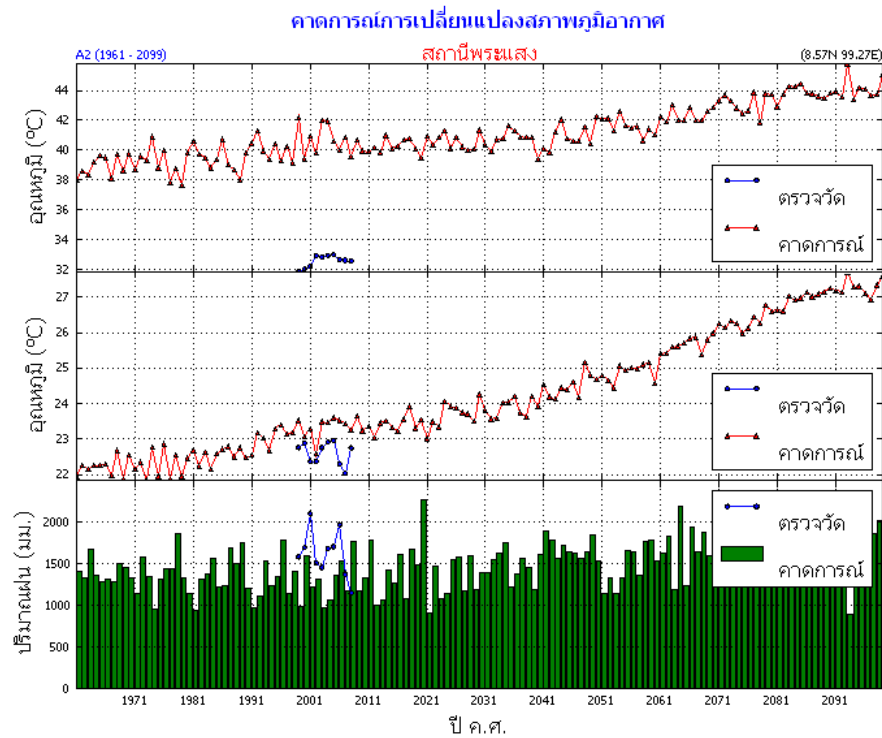
รูปที่ 152 คาดการณ์การเปลี่ยนแปลงภูมิอากาศ สถานีอุตุนิยมวิทยาเกษตรสุราษฎร์ธานี

จังหวัดสุราษฎร์ธานีข้อมูลที่น่าวิเคราะห์เป็นข้อมูลของสถานีอุตุนิยมวิทยาเกษตรตรวจวัดตั้งแต่ค.ศ.1991-2008

อุณหภูมิสูงสุดเฉลี่ย (บน) จากการวิเคราะห์เปรียบเทียบข้อมูลอุณหภูมิสูงสุดเฉลี่ยที่ได้จากรูปแบบจำลองมีค่าสูงกว่าอุณหภูมิที่ได้จากการตรวจวัดจริง โดยมีค่าคลาดเคลื่อนประมาณ 8-10 องศาเซลเซียส สำหรับแนวโน้มอุณหภูมิสูงสุดเฉลี่ยในทศวรรษที่ 2100 (ค.ศ.2091-2100) สูงกว่าทศวรรษที่ 2000 (ค.ศ.1991-2000) ประมาณ 3-4 องศาเซลเซียส

อุณหภูมิต่ำสุดเฉลี่ย (กลาง) จากการวิเคราะห์เปรียบเทียบข้อมูลอุณหภูมิต่ำสุดเฉลี่ยที่ได้จากรูปแบบจำลองมีค่าสูงกว่าอุณหภูมิที่ได้จากการตรวจวัดจริง โดยมีความคลาดเคลื่อนประมาณ 1-2 องศาเซลเซียส สำหรับในทศวรรษที่ 2100 (ค.ศ.2091-2100) พบว่าอุณหภูมิต่ำสุดเฉลี่ยสูงกว่าทศวรรษที่ 2000 (ค.ศ.1991-2000) ประมาณ 4-5 องศาเซลเซียส

ปริมาณฝน (ล่าง) จากการวิเคราะห์เปรียบเทียบข้อมูลปริมาณฝนที่ได้จากรูปแบบจำลองมีค่าต่ำกว่าปริมาณฝนที่ได้จากการตรวจวัดจริงมาก สำหรับแนวโน้มปริมาณฝนในทศวรรษที่ 2100 (ค.ศ.2091-2100) มีแนวโน้มสูงขึ้น



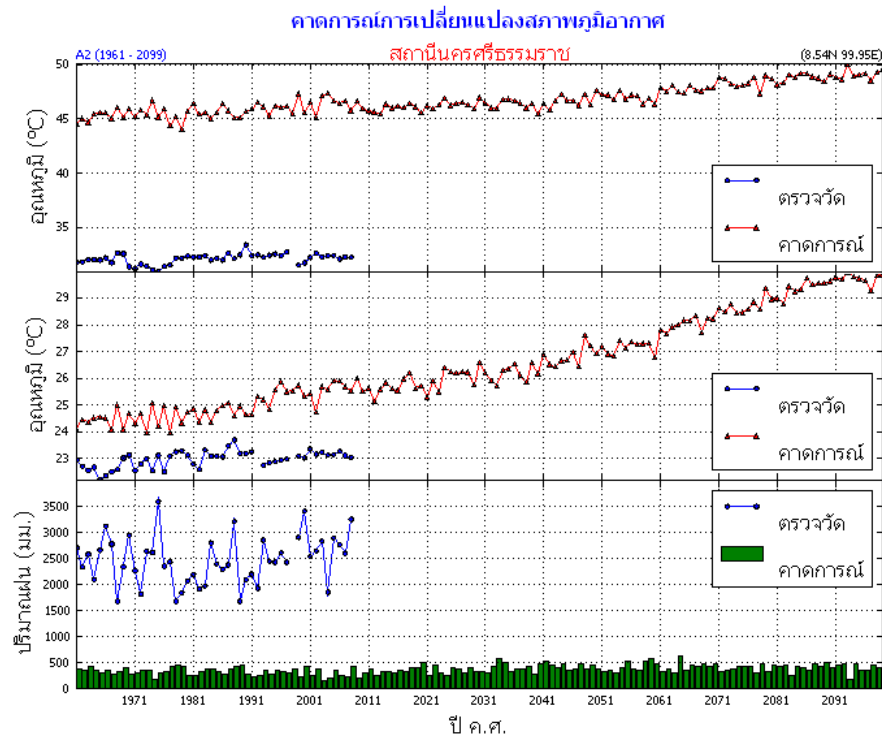
รูปที่ 153 คาดการณ์การเปลี่ยนแปลงภูมิอากาศ สถานีพระแสง

สถานีพระแสง จังหวัดสุราษฎร์ธานี ข้อมูลตรวจวัดเริ่มตั้งแต่ ค.ศ. 1999-2008

อุณหภูมิสูงสุดเฉลี่ย (บน) จากการวิเคราะห์เปรียบเทียบข้อมูลอุณหภูมิสูงสุดเฉลี่ยที่ได้จากรูปแบบจำลองมีค่าสูงกว่าอุณหภูมิที่ได้จากการตรวจวัดจริง โดยมีความคลาดเคลื่อนประมาณ 8-10 องศาเซลเซียส สำหรับแนวโน้มอุณหภูมิสูงสุดเฉลี่ยในทศวรรษที่ 2100 (ค.ศ.2091-2100) สูงกว่าทศวรรษที่ 2000 (ค.ศ.1991-2000) ประมาณ 4-5 องศาเซลเซียส

อุณหภูมิต่ำสุดเฉลี่ย (ล่าง) จากการวิเคราะห์เปรียบเทียบข้อมูลอุณหภูมิต่ำสุดเฉลี่ยที่ได้จากรูปแบบจำลองมีความคลาดเคลื่อนเล็กน้อยกับอุณหภูมิที่ได้จากการตรวจวัดจริง สำหรับในทศวรรษที่ 2100 (ค.ศ.2091-2100) พบว่า อุณหภูมิต่ำสุดเฉลี่ยสูงกว่าทศวรรษที่ 2000 (ค.ศ.1991-2000) ประมาณ 4-5 องศาเซลเซียส

ปริมาณฝน (กลาง) จากการวิเคราะห์เปรียบเทียบข้อมูลปริมาณฝนที่ได้จากรูปแบบจำลองมีค่าต่ำกว่าปริมาณฝนที่ได้จากการตรวจวัดจริง โดยมีความคลาดเคลื่อนเล็กน้อย สำหรับแนวโน้มปริมาณฝนในทศวรรษที่ 2100 (ค.ศ.2091-2100) มีแนวโน้มสูงขึ้น



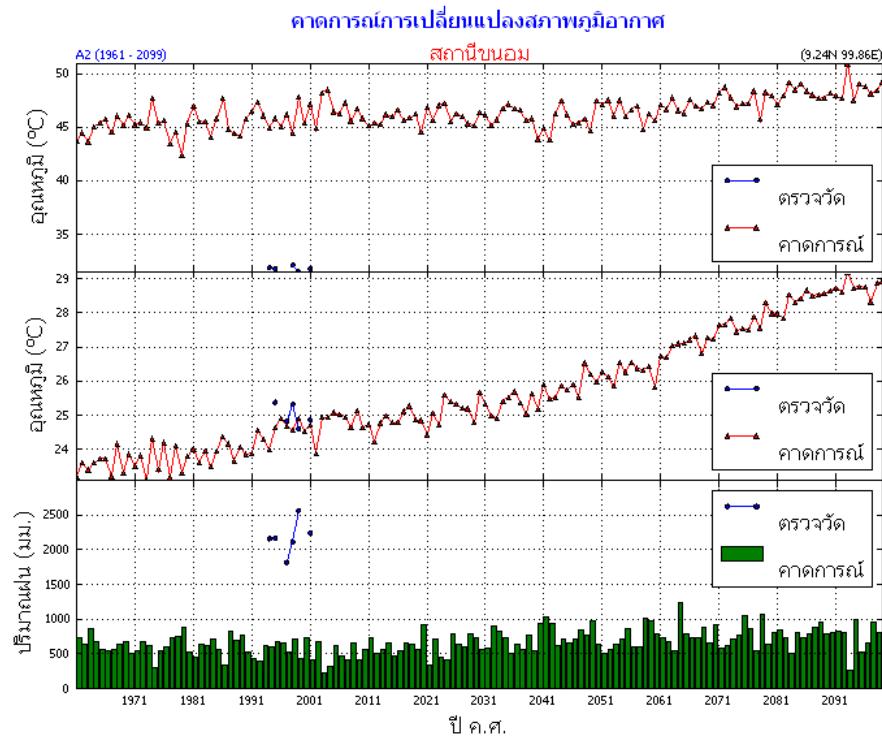
รูปที่ 154 คาดการณ์การเปลี่ยนแปลงภูมิอากาศ สถานีนครศรีธรรมราช

สถานีนครศรีธรรมราช

อุณหภูมิสูงสุดเฉลี่ย (บน) จากการวิเคราะห์เปรียบเทียบข้อมูลอุณหภูมิสูงสุดเฉลี่ยที่ได้จากรูปแบบจำลอง มีค่าสูงกว่าอุณหภูมิที่ได้จากการตรวจวัดจริง โดยมีความคลาดเคลื่อน มากกว่า 10 องศาเซลเซียส สำหรับ แนวโน้มอุณหภูมิสูงสุดเฉลี่ยในทศวรรษที่ 2100 (ค.ศ.2091-2100) สูงกว่าทศวรรษที่ 2000 (ค.ศ.1991-2000) ประมาณ 4-5 องศาเซลเซียส

อุณหภูมิต่ำสุดเฉลี่ย (กลาง) จากการวิเคราะห์เปรียบเทียบข้อมูลอุณหภูมิต่ำสุดเฉลี่ยที่ได้จากรูปแบบจำลอง มีค่าสูงกว่าอุณหภูมิที่ได้จากการตรวจวัดจริง โดยมีความคลาดเคลื่อน 1-2 องศาเซลเซียส สำหรับใน ทศวรรษที่ 2100 (ค.ศ.2091-2100) พบว่า อุณหภูมิต่ำสุดเฉลี่ยสูงกว่าทศวรรษที่ 2000 (ค.ศ.1991-2000) ประมาณ 4-5 องศาเซลเซียส

ปริมาณฝน (ล่าง) จากการวิเคราะห์เปรียบเทียบข้อมูลปริมาณฝนที่ได้จากรูปแบบจำลองมีค่าต่ำกว่า ปริมาณฝนที่ได้จากการตรวจวัดจริงมาก สำหรับแนวโน้มปริมาณฝนในทศวรรษที่ 2100 (ค.ศ.2091-2100) ยังไม่ชัดเจน



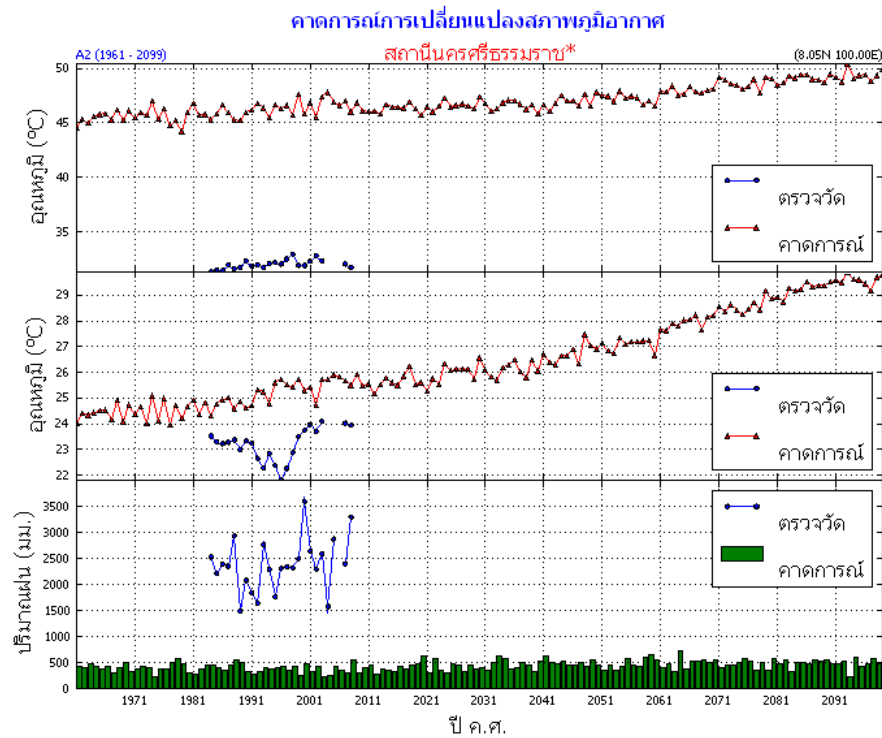
รูปที่ 155 คาดการณ์การเปลี่ยนแปลงภูมิอากาศ สถานีชนอม

สถานีชนอม จังหวัดนครศรีธรรมราช เนื่องจากข้อมูลที่ได้จากการตรวจไม่สมบูรณ์ จึงพิจารณาข้อมูลที่ได้จากรูปแบบจำลอง

อุณหภูมิสูงสุดเฉลี่ย (บน) จากการวิเคราะห์อุณหภูมิสูงสุดเฉลี่ยที่ได้จากรูปแบบจำลองพบว่ามีแนวโน้มสูงขึ้น และในช่วงทศวรรษที่ 2100 (ค.ศ.2091-2100) อุณหภูมิสูงสุดเฉลี่ยสูงกว่าทศวรรษที่ 2000 (ค.ศ.1991-2000) ประมาณ 2-3 องศาเซลเซียส

อุณหภูมิต่ำสุดเฉลี่ย (กลาง) จากการวิเคราะห์อุณหภูมิต่ำสุดเฉลี่ยที่ได้จากรูปแบบจำลอง พบว่ามีแนวโน้มสูงขึ้นชัดเจน โดยในช่วงทศวรรษที่ 2100 (ค.ศ.2091-2100) อุณหภูมิต่ำสุดเฉลี่ยสูงกว่าทศวรรษที่ 2000 (ค.ศ.1991-2000) ประมาณ 4-5 องศาเซลเซียส

ปริมาณฝน (ล่าง) จากการวิเคราะห์ปริมาณฝนที่ได้จากรูปแบบจำลอง ในทศวรรษที่ 2100 (ค.ศ. 2091-2100) มีแนวโน้มสูงขึ้น



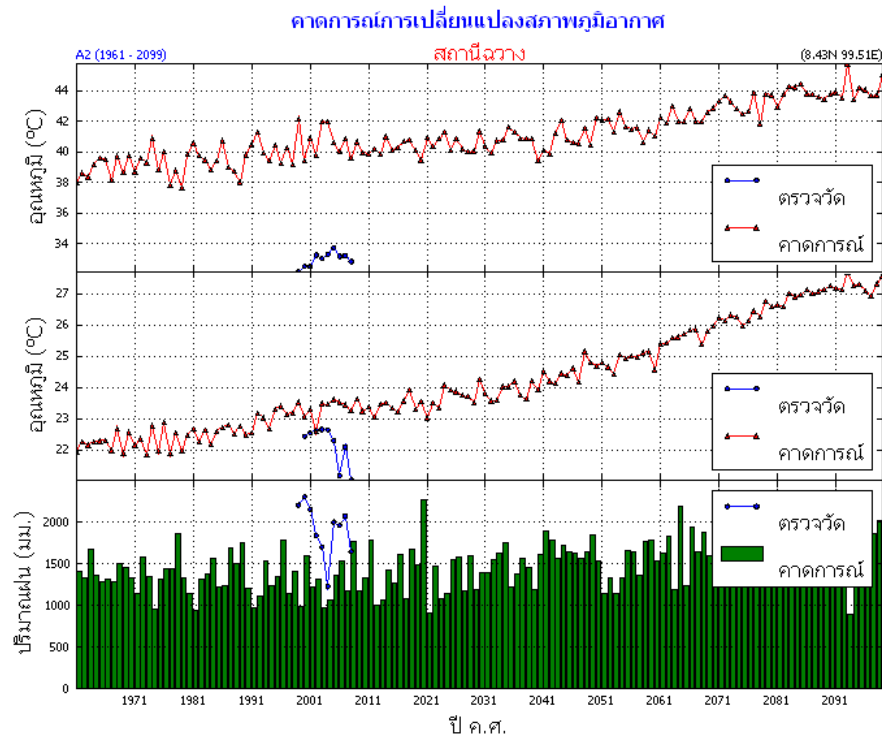
รูปที่ 156 การคาดการณ์การเปลี่ยนแปลงภูมิอากาศ สถานีนครศรีธรรมราช

จังหวัดนครศรีธรรมราช ข้อมูลตรวจวัดเริ่มตั้งแต่ ค.ศ. 1984-2008

อุณหภูมิสูงสุดเฉลี่ย (บน) จากการวิเคราะห์เปรียบเทียบข้อมูลอุณหภูมิสูงสุดเฉลี่ยที่ได้จากรูปแบบจำลอง มีค่าสูงกว่าอุณหภูมิที่ได้จากการตรวจวัดจริง โดยมีความคลาดเคลื่อน มากกว่า 10 องศาเซลเซียส สำหรับ แนวโน้มอุณหภูมิสูงสุดเฉลี่ยในทศวรรษที่ 2100 (ค.ศ.2091-2100) สูงกว่าทศวรรษที่ 2000 (ค.ศ.1991-2000) ประมาณ 2-3 องศาเซลเซียส

อุณหภูมิต่ำสุดเฉลี่ย (กลาง) จากการวิเคราะห์เปรียบเทียบข้อมูลอุณหภูมิต่ำสุดเฉลี่ยที่ได้จากรูปแบบจำลอง มีค่าสูงกว่าอุณหภูมิที่ได้จากการตรวจวัดจริง โดยมีความคลาดเคลื่อน 1-2 องศาเซลเซียส สำหรับใน ทศวรรษที่ 2100 (ค.ศ.2091-2100) พบว่าอุณหภูมิต่ำสุดเฉลี่ยสูงกว่าทศวรรษที่ 2000 (ค.ศ.1991-2000) ประมาณ 4-5 องศาเซลเซียส

ปริมาณฝน (ล่าง) จากการวิเคราะห์เปรียบเทียบข้อมูลปริมาณฝนที่ได้จากรูปแบบจำลองมีค่าต่ำกว่า ปริมาณฝนที่ได้จากการตรวจวัดจริงมาก สำหรับแนวโน้มปริมาณฝนในทศวรรษที่ 2100 (ค.ศ.2091-2100) มี แนวโน้มสูงขึ้น



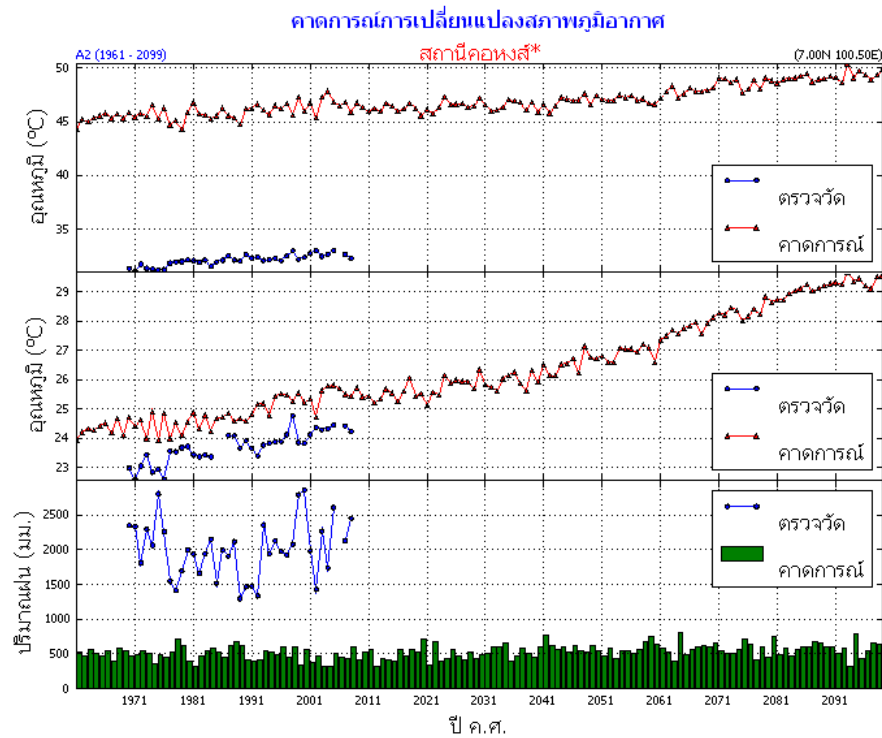
รูปที่ 157 คาดการณ์การเปลี่ยนแปลงภูมิอากาศ สถานีฉวาง

สถานีฉวาง จังหวัดนครศรีธรรมราช ข้อมูลตรวจวัดเริ่มตั้งแต่ ค.ศ.1999-2008

อุณหภูมิสูงสุดเฉลี่ย (บน) จากการวิเคราะห์เปรียบเทียบข้อมูลอุณหภูมิสูงสุดเฉลี่ยที่ได้จากรูปแบบจำลอง มีค่าสูงกว่าอุณหภูมิที่ได้จากการตรวจวัดจริง โดยมีความคลาดเคลื่อน 6-7 องศาเซลเซียส สำหรับแนวโน้มอุณหภูมิสูงสุดเฉลี่ยในทศวรรษที่ 2100 (ค.ศ.2091-2100) สูงกว่าทศวรรษที่ 2000 (ค.ศ.1991-2000) ประมาณ 4-5 องศาเซลเซียส

อุณหภูมิต่ำสุดเฉลี่ย (กลาง) จากการวิเคราะห์เปรียบเทียบข้อมูลอุณหภูมิต่ำสุดเฉลี่ยที่ได้จากรูปแบบจำลอง มีค่าสูงกว่าอุณหภูมิที่ได้จากการตรวจวัดจริง โดยมีความคลาดเคลื่อน 1-2 องศาเซลเซียส สำหรับในทศวรรษที่ 2100 (ค.ศ.2091-2100) พบว่าอุณหภูมิต่ำสุดเฉลี่ยสูงกว่าทศวรรษที่ 2000 (ค.ศ.1991-2000) ประมาณ 4-5 องศาเซลเซียส

ปริมาณฝน (ล่าง) จากการวิเคราะห์เปรียบเทียบข้อมูลปริมาณฝนที่ได้จากรูปแบบจำลองมีค่าต่ำกว่าปริมาณฝนที่ได้จากการตรวจวัดจริง โดยมีความคลาดเคลื่อนประมาณ 500-800 มม. สำหรับแนวโน้มปริมาณฝนในทศวรรษที่ 2100 (ค.ศ.2091-2100) มีแนวโน้มสูงขึ้น



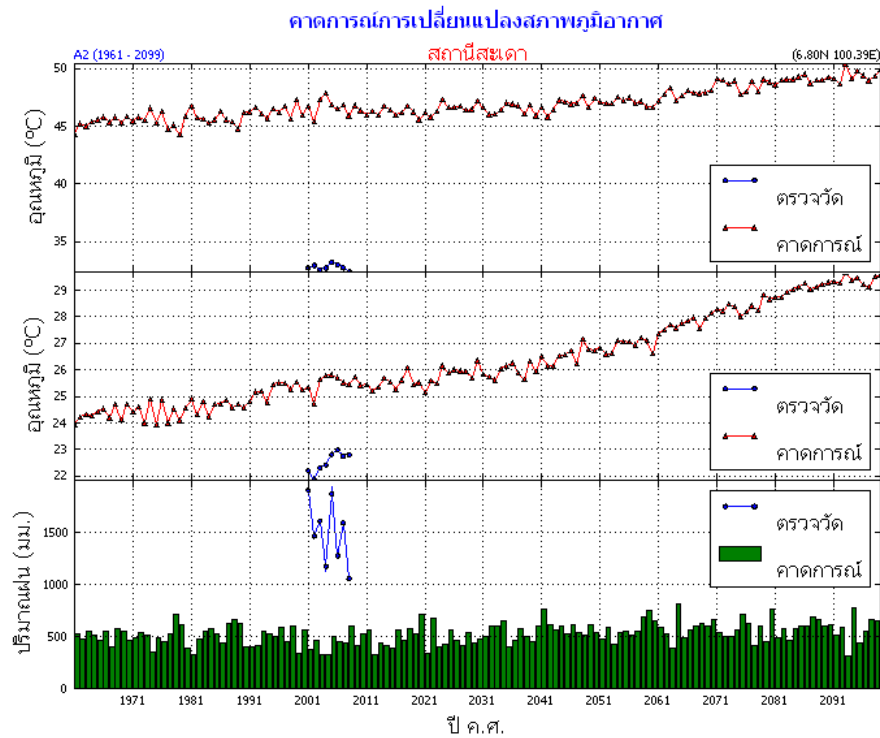
รูปที่ 158 คาดการณ์การเปลี่ยนแปลงภูมิอากาศ สถานีคองหงส์

สถานีคองหงส์ จังหวัดสงขลา ข้อมูลตรวจวัดเริ่มตั้งแต่ ค.ศ. 1970-2008

อุณหภูมิสูงสุดเฉลี่ย (บน) จากการวิเคราะห์เปรียบเทียบข้อมูลอุณหภูมิสูงสุดเฉลี่ยที่ได้จากรูปแบบจำลองมีค่าสูงกว่าอุณหภูมิที่ได้จากการตรวจวัดจริง โดยมีความคลาดเคลื่อน เกือบ 10 องศาเซลเซียส สำหรับแนวโน้มอุณหภูมิสูงสุดเฉลี่ยในทศวรรษที่ 2100 (ค.ศ.2091-2100) สูงกว่าทศวรรษที่ 2000 (ค.ศ.1991-2000) ประมาณ 2-3 องศาเซลเซียส

อุณหภูมิต่ำสุดเฉลี่ย (กลาง) จากการวิเคราะห์เปรียบเทียบข้อมูลอุณหภูมิต่ำสุดเฉลี่ยที่ได้จากรูปแบบจำลองมีค่าสูงกว่าอุณหภูมิที่ได้จากการตรวจวัดจริง โดยมีความคลาดเคลื่อน 1-2 องศาเซลเซียส แต่มีแนวโน้มไปในทิศทางเดียวกัน สำหรับในทศวรรษที่ 2100 (ค.ศ.2091-2100) พบว่า อุณหภูมิต่ำสุดเฉลี่ยสูงกว่าทศวรรษที่ 2000 (ค.ศ.1991-2000) ประมาณ 4-5 องศาเซลเซียส

ปริมาณฝน (ล่าง) จากการวิเคราะห์เปรียบเทียบข้อมูลปริมาณฝนที่ได้จากรูปแบบจำลองมีค่าต่ำกว่าปริมาณฝนที่ได้จากการตรวจวัดจริงมาก สำหรับแนวโน้มปริมาณฝนในทศวรรษที่ 2100 (ค.ศ.2091-2100) มีแนวโน้มสูงขึ้น



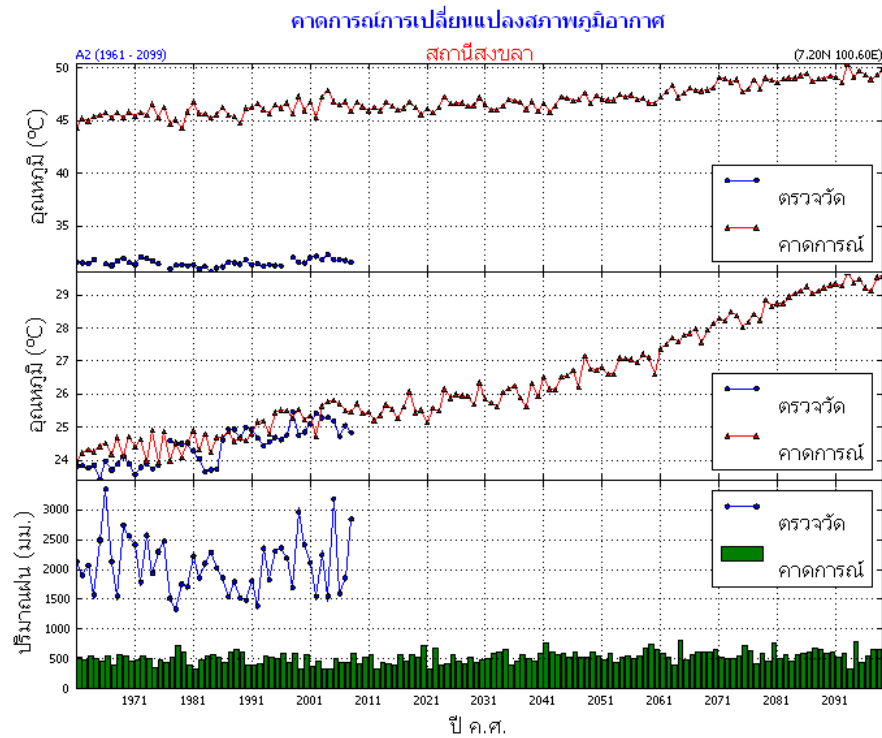
รูปที่ 159 คาดการณ์การเปลี่ยนแปลงภูมิอากาศ สถานีสะเดา

สถานีสะเดา จังหวัดสงขลา ข้อมูลตรวจวัดเริ่มตั้งแต่ ค.ศ. 2001-2008

อุณหภูมิสูงสุดเฉลี่ย (บน) จากการวิเคราะห์เปรียบเทียบข้อมูลอุณหภูมิสูงสุดเฉลี่ยที่ได้จากรูปแบบจำลองมีค่าสูงกว่าอุณหภูมิที่ได้จากการตรวจวัดจริง โดยมีค่าคลาดเคลื่อนเกือบ 10 องศาเซลเซียส สำหรับแนวโน้มอุณหภูมิสูงสุดเฉลี่ยในทศวรรษที่ 2100 (ค.ศ.2091-2100) สูงกว่าทศวรรษที่ 2000 (ค.ศ.1991-2000) ประมาณ 2-3 องศาเซลเซียส

อุณหภูมิต่ำสุดเฉลี่ย (กลาง) จากการวิเคราะห์เปรียบเทียบข้อมูลอุณหภูมิต่ำสุดเฉลี่ยที่ได้จากรูปแบบจำลองมีค่าสูงกว่าอุณหภูมิที่ได้จากการตรวจวัดจริง โดยมีความคลาดเคลื่อน 2-3 องศาเซลเซียส แต่มีแนวโน้มไปในทิศทางเดียวกัน สำหรับในทศวรรษที่ 2100 (ค.ศ.2091-2100) พบว่า อุณหภูมิต่ำสุดเฉลี่ยสูงกว่าทศวรรษที่ 2000 (ค.ศ.1991-2000) ประมาณ 4-5 องศาเซลเซียส

ปริมาณฝน (ล่าง) จากการวิเคราะห์เปรียบเทียบข้อมูลปริมาณฝนที่ได้จากรูปแบบจำลองมีค่าต่ำกว่าปริมาณฝนที่ได้จากการตรวจวัดจริงมาก สำหรับแนวโน้มปริมาณฝนในทศวรรษที่ 2100 (ค.ศ.2091-2100) มีแนวโน้มสูงขึ้น



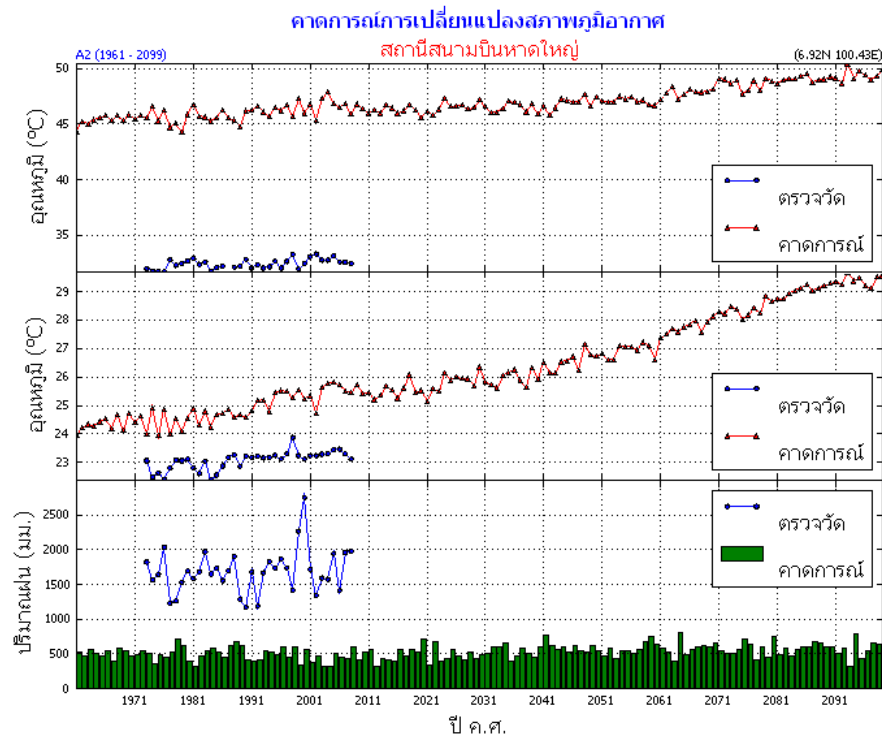
รูปที่ 160 คาดการณ์การเปลี่ยนแปลงภูมิอากาศ สถานีสงขลา

สถานีสงขลา

อุณหภูมิสูงสุดเฉลี่ย (บน) จากการวิเคราะห์เปรียบเทียบข้อมูลอุณหภูมิสูงสุดเฉลี่ยที่ได้จากรูปแบบจำลองมีค่าสูงกว่าอุณหภูมิที่ได้จากการตรวจวัดจริง โดยมีค่าคลาดเคลื่อนเกือบ 10 องศาเซลเซียส สำหรับแนวโน้มอุณหภูมิสูงสุดเฉลี่ยในทศวรรษที่ 2100 (ค.ศ.2091-2100) สูงกว่าทศวรรษที่ 2000 (ค.ศ.1991-2000) ประมาณ 2-3 องศาเซลเซียส

อุณหภูมิต่ำสุดเฉลี่ย (กลาง) จากการวิเคราะห์เปรียบเทียบข้อมูลอุณหภูมิต่ำสุดเฉลี่ยที่ได้จากรูปแบบจำลองมีค่าใกล้เคียงกับอุณหภูมิที่ได้จากการตรวจวัดจริง และมีแนวโน้มไปในทิศทางเดียวกัน สำหรับในทศวรรษที่ 2100 (ค.ศ.2091-2100) พบว่า อุณหภูมิต่ำสุดเฉลี่ยสูงกว่าทศวรรษที่ 2000 (ค.ศ.1991-2000) ประมาณ 4-5 องศาเซลเซียส

ปริมาณฝน (ล่าง) จากการวิเคราะห์เปรียบเทียบข้อมูลปริมาณฝนที่ได้จากรูปแบบจำลองมีค่าต่ำกว่าปริมาณฝนที่ได้จากการตรวจวัดจริงมาก สำหรับแนวโน้มปริมาณฝนในทศวรรษที่ 2100 (ค.ศ.2091-2100) มีแนวโน้มสูงขึ้น



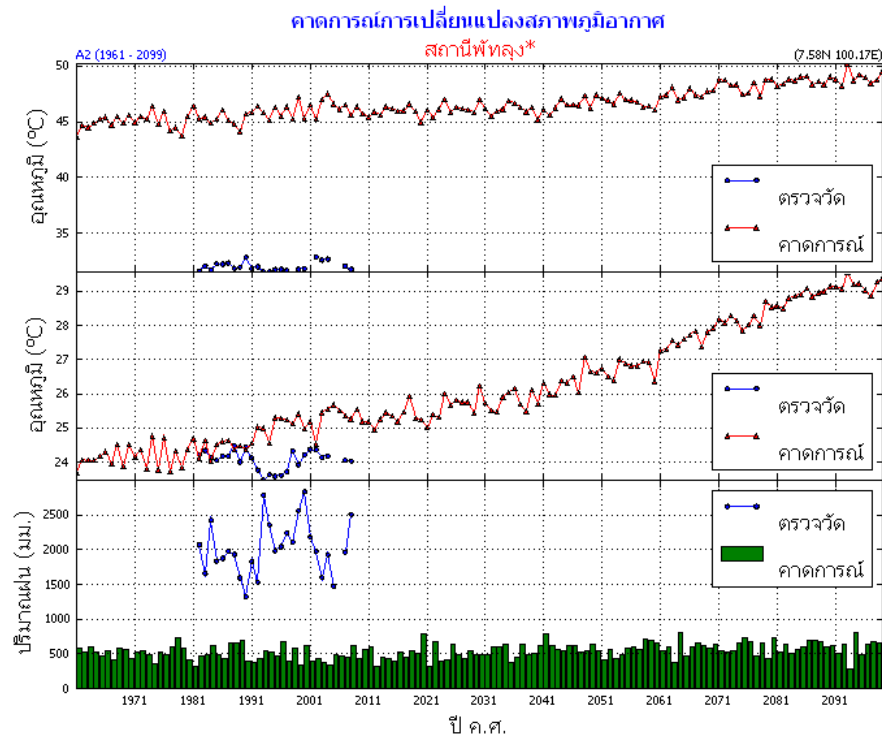
รูปที่ 161 คาดการณ์การเปลี่ยนแปลงภูมิอากาศ สถานีหาดใหญ่

สถานีสนามบินหาดใหญ่ จังหวัดสงขลา ข้อมูลตรวจวัดเริ่มตั้งแต่ 1973-2008

อุณหภูมิสูงสุดเฉลี่ย (บน) จากการวิเคราะห์เปรียบเทียบข้อมูลอุณหภูมิสูงสุดเฉลี่ยที่ได้จากรูปแบบจำลองมีค่าสูงกว่าอุณหภูมิที่ได้จากการตรวจวัดจริง โดยมีค่าคลาดเคลื่อนเกือบ 10 องศาเซลเซียส สำหรับแนวโน้มอุณหภูมิสูงสุดเฉลี่ยในทศวรรษที่ 2100 (ค.ศ.2091-2100) สูงกว่าทศวรรษที่ 2000 (ค.ศ.1991-2000) ประมาณ 2-3 องศาเซลเซียส

อุณหภูมิต่ำสุดเฉลี่ย (กลาง) จากการวิเคราะห์เปรียบเทียบข้อมูลอุณหภูมิต่ำสุดเฉลี่ยที่ได้จากรูปแบบจำลองมีค่าสูงกว่าอุณหภูมิที่ได้จากการตรวจวัดจริง โดยมีความคลาดเคลื่อน 1-2 องศาเซลเซียส แต่มีแนวโน้มไปในทิศทางเดียวกัน สำหรับในทศวรรษที่ 2100 (ค.ศ.2091-2100) พบว่า อุณหภูมิต่ำสุดเฉลี่ยสูงกว่าทศวรรษที่ 2000 (ค.ศ.1991-2000) ประมาณ 4-5 องศาเซลเซียส

ปริมาณฝน (ล่าง) จากการวิเคราะห์เปรียบเทียบข้อมูลปริมาณฝนที่ได้จากรูปแบบจำลองมีค่าต่ำกว่าปริมาณฝนที่ได้จากการตรวจวัดจริงมาก สำหรับแนวโน้มปริมาณฝนในทศวรรษที่ 2100 (ค.ศ.2091-2100) มีแนวโน้มสูงขึ้นเล็กน้อย



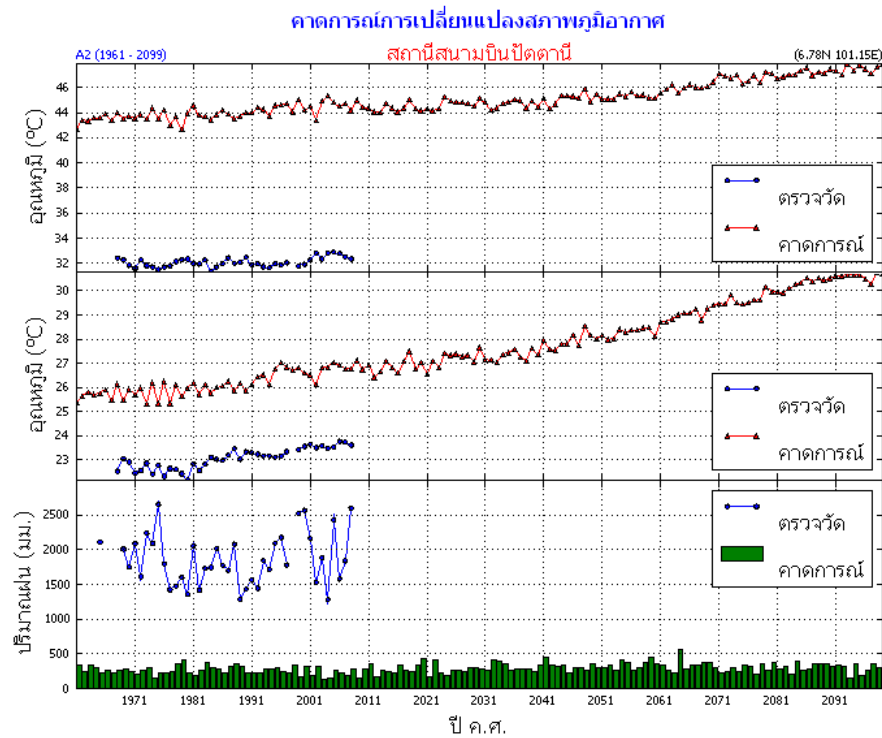
รูปที่ 162 คาดการณ์การเปลี่ยนแปลงภูมิอากาศ สถานีพัทลุง

สถานีพัทลุง ข้อมูลตรวจวัดเริ่มตั้งแต่ ค.ศ.1981-2008

อุณหภูมิสูงสุดเฉลี่ย (บน) จากการวิเคราะห์เปรียบเทียบข้อมูลอุณหภูมิสูงสุดเฉลี่ยที่ได้จากรูปแบบจำลอง มีค่าสูงกว่าอุณหภูมิที่ได้จากการตรวจวัดจริง โดยมีความคลาดเคลื่อนเกือบ 10 องศาเซลเซียส สำหรับแนวโน้มอุณหภูมิสูงสุดเฉลี่ยในทศวรรษที่ 2100 (ค.ศ.2091-2100) สูงกว่าทศวรรษที่ 2000 (ค.ศ.1991-2000) ประมาณ 2-3 องศาเซลเซียส

อุณหภูมิต่ำสุดเฉลี่ย (กลาง) จากการวิเคราะห์เปรียบเทียบข้อมูลอุณหภูมิต่ำสุดเฉลี่ยที่ได้จากรูปแบบจำลอง มีค่าสูงกว่าอุณหภูมิที่ได้จากการตรวจวัดจริง โดยมีความคลาดเคลื่อน ประมาณ 1 องศาเซลเซียส สำหรับในทศวรรษที่ 2100 (ค.ศ.2091-2100) พบว่า อุณหภูมิต่ำสุด เฉลี่ยสูงกว่าทศวรรษที่ 2000 (ค.ศ.1991-2000) ประมาณ 4 องศาเซลเซียส

ปริมาณฝน (ล่าง) จากการวิเคราะห์เปรียบเทียบข้อมูลปริมาณฝนที่ได้จากรูปแบบจำลองมีค่าต่ำกว่าปริมาณฝนที่ได้จากการตรวจวัดจริงมาก สำหรับแนวโน้มปริมาณฝนในทศวรรษที่ 2100 (ค.ศ.2091-2100) มีแนวโน้มสูงขึ้นเล็กน้อย



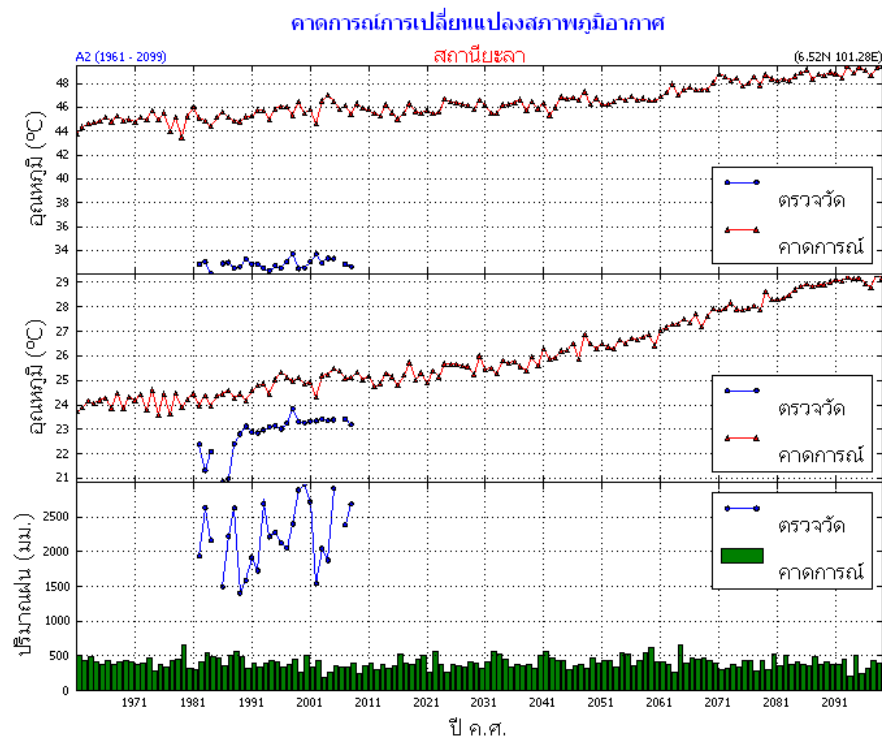
รูปที่ 163 คาดการณ์การเปลี่ยนแปลงภูมิอากาศ สถานีปัดตานี

สถานีสนามบินหาดใหญ่ จังหวัดสงขลา ข้อมูลตรวจวัดเริ่มตั้งแต่ ค.ศ. 1968-2008

อุณหภูมิสูงสุดเฉลี่ย (บน) จากการวิเคราะห์เปรียบเทียบข้อมูลอุณหภูมิสูงสุดเฉลี่ยที่ได้จากรูปแบบจำลองมีค่าสูงกว่าอุณหภูมิที่ได้จากการตรวจวัดจริง โดยมีความคลาดเคลื่อนเกือบ 10 องศาเซลเซียส สำหรับแนวโน้มอุณหภูมิสูงสุดเฉลี่ยในทศวรรษที่ 2100 (ค.ศ.2091-2100) สูงกว่าทศวรรษที่ 2000 (ค.ศ.1991-2000) ประมาณ 2-3 องศาเซลเซียส

อุณหภูมิต่ำสุดเฉลี่ย (กลาง) จากการวิเคราะห์เปรียบเทียบข้อมูลอุณหภูมิต่ำสุดเฉลี่ยที่ได้จากรูปแบบจำลองมีค่าสูงกว่าอุณหภูมิที่ได้จากการตรวจวัดจริง โดยมีความคลาดเคลื่อน 2-3 องศาเซลเซียส แต่มีแนวโน้มไปในทิศทางเดียวกัน สำหรับในทศวรรษที่ 2100 (ค.ศ.2091-2100) พบว่า อุณหภูมิต่ำสุดเฉลี่ยสูงกว่าทศวรรษที่ 2000 (ค.ศ.1991-2000) ประมาณ 3-4 องศาเซลเซียส

ปริมาณฝน (ล่าง) จากการวิเคราะห์เปรียบเทียบข้อมูลปริมาณฝนที่ได้จากรูปแบบจำลองมีค่าต่ำกว่าปริมาณฝนที่ได้จากการตรวจวัดจริงมาก สำหรับแนวโน้มปริมาณฝนในทศวรรษที่ 2100 (ค.ศ.2091-2100) ยังไม่ชัดเจน



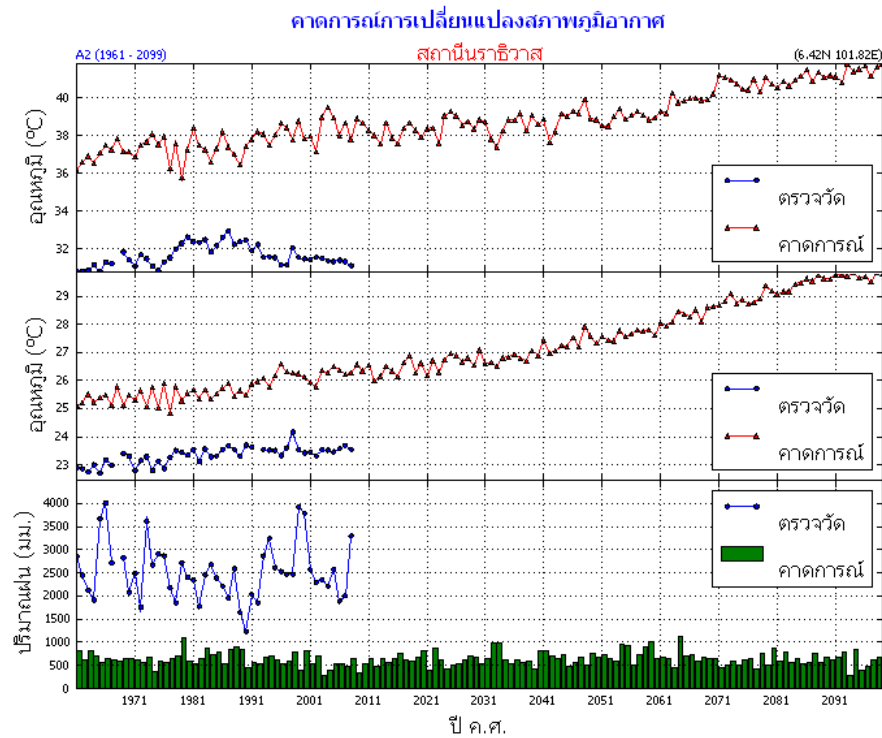
รูปที่ 164 คาดการณ์การเปลี่ยนแปลงภูมิอากาศ สถานียะลา

สถานียะลา ข้อมูลเริ่มตั้งแต่ ค.ศ.1981-2008

อุณหภูมิสูงสุดเฉลี่ย (บน) จากการวิเคราะห์เปรียบเทียบข้อมูลอุณหภูมิสูงสุดเฉลี่ยที่ได้จากรูปแบบจำลองมีค่าสูงกว่าอุณหภูมิที่ได้จากการตรวจวัดจริง โดยมีค่าคลาดเคลื่อน มากกว่า 10 องศาเซลเซียส สำหรับแนวโน้มอุณหภูมิสูงสุดเฉลี่ยในทศวรรษที่ 2100 (ค.ศ.2091-2100) สูงกว่าทศวรรษที่ 2000 (ค.ศ.1991-2000) ประมาณ 3-4 องศาเซลเซียส

อุณหภูมิต่ำสุดเฉลี่ย (กลาง) จากการวิเคราะห์เปรียบเทียบข้อมูลอุณหภูมิต่ำสุดเฉลี่ยที่ได้จากรูปแบบจำลองมีค่าสูงกว่าอุณหภูมิที่ได้จากการตรวจวัดจริง โดยมีความคลาดเคลื่อน 1-2 องศาเซลเซียส แต่มีแนวโน้มไปในทิศทางเดียวกัน สำหรับในทศวรรษที่ 2100 (ค.ศ.2091-2100) พบว่า อุณหภูมิต่ำสุดเฉลี่ยสูงกว่าทศวรรษที่ 2000 (ค.ศ.1991-2000) ประมาณ 4 องศาเซลเซียส

ปริมาณฝน (ล่าง) จากการวิเคราะห์เปรียบเทียบข้อมูลปริมาณฝนที่ได้จากรูปแบบจำลองมีค่าต่ำกว่าปริมาณฝนที่ได้จากการตรวจวัดจริงมาก สำหรับแนวโน้มปริมาณฝนในทศวรรษที่ 2100 (ค.ศ.2091-2100) ยังไม่ชัดเจน



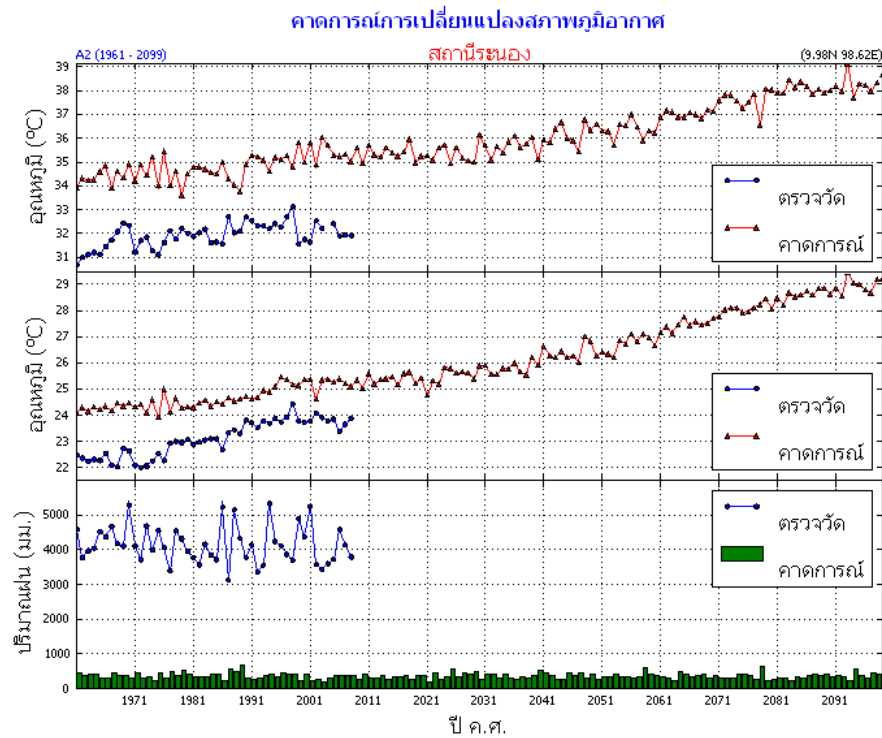
รูปที่ 165 คาดการณ์การเปลี่ยนแปลงภูมิอากาศ สถานีราชิวาส

สถานีราชิวาส

อุณหภูมิสูงสุดเฉลี่ย (บน) จากการวิเคราะห์เปรียบเทียบข้อมูลอุณหภูมิสูงสุดเฉลี่ยที่ได้จากรูปแบบจำลองมีค่าสูงกว่าอุณหภูมิที่ได้จากการตรวจวัดจริง โดยมีความคลาดเคลื่อน 3-4 องศาเซลเซียส สำหรับแนวโน้มอุณหภูมิสูงสุดเฉลี่ยในทศวรรษที่ 2100 (ค.ศ.2091-2100) สูงกว่าทศวรรษที่ 2000 (ค.ศ.1991-2000) ประมาณ 4 องศาเซลเซียส

อุณหภูมิต่ำสุดเฉลี่ย (กลาง) จากการวิเคราะห์เปรียบเทียบข้อมูลอุณหภูมิต่ำสุดเฉลี่ยที่ได้จากรูปแบบจำลองมีค่าสูงกว่าอุณหภูมิที่ได้จากการตรวจวัดจริง โดยมีความคลาดเคลื่อน 1-2 องศาเซลเซียส แต่มีแนวโน้มไปในทิศทางเดียวกัน สำหรับในทศวรรษที่ 2100 (ค.ศ.2091-2100) พบว่า อุณหภูมิต่ำสุดเฉลี่ยสูงกว่าทศวรรษที่ 2000 (ค.ศ.1991-2000) ประมาณ 4 องศาเซลเซียส

ปริมาณฝน (ล่าง) จากการวิเคราะห์เปรียบเทียบข้อมูลปริมาณฝนที่ได้จากรูปแบบจำลองมีค่าต่ำกว่าปริมาณฝนที่ได้จากการตรวจวัดจริงมาก สำหรับแนวโน้มปริมาณฝนในทศวรรษที่ 2100 (ค.ศ.2091-2100) ยังไม่ชัดเจน



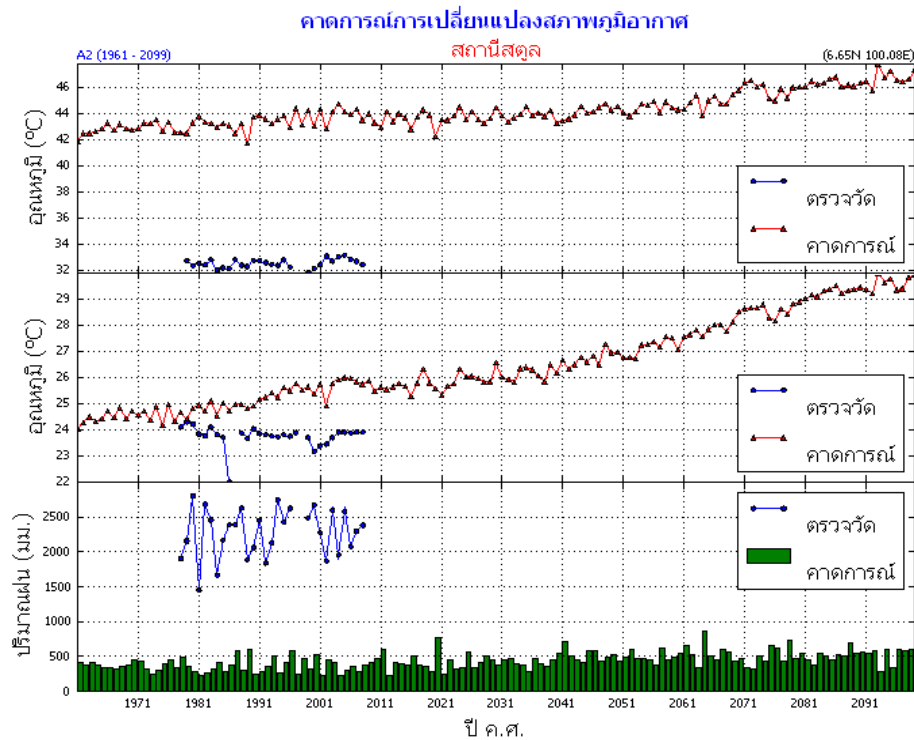
รูปที่ 166 คาดการณ์การเปลี่ยนแปลงภูมิอากาศ สถานีระนอง

สถานีระนอง

อุณหภูมิสูงสุดเฉลี่ย (บน) จากการวิเคราะห์เปรียบเทียบข้อมูลอุณหภูมิสูงสุดเฉลี่ยที่ได้จากรูปแบบจำลอง มีค่าสูงกว่าอุณหภูมิที่ได้จากการตรวจวัดจริง โดยมีความคลาดเคลื่อนประมาณ 2-3 องศาเซลเซียส สำหรับแนวโน้มอุณหภูมิสูงสุดเฉลี่ยในทศวรรษที่ 2100 (ค.ศ.2091-2100) สูงกว่าทศวรรษที่ 2000 (ค.ศ.1991-2000) ประมาณ 3-4 องศาเซลเซียส

อุณหภูมิต่ำสุดเฉลี่ย (กลาง) จากการวิเคราะห์เปรียบเทียบข้อมูลอุณหภูมิต่ำสุดเฉลี่ยที่ได้จากรูปแบบจำลอง มีค่าสูงกว่าอุณหภูมิที่ได้จากการตรวจวัดจริง โดยมีความคลาดเคลื่อนประมาณ 1-2 องศาเซลเซียส แต่แนวโน้มไปในทิศทางเดียวกัน สำหรับในทศวรรษที่ 2100 (ค.ศ.2091-2100) พบว่าอุณหภูมิต่ำสุดเฉลี่ยสูงกว่าทศวรรษที่ 2000 (ค.ศ.1991-2000) ประมาณ 3-4 องศาเซลเซียส

ปริมาณฝน (ล่าง) จากการวิเคราะห์เปรียบเทียบข้อมูลปริมาณฝนที่ได้จากรูปแบบจำลองมีค่าต่ำกว่าปริมาณฝนที่ได้จากการตรวจวัดจริงมาก สำหรับแนวโน้มปริมาณฝนในทศวรรษที่ 2100 (ค.ศ.2091-2100) ยังไม่ชัดเจน



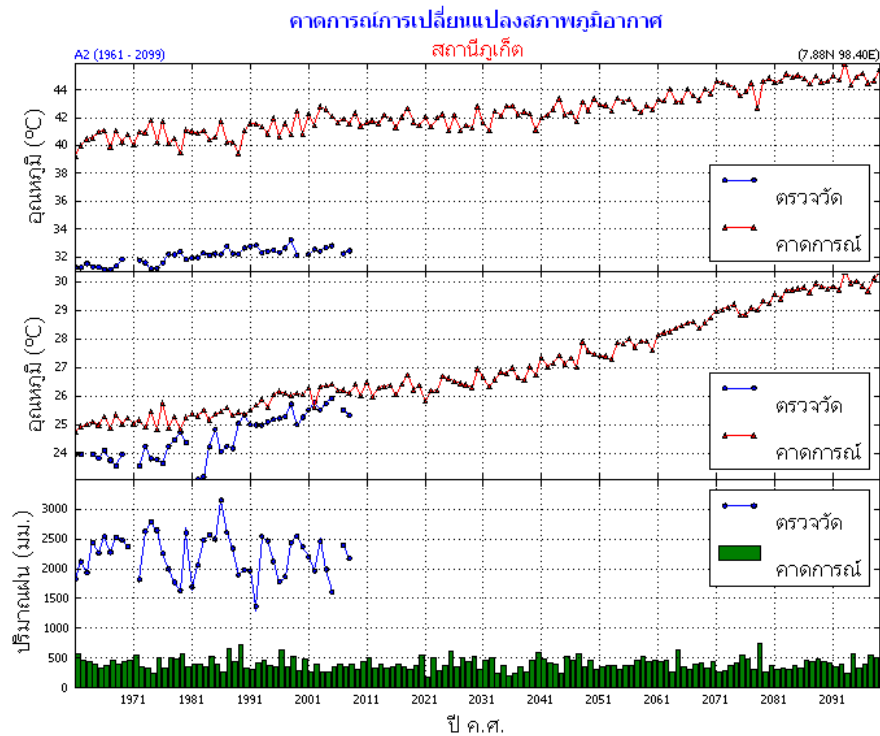
รูปที่ 167 คาดการณ์การเปลี่ยนแปลงภูมิอากาศ สถานีสตูล

สถานีสตูล ข้อมูลตรวจวัดเริ่มตั้งแต่ ค.ศ. 1978-2008

อุณหภูมิสูงสุดเฉลี่ย (บน) จากการวิเคราะห์เปรียบเทียบข้อมูลอุณหภูมิสูงสุดเฉลี่ยที่ได้จากรูปแบบจำลอง มีค่าสูงกว่าอุณหภูมิที่ได้จากการตรวจวัดจริง โดยมีความคลาดเคลื่อนมา กกว่า 10 องศาเซลเซียส สำหรับ แนวโน้มอุณหภูมิสูงสุดเฉลี่ยในทศวรรษที่ 2100 (ค.ศ.2091-2100) สูงกว่าทศวรรษที่ 2000 (ค.ศ.1991-2000) ประมาณ 4-5 องศาเซลเซียส

อุณหภูมิต่ำสุดเฉลี่ย (กลาง) จากการวิเคราะห์เปรียบเทียบข้อมูลอุณหภูมิต่ำสุดเฉลี่ยที่ได้จากรูปแบบจำลอง มีค่าสูงกว่าอุณหภูมิที่ได้จากการตรวจวัดจริง โดยมีความคลาดเคลื่อนประมาณ 1-2 องศาเซลเซียส แนวโน้ม อุณหภูมิต่ำสุดเฉลี่ยที่ตรวจวัดยังไม่ชัดเจน สำหรับแนวโน้มที่ได้จากแบบจำลองพบว่า ในทศวรรษที่ 2100 (ค.ศ.2091-2100) อุณหภูมิต่ำสุดเฉลี่ยสูงกว่าทศวรรษที่ 2000 (ค.ศ.1991-2000) ประมาณ 4-5 องศาเซลเซียส

ปริมาณฝน (ล่าง) จากการวิเคราะห์เปรียบเทียบข้อมูลปริมาณฝนที่ได้จากรูปแบบจำลองมีค่าต่ำกว่าปริมาณ ฝนที่ได้จากการตรวจวัดจริงมาก สำหรับแนวโน้มปริมาณฝนในทศวรรษที่ 2100 (ค.ศ.2091-2100) มีแนวโน้ม สูงขึ้น



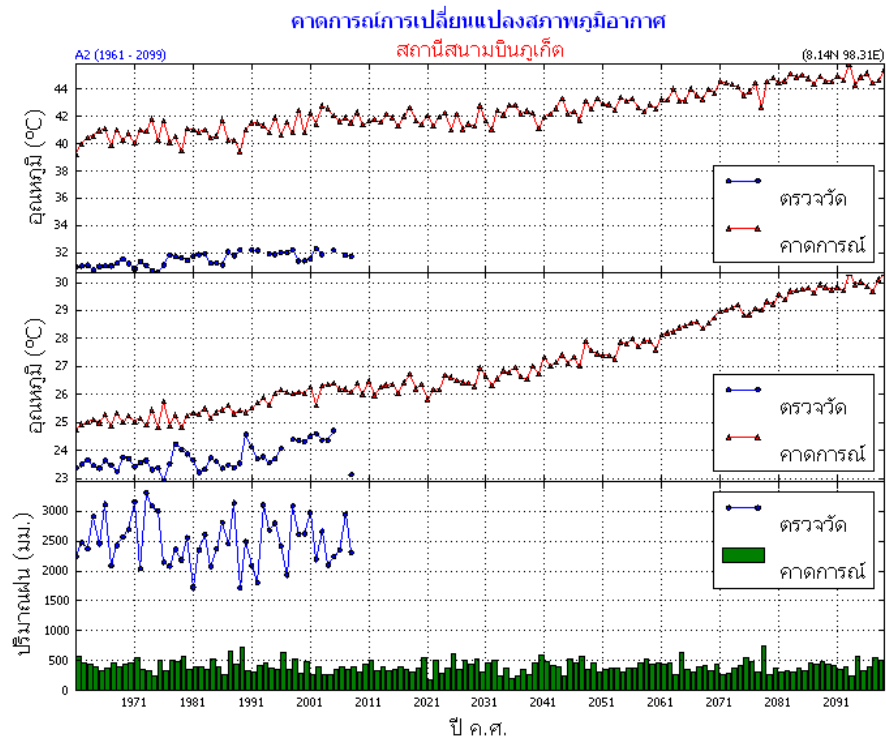
รูปที่ 168 คาดการณ์การเปลี่ยนแปลงภูมิอากาศ สถานีภูเก็ต

สถานีภูเก็ต

อุณหภูมิสูงสุดเฉลี่ย (บน) จากการวิเคราะห์เปรียบเทียบข้อมูลอุณหภูมิสูงสุดเฉลี่ยที่ได้จากรูปแบบจำลองมีค่าสูงกว่าอุณหภูมิที่ได้จากการตรวจวัดจริง โดยมีความคลาดเคลื่อนประมาณ 4-6 องศาเซลเซียส แต่มีแนวโน้มไปในทิศทางเดียวกัน สำหรับแนวโน้มอุณหภูมิสูงสุดเฉลี่ยในทศวรรษที่ 2100 (ค.ศ.2091-2100) สูงกว่าทศวรรษที่ 2000 (ค.ศ.1991-2000) ประมาณ 4-5 องศาเซลเซียส

อุณหภูมิต่ำสุดเฉลี่ย (กลาง) จากการวิเคราะห์เปรียบเทียบข้อมูลอุณหภูมิต่ำสุดเฉลี่ยที่ได้จากรูปแบบจำลองมีค่าสูงกว่าอุณหภูมิที่ได้จากการตรวจวัดจริง โดยมีความคลาดเคลื่อนประมาณ 1-2 องศาเซลเซียส แต่แนวโน้มไปในทิศทางเดียวกัน สำหรับในทศวรรษที่ 2100 (ค.ศ.2091-2100) พบว่า อุณหภูมิต่ำสุดเฉลี่ยสูงกว่าทศวรรษที่ 2000 (ค.ศ.1991-2000) ประมาณ 4-5 องศาเซลเซียส

ปริมาณฝน (ล่าง) จากการวิเคราะห์เปรียบเทียบข้อมูลปริมาณฝนที่ได้จากรูปแบบจำลองมีค่าต่ำกว่าปริมาณฝนที่ได้จากการตรวจวัดจริงมาก สำหรับแนวโน้มปริมาณฝนในทศวรรษที่ 2100 (ค.ศ.2091-2100) ยังไม่ชัดเจน



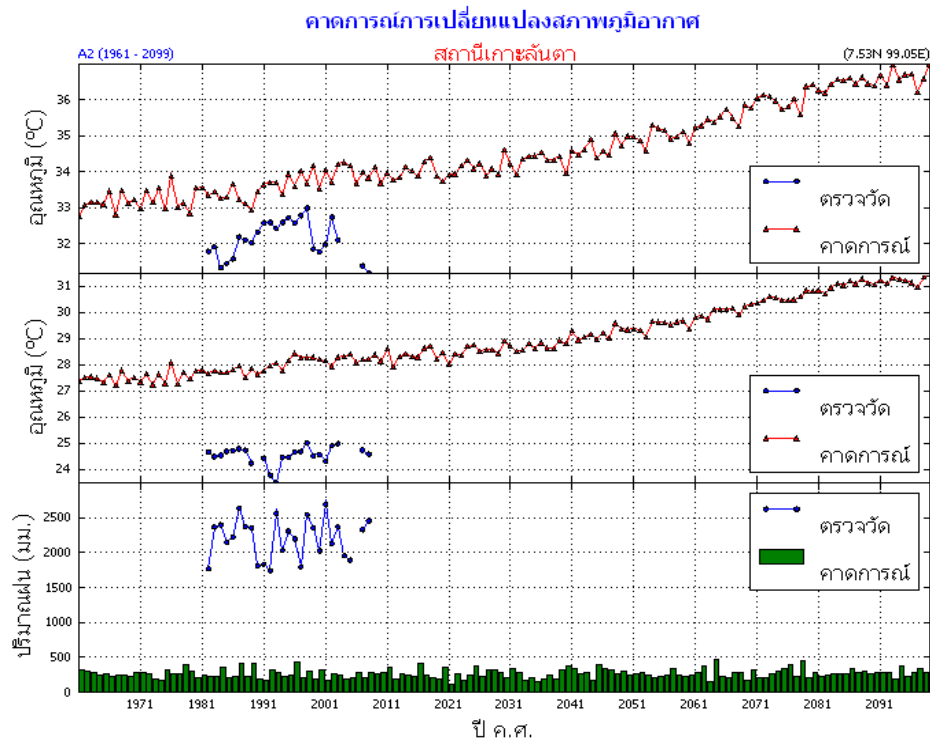
รูปที่ 169 คาดการณ์การเปลี่ยนแปลงภูมิอากาศ สถานีสนามบินภูเก็ต

สถานีสนามบินภูเก็ต จังหวัดภูเก็ต

อุณหภูมิสูงสุดเฉลี่ย (บน) จากการวิเคราะห์เปรียบเทียบข้อมูลอุณหภูมิสูงสุดเฉลี่ยที่ได้จากรูปแบบจำลองมีค่าสูงกว่าอุณหภูมิที่ได้จากการตรวจวัดจริงมาก โดยมีค่าคลาดเคลื่อนประมาณ 10 องศาเซลเซียส แต่มีแนวโน้มไปในทิศทางเดียวกัน สำหรับแนวโน้มอุณหภูมิสูงสุดเฉลี่ยในทศวรรษที่ 2100 (ค.ศ.2091-2100) สูงกว่าทศวรรษที่ 2000 (ค.ศ.1991-2000) ประมาณ 4-5 องศาเซลเซียส

อุณหภูมิต่ำสุดเฉลี่ย (กลาง) จากการวิเคราะห์เปรียบเทียบข้อมูลอุณหภูมิต่ำสุดเฉลี่ยที่ได้จากรูปแบบจำลองมีค่าสูงกว่าอุณหภูมิที่ได้จากการตรวจวัดจริง โดยมีความคลาดเคลื่อนประมาณ 1-2 องศาเซลเซียส แต่แนวโน้มไปในทิศทางเดียวกัน สำหรับในทศวรรษที่ 2100 (ค.ศ.2091-2100) พบว่า อุณหภูมิต่ำสุดเฉลี่ยสูงกว่าทศวรรษที่ 2000 (ค.ศ.1991-2000) ประมาณ 4-5 องศาเซลเซียส

ปริมาณฝน (ล่าง) จากการวิเคราะห์เปรียบเทียบข้อมูลปริมาณฝนที่ได้จากรูปแบบจำลองมีค่าต่ำกว่าปริมาณฝนที่ได้จากการตรวจวัดจริงมาก สำหรับแนวโน้มปริมาณฝนในทศวรรษที่ 2100 (ค.ศ.2091-2100) ยังไม่ชัดเจน



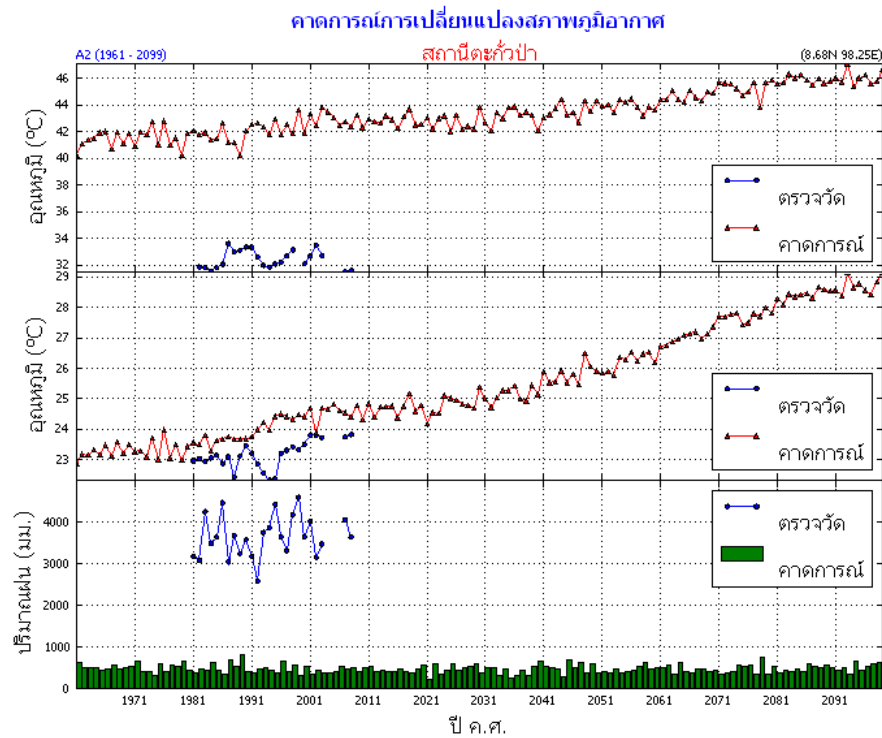
รูปที่ 170 การคาดการณ์การเปลี่ยนแปลงภูมิอากาศ สถานีเกาะลันตา

สถานีเกาะลันตา จังหวัดกระบี่ ข้อมูลตรวจวัดเริ่มตั้งแต่ ค.ศ.1982-2008

อุณหภูมิสูงสุดเฉลี่ย (บน) จากการวิเคราะห์เปรียบเทียบข้อมูลอุณหภูมิสูงสุดเฉลี่ยที่ได้จากรูปแบบจำลองมีค่าสูงกว่าอุณหภูมิที่ได้จากการตรวจวัดจริง โดยมีความคลาดเคลื่อนประมาณ 1-2 องศาเซลเซียส แต่มีแนวโน้มไปในทิศทางเดียวกัน สำหรับแนวโน้มอุณหภูมิสูงสุดในทศวรรษที่ 2100 (ค.ศ.2091-2100) สูงกว่าทศวรรษที่ 2000 (ค.ศ.1991-2000) ประมาณ 2-3 องศาเซลเซียส

อุณหภูมิต่ำสุดเฉลี่ย (กลาง) จากการวิเคราะห์เปรียบเทียบข้อมูลอุณหภูมิต่ำสุดเฉลี่ยที่ได้จากรูปแบบจำลองมีค่าสูงกว่าอุณหภูมิที่ได้จากการตรวจวัดจริง โดยมีความคลาดเคลื่อนประมาณ 3-4 องศาเซลเซียส แต่แนวโน้มไปในทิศทางเดียวกัน สำหรับในทศวรรษที่ 2100 (ค.ศ.2091-2100) พบว่า อุณหภูมิต่ำสุดเฉลี่ยสูงกว่าทศวรรษที่ 2000 (ค.ศ.1991-2000) ประมาณ 2-3 องศาเซลเซียส

ปริมาณฝน (ล่าง) จากการวิเคราะห์เปรียบเทียบข้อมูลปริมาณฝนที่ได้จากรูปแบบจำลองมีค่าต่ำกว่าปริมาณฝนที่ได้จากการตรวจวัดจริงมาก สำหรับแนวโน้มปริมาณฝนในทศวรรษที่ 2100 (ค.ศ.2091-2100) ยังไม่ชัดเจน



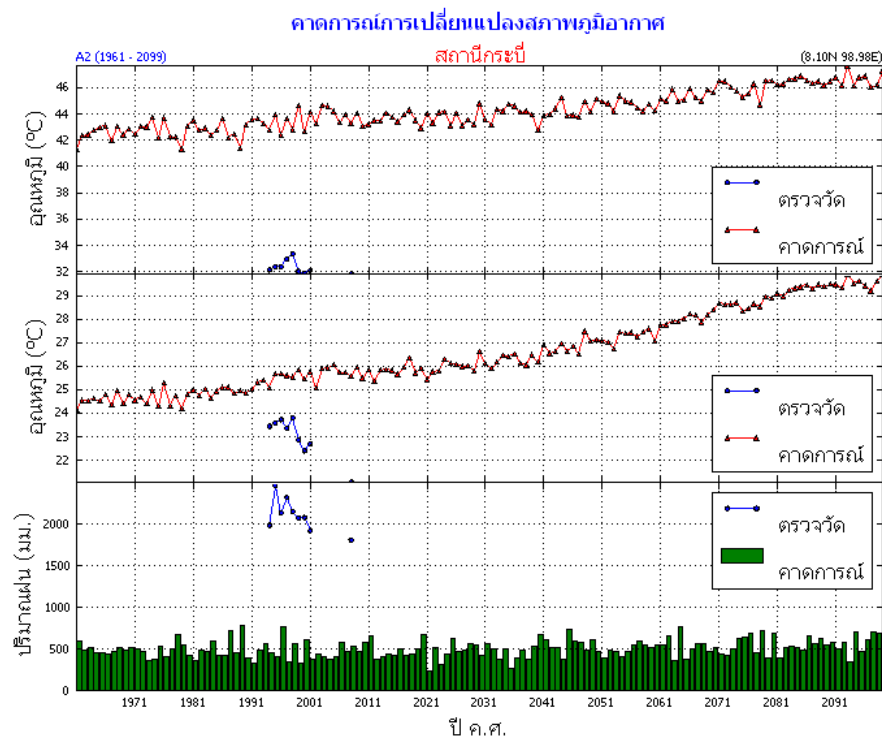
รูปที่ 171 คาดการณ์การเปลี่ยนแปลงภูมิอากาศ สถานีตะกั่วป่า

สถานีตะกั่วป่า จังหวัดพังงา ข้อมูลตรวจวัดเริ่มตั้งแต่ ค.ศ.1981-2008

อุณหภูมิสูงสุดเฉลี่ย (บน) จากการวิเคราะห์เปรียบเทียบข้อมูลอุณหภูมิสูงสุดเฉลี่ยที่ได้จากรูปแบบจำลองมีค่าสูงกว่าอุณหภูมิที่ได้จากการตรวจวัดจริง โดยมีความคลาดเคลื่อน 8-9 องศาเซลเซียส สำหรับแนวโน้มอุณหภูมิสูงสุดเฉลี่ยในทศวรรษที่ 2100 (ค.ศ.2091-2100) สูงกว่าทศวรรษที่ 2000 (ค.ศ.1991-2000) ประมาณ 4-5 องศาเซลเซียส

อุณหภูมิต่ำสุดเฉลี่ย (กลาง) จากการวิเคราะห์เปรียบเทียบข้อมูลอุณหภูมิต่ำสุดเฉลี่ยที่ได้จากรูปแบบจำลองมีค่าสูงกว่าอุณหภูมิที่ได้จากการตรวจวัดจริง โดยมีความคลาดเคลื่อน ประมาณ 1 องศาเซลเซียส แต่มีแนวโน้มไปในทิศทางเดียวกัน สำหรับในทศวรรษที่ 2100 (ค.ศ.2091-2100) พบว่า อุณหภูมิต่ำสุดเฉลี่ยสูงกว่าทศวรรษที่ 2000 (ค.ศ.1991-2000) ประมาณ 4-5 องศาเซลเซียส

ปริมาณฝน (ล่าง) จากการวิเคราะห์เปรียบเทียบข้อมูลปริมาณฝนที่ได้จากรูปแบบจำลองมีค่าต่ำกว่าปริมาณฝนที่ได้จากการตรวจวัดจริงมาก สำหรับแนวโน้มปริมาณฝนในทศวรรษที่ 2100 (ค.ศ.2091-2100) ยังไม่ชัดเจน



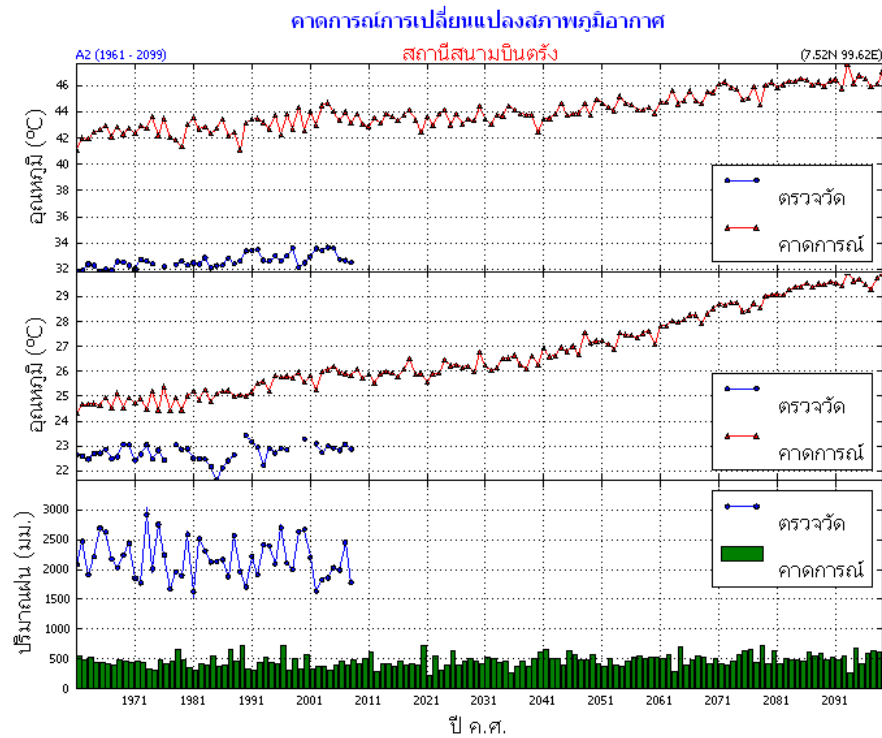
รูปที่ 172 คาดการณ์การเปลี่ยนแปลงภูมิอากาศ สถานีกระบี่

สถานีกระบี่

อุณหภูมิสูงสุดเฉลี่ย (บน) จากการวิเคราะห์เปรียบเทียบข้อมูลอุณหภูมิสูงสุดเฉลี่ยที่ได้จากรูปแบบจำลองมีค่าสูงกว่าอุณหภูมิที่ได้จากการตรวจวัดจริง โดยมีค่าคลาดเคลื่อน 8-10 องศาเซลเซียส สำหรับแนวโน้มอุณหภูมิสูงสุดเฉลี่ยในทศวรรษที่ 2100 (ค.ศ.2091-2100) สูงกว่าทศวรรษที่ 2000 (ค.ศ.1991-2000) ประมาณ 3-4 องศาเซลเซียส

อุณหภูมิต่ำสุดเฉลี่ย (กลาง) จากการวิเคราะห์เปรียบเทียบข้อมูลอุณหภูมิต่ำสุดเฉลี่ยที่ได้จากรูปแบบจำลองมีค่าสูงกว่าอุณหภูมิที่ได้จากการตรวจวัดจริง โดยมีความคลาดเคลื่อน 1-2 องศาเซลเซียส สำหรับในทศวรรษที่ 2100 (ค.ศ.2091-2100) พบว่า อุณหภูมิต่ำสุดเฉลี่ยสูงกว่าทศวรรษที่ 2000 (ค.ศ.1991-2000) ประมาณ 4-5 องศาเซลเซียส

ปริมาณฝน (ล่าง) จากการวิเคราะห์เปรียบเทียบข้อมูลปริมาณฝนที่ได้จากรูปแบบจำลองมีค่าต่ำกว่าปริมาณฝนที่ได้จากการตรวจวัดจริงมาก สำหรับแนวโน้มปริมาณฝนในทศวรรษที่ 2100 (ค.ศ.2091-2100) มีแนวโน้มสูงขึ้นเล็กน้อย



รูปที่ 173 คาดการณ์การเปลี่ยนแปลงภูมิอากาศ สถานีสนามบินตรัง

สถานีสนามบินตรัง

อุณหภูมิสูงสุดเฉลี่ย (บน) จากการวิเคราะห์เปรียบเทียบข้อมูลอุณหภูมิสูงสุดเฉลี่ยที่ได้จากรูปแบบจำลองมีค่าสูงกว่าอุณหภูมิที่ได้จากการตรวจวัดจริง โดยมีความคลาดเคลื่อนเกือบ 10 องศาเซลเซียส สำหรับแนวโน้มอุณหภูมิสูงสุดเฉลี่ยในทศวรรษที่ 2100 (ค.ศ.2091-2100) สูงกว่าทศวรรษที่ 2000 (ค.ศ.1991-2000) ประมาณ 3-4 องศาเซลเซียส

อุณหภูมิต่ำสุดเฉลี่ย (กลาง) จากการวิเคราะห์เปรียบเทียบข้อมูลอุณหภูมิต่ำสุดเฉลี่ยที่ได้จากรูปแบบจำลองมีค่าสูงกว่าอุณหภูมิที่ได้จากการตรวจวัดจริง โดยมีความคลาดเคลื่อน 1-2 องศาเซลเซียส สำหรับในทศวรรษที่ 2100 (ค.ศ.2091-2100) พบว่าอุณหภูมิต่ำสุดเฉลี่ยสูงกว่าทศวรรษที่ 2000 (ค.ศ.1991-2000) ประมาณ 3-4 องศาเซลเซียส

ปริมาณฝน (ล่าง) จากการวิเคราะห์เปรียบเทียบข้อมูลปริมาณฝนที่ได้จากรูปแบบจำลองมีค่าต่ำกว่าปริมาณฝนที่ได้จากการตรวจวัดจริงมาก สำหรับแนวโน้มปริมาณฝนในทศวรรษที่ 2100 (ค.ศ.2091-2100) มีแนวโน้มสูงขึ้น

สรุป

จากการศึกษาการเปลี่ยนแปลงภูมิอากาศ โดยการประมวลผลภูมิอากาศในอนาคตจากสถานการณ์จำลองทางภูมิอากาศโลก (Climate scenario) แบบ A2 (มีการเจริญเติบโตทางเศรษฐกิจและการใช้พลังงานอย่างฟุ่มเฟือย) โดยใช้แบบจำลองการพยากรณ์สภาพภูมิอากาศ PRECIS (Providing Regional Climate for Impact Studies) คาดการณ์ภูมิอากาศในอดีต และอนาคต ตั้งแต่ปี ค.ศ. 1961-2100 (พ.ศ. 2504-2643) และนำมาเปรียบเทียบข้อมูลที่ได้จากการตรวจวัดของสถานีตรวจอากาศอุตุนิยมหาวิทยาลัยทั่วประเทศ ตั้งแต่ ค.ศ. 1961-2008 (พ.ศ. 2504-2551) พบว่า

อุณหภูมิสูงสุดเฉลี่ย ผลที่ได้จากรูปแบบจำลองสภาพภูมิอากาศของสถานีต่างๆ ประมาณ 90 % อุณหภูมิสูงกว่าผลการตรวจวัดจริง และประมาณ 10 % มีผลใกล้เคียงอุณหภูมิที่ได้จากการตรวจวัด อย่างไรก็ตามเมื่อพิจารณาการเปลี่ยนแปลงภูมิอากาศในอนาคตด้วยรูปแบบจำลองการคาดการณ์การเปลี่ยนแปลงสภาพภูมิอากาศพบว่า ในทศวรรษที่ 2100 (ค.ศ.2091-2100) อุณหภูมิสูงสุดเฉลี่ยของประเทศไทยสูงขึ้นทุกพื้นที่ และส่วนใหญ่สูงขึ้นประมาณ 4-5 องศาเซลเซียส เมื่อเทียบกับในช่วงทศวรรษที่ 2000 (ค.ศ.1991-2000)

อุณหภูมิต่ำสุดเฉลี่ย ผลที่ได้จากรูปแบบจำลองภูมิอากาศประมาณ 63 % สูงกว่าผลการตรวจวัดจริง และประมาณ 37% ใกล้เคียงข้อมูลที่ได้จากการตรวจวัด อย่างไรก็ตามเมื่อพิจารณาการเปลี่ยนแปลงภูมิอากาศในอนาคตด้วยแบบจำลองภูมิอากาศพบว่า ในทศวรรษที่ 2100 (ค.ศ.2091-2100) อุณหภูมิสูงสุดเฉลี่ยของประเทศไทยสูงขึ้นทุกพื้นที่ และหลายพื้นที่สูงขึ้นประมาณ 4-5 องศาเซลเซียส เมื่อเทียบกับในช่วงทศวรรษที่ 2000 (ค.ศ.1991-2000)

ปริมาณฝน ผลที่ได้จากรูปแบบจำลองภูมิอากาศส่วนใหญ่ต่ำกว่าปริมาณฝนที่ได้จากการตรวจวัด มีเพียงประมาณ 8 % ที่ใกล้เคียงกับการตรวจวัด อย่างไรก็ตามเมื่อพิจารณาการเปลี่ยนแปลงภูมิอากาศในอนาคตด้วยแบบจำลองภูมิอากาศพบว่า แนวโน้มปริมาณฝนในช่วงทศวรรษที่ 2100 (ค.ศ.2091-2100) ปริมาณฝนหลายพื้นที่ยังไม่ชัดเจน อย่างไรก็ตามมีพื้นที่ที่แนวโน้มปริมาณฝนเพิ่มมากขึ้นส่วนใหญ่อยู่ใกล้ชายฝั่ง คือพื้นที่บริเวณภาคตะวันออกและภาคใต้ ส่วนบริเวณที่มีแนวโน้มปริมาณฝนลดลงส่วนใหญ่อยู่บริเวณภาคตะวันออกเฉียงเหนือ

ปัจจัยสนับสนุนต่อการดำเนินงาน :

กลุ่มงานมีความพร้อมและตั้งใจในการจัดทำการคาดการณ์การเปลี่ยนแปลงภูมิอากาศในอนาคต เนื่องจากปัจจุบันปัญหาภาวะโลกร้อนและการเปลี่ยนแปลงภูมิอากาศเป็นประเด็นที่ทำให้ทุกหน่วยงานตระหนัก และเห็นความสำคัญของปัญหาดังกล่าว ประกอบกับกรมอุตุนิยมวิทยาเป็นหน่วยงานหลัก ในการจัดการ ข้อมูลด้านภูมิอากาศและการคาดการณ์ หลายๆหน่วยงานมีความ ต้องการข้อมูลการคาดการณ์อนาคตเพื่อนำไปวิเคราะห์ผลกระทบที่อาจจะเกิดขึ้นไม่ว่าจะเป็นด้านการเกษตร สุขอนามัย โรคต่างๆ เป็นต้น

อุปสรรคต่อการดำเนินงาน รูปแบบจำลองการคาดการณ์ภูมิอากาศในอนาคตมีความแตกต่างจากรูปแบบจำลองที่ใช้ในการพยากรณ์อากาศระยะสั้น สำหรับการดำเนินงานครั้งนี้เป็นการ คำนวณการเปลี่ยนแปลงสภาพภูมิอากาศในอนาคตที่เกิดขึ้นจากสถานการณ์จำลองทางภูมิอากาศแบบ A2 คือ การให้ความสำคัญกับการพัฒนาเศรษฐกิจ อนาคตโลกมีความหลากหลาย มีความร่วมมือระดับภูมิภาค มีการพึ่งตัวเองมากขึ้น ประชากรเพิ่มขึ้นอย่างต่อเนื่อง และเทคโนโลยีมีการเปลี่ยนแปลงซ้ดง การจำลองสถานการณ์ในการ คำนวณภูมิอากาศจะต้องใช้ระบบการประมวลผลที่มีประสิทธิภาพและมีสมรรถนะความเร็วสูงเป็นอย่างมาก การทำตัวชี้วัดนี้ไม่มีเงินสนับสนุนการดำเนินงานดังกล่าวเลย เพียงแต่อาศัยอุปกรณ์และเครื่องมือ ที่มีอยู่เดิมซึ่งยังขาดประสิทธิภาพในการประมวลผล

ข้อเสนอแนะ ปัจจุบันทุกประเทศให้ความสำคัญกับปัญหาด้านภูมิอากาศ เนื่องจากภาวะโลกร้อนที่เกิดขึ้น Climate variability and Climate change เป็นประเด็นที่ทั่วโลกให้ความสนใจและเอาใจใส่ ภัยธรรมชาติต่างๆที่เกิดขึ้น รวมทั้งความรุนแรง และความถี่ของการเกิดบ่อยครั้งขึ้น เหล่านี้ ส่งผลกระทบต่อทั้งทางด้านเศรษฐกิจและสังคม ทำให้เราไม่สามารถมองข้ามได้อีก การคาดการณ์ภูมิอากาศในอนาคตเป็นสิ่งสำคัญเพื่อที่จะนำไปใช้ในการวางแผน เพื่อแก้ปัญหาและลดภัยพิบัติที่อาจจะสูญเสียจากภัยธรรมชาติให้ลดน้อยลงได้ กรมอุตุนิยมวิทยาเป็นหน่วยงานโดยตรงที่มีหน้าที่รับผิดชอบต่องานดังกล่าว ควรให้การสนับสนุนและพัฒนางานการคาดการณ์ภูมิอากาศในอนาคตให้มีความละเอียดมากยิ่งขึ้นด้วยเทคโนโลยีที่ทันสมัยและรวดเร็ว